



**UNIVERSIDADE FEDERAL DO AMAZONAS
INSTITUTO DE COMPUTAÇÃO
PROGRAMA DE PÓS-GRADUAÇÃO EM INFORMÁTICA**

**COLORAÇÕES EM GRAFOS COM RESTRIÇÕES DE DISTÂNCIA:
CARACTERIZAÇÕES, POLÍTOPOS E ESTRATÉGIAS EM PROGRAMAÇÃO
MATEMÁTICA**

BRUNO RAPHAEL CARDOSO DIAS

Outubro de 2019

Manaus - AM

BRUNO RAPHAEL CARDOSO DIAS

COLORAÇÕES EM GRAFOS COM RESTRIÇÕES DE DISTÂNCIA:
CARACTERIZAÇÕES, POLÍTOPOS E ESTRATÉGIAS EM PROGRAMAÇÃO
MATEMÁTICA

Tese de Doutorado apresentada ao Programa de Pós-Graduação em Informática do Instituto de Computação da Universidade Federal do Amazonas, como parte dos requisitos necessários à obtenção do título de Doutor em Informática.

Orientadora: Rosiane de Freitas Rodrigues, Dr^a.

Co-orientador: Nelson Maculan Filho, Dr.

Outubro de 2019

Manaus - AM

Ficha Catalográfica

Ficha catalográfica elaborada automaticamente de acordo com os dados fornecidos pelo(a) autor(a).

D541c Dias, Bruno Raphael Cardoso
Colorações em grafos com restrições de distância:
caracterizações, politopos e estratégias em programação
matemática / Bruno Raphael Cardoso Dias. 2019
196 f.: il. color; 31 cm.

Orientadora: Rosiane de Freitas Rodrigues
Coorientador: Nelson Maculan Filho
Tese (Doutorado em Informática) - Universidade Federal do
Amazonas.

1. Coloração de vértices. 2. Combinatória poliédrica. 3. Geometria
de distâncias. 4. Otimização combinatória. 5. Teoria dos grafos. I.
Rodrigues, Rosiane de Freitas II. Universidade Federal do
Amazonas III. Título



PODER EXECUTIVO
MINISTÉRIO DA EDUCAÇÃO
INSTITUTO DE COMPUTAÇÃO

PROGRAMA DE PÓS-GRADUAÇÃO EM INFORMÁTICA



UFAM

FOLHA DE APROVAÇÃO

**"Colorações em grafos com restrições de distância:
caracterizações, politopos e estratégias em programação
matemática"**

BRUNO RAPHAEL CARDOSO DIAS

Tese de Doutorado defendida e aprovada pela banca examinadora constituída pelos Professores:

Profa. Rosiane de Freitas Rodrigues - PRESIDENTE

Prof. Altigran Soares da Silva - MEMBRO INTERNO

Prof. Edleno Silva de Moura - MEMBRO INTERNO

Prof. Geraldo Robson Mateus - MEMBRO EXTERNO

Prof. Manoel B. Campêlo Neto - MEMBRO EXTERNO

Prof. Javier Leonardo Marenco - MEMBRO EXTERNO

Manaus, 09 de Outubro de 2019

*À minha família,
aos meus amigos verdadeiros
e a quem amo.*

Agradecimentos

O caminho no doutorado não foi fácil. Muitas coisas aconteceram que me abalaram, mas ainda assim consegui me reerguer e chegar aqui, ao ponto no qual me tornei doutor. E devo isso a muitas pessoas que passaram pela minha vida nesses últimos anos.

Agradeço, inicialmente, aos meus pais, Maria da Conceição Cardoso Dias e Tomaz da Silva Dias, por tudo que me fizeram desde que vim a esse mundo. Minha mãe, que teve problemas de saúde que mudaram para sempre minha vida e a de minha família, que me fez criar um lado que eu não tinha, o de cuidador... ainda assim ela sempre me incentivou a seguir em frente e não me deixar abalar. E meu pai, que também me deu todo o apoio, me ajudando financeiramente quando precisei, permitindo que eu tivesse meus momentos próprios para evoluir na vida... nunca conseguirei agradecer a vocês o suficiente por tudo.

À minha irmã, Bianca Gabriela Cardoso Dias e meu cunhado (e quase ex-aluno) Marcos Antônio Batista de Oliveira, também devo-lhes agradecer por terem me ajudado a superar meus medos após minha mudança de vida, não deixando eu me sentir desamparado durante os anos do doutorado. E deixo registrado também um agradecimento à minha sobrinha Maria Clara Dias de Oliveira, que conseguiu amolecer um pouco mais meu coração, o que me deu ânimo pra seguir neste trabalho.

Aos meus amigos, que tanto me ajudaram (e ajudam) nos momentos de alegria e dor, e permitiram que eu pudesse aproveitar a vida de diferentes formas que eu sozinho não conseguiria. Nesses anos de doutorado, foram muitos amigos que fiz, além dos que já tinha, e gosto muito de conviver com todos, pois são muito importantes para mim. Apesar disso, preciso deixar um agradecimento ao amigo Ítalo Veloso, que está sempre ao meu lado em tudo que preciso, que ouve meus desabafos e me dá conselhos valiosos. Também deixo aqui um agradecimento muito especial ao Rafael Pablo Chaparro, que conheci há pouco mais de um ano desde o momento em que escrevo e se tornou uma pessoa muito importante em minha vida, um grande companheiro nessa aventura da vida.

À minha orientadora, Rosiane de Freitas Rodrigues, pelo trabalho dedicado a minha formação acadêmica desde que fui seu aluno de graduação e pelo apoio no caminho trilhado rumo ao meu sonho profissional. Ainda lembro quando a procurei, enquanto seu aluno de graduação de Projeto e Análise de Algoritmos, para tentar entender o teorema de Cook-Levin, e eventualmente ela me abriu as portas para mergulhar mais profundamente no mundo da teoria da computação e otimização combinatória. Meu muito obrigado pela parceria.

Ao prof. Javier Marengo, pela grande ajuda que me permitiu navegar no mundo da combinatória poliédrica.

Aos meus colegas do grupo de Otimização, Algoritmos e Complexidade Computacional do IComp/UFAM, pela companhia tanto física quando virtual, pelas discussões sobre os temas estudados e, claro, pelos momentos descontraídos.

Aos membros da banca examinadora, que forneceram contribuições importantes e sugestões interessantes relacionadas a este trabalho.

À secretaria do Instituto de Computação da UFAM, que sempre foi prestativa nas mais diversas solicitações feitas durante este doutorado.

À Coordenação de Aperfeiçoamento de Pessoal de Nível Superior (CAPES) e à Méliuz, pelo indispensável suporte financeiro por meio de bolsas de estudo.

Resumo da Tese apresentada ao PPGI/IComp/UFAM como parte dos requisitos necessários para a obtenção do grau de Doutor em Informática.

COLORAÇÕES EM GRAFOS COM RESTRIÇÕES DE DISTÂNCIA:
CARACTERIZAÇÕES, POLITOPOS E ESTRATÉGIAS EM PROGRAMAÇÃO
MATEMÁTICA

Bruno Raphael Cardoso Dias

Outubro/2019

Orientadora: Prof^a. Dr^a. Rosiane de Freitas Rodrigues

Co-orientador: Prof. Dr. Nelson Maculan Filho

Coloração em grafos constitui uma das classes de problemas de otimização combinatória de maior relevância teórica e prática, com variações envolvendo restrições adicionais nos vértices ou arestas. Uma das aplicações mais importantes ocorre em telecomunicações, envolvendo a alocação de canais em redes móveis sem fio, na qual canais devem ser atribuídos a um conjunto de dispositivos, de modo a se evitar interferências. O problema de coloração em largura de banda (do inglês, *Bandwidth Coloring Problem* - BCP) modela o caso geral de tal aplicação, onde vértices adjacentes recebem cores diferentes mas tais cores devem respeitar uma separação imposta por meio de pesos nas arestas, generalizando o problema clássico de coloração de vértices em grafos (do inglês, *Vertex Coloring Problem* - VCP). No entanto, esse modelo não aborda todos os casos aplicáveis à alocação de canais, possibilitando a utilização de outros ferramentais teóricos para identificar novos modelos. Sendo assim, nesta tese, são caracterizados novos problemas de coloração de vértices com restrições adicionais de distâncias, baseados em conceitos de geometria de distâncias e teoria dos grafos, com tipos de restrições de adjacência envolvendo igualdades e desigualdades, e valores arbitrários e uniformes para representar as distâncias, aplicáveis a diferentes características da alocação de canais, como comunicação uni- e bidirecional. Esses modelos teóricos definem uma grande subclasse de problemas de colorações com distâncias em grafos, para a qual foram estabelecidas algumas propriedades de factibilidade e complexidade computacional. Formulações de programação por restrições foram propostas com base nas definições dos problemas abordados, com o uso de restrições globais para tratar de vértices que requeiram mais

de uma cor, bem como formulações em programação inteira, onde uma já existente foi refinada e outras duas novas foram propostas, baseadas em orientações do grafo de entrada e nas distâncias entre cores atribuídas. Ambas as formulações propostas possuem tamanho polinomial, ao contrário dos modelos existentes que são pseudo-polinomiais. Um estudo poliedral foi realizado onde, para os novos politopos correspondentes, são definidas propriedades e algumas famílias de desigualdades válidas que induzem a facetas sob determinadas condições. Para avaliar o impacto de tais formulações matemáticas, estratégias computacionais exatas foram utilizadas, com destaque para um algoritmo *cut-and-branch* desenvolvido com base no politopo de orientação e nas desigualdades válidas propostas. Experimentos realizados utilizando instâncias do BCP e de alocação de canais da literatura (onde os vértices podem necessitar de uma cor ou de mais cores) permitiram estabelecer melhores limites superiores para determinadas instâncias, com a prova de otimalidade de soluções heurísticas apresentadas na literatura, e principalmente a obtenção de novos ótimos para outros casos. Foi realizada uma análise comparativa entre as estratégias de programação inteira e por restrições, considerando se os vértices demandam uma ou mais cores. Por fim, foi possível verificar que as novas formulações, em especial a baseada em orientação e o método *cut-and-branch*, permitiram a obtenção de soluções ótimas em menor tempo de execução para diversas instâncias utilizadas, estabelecendo assim que os novos modelos têm bom potencial para solucionar problemas de colorações com distâncias. Os resultados obtidos fornecem contribuições importantes em geometria de distâncias, combinatória poliédrica e teoria dos grafos para a classe de problemas de colorações de vértices em grafos.

Palavras-chave: coloração de vértices, combinatória poliédrica, geometria de distâncias, otimização combinatória, teoria dos grafos.

Abstract of Thesis presented to PPGI/IComp/UFAM as a partial fulfillment of the requirements for the degree of Doctor in Informatics.

GRAPH COLORING PROBLEMS WITH DISTANCE CONSTRAINTS:
CHARACTERIZATIONS, POLYTOPES AND MATHEMATICAL PROGRAMMING
STRATEGIES

Bruno Raphael Cardoso Dias

October/2019

Advisor: Prof. Dr. Rosiane de Freitas Rodrigues

Co-advisor: Prof. Dr. Nelson Maculan Filho

Graph coloring constitute a class of combinatorial optimization problems of great theoretical and practical relevance, with variations involving additional constraints to vertices or edges. One of its most important applications is in telecommunications, involving channel assignment in mobile wireless networks, where channels must be attributed to a set of devices while avoiding interferences. The Bandwidth Coloring Problem (BCP) addresses the general scenario of this application, where adjacent vertices receive different colors, which in turn must respect a separation that is imposed using weighted edges, generalizing the classic Vertex Coloring Problem (VCP). However, this model does not take into account all scenarios of channel assignment, creating the possibility of using other theoretical approaches to identify new models. In this thesis, we characterize new coloring problems with additional distance constraints, based on distance geometry and graph theory concepts, involving equalities and inequalities, and arbitrary and uniform values to represent distances, which can be applied to different characteristics of channel assignment, such as uni- and bidirectional communication. These theoretical models define a subclass of colorings with distances in graphs, for which we establish feasibility and computational complexity properties. We propose constraint programming formulations based on such problem definitions, using global constraints when vertices need more than one color. Also, we explore integer programming models for BCP, improving an existing one and proposing two new others, based on orientations of the input graph and distances between colors assigned to vertices. Both new models have polynomial size, in contrast to existing ones that are pseudopolynomial. A polyhedral

study is made where, for the new corresponding polytopes, we present their properties and some families of valid inequalities which define facets under certain conditions. To evaluate these new mathematical formulations, we developed exact computational strategies, including a cut-and-branch algorithm based on the orientation polytope and its valid inequalities. Experiments made using literature instances for BCP and channel assignment (where vertices may need one color or more colors) led to new better upper bounds for some instances and optimality proofs of heuristic solutions presented in the literature, and, principally, to new optimal solutions in other cases. Through these experiments, a comparative analysis between integer and constraint programming is presented, considering if vertices demand one or more colors. We observed that the new formulations, specially the orientation-based model and the cut-and-branch developed with it, were able to obtain optimal solutions in less time for many instances, establishing that the models have good potential to solve distance coloring problems. Our results provide important contributions for Graph Theory, Distance Geometry and Polyhedral Combinatorics for the graph coloring problems class.

Keywords: combinatorial optimization, distance geometry, graph theory, polyhedral combinatorics, vertex coloring.

Sumário

| | |
|--|-------------|
| Lista de Figuras | xiv |
| Lista de Tabelas | xvii |
| Lista de Siglas | xix |
| 1 Introdução | 1 |
| 1.1 Questão de pesquisa e objetivos | 3 |
| 1.2 Contribuições da tese | 4 |
| 1.3 Organização do documento | 5 |
| 2 Coloração em largura de banda | 6 |
| 2.1 Definições | 6 |
| 2.2 Modelos teóricos e de programação matemática | 8 |
| 2.3 Algoritmos exatos e aproximados | 13 |
| 2.4 Notas do capítulo | 23 |
| 3 Colorações em grafos com restrições de distâncias | 25 |
| 3.1 Modelo teórico em geometria de distâncias | 25 |
| 3.2 Generalizações das restrições de adjacência | 27 |
| 3.2.1 Restrições de desigualdade \geq | 27 |
| 3.2.2 Restrições de igualdade | 28 |
| 3.2.2.1 Propriedades de factibilidade | 31 |
| 3.2.3 Restrições de desigualdade \leq | 37 |
| 3.2.3.1 Propriedades de factibilidade | 39 |
| 3.3 Métodos <i>branch-prune-and-bound</i> | 42 |
| 3.3.1 Seleção de cor | 43 |

| | | |
|----------|--|------------|
| 3.3.2 | Teste de factibilidade | 46 |
| 3.3.3 | Aspectos de otimalidade | 47 |
| 3.4 | Experimentos computacionais | 49 |
| 3.4.1 | Contagem de tipos de grafos em instâncias aleatórias | 50 |
| 3.4.2 | Resultados dos algoritmos <i>branch-prune-and-bound</i> | 53 |
| 3.5 | Notas do capítulo | 56 |
| 4 | Elaboração e implementação de modelos de programação matemática | 61 |
| 4.1 | Programação inteira | 61 |
| 4.1.1 | Demandas unitárias | 62 |
| 4.1.2 | Multicoloração | 62 |
| 4.2 | Programação por restrições | 63 |
| 4.2.1 | Demandas unitárias | 64 |
| 4.2.2 | Multicoloração | 65 |
| 4.3 | Experimentos computacionais | 66 |
| 4.4 | Notas do capítulo | 72 |
| 5 | Formulações de PI e contribuições em combinatória poliédrica | 76 |
| 5.1 | Modelo baseado em orientação | 76 |
| 5.1.1 | Desigualdades válidas | 80 |
| 5.1.1.1 | Desigualdade clique | 81 |
| 5.1.1.2 | Desigualdade clique dupla | 86 |
| 5.1.2 | Método <i>cut-and-branch</i> | 95 |
| 5.1.2.1 | Experimentos computacionais | 97 |
| 5.2 | Modelo baseado em distâncias | 102 |
| 5.2.1 | Desigualdades válidas | 112 |
| 5.2.1.1 | Equivalências com modelo de orientação | 112 |
| 5.2.1.2 | Desigualdade clique | 114 |
| 5.2.1.3 | Desigualdade clique dupla | 114 |
| 5.3 | Notas do capítulo | 115 |
| 6 | Considerações finais | 117 |

| | | |
|----------|--|------------|
| A | Lista de eventos e publicações | 136 |
| A.1 | Artigos em periódicos | 136 |
| A.2 | Conferências internacionais | 137 |
| A.3 | Conferências nacionais | 138 |
| B | Conceitos básicos | 140 |
| B.1 | Otimização linear e discreta | 140 |
| B.2 | Combinatória poliédrica | 146 |
| B.3 | Teoria dos grafos | 149 |
| B.4 | Geometria de distâncias | 152 |
| B.5 | Informações adicionais | 154 |
| C | Coloração clássica de vértices | 156 |
| C.1 | Definições | 156 |
| C.2 | Modelos teóricos e de programação matemática | 158 |
| C.3 | Algoritmos exatos e aproximados | 165 |

Lista de Figuras

| | | |
|------|---|----|
| 1.1 | Exemplo de instância do problema clássico de coloração de vértices em grafos e sua solução ótima com 3 cores. | 1 |
| 1.2 | Exemplo de problema de alocação de canais e sua modelagem como coloração em largura de banda | 3 |
| 3.1 | Exemplo de instância resolvida do BCP com a solução representada por meio de 0-esferas (segmentos de reta). | 26 |
| 3.2 | Instância do MinEQ-CDGP resolvida e sua representação com 0-esferas. . | 31 |
| 3.3 | Instância do EQ-CDGP-Unif resolvida e sua representação com 0-esferas. | 31 |
| 3.4 | Ciclo C_3 que tem solução NÃO para o EQ-CDGP-Unif. | 34 |
| 3.5 | Ciclo ímpar C_{2z+3} que tem solução NÃO para o EQ-CDGP-Unif. | 34 |
| 3.6 | Exemplos de instâncias do EQ-CDGP onde a solução das mesmas (SIM ou NÃO) independe do tipo de grafo de entrada (bipartido ou não). | 35 |
| 3.7 | Coloração de um grafo caminho por meio do algoritmo do Teorema 3.3. . | 36 |
| 3.8 | Ramos de uma árvore. Neste grafo, os rótulos indicam a ordem de visitação de uma busca em profundidade adaptada para colorir os vértices de acordo com o Teorema 3.3. | 36 |
| 3.9 | Instâncias do problema de Particionamento de Conjuntos e suas transformações para o EQ-CDGP. | 37 |
| 3.10 | Instância do LEQ-CDGP resolvida e sua representação com 0-esferas. . . | 38 |
| 3.11 | Instância do LEQ-CDGP-Unif resolvida e sua representação com 0-esferas. | 39 |
| 3.12 | Hierarquia dos problemas de colorações com distâncias definidos no Capítulo 3. | 40 |
| 3.13 | Exemplo de instância do LEQ-CDGP-Unif com solução NÃO, onde o valor da distância implica diretamente na infactibilidade. | 41 |

| | | |
|------|--|-----|
| 3.14 | Exemplo de instância resolvida do MinEQ-CDGP para demonstração da execução dos métodos BPBs nas Figuras 3.15 e 3.16. | 43 |
| 3.15 | Enumeração parcial de soluções, iniciando pelo vértice 2, para a instância do MinEQ-CDGP definida pela Figura 3.14, usando o critério BPB-Prev, com seleção de cor baseada no vértice anterior. | 45 |
| 3.16 | Enumeração parcial de soluções, iniciando pelo vértice 2, para a instância do MinEQ-CDGP definida pela Figura 3.14, usando o critério BPB-Select, com cor determinada pela solução de um sistema de expressões de valor absoluto. | 46 |
| 3.17 | Exemplo de instância do MinGEQ-CDGP onde o BPB-Prev não consegue encontrar a solução ótima. | 49 |
| 3.18 | Exemplo de instância do MinEQ-CDGP onde o BPB-Select não consegue encontrar a solução ótima. | 50 |
| 3.19 | Número total de grafos bipartidos gerados de 1000000 de grafos aleatórios para cada número de vértices. | 52 |
| 3.20 | Crescimento da quantidade média de arestas geradas quando o número de vértices aumenta. | 52 |
| 4.1 | Número de vértices \times tempo de CPU necessário para encontrar a solução ótima (até o tempo limite) para cada método nas instâncias GEOM. | 72 |
| 5.1 | Exemplo de instância do BCP cuja solução é codificada de acordo com o modelo baseado em orientação. No grafo, também é mostrada a orientação induzida. | 78 |
| 5.2 | Exemplo de desigualdade clique para um vértice i e uma clique $K \subseteq N(i)$ de um grafo. | 85 |
| 5.3 | Exemplo de desigualdade clique dupla para uma aresta $(i, j) \in E$, uma clique $K \subseteq N(i) \cap N(j)$ e um vértice $p \in K$ de um grafo. | 86 |
| 5.4 | Exemplo de instância de coloração clássica (VCP) cuja solução é codificada de acordo com o modelo baseado em distâncias, sendo também mostrada pela representação em 0-esferas. No grafo, também é mostrada a orientação induzida. | 104 |
| B.1 | Exemplo de aplicação do <i>branch-and-bound</i> | 144 |

| | | |
|------|---|-----|
| B.2 | Exemplo de aplicação do <i>branch-and-cut</i> , onde a cada subproblema com solução contínua, é aplicado um corte de Gomory. | 145 |
| B.3 | Exemplo gráfico de combinações afim e convexa. | 147 |
| B.4 | Exemplos gráficos de conjuntos convexos e não-convexos em espaços Euclidianos. | 147 |
| B.5 | Exemplos gráficos de fecho convexo de um conjunto de pontos | 148 |
| B.6 | Exemplos de poliedro ilimitado e politopo. | 148 |
| B.7 | Exemplos de formulação, desigualdade válida e faceta do fecho convexo de um politopo. | 149 |
| B.8 | Representação gráfica de um grafo não-direcionado planar com 7 vértices e 10 arestas. | 150 |
| B.9 | Exemplo de grafo completo com 4 vértices (K_4) e seu complemento. | 151 |
| B.10 | Exemplo de clique máxima de um grafo, onde tem-se que o número clique do mesmo é $\omega(G) = 4$ | 151 |
| B.11 | Exemplo de conjunto independente máximo de um grafo, onde tem-se que o número de independência do mesmo é $\alpha(G) = 3$, e sua equivalência à clique máxima do complemento do grafo. | 152 |
| B.12 | Exemplos de grafos de algumas das classes mais conhecidas. | 152 |
| B.13 | Exemplos de intersecção de 3 esferas e os pontos correspondentes obtidos. | 155 |
| C.1 | Exemplo de instância de multicoloração e sua conversão para o VCP. | 157 |
| C.2 | Exemplo de instância do problema clássico de coloração de vértices em grafos e sua solução ótima com 3 cores codificada no modelo de programação inteira clássico. | 159 |
| C.3 | Exemplo de instância do problema clássico de coloração de vértices em grafos e sua solução ótima com 3 cores codificada como conjuntos independentes. | 160 |
| C.4 | Exemplo de instância do problema clássico de coloração de vértices em grafos e sua solução ótima com 3 cores codificada utilizando representantes assimétricos e grafo complementar. | 163 |
| C.5 | Exemplo de instância do problema clássico de coloração de vértices em grafos e sua solução ótima com 3 cores codificada utilizando particionamento reversível em cliques. | 164 |

Lista de Tabelas

| | | |
|-----|--|----|
| 2.1 | Formulações de programação inteira para a coloração em largura de banda (BCP). | 12 |
| 2.2 | Algoritmos exatos para a coloração em largura de banda (BCP). | 14 |
| 2.3 | Algoritmos aproximados para a coloração em largura de banda (BCP). | 24 |
| 3.1 | Sumário dos métodos <i>branch-prune-and-bound</i> | 47 |
| 3.2 | Quantidade de grafos aleatórios com ciclos pares e ímpares, apenas ciclos pares e nenhum ciclo (árvores) e bipartidos para cada número de vértices. Para cada tamanho, foram gerados 1000000 grafos. | 52 |
| 3.3 | Resultados dos algoritmos BP (decisão/busca) aplicados a instâncias do EQ-CDGP - 14 a 26 vértices. | 54 |
| 3.4 | Resultados dos algoritmos BPB (otimização) aplicados a instâncias factíveis do MinEQ-CDGP - 14 a 26 vértices. | 57 |
| 3.5 | Resultados dos algoritmos BPB (otimização) aplicados a instâncias do MinGEQ-CDGP - 14 a 26 vértices. | 58 |
| 3.6 | Menor tamanho de instância onde cada algoritmo e problema de otimização atingem o tempo limite imposto de 10800 segundos (3 horas). | 60 |
| 4.1 | Resultados obtidos pelas formulações de programação inteira e por restrições aplicadas às instâncias GEOM para o BCP. Os valores sublinhados nas colunas "Melhor Obtido" indicam soluções ótimas. | 68 |
| 4.2 | Resultados obtidos pelas formulações de programação inteira e por restrições aplicadas às instâncias do MS-CAP (Philadelphia, Helsinki e artificiais) sem demandas de multicoloração. Como a programação inteira obteve todas as soluções ótimas, a coluna de Melhor LI foi omitida. | 69 |

| | | |
|-----|--|-----|
| 4.3 | Resultados obtidos pelas formulações de programação inteira e por restrições aplicadas às instâncias GEOM para o BMCP. Os valores sublinhados nas colunas "Melhor Obtido" indicam soluções ótimas. | 70 |
| 4.4 | Resultados obtidos pelas formulações de programação inteira e por restrições aplicadas às instâncias do MS-CAP (Philadelphia, Helsinki e artificiais) com multicoloração. Como a programação inteira obteve todas as soluções ótimas, a coluna de Melhor LI foi omitida. | 71 |
| 4.5 | Número de ramificações e falhas (para programação por restrições) e de desigualdades válidas geradas de cada tipo (para programação inteira) para o BCP com as instâncias GEOM (demandas unitárias). | 73 |
| 4.6 | Número de ramificações e falhas (para programação por restrições) e de desigualdades válidas geradas de cada tipo (para programação inteira) para o BCP com as instâncias do MS-CAP (Philadelphia, Helsinki e artificiais) e demandas unitárias. | 74 |
| 4.7 | Número de ramificações e falhas (para programação por restrições) e de desigualdades válidas geradas de cada tipo (para programação inteira) para o BMCP com as instâncias GEOM (multicoloração). | 74 |
| 4.8 | Número de ramificações e falhas (para programação por restrições) e de desigualdades válidas geradas de cada tipo (para programação inteira) para o BMCP com as instâncias do MS-CAP (Philadelphia, Helsinki e artificiais) e multicoloração. | 75 |
| 5.1 | Resultados obtidos pelas implementações dos modelos padrão e baseado em orientação para as instâncias do BCP do conjunto GEOM. | 99 |
| 5.2 | Resultados obtidos pelas implementações do modelo baseado em orientação puro e os algoritmos <i>cut-and-branch</i> para as instâncias do BCP do conjunto GEOM. | 100 |
| 5.3 | Cortes genéricos gerados pelo CPLEX em cada experimento. | 101 |
| C.1 | Formulações de programação inteira para a coloração clássica de vértices. | 165 |
| C.2 | Algoritmos exatos para a coloração clássica de vértices. | 166 |
| C.3 | Algoritmos aproximados para a coloração clássica de vértices. | 175 |

Lista de Siglas

| | |
|-----------------|---|
| B&B | <i>Branch-and-bound.</i> |
| B&C | <i>Branch-and-cut.</i> |
| BCP | Problema de Coloração em Largura de Banda (<i>Bandwidth Coloring Problem</i>). |
| BMCP | Problema de Multicoloração em Largura de Banda (<i>Bandwidth Multicoloring Problem</i>). |
| BP | <i>Branch-and-prune.</i> |
| BPB | <i>Branch-prune-and-bound.</i> |
| CDGP | Problema de Coloração em Geometria de Distâncias (<i>Coloring Distance Geometry Problem</i>). |
| DDCF | Factibilidade Direta de Coloração com Distâncias (<i>Direct Distance Coloring Feasibility</i>). |
| DDF | Factibilidade Direta de Distância (<i>Direct Distance Feasibility</i>). |
| DDGP | Problema de Geometria de Distâncias Discretizáveis (<i>Discretizable Distance Geometry Problem</i>). |
| EQ-CDGP | Problema de Coloração em Geometria de Distâncias Iguais (<i>Equal Distance Geometry Problem</i>). |
| FEA | Alocação Exaustiva por Frequência (<i>Frequency Exhaustive Allocation</i>). |
| LEQ-CDGP | Problema de Coloração em Geometria de Distâncias Menores ou Iguais (<i>Less than or Equal Distance Geometry Problem</i>). |

| | |
|-------------------------|---|
| MI-CAP | Problema de Alocação de Canais de Mínima Interferência (<i>Minimum Interference Channel Assignment Problem</i>). |
| MinEQ-CDGP | Problema de Coloração Mínima em Geometria de Iguais (<i>Minimum Equal Distance Geometry Problem</i>). |
| MinGEQ-CDGP | Problema de Coloração Mínima em Geometria de Distâncias Maiores ou Iguais (<i>Minimum Greater than or Equal Distance Geometry Problem</i>). |
| MinLEQ-CDGP | Problema de Coloração Mínima em Geometria de Distâncias Menores ou Iguais (<i>Minimum Less than or Equal Distance Geometry Problem</i>). |
| MinEQ-CDGP-Unif | Problema de Coloração Mínima em Geometria de Distâncias Uniformes Iguais (<i>Minimum Equal Uniform Distance Geometry Problem</i>). |
| MinGEQ-CDGP-Unif | Problema de Coloração Mínima em Geometria de Distâncias Uniformes Maiores ou Iguais (<i>Minimum Greater than or Equal Uniform Distance Geometry Problem</i>). |
| MinLEQ-CDGP-Unif | Problema de Coloração Mínima em Geometria de Distâncias Uniformes Menores ou Iguais (<i>Minimum Less than or Equal Uniform Distance Geometry Problem</i>). |
| MO-CAP | Problema de Alocação de Canais de Mínima Ordem (<i>Minimum Order Channel Assignment Problem</i>). |
| MS-CAP | Problema de Alocação de Canais de Mínima Extensão (<i>Minimum Span Channel Assignment Problem</i>). |
| PI | Programação inteira. |
| REA | Alocação Exaustiva por Requisição (<i>Requirement Exhaustive Assignment</i> .) |
| VCP | Problema de Coloração de Vértices (<i>Vertex Coloring Problem</i>). |

Capítulo 1

Introdução

Seja $G = (V, E)$ um grafo não direcionado, onde V é seu conjunto de vértices e E o de arestas. O problema de coloração de vértices em grafos (*vertex coloring problem - VCP*) consiste em colorir os elementos de V de modo que vértices adjacentes (ou seja, ligados por uma aresta) não compartilhem a mesma cor. Logo, deve-se atribuir, para cada vértice $i \in V$, uma cor $c(i)$ (representada por um número natural) tal que para cada aresta $(i, j) \in E$, tem-se que $c(i) \neq c(j)$ (Bondy e Murty, 1982). A Figura 1.1 fornece um pequeno exemplo de instância do VCP.

O estudo da coloração de grafos foi iniciado em 1852 por Francis Guthrie, que, ao tentar colorir o mapa da Inglaterra, percebeu que bastavam quatro cores e conjecturou que isso seria o caso para qualquer mapa (Lewis, 2016). Um mapa pode ser visto como um grafo planar, onde cada território corresponde a um vértice e, entre territórios que compartilham uma fronteira, há uma aresta. Como o grafo é planar, há pelo menos uma forma de as arestas serem esenhadas sem que se cruzem.

A conjectura de Guthrie somente foi provada no século XX por Appel e Haken (1977). Uma das características mais interessantes da prova é que mesma foi a primeira desenvolvida com auxílio de computador. Nela, os autores reduziram o conjunto de todos os

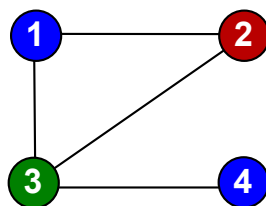


Figura 1.1: Exemplo de instância do problema clássico de coloração de vértices em grafos e sua solução ótima com 3 cores.

grafos planares a um conjunto de 1936 configurações inevitáveis, que foi posteriormente reduzido a 1482 elementos (Appel et al., 1977).

Atualmente, coloração de grafos constitui um dos problemas mais estudados em teoria dos grafos e otimização combinatória, possuindo inúmeras generalizações e aplicações, tais como escalonamento de tarefas (de Freitas et al., 2010), atribuição de registradores em compiladores (Chaitin, 1982), determinação de horários escolares (*timetabling*) (Burke et al., 2010), dentre outros. Entretanto, o problema é NP-difícil (e sua versão de decisão é um dos 21 problemas NP-completos de Karp (Karp, 1972)), o que requer o uso de técnicas mais avançadas para a obtenção de soluções exatas em tempo computacional aceitável (mas ainda exponencial).

Além das aplicações supracitadas, uma das mais importantes é a alocação de canais em redes móveis sem fio, que é amplamente explorada com o avanço das tecnologias de comunicação móvel nos últimos anos. Nela, há um conjunto de dispositivos que devem receber canais, respeitando restrições de separação de modo a evitar interferências (Audhya et al., 2011; Dias et al., 2012; Dias, 2014). Diversas variações de colorações em grafos foram propostas para esta aplicação, como a T-coloração, na qual há o conceito de conjuntos proibidos (onde, para cada aresta, existe um conjunto $T_{i,j}$), de forma que uma coloração válida passa a ser um mapeamento $c : V \rightarrow \mathbb{N}$, onde $\forall (i, j) \in E, |c(i) - c(j)| \notin T_{i,j}$ (Hale, 1980). Um caso especial muito importante da T-coloração ocorre quando, para cada aresta $(i, j) \in E$, tem-se $T_{i,j} = \{0, 1, \dots, d(i, j) - 1\}$, onde $\forall (i, j) \in E, d(i, j) \in \mathbb{N}$. O valor $d(i, j)$ representa uma distância a ser respeitada entre as cores atribuídas aos vértices i e j , ou seja, $|c(i) - c(j)| \geq d(i, j)$. Tal caso é conhecido como coloração em largura de banda (*bandwidth coloring problem* - BCP), já que surgiu em tal contexto de alocação de canais (Trick et al., 2002; Lai e Lü, 2013). A Figura 1.2 mostra um exemplo de problema de alocação de canais e sua correlação com a coloração em grafos.

Durante a pesquisa a nível de mestrado (Dias, 2014), explorou-se aspectos tecnológicos de alocação de canais, seguindo um esquema fixo de com acesso múltiplo dividido por frequência (*Frequency-division Multiple Access* - FDMA), sendo também apresentada uma proposta de uso de métodos para esse esquema em rádios cognitivos a partir de uma extensão de pré-alocação em um retrato temporal da rede. Com base nisso, foi desenvolvido um método aproximado, seguindo a meta-heurística *simulated annealing*, para a alocação de canais (Dias et al., 2013a), considerando o problema modelado usando

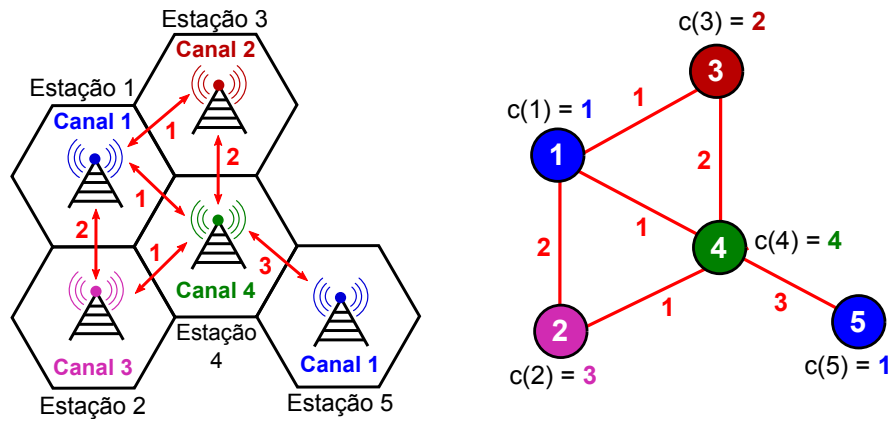


Figura 1.2: Exemplo de problema de alocação de canais e sua modelagem como coloração em largura de banda. O valor em uma aresta $(i, j) \in E$ indica o valor $d(i, j)$.

os problemas de coloração em grafos citados acima. Como continuação da pesquisa realizada no mestrado, esta tese aborda aspectos teóricos dos problemas de coloração em grafos relacionados à alocação de canais, incluindo modelos com restrições adicionais de distâncias, baseando-se no ferramental de geometria de distâncias, bem como contribuições científicas em combinatória poliédrica, teoria dos grafos e programação matemática para a determinação de soluções ótimas.

1.1 Questão de pesquisa e objetivos

Apesar da existência de variações de colorações em grafos verificou-se uma lacuna em relação a alguns tipos de restrições que podem ser exploradas, em especial as que envolvem distâncias e que podem ser aplicadas no contexto de aplicação de canais. Assim, esta tese tem como objetivo principal responder ao seguinte questionamento: é possível estabelecer modelos teóricos representativos e métodos de resolução eficazes que explorem características geométricas de problemas de coloração de vértices com distâncias? Tal questão origina-se do fato de que certas variações de coloração são pouco exploradas do ponto de vista de obtenção de métodos de solução, em especial exatos. Baseando-se em tais questionamentos, tem-se três objetivos específicos do trabalho, que são:

1. Identificação de variações interessantes do problema de coloração em grafos envolvendo pesos nas arestas, podendo ser valores inteiros positivos arbitrários ou uniformes, e diferentes tipos de restrições entre cores de vértices adjacentes, bem

como propriedades grafo-teóricas relacionadas à factibilidade e complexidade computacional das mesmas.

2. Desenvolvimento de formulações baseadas em modelagens matemáticas, em especial programação inteira e por restrições, para colorações com distâncias, com base em características geométricas do problema que permitam a exploração de conceitos de geometria de distâncias e combinatória poliédrica.
3. Elaboração de algoritmos para solução de tais colorações, em especial métodos exatos com planos de corte em enumeração implícita baseados nos modelos desenvolvidos no item anterior, que permitam a obtenção de soluções de forma mais eficiente em determinados cenários.

1.2 Contribuições da tese

Nesta tese, foram obtidos os principais conjuntos de contribuições científicas enumerados a seguir:

1. Caracterização de novos problemas de colorações com distâncias, que foram correlacionados em uma estrutura hierárquica entre os problemas existentes de colorações de vértices e geometria de distâncias, a qual forma a subclasse de problema de colorações com distâncias, sendo apresentadas propriedades de factibilidade e complexidade computacional para a mesma.
2. Estratégias baseadas em programação matemática, de modo que uma formulação de programação inteira existente para o BCP, que é relacionado às colorações com distâncias, foi melhorada e duas de programação por restrições foram propostas para o BCP e sua variante com demandas múltiplas, onde os vértices podem precisar de uma ou mais cores distintas, havendo também uma distância mínima entre cores do mesmo vértice.
3. Novos modelos de programação inteira, sendo um, para o BCP, dito baseado em orientações (uma vez que as soluções de tal modelo induzem a orientações do grafo de entrada), tendo tamanho linear em relação aos vértices e arestas, e o outro, para o VCP, baseado nas distâncias entre cores atribuídas aos vértices.

4. Métodos de resolução baseados nos modelos abordados nesta tese, como um *cut-and-branch* para a formulação baseada em orientações, além de algoritmos *branch-prune-and-bound* propostos a partir dos modelos teóricos de colorações com distâncias, cujos estudos foram aprofundados nesta tese a partir da versão preliminar feita na pesquisa de mestrado.
5. Novos limites superiores para diversas instâncias do BCP presentes na literatura, incluindo novas soluções ótimas para algumas destas, bem como provas de otimalidade para resultados heurísticos da literatura.

Além disso, algumas outras contribuições de produção também foram obtidas, tais como uma revisão em português da literatura sobre colorações em grafos, bem como diversas publicações em eventos e periódicos da área.

1.3 Organização do documento

O restante desta tese está organizado como se segue. O Capítulo 2, mostra uma revisão da literatura sobre colorações em grafos, em especial com resultados para a coloração clássica e em largura de banda, envolvendo limites, formulações de programação inteira e algoritmos exatos e aproximados. No Capítulo 3, são apresentados os resultados teóricos obtidos para modelos de colorações com restrições de distância (*distance coloring*), tais como caracterizações de factibilidade e complexidade. O Capítulo 4, mostra modelos de programação inteira e por restrições para a coloração em largura de banda, além de detalhes de suas implementações computacionais e resultados empíricos com instâncias da literatura. No Capítulo 5 são apresentados dois novos modelos de programação inteira. O primeiro é dito ser baseado em orientação para a coloração em largura de banda (já que as soluções induzem a orientações do grafo a ser colorido), com o qual também é mostrado um método *cut-and-branch*. Já o segundo é baseado em distâncias, proposto para a coloração clássica e desenvolvido com base no primeiro, com resultados teóricos preliminares. Por fim, no Capítulo 6, são feitas as considerações finais, incluindo uma lista de atividades realizadas, e indicados os próximos passos da pesquisa.

Capítulo 2

Coloração em largura de banda

Neste capítulo, será apresentada uma revisão da literatura para a coloração em largura de banda (BCP). Mais especificamente, será mostrada uma definição formal de tal problema, bem como modelos de programação inteira e algoritmos exatos e aproximados presentes em trabalhos publicados na literatura.

A revisão para esse problema foi feita pelo fato de que a coloração em largura de banda é um dos problemas que já envolve pesos nas arestas, servindo de base para a generalização de outros tipos de restrição de adjacência, que são discutidos no Capítulo 3.

2.1 Definições

Como já foi dito, no problema de coloração em largura de banda (*bandwidth coloring problem* - BCP), a restrição de cores para vértices adjacentes não exige apenas que as mesmas sejam diferentes, mas sim que respeitem uma determinada separação. Uma definição formal do BCP é fornecida a seguir.

Definição 2.1.1. Problema de Coloração em Largura de Banda (*Bandwidth Coloring Problem* - BCP): *dado um grafo simples não direcionado $G = (V, E)$, onde V é o conjunto de vértices e E o de arestas, e uma função $d : E \rightarrow \mathbb{N}$ de pesos para as arestas encontrar um mapeamento $c : V \rightarrow \mathbb{N}$ tal que, para cada $(i, j) \in E$, tenha-se que $|c(i) - c(j)| \geq d(i, j)$ e a maior cor atribuída a um vértice ($\max_{i \in V} c(i)$) seja minimizada.*

Pela definição do BCP, observa-se duas principais características: a introdução de pesos nas arestas, que representam limites inferiores para a diferença absoluta de cores

entre vértices vizinhos, e a mudança na função objetivo, onde, ao invés de minimizar a quantidade de cores usadas, deve-se minimizar a maior cor usada (o que equivale à extensão (*span*) da coloração). O BCP generaliza a coloração clássica de forma que toda instância desta pode ser vista como uma do BCP na qual, para toda aresta $(i, j) \in E$, tem-se que $d(i, j) = 1$. Nesse cenário, a extensão da coloração equivalerá a menor quantidade de cores necessária para uma k -coloração.

Assim como na coloração clássica, existe uma variação do BCP onde cada vértice pode requisitar mais de uma cor. Esta variação é denominada de problema de multicoloração em largura de banda (*bandwidth multicoloring problem* - BMCP), cuja definição é dada a seguir.

Definição 2.1.2. Problema de Multicoloração em Largura de Banda (*Bandwidth Multicoloring Problem* - BMCP): dado um grafo não direcionado $G = (V, E)$, onde V é o conjunto de vértices e E o de arestas, uma função $d : E \rightarrow \mathbb{N}$ de pesos para as arestas e uma função $w : V \rightarrow \mathbb{N}$ de pesos para os vértices determinar, para cada $i \in V$, $w(i)$ cores distintas $(c(i, 1), c(i, 2), \dots, c(i, w(i)))$ tais que para toda aresta $(i, j) \in E$, tenha-se, para todo $1 \leq p \leq w(i)$ e $1 \leq q \leq w(j)$, que $|c(i, p) - c(j, q)| \geq d(i, j)$, de modo que a maior cor atribuída a um vértice $(\max_{i \in V, 1 \leq p \leq w(i)} c(i, p))$ seja minimizada.

Ambas as colorações acima originaram-se no contexto do planejamento de redes de telecomunicações sem fio, mais especificamente na alocação de canais em tais redes, que são modeladas por meio de colorações em grafos (Hale, 1980). Nesse problema, deve-se atribuir porções discretizadas do espectro eletromagnético (os canais) para dispositivos da rede, tais como estações de rádio-base (ERB), de modo a evitar ou minimizar interferências. Uma abordagem clássica para isso envolve o Problema de Alocação de Canais de Mínima Extensão, cuja definição é dada abaixo para fins de completude.

Definição 2.1.3. Problema de Alocação de Canais de Mínima Extensão (*Minimum Span Channel Assignment Problem* - MS-CAP): é dado um conjunto E de estações em uma rede móvel sem fio, onde cada uma requer r_i canais, e uma matriz de compatibilidade $M_{n \times n}$, onde o elemento m_{ij} da mesma indica a separação mínima entre canais atribuídos às estações i e j . Uma alocação de canais válida para E consiste na atribuição de r_i inteiros positivos (representando os canais) para cada estação i de modo que, para duas estações i e j , os canais atribuídos às mesmas devem respeitar a separação mínima,

isto é, para cada $1 \leq p \leq r_i$ e $1 \leq q \leq r_j$, sendo $f_{i,p}$ o p -ésimo canal de i , tem-se que $|f_{i,p} - f_{j,q}| \geq m_{ij}$. Deve-se, então, determinar a alocação de menor extensão (ou seja, onde o maior canal usado é o menor possível)

Dada uma instância do MS-CAP, pode-se tratá-la como uma do BMCP associando-se o conjunto E de estações como o conjunto V de vértices, utilizando cada valor r_i de demanda de canais como o valor $w(i)$ de demanda de cores, além de considerar os valores m_{ij} da matriz de compatibilidade como o peso $d(i, j)$ de uma aresta entre os vértices i e j . Tal matriz serve como abstração dos diversos fatores que causam interferências entre dispositivos de comunicação sem fio, tais como a potência do sinal e a relação sinal-ruído, sendo que os valores da matriz podem ser definidos como funções destas propriedades. As porções do espectro eletromagnético corresponderão às cores no BMCP (Audhya et al., 2011; Dias et al., 2012). Seguindo isso, muitas estratégias algorítmicas e propriedades para o MS-CAP são diretamente aplicáveis às colorações com largura de banda, portanto, nas subseções seguintes, serão abordados também alguns resultados para alocação de canais de mínima extensão onde o modelo utilizado é o mesmo definido acima.

2.2 Modelos teóricos e de programação matemática

Ao contrário do VCP, não existem muitos modelos teóricos distintos que saiam da definição padrão do problema. Apesar de que vértices utilizando cores iguais continuam definindo conjuntos independentes no BCP, os valores numéricos de tais cores passam a ter importância, uma vez que a restrição de adjacência envolve a diferença absoluta entre cores dos extremos das arestas. Sendo assim, os modelos de programação matemática a seguir são derivados da definição do problema.

O primeiro modelo definido para o BCP é baseado na formulação padrão para a coloração clássica, que foi originalmente proposta para uma variante mais geral do MS-CAP que permite que a menor cor usada seja diferente de 1, o que não é necessário no BCP.

Para maior clareza, o modelo a ser mostrado a seguir foi adaptado nesta revisão diretamente para o BCP. São usados os seguintes conjuntos de variáveis:

$$\bullet \ x_{ik} = \begin{cases} 1 & \text{se a cor } k \text{ for atribuída ao vértice } i; \\ 0 & \text{caso contrário.} \end{cases}$$

- $y_k = \begin{cases} 1 & \text{se a cor } k \text{ for atribuída a algum vértice;} \\ 0 & \text{caso contrário.} \end{cases}$

- z_{max} : maior cor usada na solução.

Assim, tem-se a seguinte formulação de programação inteira:

(PI-BCP-Padrão)

$$\text{Minimizar } z_{max} \quad (2.1)$$

$$\text{Sujeito a } \sum_{k=1}^U x_{ik} = 1 \quad (\forall i \in V) \quad (2.2)$$

$$x_{ik} + x_{jm} \leq 1 \quad (\forall (i, j) \in E; k, m = 1, 2, \dots, U : |k - m| < d(i, j)) \quad (2.3)$$

$$x_{ik} \leq y_k \quad (\forall i \in V; k = 1, 2, \dots, U) \quad (2.4)$$

$$z_{max} \geq ky_k \quad (\forall k = 1, 2, \dots, U) \quad (2.5)$$

$$x_{ik} \in \{0, 1\} \quad (\forall i \in V; k = 1, 2, \dots, U) \quad (2.6)$$

$$y_k \in \{0, 1\} \quad (\forall k = 1, 2, \dots, U) \quad (2.7)$$

A função objetivo (2.1) consiste no valor da maior cor usada, que será minimizada. As restrições (2.2) indicam que cada vértice deve receber uma cor (no caso do BMCP, pode-se substituir o lado direito por $w(i)$ ao invés de expandir o grafo de entrada). O conjunto de restrições (2.3) faz com que vértices adjacentes não recebam cores que violem a separação mínima exigida entre elas. As restrições (2.4) sincronizam as variáveis do conjunto x e y , de modo que para uma determinada cor k , houver uma variável x_{ik} com valor 1 (independentemente do vértice i), então a variável y_k também deverá ter valor 1. O conjunto de restrições (2.5) garantem que o valor da variável z_{max} será igual ao valor da maior cor usada. Por fim, as restrições (2.6) e (2.7) são de integralidade para os conjuntos de variáveis x e y .

No modelo acima, existem $O(U|V|)$ variáveis no conjunto x e $O(U)$ variáveis no conjunto y , além de uma variável adicional z_{max} , bem como $O(U^2|E| + U|V| + U + |V|)$ restrições. Como as variáveis são indexadas pela cor, a quantidade das mesmas depende de um limite superior U para a maior cor possível, que é derivado dos valores dos pesos nas arestas. Assim, o modelo tem dimensão pseudopolinomial.

Uma segunda formulação para o BCP é baseada no uso de outra função objetivo en-

volvendo a minimização da ordem (ou seja, de cores usadas). No contexto de alocação de canais, há uma variante similar ao MS-CAP (de onde os modelos anteriores para o BCP se originaram), denominado de Problema de Alocação de Canais de Mínima Ordem (*Minimum Order Channel Assignment Problem*, MO-CAP), onde a diferença é que, ao invés de minimizar-se o maior canal (cor) usado, deve-se minimizar a quantidade de canais (cores) usados. Na formulação padrão, como as variáveis y_k indicam se a cor k foi usada ou não, tem-se que a expressão $\sum_{k=1}^U y_k$ equivale à quantidade de cores usadas.

No BCP, a menor cor usada é sempre 1, logo, é possível elaborar uma formulação onde a função objetivo é a mesma do MO-CAP, bastando uma restrição adicional. Tal restrição surgiu de outro modelo originalmente proposto por Baybars (1982) para um caso especial do MO-CAP onde, para cada vértice i , apenas há restrições relacionadas a quais outros vértices não podem usar a mesma cor k de i e quais não podem usar cores adjacentes à de i (ou seja, $k - 1$ e $k + 1$). Ressalta-se que o BCP é mais geral, pois os pesos nas arestas implicam que dois vértices podem não usar cores que distem mais de 1 entre si (ou seja, que sejam além de apenas adjacentes).

São usados os seguintes conjuntos de variáveis (os mesmos da formulação padrão):

$$\bullet \ x_{ik} = \begin{cases} 1 & \text{se a cor } k \text{ for atribuída ao vértice } i; \\ 0 & \text{caso contrário.} \end{cases}$$

$$\bullet \ y_k = \begin{cases} 1 & \text{se a cor } k \text{ for atribuída a algum vértice;} \\ 0 & \text{caso contrário.} \end{cases}$$

Assim, tem-se a seguinte formulação já adaptada para o BCP (Aardal et al., 2007):

(PI-BCP-MinOrdem)

$$\text{Minimizar } \sum_{k=1}^U y_k \quad (2.8)$$

$$\text{Sujeito a } \sum_{k=1}^U x_{ik} = 1 \quad (\forall i \in V) \quad (2.9)$$

$$x_{ik} + x_{jm} \leq 1 \quad (\forall (i, j) \in E; k, m = 1, 2, \dots, U : |k - m| < d(i, j)) \quad (2.10)$$

$$x_{ik} \leq y_k \quad (\forall i \in V; k = 1, 2, \dots, U) \quad (2.11)$$

$$y_{k+1} \leq y_k \quad (\forall k = 1, 2, \dots, U - 1) \quad (2.12)$$

$$x_{ik} \in \{0, 1\} \quad (\forall i \in V; k = 1, 2, \dots, U) \quad (2.13)$$

$$y_k \in \{0, 1\} \quad (\forall k = 1, 2, \dots, U) \quad (2.14)$$

As restrições (2.9), (2.10) e (2.11) são, respectivamente, iguais às restrições (2.2), (2.3) e (2.4) da formulação padrão. O conjunto de restrições 2.12 faz com que cores que não tenham sido atribuídas a nenhum vértice, mas que sejam menores que a maior cor usada, sejam contabilizadas na soma da quantidade de cores usadas. Por fim, as restrições (2.13) e (2.14) são de integralidade.

Similarmente à formulação padrão, no modelo acima, existem $O(U|V|)$ variáveis no conjunto x e $O(U)$ variáveis no conjunto y , além de $O(U^2|E| + U|V| + U + |V|)$ restrições. Por conta da similaridade entre esta formulação e a padrão, a dimensão de ambas é assintoticamente igual e pseudopolinomial.

A última formulação para o BCP, originalmente desenvolvida para o MS-CAP, foi proposta por Giortzis e Turner (1997). Nesta formulação, todas as variáveis usadas são binárias, de modo que, ao invés de uma variável z_{max} contendo o valor da maior cor usada, é usado um conjunto de variáveis indexadas por cor, que indicam se dada cor é ou não a maior usada.

Novamente, para fins de clareza, a formulação a ser dada abaixo já foi adaptada para o BCP nesta revisão. São usados os seguintes conjuntos de variáveis:

$$\bullet \ x_{ik} = \begin{cases} 1 & \text{se a cor } k \text{ for atribuída ao vértice } i; \\ 0 & \text{caso contrário.} \end{cases}$$

$$\bullet \ u_k = \begin{cases} 1 & \text{se a cor } k \text{ for a maior usada;} \\ 0 & \text{caso contrário.} \end{cases}$$

A formulação é, então, dada por:

(PI-BCP-TotalBinaria)

$$\text{Minimizar} \quad \sum_{k=1}^U k u_k \quad (2.15)$$

$$\text{Sujeito a} \quad \sum_{k=1}^U x_{ik} = 1 \quad (\forall i \in V) \quad (2.16)$$

$$x_{ik} + x_{jm} \leq 1 \quad (\forall (i, j) \in E; k, m = 1, 2, \dots, U : |k - m| < d(i, j)) \quad (2.17)$$

$$\sum_{k=1}^U u_k = 1 \quad (2.18)$$

$$x_{ik} + u_m \leq 1 \quad (\forall (i, j) \in E; k, m = 1, 2, \dots, U : k > m) \quad (2.19)$$

$$x_{ik} \in \{0, 1\} \quad (\forall i \in V; k = 1, 2, \dots, U) \quad (2.20)$$

$$u_k \in \{0, 1\} \quad (\forall k = 1, 2, \dots, U) \quad (2.21)$$

A função objetivo (2.15) consiste em minimizar a soma de cada variável u_k multiplicada pelo respectivo índice k , o que, devido às restrições impostas, equivalerá ao valor da maior cor usada. As restrições (2.16) indicam que cada vértice deve receber uma cor (novamente, para o BMCP, pode-se substituir o lado direito por $w(i)$). O conjunto de restrições (2.17) faz com que vértices adjacentes não recebam cores que violem a separação mínima exigida entre elas. As restrições (2.18) garantem que apenas uma variável u_k terá valor 1. O conjunto de restrições (2.19) faz com que nenhum vértice use uma cor maior que k caso $u_k = 1$ e vice-versa (ou seja, caso um vértice use a cor k , então para qualquer cor $m < k$, $u_m = 0$). Por fim, as restrições (2.20) e (2.21) são de integralidade para os conjuntos de variáveis x e y .

Como nas formulações anteriores, tem-se $O(U|V|)$ variáveis no conjunto x e $O(U)$ variáveis no conjunto u . O maior conjunto de restrições é (2.19), onde há $O(U^2|E|)$ restrições. No entanto, devido ao modo como as restrições estão dispostas, na prática, esta formulação tende a gerar modelos ligeiramente maiores ao ser usada para resolução de uma instância do BCP. Sendo assim, o modelo tem $O(2U^2|E|)$ restrições, além de mais $O(|V|)$ outras de 2.16, totalizando $O(2U^2|E| + |V|)$. Ressalta-se também que, do mesmo modo que ocorre na formulação padrão, esse modelo também tem tamanho pseudopolinomial.

A Tabela 2.1 fornece um sumário das formulações de programação inteira descritas para a coloração clássica.

Tabela 2.1: Formulações de programação inteira para a coloração em largura de banda (BCP).

| Formulação | Variáveis | Restrições | Referências |
|--|-------------------|------------------------------|--------------------------------------|
| PI-BCP-Padrão - Padrão | $O(U V + U + 1)$ | $O(U^2 E + U V + U + V)$ | - |
| PI-BCP-MinOrdem - Minimização da ordem | $O(U V + U)$ | $O(U^2 E + U V + U + V)$ | Baybars (1982); Aardal et al. (2007) |
| PI-BCP-TotalBinária - Inteiramente binária | $O(U V + U + 1)$ | $O(2U^2 E + V)$ | Giortzis e Turner (1997) |

2.3 Algoritmos exatos e aproximados

Ao contrário do que ocorre com a coloração clássica, há poucos métodos exatos para encontrar a solução ótima de uma instância do BCP, sendo os mesmos originados do problema de alocação de canais.

Um método *branch-and-cut* foi proposto por Aardal et al. (1996), com base na formulação padrão (PI-BCP-Padrão). O algoritmo foi proposto originalmente para a minimização da ordem (quantidade de cores usadas), porém, o politopo definido pela formulação é exatamente o mesmo, logo, pode-se usar o método com uma modificação na função objetivo ou, mantendo a mesma, usando o modelo que adiciona restrições para que a minimização da ordem seja equivalente à minimização da maior cor usada (PI-BCP-MinOrdem). Tal algoritmo usa dois tipos de grafos da instância: o primeiro, de interferência, equivale ao original de entrada, enquanto o segundo, de variáveis, utiliza um vértice para cada par de vértice original e cor e arestas indicando violações das restrições. O algoritmo usa desigualdades válidas baseada em cliques de ambos os grafos e um critério de dominância para reduzir o tamanho do problema, bem como heurísticas para transformar soluções contínuas parciais em inteiras e dois critérios de ramificação.

Outro algoritmo exato foi proposto por Mannino e Sassano (2003), também desenvolvido originalmente no contexto de alocação de canais. O método é uma enumeração implícita baseada em *backtracking* com critérios de fixação e consiste em colorir cada vértice de acordo com um critério de seleção e, após esse processo, bloquear, em seus vizinhos, todas as cores que, se atribuídas aos mesmos, violem as restrições de separação entre cores. Para reduzir o tempo de execução, é usado um *backtracking* restrito, no qual apenas uma parte da árvore de enumeração é explorada, isto é, entre dois subproblemas, uma quantidade fixa de soluções parciais é considerada e o restante é ignorada. Dois critérios de fixação são usados no algoritmo. O primeiro, de fixação de cor, tenta remover, de alguns vértices, cores de seu conjunto de possibilidades que não levarão a soluções factíveis. O segundo critério é o de fixação de vértice, que tenta encontrar vértices que podem ser sempre coloridos após todos os outros.

Uma outra abordagem foi proposta por Shirazi e Amindavar (2005), utilizando uma programação dinâmica modificada e também sendo desenvolvido, originalmente, para o MS-CAP, podendo ser aplicado diretamente ao BCP e ao BMCP. O algoritmo trata a coloração em largura de banda como a determinação de um caminho de menor custo

Tabela 2.2: Algoritmos exatos para a coloração em largura de banda (BCP).

| Referência | Estratégia algorítmica |
|----------------------------|--|
| Aardal et al. (1996) | <i>Branch-and-cut</i> com cortes clique |
| Mannino e Sassano (2003) | <i>Backtracking</i> com podas e restrições |
| Shirazi e Amindavar (2005) | Programação dinâmica estendida |

em um grafo Trellis, onde as colunas correspondem a cada demanda de cores de cada vértice e as linhas às cores disponíveis. A determinação da solução é feita por meio dos caminhos determinados, onde a posição p de um valor no caminho indica a cor do p -ésimo vértice (em um grafo expandido, no caso do BMCP). Dentre todos os caminhos gerados, verifica-se qual tem o menor valor para a maior cor usada e retorna-se o mesmo como solução ótima.

A Tabela 2.2 fornece um resumo das referências citadas de algoritmos exatos para o BCP e BMCP.

Existem diversas heurísticas e meta-heurísticas para o BCP/BMCP na literatura, muitas delas baseadas em construções e operadores usados para a coloração clássica, devidamente modificados para tratar a separação entre cores de vértices adjacentes. As duas heurísticas construtivas mais utilizadas para a coloração clássica, DSATUR_H (Brélaç, 1979) e RLF (Leighton, 1979), também podem ser usadas para a geração de soluções do BCP. No caso do DSATUR_H, ao selecionar-se a cor de um vértice, ao invés de somente verificar se algum vizinho usa tal cor, deve-se checar se a separação mínima é respeitada. Já para o RLF, o conceito de conjuntos independente ainda é válido, porém, ao preencher uma classe de cor, um vértice não colorido pode não ser compatível com a cor por violar a separação mínima com algum vértice já colorido (enquanto na coloração clássica, bastaria verificar quais vértices não são adjacentes ao que já foi colorido), o que exige verificar tal restrição ao tentar adicionar cada vértice em uma classe de cor.

Outras heurísticas construtivas, que podem ser usadas tanto para o BCP quanto para o BMCP, foram desenvolvidas por Sivarajan et al. (1989) com base no trabalho de Zoellner e Beall (1977), formando uma coleção de heurísticas. Todos os algoritmos propostos pelos autores partem de uma lista de demandas de cores (para o BCP, basta uma permutação dos vértices). Para a determinação de tal lista, parte-se de uma ordenação dos vértices, que pode ser obtida de duas formas, ambas baseadas nos graus dos vértices. Em seguida, tal ordenação é colocada em uma matriz, repetindo os vértices de acordo com a quantidade

de cores exigidas de cada um, e então podem ser usadas duas estratégias para obter a lista de demandas, uma enumerando cada demanda por linhas e outra por colunas da matriz. Enfim, com base nesta lista, obtém-se uma solução seguindo duas estratégias:

1. Alocação Exaustiva por Frequência (*Frequency Exhaustive Assignment - FEA*): partindo do primeiro elemento da lista de demandas, atribuir, para a demanda atual, a menor cor possível que não viole as restrições.
2. Alocação Exaustiva por Requisição (*Requirement Exhaustive Assignment - REA*): partindo da cor 1, aloca-se, para cada demanda na lista (segundo a ordem da mesma), tal cor caso nenhuma restrição seja violada. O processo é feito novamente começando da cor 2, colorindo-se as demandas restantes e assim segue-se até que todas sejam satisfeitas.

Cada algoritmo é composto de um método de ordenação de vértices, um de listagem de demandas e uma estratégia de alocação. Sendo assim, Sivarajan et al. (1989) obtiveram oito algoritmos para o BMCP.

Um outro tipo de heurística construtiva compatível com o BMCP foi proposta por Chakraborty (2001), com a finalidade de obter um conjunto de soluções para a instância de entrada. O algoritmo representa uma solução por meio de uma matriz onde cada elemento indica de um vértice usa uma determinada cor ou, caso contrário, se pode ou não usá-la. Partindo de uma matriz inicial, é gerada uma permutação das demandas de cores dos vértices, que servirá de ordem para atribuir a menor cor possível a cada um deles, de modo que, ao atribuir uma cor a um vértice, os vizinhos não poderão usar cores que violem restrições do BMCP. Ao variar as permutações, obtém-se um conjunto de soluções para o BMCP.

Phan e Skiena (2002) desenvolveram um *software* de otimização combinatória denominado *Discript*, contendo heurísticas *hill climbing*, *simulated annealing* e gulosa incremental, podendo ser utilizadas de forma genérica em diversos problemas discretos. Os autores utilizaram o sistema para resolver o BCP, utilizando as duas primeiras heurísticas citadas, onde, para tratar possíveis soluções infactíveis, é usada uma função objetivo composta, baseada no valor da maior cor usada e na factibilidade da mesma, de acordo com o número de conflitos.

Diversas meta-heurísticas foram desenvolvidas para BCP e BMCP, algumas diretamente para os mesmos e outras originalmente para o MS-CAP, sendo descritas a seguir.

Uma das técnicas usadas para solução do BMCP é a busca local, sendo a base do algoritmo proposto por Lau e Tsang (1998). A função objetivo consiste em minimizar a quantidade de violações das restrições em uma solução e a vizinhança usada consiste em mudar a cor de um vértice de modo a reduzir a quantidade de conflitos. Para que a busca seja mais rápida, ao invés de explorar toda a vizinhança, o algoritmo verifica somente trocas que podem levar a uma melhoria da solução. Assim, caso uma variável não tenha seu valor alterado, a mesma é marcada como inativa e não é mais levada em consideração nas próximas iterações da busca local. Os autores encapsularam esse procedimento em uma busca local guiada (*guided local search - GLS*), onde são definidas características das soluções, com custos e penalidades, e deseja-se remover as características ruins das soluções obtidas.

Hao et al. (1998) desenvolveram uma busca tabu enxuta para o BMCP. O espaço de busca do método consiste em soluções nas quais as restrições entre cores para um mesmo vértice são sempre respeitadas, porém a separação entre cores de vértices distintos pode ser violada. A vizinhança usada também envolve trocar as cores dos vértices. Quando a cor de um vértice é alterada em uma solução, um par indicando o vértice e a cor anterior é colocado na lista tabu, sendo o período tabu dinâmico.

Uma outra abordagem baseada em busca tabu foi proposta por Lai e Lü (2013), utilizando reinícios múltiplos (*multistart*). As soluções usadas permitem violações das restrições, sendo a inicial é aleatória. A vizinhança usada é a mesma dos dois algoritmos anteriores, com troca de cores nos vértices, mas com o uso de estratégias para avaliação rápida dos movimentos da busca local. O período tabu é dinâmico e proporcional ao custo da melhor solução (maior cor usada) e à frequência de atribuições da cor antiga ao vértice considerado e inversamente proporcional à maior frequência de atribuição de uma cor a um vértice. Por fim, para escapar de ótimos locais e permitir o *multistart*, é usado um critério de perturbação, no qual a cor de cada vértice é incrementada de acordo com um escopo de perturbação.

Outro método que usa busca tabu foi proposto por Lim et al. (2005), baseado também na meta-heurística *Squeaky Wheel Optimization (SWO)*, onde sequências de vértices são usadas para definir prioridades e as soluções são melhoradas por meio de busca tabu em uma vizinhança de troca entre pares nas sequências de vértices.

Lim et al. (2005) desenvolveu um método envolvendo busca tabu e *Squeaky Wheel*

Optimization, onde sequências de vértices são usadas para definir prioridades e as soluções são melhoradas por meio de busca tabu em uma vizinhança de troca entre pares nas sequências de vértices. Tal método foi usado tanto com BCP e BMCP quanto com a coloração clássica.

Prestwich (2008) propôs um método híbrido combinando busca local e conceitos de programação por restrições. A vizinhança é a mesma usada na coloração clássica por Malaguti et al. (2008), onde uma solução vizinha é obtida ao colorir um vértice i com uma cor k e remover a cor de todos os vértices adjacentes a i que usem tal cor, com técnicas de verificação prévia para avaliar mais rapidamente os movimentos. Para a seleção de um vértice a ser colorido, são usados dois critérios: um baseado no DSATUR de Brélaz (1979) e outro baseado na seleção de vértices com mais possibilidades de cores. A seleção dos vértices a serem descoloridos parte de um parâmetro indicando quantos devem ter a cor removida. Por fim, para selecionar a cor de um vértice, as cores possíveis são ordenadas aleatoriamente e o algoritmo usa dois modos: tenta usar uma cor diferente da última que o vértice teve ou dá a preferência para a mesma cor, sendo que o método alterna entre os dois modos.

Chen et al. (2005) propuseram uma heurística envolvendo busca local cujo foco é na preservação da separação de cores de um mesmo vértice, possibilitando, porém, que as cores violem restrições com outros vértices. A solução inicial é obtida alocando, para cada vértice, uma cor aleatória e, para preencher suas demandas, cores adicionais que respeitem a restrição de separação para um mesmo vértice. Em seguida, cada vértice é processado, onde suas cores podem ser alteradas de modo que as restrições de separação do mesmo vértice continuem válidas, mas que a quantidade de conflitos com outros vértices seja a menor possível. A solução obtida, passa por um processo de ajuste fino, onde há a tentativa de remover os conflitos a partir uma visão global, com a identificação de cores atribuídas a vértices que encadeiam conflitos em outros vértices não adjacentes. Por fim, é usado um esquema de randomização para as próximas iterações do método, de modo que cada vértice tem seu intervalo de cores modificado aleatoriamente, mantendo as restrições de separação dos canais individuais para um mesmo vértice.

Kendall e Mohamad (2005) desenvolveram um método de busca local com critério de aceitação Monte Carlo exponencial, similar ao *simulated annealing*. O algoritmo trabalha no espaço de soluções válidas e inicia gerando uma permutação aleatória das demandas de

cores, obtendo uma solução a partir da mesma por meio do esquema FEA (Sivarajan et al., 1989). A geração de uma solução vizinha é feita removendo-se a cor da demanda onde a maior cor usada foi alocada, e uma nova cor é determinada verificando-se qual a menor cor possível que possa substituir a removida sem que nenhuma restrição seja violada. Se a nova solução for melhor, então ela é considerada a nova melhor, caso contrário, isso é feito com uma determinada probabilidade proporcional à diferença de soluções.

Chiarandini e Stützle (2007) propuseram algoritmos de busca local estocástica para o BMCP usando duas visões do problema: com o grafo original e o grafo estendido substituindo vértices por cliques de acordo com a demanda de cores. Na primeira abordagem, considera-se o conjunto de cores fixo ou variável enquanto na segunda apenas considera-se um número fixo de cores, permitindo conflitos somente entre diferentes vértices. São usadas duas vizinhanças: a básica, onde troca-se a cor de um vértice, e a de reatribuição de cores de um vértice, usada apenas com o grafo original, na qual uma solução vizinha é obtida ao trocar-se todas as cores de um vértice. Tais abordagens foram embutidas em busca tabu (baseada nos parâmetros usados por Galinier e Hao (1999) para a coloração clássica), busca local guiada (baseada na proposta por Lau e Tsang (1998)), algoritmo evolucionário híbrido (utilizando operadores do método de Galinier e Hao (1999)) e *squeaky wheel optimization* (segundo a proposta de Lim et al. (2005)).

Lai et al. (2016) desenvolveram uma estratégia de reconexão de caminhos (*path relinking*) baseada em aprendizado para o BCP. O espaço de busca considerado é o de soluções conflitantes, de modo que a qualidade de uma solução é determinada pela quantidade de restrições violadas. O algoritmo utiliza uma população aleatória, onde a inicialização é feita por meio da geração do triplo de soluções a serem usadas na população, que serão melhoradas por busca tabu e, posteriormente, as melhores irão para a população. Uma segunda busca tabu também é usada na população, onde há duas fases: a primeira envolve a busca tabu básica com uma função de avaliação aumentada, de modo que, para cada aresta, é calculado um valor que representa quantas vezes a mesma foi conflitante em uma solução durante toda a execução do algoritmo, e a segunda fase repete mesmo procedimento, mas usando a função original sem o esquema aumentado. Por fim, partindo de duas soluções, são usados dois procedimentos de reconexão de caminhos: o primeiro muda a cor de um vértice da solução inicial, colocando a mesma cor da solução guiada, e o segundo esquema envolve mudanças nas duas soluções, sendo uma alteração na ini-

cial para a guiada e uma na guiada para a inicial, sendo que, ao tornarem-se iguais, o procedimento é concluído.

Algoritmos GRASP também foram propostos para o BCP e BMCP, principalmente no contexto de alocação de canais. Gomes et al. (2001) propuseram uma estratégia combinando GRASP reativo e reconexão de caminhos, na qual o grafo tem seus vértices estendido em cliques, e cada um dos mesmos tem uma lista proibida de cores. Na fase construtiva, os vértices são ordenados em ordem crescente de quantidade de cores disponíveis (inicialmente, todos os vértices podem usar qualquer cor) A lista restrita de candidatos consiste, então, em uma porção dos vértices iniciais da ordenação, da qual seleciona-se um e atribui-se ao mesmo a menor cor possível. As listas de cores bloqueadas dos vizinhos do vértice selecionado são atualizadas de acordo com possíveis violações das restrições. A busca local usada consiste em perturbar a solução atual, que será aceita caso seja melhor. Por sua vez, a perturbação envolve mudar as cores de todos os vértices, respeitando a separação de cores de um mesmo vértice. Por fim, a reconexão de caminhos envolve a seleção aleatória um vértice da solução inicial, o qual tem sua cor mudada para a usada na solução guiada, seguida de uma rápida busca local.

Wang e Rushforth (1996) propuseram uma busca local adaptiva para o BMCP, que foi posteriormente adaptada em um GRASP por Vieira et al. (2008) (chamado de GRASP-FEA). As soluções são codificadas como permutações das demandas de cores, ou seja, de vértices do grafo estendido em cliques, que serão transformadas em atribuições de cores pelo método FEA. A fase construtiva do algoritmo de Wang e Rushforth (1996) envolve uma função que mede a dificuldade de alocar uma cor a um vértice i A solução inicial, então, é uma ordenação dos vértices de acordo com tal função. Para a utilização deste esquema em um GRASP, Vieira et al. (2008) definiram uma LRC que consiste, então, em todo vértice cujo valor da função esteja a uma dada porcentagem do valor máximo. A cada vez que um vértice é selecionado, o mesmo é adicionado à solução (ou seja, à permutação de vértices construída) e a LRC é atualizada. A busca local consiste na troca de posição entre dois vértices na permutação que codifica a solução, a qual será decodificada pela estratégia FEA.

Marti et al. (2010) propuseram métodos combinando GRASP e busca tabu. A fase construtiva é similar à de Wang e Rushforth (1996), utilizando outra função de avaliação. Os autores também introduzem memória à construção, que envolve uma medida de simi-

laridade entre cores e a distância da diferença entre as cores para o peso da aresta. São aplicadas duas buscas locais: a primeira consiste em remover a cor de todos os vértices que estejam usando a maior cor da solução e recolorir os mesmos com a menor cor possível (ou seja, que minimize conflitos), enquanto a segunda identifica vértices que forçam outros a usarem cores conflitantes, por meio de uma função de recorrência.

Diversos autores propuseram estratégias baseadas em algoritmos genéticos para o BCP/BMCP. Valenzuela et al. (1998) desenvolveram um método simples desse tipo, no qual as soluções são codificadas como permutações de vértices de modo que as alocações de cores são sempre factíveis e a função de *fitness* é a maior cor usada. A decodificação das soluções é feita de acordo com a regra FEA. A seleção de indivíduos segue o método da roleta, sendo que na primeira iteração também é usado um algoritmo com grau de saturação (semelhante ao DSATUR). A mutação é realizada trocando a posição de dois elementos em um indivíduo entre si. O cruzamento é feito pelo operador de cruzamento cíclico (*cyclic crossover* - CX), onde o primeiro gene do filho é o igual ao primeiro gene do pai, e então deve-se colocar o primeiro gene do segundo pai na posição onde o gene está no primeiro pai, seguindo tal procedimento até preencher o filho. Em seguida, partindo-se da última posição preenchida do filho, copia-se o gene de um pai para o filho, colocando-o a posição onde o mesmo está no outro pai.

Beckmann e Killat (1999) propuseram outro algoritmo genético para a coloração em largura de banda. As soluções também são codificadas como permutações de demandas de cores de vértices e geradas com a estratégia FEA, porém, há a imposição de um limite para o conjunto de cores, de modo que algumas demandas de cores podem não ser satisfeitas, cuja quantidade é usada na função de *fitness*. A seleção de soluções para os operadores de mutação é feita de forma aleatória. Para a mutação, são usados dois operadores: o primeiro seleciona uma demanda não satisfeita na permutação e a recoloca numa posição aleatória, enquanto a segunda seleciona quatro demandas e troca as mesmas de posição entre si aleatoriamente. A operação de cruzamento consiste na geração de um vetor binário de tamanho igual a um cromossomo, onde as posições com valor 1 farão com que as mesmas loci no filho gerado tenham os genes copiados do primeiro pai, enquanto os elementos restantes são preenchidos na ordem em que aparecem no segundo pai.

Kim et al. (2007) desenvolveram um algoritmo memético, combinando algoritmo genético e busca local. As soluções são codificadas como permutações de vértices e a deco-

dificação destas é feita por uma variação da regra FEA. A avaliação das soluções é feita pelo número de demandas não satisfeitas. Se tal quantidade for zero, o conjunto de cores é reduzido na esperança de encontrar uma solução factível ainda melhor. A seleção de soluções é feita de modo aleatório e a mutação ocorre trocando genes de posição. O cruzamento é realizado gerando-se uma máscara de bits aleatória, de modo que são gerados dois filhos e, em cada um deles, o valor de cada bit da máscara indica de qual pai o gene correspondente será herdado. É usado um conjunto elite contendo as melhores soluções e por fim, a busca local usada consiste na troca do gene cuja cor é a maior de todas por outro aleatório, sendo que, se a nova solução for melhor, a mesma é mantida.

San José-Revuelta (2007) propôs um algoritmo micro-genético guiado por diversidade, cuja população é pequena. As soluções são codificadas de maneira similar ao método de Beckmann e Killat (1999) sendo o *fitness* igual à quantidade de conflitos na solução. A seleção de soluções para os operadores genéticos é feita por meio de uma roleta viciada, onde os indivíduos de melhor *fitness* tem maior probabilidade de serem selecionados, semelhante ao descrito no método de Beckmann e Killat (1999). A mutação, que ocorre com uma dada probabilidade, consiste em selecionar um vértice e mudar, aleatoriamente, metade das cores alocadas ao mesmo. Devido a possibilidade de mudanças muito bruscas na população, a probabilidade de mutação é mantida entre 0,01 (1%) e 0,05 (5%). O cruzamento consiste no operador PMX (*Partially Mapped Crossover*, ou Cruzamento Parcialmente Mapeado) utilizado na coloração clássica por Mabrouk et al. (2009) (visto na Seção C.3). O método usa elitismo simples, onde algumas das melhores soluções são preservadas para a geração seguinte. Já a diversidade é mantida calculando-se a entropia de Shannon da população, com o *fitness* de cada solução normalizado em relação a soma de todos os indivíduos. Quando tal valor se torna grande, há pouca diversidade, de modo que haverá menos cruzamentos e mais mutações.

Malaguti e Toth (2008) desenvolveram uma abordagem evolutiva que combina um algoritmo genético com busca tabu. As soluções usadas são colorações parciais onde deve-se colorir a maior quantidade possível de vértices sem que as restrições sejam violadas. O procedimento de busca tabu proposto pelos autores é usado durante a inicialização da população, bem como após o uso dos operadores genéticos, e é uma generalização, para o BCP, da busca tabu usada pelos mesmos autores para a coloração clássica (Malaguti et al., 2008). A inicialização da população consiste em gerar dois terços da mesma

por meio de métodos gulosos e o restante como soluções nas quais nenhum vértice está colorido, sendo que todas passarão pela busca tabu antes da inserção final na população. A seleção de soluções é aleatória e o cruzamento usado é chamado de *distance_crossover* e consiste em copiar, para o filho, as cores de pares de vértices do pai tais que a diferença absoluta entre elas seja igual à distância imposta na aresta entre eles. Em seguida, as cores do pai 2 são copiadas para preencher vértices não coloridos no filho.

Fijuljanin (2012) propôs dois algoritmos genéticos, sendo um com a adição de busca local. Ambos os algoritmos usam um método guloso para definir o conjunto de cores a serem atribuídas. Para o primeiro algoritmo genético, as soluções são codificadas do mesmo modo que Beckmann e Killat (1999). Assim, para cada locus, determina-se as cores livres e aloca-se a cor de acordo com o valor do gene. A função de *fitness* consiste na maior cor usada e a seleção de indivíduos é feita por meio da estratégia de torneio, onde alguns candidatos são escolhidos aleatoriamente e o melhor deles é selecionado. O cruzamento é simples de ponto único e a mutação consiste na mudança dos valores dos genes, sendo que os que sejam considerados congelados (ou seja, cujo valor é igual em todos os indivíduos) sofrem mutações mais fortes. O segundo algoritmo proposto é igual ao primeiro, com a mudança na função objetivo, onde será fixado um valor máximo de cor possível e o *fitness* contabilizará a quantidade de conflitos nas colorações e é adicionada uma busca local na qual, para cada vértice, tenta-se trocar uma de suas cores, sendo que a nova solução é aceita se gerar menos conflitos.

Uma variação das abordagens genéticas é a aprendizagem incremental baseada em população (*population-based incremental learning* - PBIL), onde a população explícita é substituída por um vetor de probabilidades (indicando a probabilidade de um gene ter um determinado valor), que é usado para obter amostrar a população. Esta abordagem foi usada por Chaves-González et al. (2008), na qual a solução inicial é obtida, primeiramente, atribuindo-se apenas uma cor para cada vértice, sem que as restrições sejam violadas. Em seguida, tal estrutura é duplicada, de modo que cada vértice tenha duas cores, sendo que, caso surjam conflitos, os mesmos são resolvidos incrementando-se todas as novas cores adicionadas até que não haja mais conflitos. Tal processo é repetido até que todas as demandas sejam atendidas e, por fim, como a duplicação é feita como se todos os vértices tivessem a mesma demanda, as cores desnecessárias alocadas a alguns vértices são removidas. A solução gerada é usada para criar o vetor de probabilidades

iniciais, que será usado, então, para geração de p amostras da população, que serão avaliadas de acordo com a maior cor usada. As soluções, então, são usadas para que o vetor de probabilidades tenda a gerar amostras cuja maior cor usada seja menor.

Uma outra abordagem também usada para coloração em largura de banda foi a otimização por colônia de formigas, que foi usada por Yin e Li juntamente com uma busca local. O algoritmo considera uma cor inicial e, então, cada formiga inicia em um vértice do grafo, efetuando um caminhamento pelo grafo, de acordo com as trilhas de feromônios, e atribuído a cor sempre que possível. Quando nenhum outro vértice puder usar tal cor, ela é incrementada e o processo repetido, até que todas as demandas de cores sejam satisfeitas. A busca local consiste na seleção de algumas cores de cada vértice, que serão removidas e, para cada uma delas, a menor cor possível que não viole restrições é alocada em seu lugar.

A Tabela 2.2 fornece um resumo das referências citadas nesta subseção em ordem cronológica de publicação.

2.4 Notas do capítulo

Nesse capítulo, foi apresentada uma revisão da literatura existente a respeito da coloração em largura de banda (BCP), bem como sua variante com multicoloração (BMCP). Optou-se por fazer uma revisão desse problema devido ao fato de que o BCP utiliza pesos nas arestas que envolvem distâncias, servindo de base aos modelos que serão discutidos posteriormente nesta tese.

Para o BCP, foram apresentados modelos de programação inteira e algoritmos exatos e aproximados, que servem para a construção de muitos métodos de solução. Espera-se que, além de base para os resultados obtidos na pesquisa, que a revisão realizada sirva como fonte de consulta para outros pesquisadores interessados no tema, sendo uma contribuição adicional desta tese.

Tabela 2.3: Algoritmos aproximados para a coloração em largura de banda (BCP).

| Referência | Estratégia algorítmica |
|-------------------------------|---|
| Sivarajan et al. (1989) | Heurísticas construtivas baseadas em ordenações dos vértices |
| Wang e Rushforth (1996) | Busca local adaptiva |
| Lau e Tsang (1998) | Busca local guiada (GLS) |
| Hao et al. (1998) | Busca tabu na vizinhança básica modificada |
| Valenzuela et al. (1998) | Algoritmo genético com soluções factíveis |
| Beckmann e Killat (1999) | Algoritmo genético com soluções conflitantes |
| Chakraborty (2001) | Heurística de geração de múltiplas soluções |
| Gomes et al. (2001) | GRASP reativo com reconexão de caminhos |
| Phan e Skiena (2002) | <i>Discript - software</i> com meta-heurísticas gerais |
| Lim et al. (2005) | <i>Squeaky Wheel Optimization (SWO)</i> |
| Chen et al. (2005) | Busca local com preservação de restrições do mesmo vértice |
| Kendall e Mohamad (2005) | Busca local com aceitação Monte Carlo |
| Chiarandini e Stützle (2007) | Buscas locais estocásticas diversas |
| Kim et al. (2007) | Algoritmo memético com elitismo |
| San José-Revuelta (2007) | Algoritmo μ -genético guiado por diversidade com elitismo |
| Yin e Li | Colônia de formigas com busca local |
| Prestwich (2008) | Busca local com conceitos programação por restrições |
| Vieira et al. (2008) | GRASP-FEA: baseado na busca local de Wang e Rushforth (1996). |
| Malaguti e Toth (2008) | Algoritmo genético com busca tabu |
| Chaves-González et al. (2008) | Aprendizagem incremental baseada em população (PBIL) |
| Marti et al. (2010) | GRASP com memória e busca tabu |
| Fijuljanin (2012) | Dois algoritmos genéticos, sendo um com busca local |
| Lai e Lü (2013) | Busca tabu iterada com reinícios múltiplos |
| Lai et al. (2016) | Reconexão de caminhos baseada em aprendizado com busca tabu |

Capítulo 3

Colorações em grafos com restrições de distâncias

Neste capítulo, serão apresentados os modelos teóricos dos problemas de colorações com distâncias, que são baseados em conceitos de teoria dos grafos e geometria de distâncias. Tais modelos generalizam restrições da coloração clássica e são baseados no BCP, que também é tratado sob essa visão neste capítulo.

Na dissertação de mestrado desenvolvida pelo autor desta tese (Dias, 2014), foram propostos modelos teóricos para coloração de vértices baseados em geometria de distâncias, de modo a tornar possível o uso do ferramental desse campo de estudo para modelar alguns cenários específicos de alocação de canais como coloração em grafos. Sendo assim, será apresentado o modelo em geometria de distâncias para colorações para que, em seguida, sejam mostrados os resultados obtidos para os mesmos nesta tese.

3.1 Modelo teórico em geometria de distâncias

O BCP, por definição, requer que as cores atribuídas a vértices adjacentes respeitem uma separação mínima determinada por um peso na aresta entre os mesmos, isto é, para dois vértices i e j , tem-se que $|c(i) - c(j)| \geq d(i, j)$. Esse tipo de separação é um tipo de restrição de distância, o que possibilita o uso de conceitos de geometria de distâncias para modelagem e solução dos mesmos.

O Problema de Geometria de Distâncias Discretizáveis (*Discretizable Distance Geometry Problem* - DDGP) é um caso especial do problema fundamental de geometria de

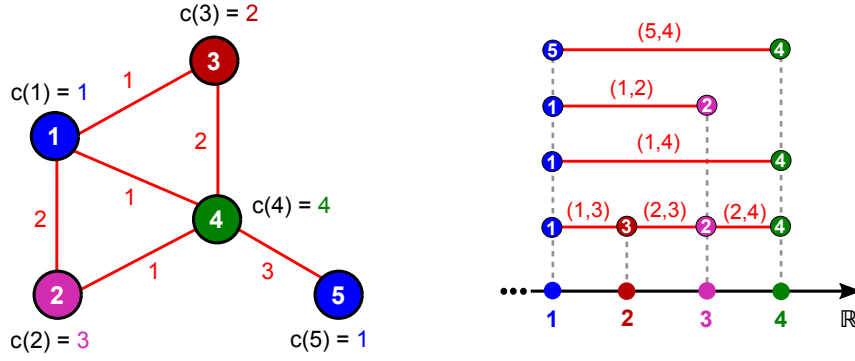


Figura 3.1: Exemplo de instância resolvida do BCP com a solução representada por meio de 0-esferas (segmentos de reta).

distâncias. No DDGP em três dimensões (ou apenas DDGP_3), o conjunto V de vértices do grafo de entrada G deve ser ordenado de modo que exista um subconjunto V_0 de V tal que $|V_0| = 3$, V_0 forme uma clique e para cada $i \in V \setminus V_0$ exista um subconjunto $\{v_1, v_2, v_3\}$ de V tal que $v_1 < i$, $v_2 < i$, $v_3 < i$; $\{(v_1, i), (v_2, i), (v_3, i)\} \subseteq E$ e uma desigualdade triangular estrita seja válida entre $\{v_1, v_2, v_3\}$, ou seja, $d_{v_1, v_3} < d_{v_1, v_2} + d_{v_2, v_3}$ (Mucherino et al., 2012). Desse modo, a posição de um ponto $i \geq 4$ pode ser determinada usando as posições dos três pontos anteriores $i - 1, i - 2$ e $i - 3$ por meio da intersecção de esferas com raios $d_{i-3, i}, d_{i-2, i}$ and $d_{i-1, i}$, obtendo dois possíveis pontos cujas factibilidades deverão ser verificadas. (Lavor et al., 2012).

Pode-se modelar problemas de coloração em grafos como instâncias do DDGP em uma dimensão (DDGP_1), onde a distância entre dois pontos equivale à diferença absoluta dos mesmos (Dias et al., 2013b). Desse modo, para colorações em grafos, tem-se que deve existir um subconjunto V_0 de V tal que $V_0 = 1$, V_0 forme uma clique (o que é sempre verdade, pois um único vértice pode ser considerado uma clique) e, para cada $i \in V \setminus V_0$, exista um subconjunto $\{v_1\}$ of V (ou seja, um outro vértice) tal que $v_1 < i$ e $(v_1, i) \in E$ (que será sempre verdade se o grafo for conexo). A desigualdade triangular estrita não se aplica nesse caso, pois considera-se apenas dois vértices em uma dimensão. A posição de um vértice i pode ser determinada por meio de um vizinho j já posicionado. Assim, forma-se uma 0-esfera, ou seja, um segmento de reta, cujo raio (ou seja, o comprimento do segmento de reta) é $d(i, j)$. Desse modo, colorações factíveis consistem em determinar intersecções de tais 0-esferas. A Figura 3.1 mostra um exemplo de instância do BCP com sua solução representada como intersecção de tais segmentos de reta.

Com base na discussão acima, define-se o seguinte modelo básico de coloração com distâncias.

Definição 3.1.1. Problema de Coloração em Geometria de Distâncias (Coloring Distance Geometry Problem - CDGP): Dado um grafo simples ponderado não direcionado $G = (V, E)$ e uma função de distâncias $d : E \rightarrow \mathbb{N}$, encontrar uma projeção $x : V \rightarrow \mathbb{N}$ tal que $\forall (i, j) \in E, |x(i) - x(j)| \boxtimes d(i, j)$, sendo \boxtimes um operador binário de comparação.

O CDGP é um modelo genérico, uma vez que o operador que compara a diferença entre cores de vértices adjacentes com a distância imposta na aresta entre os mesmos não é explicitamente definido. Sendo assim, partindo-se de tal problema, pode-se explorar diversas generalizações de restrições de adjacência, de acordo com diferentes operadores de comparação.

Formulações de programação inteira e por restrições para os modelos teóricos de coloração de grafos em geometria de distâncias serão apresentadas no Capítulo 4.

3.2 Generalizações das restrições de adjacência

Como citado anteriormente, o CDGP por si só é um modelo básico de coloração em geometria de distâncias, uma vez que o operador de comparação de distância não é explicitamente definido. Nesta seção, serão exploradas três possibilidades para \boxtimes no CDGP: desigualdade \geq , igualdade ($=$) e desigualdade \leq . Cada um dos operadores leva a diferentes características relacionadas à existência ou não de projeções (ou seja, de soluções factíveis), de acordo com a estrutura do grafo, como será apresentado a seguir.

3.2.1 Restrições de desigualdade \geq

Um dos modelos de coloração com distâncias apresentado em Dias (2014) envolve restrições de desigualdades do tipo \geq , como descrito a seguir.

Definição 3.2.1. Problema de Coloração Mínima em Geometria de Distâncias Maiores ou Iguais (Minimum Greater than or Equal Distance Geometry Problem - MinGEQ-CDGP): Dado um grafo simples ponderado não direcionado $G = (V, E)$ e uma função de distâncias $d : E \rightarrow \mathbb{N}$, encontrar uma projeção $x : V \rightarrow \mathbb{N}$ tal que $\forall (i, j) \in E, |x(i) - x(j)| \geq d(i, j)$ e a extensão da projeção, definida por $S = \max_{i \in V} x(i)$, seja a menor possível.

O modelo MinGEQ-CDGP é equivalente ao BCP e ao MS-CAP, utilizando o mesmo tipo de restrição e as mesmas definições. Tal problema sempre admite ao menos uma

coloração factível, pois ao contrário do EQ-CDGP, onde há apenas um valor possível para a diferença absoluta entre cores de vértices adjacentes i e j , equivalente à distância $d(i, j)$ imposta entre os mesmos, enquanto que, no MinGEQ-CDGP (e BCP), há infinitas possibilidades bastando que, para dois vértices i e j , o valor de tal diferença seja maior ou igual à distância $d(i, j)$. Uma versão do mesmo com distâncias uniformes é apresentada abaixo.

Definição 3.2.2. Problema de Coloração Mínima em Geometria de Distâncias Uniformes Maiores ou Iguais (Minimum Greater than or Equal Uniform Distance Geometry Problem - MinGEQ-CDGP-Unif): Dado um grafo simples ponderado não direcionado $G = (V, E)$ e um número $\varphi \in \mathbb{N}$, encontrar uma projeção $x : V \rightarrow \mathbb{N}$ tal que $\forall (i, j) \in E, |x(i) - x(j)| \geq \varphi$ e a extensão da projeção, definida por $S = \max_{i \in V} x(i)$, seja a menor possível.

O MinGEQ-CDGP-Unif é equivalente ao problema de coloração clássica. Independentemente do valor de φ , uma solução para o problema de coloração clássica induzida pelo grafo G pode ser transformada em solução para o MinGEQ-CDGP-Unif definido por G e φ definindo-se $x(i) = (\varphi \times (c(i) - 1)) + 1$, onde $c(i)$ é a cor atribuída ao vértice i na solução do problema de coloração clássica. De modo similar, uma solução para o MinGEQ-CDGP-Unif definido por G e φ pode ser transformada em uma para a coloração clássica considerando-se $c(i) = \frac{x(i)-1}{\varphi} + 1$.

3.2.2 Restrições de igualdade

Um outro modelo de coloração com distâncias envolve restrições de igualdade nas arestas, ao invés de desigualdades do tipo \geq , mantendo-se os pesos nas arestas definidos como números naturais do mesmo modo do BCP. A definição do problema de decisão associado a esse cenário é dada abaixo.

Definição 3.2.3. Problema de Coloração em Geometria de Distâncias Iguais (Equal Distance Geometry Problem - EQ-CDGP): Dado um grafo simples ponderado não direcionado $G = (V, E)$ e uma função de distâncias $d : E \rightarrow \mathbb{N}$, encontrar uma projeção $x : V \rightarrow \mathbb{N}$ tal que $\forall (i, j) \in E, |x(i) - x(j)| = d(i, j)$.

A Figura 3.2 mostra um exemplo do modelo e sua representação por 0-esferas. Tal problema é NP-completo, como mostrado a seguir.

Teorema 3.1. *EQ-CDGP é NP-completo.*

Prova. Para provar que EQ-CDGP é NP-completo, deve-se mostrar que o problema é tanto NP quanto NP-difícil, o que será realizado em duas etapas.

1. EQ-CDGP é NP.

Para um grafo $G = (V, E)$, dada uma projeção $x : V \rightarrow \mathbb{N}$, sua factibilidade pode ser verificada considerando cada aresta $(i, j) \in E$ e examinando se as cores de suas extremidades não violam a restrição de distância correspondente, isto é, se $|x(i) - x(j)| = d(i, j)$. Se todas as restrições forem satisfeitas, então x é um certificado para uma resposta positiva para a instância do EQ-CDGP, o que significa que um certificado para uma solução SIM pode ser verificado em tempo $O(|E|)$, que é linear. Portanto, EQ-CDGP é NP.

2. EQ-CDGP é NP-difícil.

Para provar isto, será feita uma redução do problema de particionamento de conjuntos, que é NP-completo (Garey e Johnson, 1979), para o EQ-CDGP. Considere uma instância do problema de particionamento, consistindo em um conjunto M de r inteiros, ou seja, $M = \{m_1, m_2, \dots, m_r\}$. A partir de M , pode-se obter um grafo $G = (V, E)$, de modo que G seja um ciclo, $|V| = |E| = r$ e exista uma função $d : E \rightarrow \mathbb{N}$ de ponderamento de arestas. O grafo G e a função d são dados então pela seguinte construção:

- $V = \{i_0, i_1, \dots, i_{r-1}\}$.
- $E = \{(i_b, i_{b+1 \bmod r}) \mid 0 \leq b \leq r-1\}$.
- $d(i_b, i_{b+1 \bmod r}) = m_b \ (\forall 0 \leq b \leq r-1)$.

Sendo assim, deve-se demonstrar que a instância M do particionamento de conjuntos tem solução SIM se, e somente se, o grafo ciclo G construído acima e sua função de ponderação de arestas d também tiverem solução SIM, como feito a seguir.

(\rightarrow) Seja então $x : V \rightarrow \mathbb{N}$ uma projeção dos vértices na reta numérica. Se a mesma for válida, então pode-se definir dois conjuntos:

- $S_1 = \{m_b \mid x(i_b) < x(i_{b+1 \bmod r})\}$.
- $S_2 = \{m_b \mid x(i_b) > x(i_{b+1 \bmod r})\}$.

Tem-se então que S_1 e S_2 são subconjuntos disjuntos de M (ou seja, eles formam um particionamento de M), de modo que $\sum S_1 = \sum S_2$, ou seja, se o grafo G possuir uma projeção na reta numérica (o que significa que a solução do EQ-CDGP é SIM), então M tem solução SIM para o problema de particionamento.

(\leftarrow) Considere um grafo ciclo $G = (V, E)$, onde $|V| = |E| = r$ e cujas arestas são ponderadas por uma função $d : E \rightarrow \mathbb{N}$. Fixando-se um dos vértices como i_0 e sendo $V = \{i_0, i_1, \dots, i_{r-1}\}$, tem-se que $E = \{(i_b, i_{b+1 \bmod r}) \mid 0 \leq b \leq r-1\}$ (ou seja, vértices consecutivos possuem uma aresta entre si). Sendo M o conjunto de todos os valores de d (ou seja, $M = \bigcup_{0 \leq b \leq r-1} d(i_b, i_{b+1 \bmod r})$), considere um particionamento de M em dois subconjuntos disjuntos S_1 e S_2 . Se $\sum S_1 = \sum S_2$, então pode-se obter uma projeção $x : V \rightarrow \mathbb{N}$ considerando-se:

- Se $d(i_b, i_{b+1 \bmod r}) \in S_1$, então $x(i_b) < x(i_{b+1 \bmod r})$.
- Se $d(i_b, i_{b+1 \bmod r}) \in S_2$, então $x(i_b) > x(i_{b+1 \bmod r})$.

Sendo assim, basta atribuir um número natural para cada $x(i_b)$ que satisfaça tais condições (sendo que cada i_b deverá levar em conta apenas os valores atribuídos a dois outros vértices, i_{b-1} e $i_{b+1 \bmod r}$). Logo, se M possuir solução SIM para o problema de particionamento, então o grafo G terá uma projeção válida na reta numérica, levando a uma solução SIM para o EQ-CDGP.

Tem-se então que existe uma redução do problema de particionamento de conjuntos para o EQ-CDGP, que pode ser feita em tempo $O(r)$. Portanto, EQ-CDGP é NP-difícil.

Como o EQ-CDGP é NP e NP-difícil, conclui-se então que o mesmo é NP-completo. \square

A versão de otimização do EQ-CDGP, onde deve-se encontrar uma projeção que minimize a utilização de cores, é definida abaixo.

Definição 3.2.4. Problema de Coloração Mínima em Geometria de Distâncias Iguais (Minimum Equal Distance Geometry Problem - MinEQ-CDGP): Dado um grafo simples ponderado não direcionado $G = (V, E)$ e uma função de distâncias $d : E \rightarrow \mathbb{N}$, encontrar uma projeção $x : V \rightarrow \mathbb{N}$ tal que $\forall (i, j) \in E, |x(i) - x(j)| = d(i, j)$ e a extensão da projeção, definida por $S = \max_{i \in V} x(i)$, seja a menor possível.

Um caso especial do EQ-CDGP (e de sua versão de otimização) substitui a função de distâncias por um único valor, conforme definido a seguir.

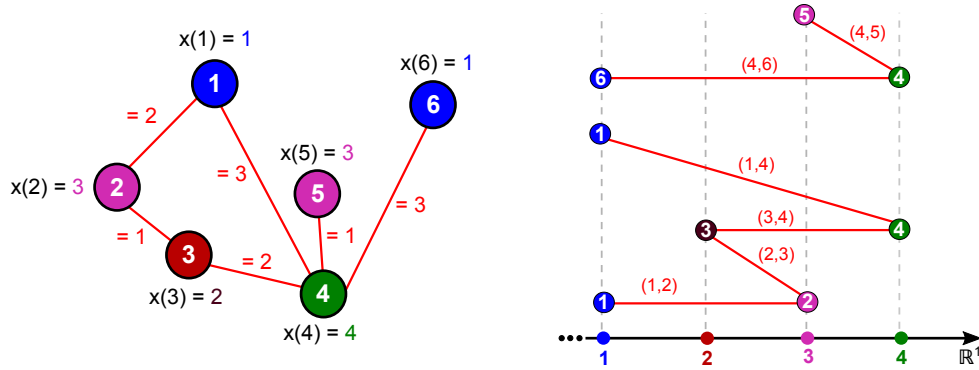


Figura 3.2: Instância do MinEQ-CDGP resolvida e sua representação com 0-esferas.

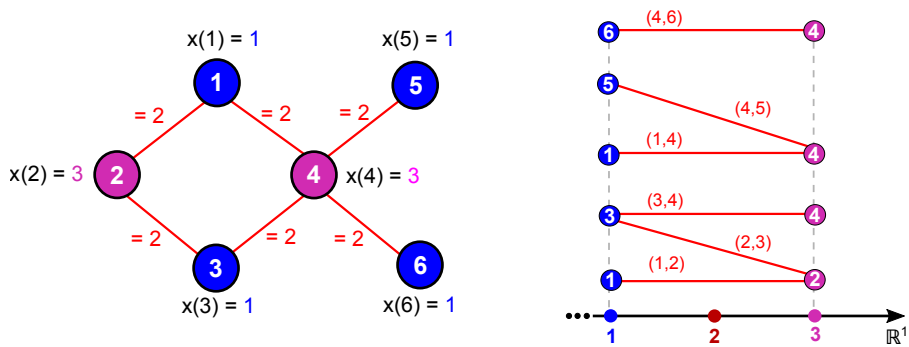


Figura 3.3: Instância do EQ-CDGP-Unif resolvida e sua representação com 0-esferas.

Definição 3.2.5. *Problema de Coloração em Geometria de Distâncias Uniformes Iguais (Equal Uniform Distance Geometry Problem - EQ-CDGP-Unif):* Dado um grafo simples ponderado não direcionado $G = (V, E)$ e um número $\varphi \in \mathbb{N}$, encontrar uma projeção $x : V \rightarrow \mathbb{N}$ tal que $\forall (i, j) \in E, |x(i) - x(j)| = \varphi$.

A Figura 3.3 exemplifica esse caso especial com distâncias uniformes. A versão de otimização correspondente do EQ-CDGP-Unif é enunciada abaixo.

Definição 3.2.6. *Problema de Coloração Mínima em Geometria de Distâncias Uniformes Iguais (Minimum Equal Uniform Distance Geometry Problem - MinEQ-CDGP-Unif):* Dado um grafo simples ponderado não direcionado $G = (V, E)$ e um número $\varphi \in \mathbb{N}$, encontrar uma projeção $x : V \rightarrow \mathbb{N}$ tal que $\forall (i, j) \in E, |x(i) - x(j)| = \varphi$ e a extensão da projeção, definida por $S = \max_{i \in V} x(i)$, seja a menor possível.

3.2.2.1 Propriedades de factibilidade

Nesta tese, foram identificadas propriedades grafo-teóricas dos problemas acima, em específico, classes de grafos onde a solução dos problemas de decisão (EQ-CDGP ou EQ-CDGP-Unif) é SIM (equivalentemente, onde há ao menos uma solução factível para o

MinEQ-CDGP ou MinEQ-CDGP-Unif). A seguir, serão enunciados os teoremas e suas respectivas provas.

O primeiro teorema caracteriza quais grafos que possuem solução SIM para o EQ-CDGP-Unif, como pode ser visto a seguir.

Teorema 3.2. *Seja $G = (V, E)$ um grafo não direcionado. Então, G possui solução SIM para o EQ-CDGP-Unif se, e somente se, G for bipartido.*

Prova. (\rightarrow) Considere que G é bipartido e, sem perda de generalidade, que também é conexo. Sejam V_1 e V_2 dois subconjuntos disjuntos de V (ou seja, $V_1 \cup V_2 = V$) tais que para todo $i, j \in V_1$ ou $i, j \in V_2$ tem-se que $(i, j) \notin E$, que podem ser obtidos pelo uso de um algoritmo de busca em grafos, como a busca em profundidade (*depth-first search* - DFS). Como o grafo é bipartido, tem-se, para cada $(i, j) \in E$, que i e j pertencem a subconjuntos diferentes. Assuma, sem perda de generalidade, que $i \in V_1$ e $j \in V_2$. Pela definição do EQ-CDGP-Unif, tem-se que $d(i, j) = \varphi$ para toda aresta $(i, j) \in E$. Logo, pode-se atribuir a cor 1 a todos os vértices de V_1 e a cor $1 + \varphi$ a todos os vértices de V_2 . Desse modo, as restrições de distâncias serão satisfeitas e a solução gerada é factível. Pode-se concluir, então, que se G é bipartido, então G possui solução SIM para o EQ-CDGP-Unif.

(\leftarrow) Seja $x: V \rightarrow \{1, 1 + \varphi\}$ uma coloração factível para o EQ-CDGP-Unif de um grafo G . Assuma, sem perda de generalidade, que G é conexo. Pela definição do EQ-CDGP, para cada par de vértices $i, j \in V$ tais que $x(i) = x(j)$, tem-se que $(i, j) \notin E$. Portanto, pode-se dividir os vértices de G em dois subconjuntos disjuntos V_1 e V_2 , onde $V_1 = \{i \in V | x(i) = 1\}$ e $V_2 = \{i \in V | x(i) = 1 + \varphi\}$. Assim, conclui-se que se G tem solução SIM para o EQ-CDGP-Unif, então o grafo é bipartido.

Prova alternativa. (\rightarrow) Considere que G é bipartido. Assim, tem-se que o mesmo é 2-colorível (considerando o problema de coloração clássica), isto é, o grafo todo pode ser colorido usando apenas duas cores. Levando-se em conta, agora, as restrições do EQ-CDGP-Unif, todas as arestas do grafo tem a mesma distância, ou seja, para toda aresta $(i, j) \in E$, tem-se a restrição $|x(i) - x(j)| = \varphi$. Portanto, as duas cores usadas serão $\{1, 1 + \varphi\}$, que compõem a solução da instância do EQ-CDGP-Unif. Logo, se G é bipartido, então a solução correspondente do EQ-CDGP-Unif é SIM.

(\rightarrow) Para provar-se que, se um grafo G tem solução SIM para o EQ-CDGP-Unif, então G é bipartido, será usada uma prova por contraposição, ou seja, será mostrado que se um

grafo G não for bipartido, então G possui solução NÃO para o EQ-CDGP-Unif. Para isso, será usada indução matemática em ciclos ímpares, uma vez que um grafo não é bipartido se, e somente se, contiver pelo menos um ciclo ímpar. Seja $|V| = 2z + 1$. A indução será feita em cima de z .

Caso base: $z = 1$. Tem-se, então, o ciclo C_3 , com três vértices ($V = \{1, 2, 3\}$) e três arestas ($\{(1, 2), (1, 3), (2, 3)\}$), com $|x(i) - x(j)| = \varphi$ para todas elas. Sem perda de generalidade, considere que $x(1) = 1$ e $x(2) = 1 + \varphi$. Logo:

- Como $(1, 3) \in E$ e $x(1) = 1$, então $|x(3) - 1| = \varphi$. Todas as cores devem ser números naturais, portanto $x(3) = 1 + \varphi$.
- Como $(2, 3) \in E$ e $x(2) = 1 + \varphi$, então $|x(3) - (1 + \varphi)| = \varphi \Rightarrow |x(3) - 1 - \varphi| = \varphi$. Por esta inequação, tem-se que $x(3) = 1$ ou $x(3) = 1 + 2\varphi$.

A partir desse resultado, tem-se que $x(3) = 1 + \varphi$ e $(x(3) = 1$ ou $x(3) = 1 + 2\varphi)$ ao mesmo tempo, o que é impossível. Assim, C_3 tem solução NÃO para o EQ-CDGP-Unif, como pode ser visualizado na Figura 3.4.

Hipótese de indução: O ciclo C_{2z+1} tem solução NÃO para o EQ-CDGP.

Passo indutivo: Pela hipótese de indução, o ciclo C_{2z+1} não possui coloração válida para o EQ-CDGP-Unif, isto é, a solução do problema de decisão é NÃO. Considerando o ciclo $C_{2(z+1)+1} = C_{2z+3}$, verifica-se que o tamanho do mesmo aumenta em dois vértices, mas continua sendo ímpar. Se for adicionado apenas um vértice, ou seja, considerando o ciclo $C_{2z+1+1} = C_{2z+2}$, tem-se então um ciclo par, que é bipartido e terá solução SIM para o EQ-CDGP-Unif como visto anteriormente. Agora, considere que um vértice é adicionado ao ciclo C_{2z+2} , transformando-o no ciclo C_{2z+3} . Sem perda de generalidade, considere que o novo vértice é adjacente aos vértices $2z + 2$ e 1 , ou seja, $\{(2z + 2, 2z + 3), (2z + 3, 1)\} \subseteq E$, e $x(2z + 2) = 1 + \varphi$ e $x(1) = 1$ (tais cores podem ser vistas como atribuídas quando adicionou-se apenas um vértice, o que gerou um ciclo par). Então:

- Como $(2z + 2, 2z + 3) \in E$ e $x(2z + 2) = 1 + \varphi$, então $|x(2z + 3) - (1 + \varphi)| = \varphi \Rightarrow |x(2z + 3) - 1 - \varphi| = \varphi$. Por esta inequação, tem-se que $x(2z + 3) = 1$ ou $x(2z + 3) = 1 + 2\varphi$.
- Como $(2z + 3, 1) \in E$ and $x(1) = 1$, então $|x(2z + 3) - 1| = \varphi$. Todas as cores devem ser números naturais, portanto $x(2z + 3) = 1 + \varphi$.

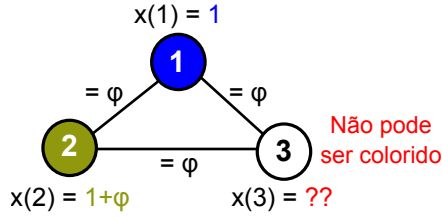


Figura 3.4: Ciclo C_3 que tem solução NÃO para o EQ-CDGP-Unif.

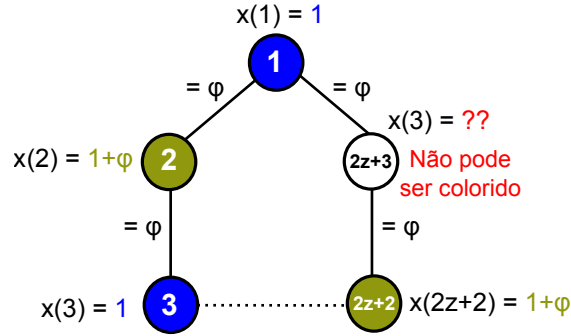


Figura 3.5: Ciclo ímpar C_{2z+3} que tem solução NÃO para o EQ-CDGP-Unif.

Deste resultado, tem-se que $x(2z + 3) = 1 + \varphi$ e ($x(2z + 3) = 1$ ou $x(2z + 3) = 1 + 2\varphi$) ao mesmo tempo, o que é impossível. Assim, C_{2z+3} tem solução NÃO para o EQ-CDGP-Unif, como pode ser visto na Figura 3.5. Portanto, se um grafo G não for bipartido, então G possui solução NÃO para o EQ-CDGP-Unif, ou seja, se um grafo G tem solução SIM para o EQ-CDGP-Unif, então G é bipartido. \square

Uma consequência indireta do Teorema 3.2 é que não se pode definir modelos de multicoloração que envolvam as mesmas restrições do EQ-CDGP. Como visto no Capítulo 2, quando há, em um vértice i , demanda de $w(i)$ cores ($w(i) > 1$), há uma equivalência em colorir um grafo onde o vértice é convertido em uma clique de $w(i)$ vértices. Como uma clique é um subgrafo completo e todo grafo completo K_n com $n \geq 3$ contém ciclo ímpar, então os únicos valores possíveis para $w(i)$ seriam 1 e 2, limitando a demanda de cores. Ressalta-se que essa característica vale somente se as restrições de igualdade também existirem em tal clique, sendo que se as cores do mesmo vértice tiverem apenas de ser distintas, então não há esse problema.

O Teorema 3.2 não é aplicável em instâncias do EQ-CDGP, ou seja, com distâncias arbitrárias. Dependendo dos valores de tais distâncias, grafos bipartidos podem ter solução NÃO para o EQ-CDGP, enquanto grafos que contenham ciclos ímpares podem ter solução SIM, como exemplificado na Figura 3.6. Entretanto, o problema de decisão EQ-CDGP sempre tem solução SIM para árvores, como visto abaixo.

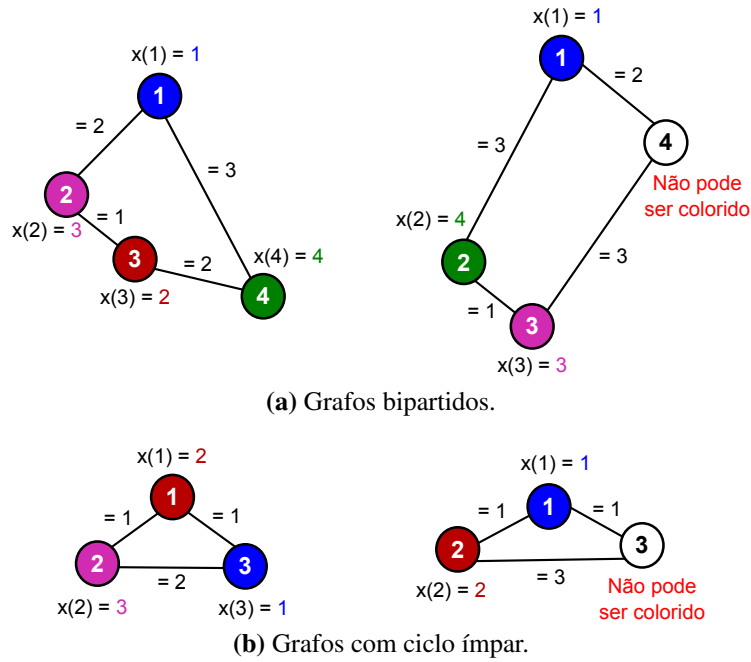


Figura 3.6: Exemplos de instâncias do EQ-CDGP onde a solução das mesmas (SIM ou NÃO) depende do tipo de grafo de entrada (bipartido ou não).

Teorema 3.3. *Seja $G = (V, E)$ um grafo árvore e $d : E \rightarrow \mathbb{N}$ uma função de distâncias. Então, G e d sempre têm solução SIM para o EQ-CDGP.*

Prova. Um algoritmo simples que constrói uma coloração válida para uma instância do EQ-CDGP é descrito a seguir.

Inicialmente, desmarque todos os vértices. Escolha um vértice i arbitrário, atribua uma cor $\gamma \in \mathbb{N}$ ao mesmo (ou seja, $x(i) = \gamma$) e marque i como colorido. Iterativamente, selecione um vértice j que seja adjacente a algum outro vértice i que já tenha sido marcado como colorido. Atribua a cor $x(i) + d(i, j)$ a j (ou seja, $x(j) = x(i) + d(i, j)$) e marque j como colorido. Repita o passo iterativo até que todos os vértices sejam marcados como coloridos. \square

O algoritmo descrito na prova acima consiste, basicamente, em seguir os ramos da árvore, colorindo cada vértice encontrado. Como, após o primeiro vértice, só serão coloridos vértices que tenham ao menos um vizinho já colorido, o procedimento garante que o caminhamento por tais ramos será feito corretamente. Em grafos caminho, o algoritmo começará de um vértice de grau 1 (ou seja, uma das extremidades) e seguirá os outros vértices em sequência, até atingir a outra extremidade, como pode ser visto na Figura 3.7. Em árvores propriamente ditas, cada ramo é um caminho, como visto na Figura 3.8. Tal algoritmo pode ser visto como uma extensão da busca em grafos, de modo que tanto a

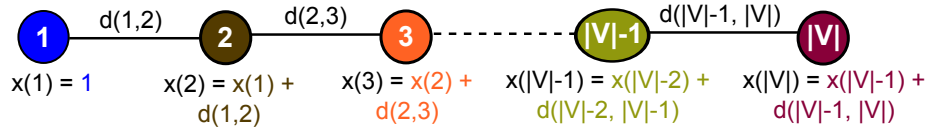


Figura 3.7: Coloração de um grafo caminho por meio do algoritmo do Teorema 3.3.

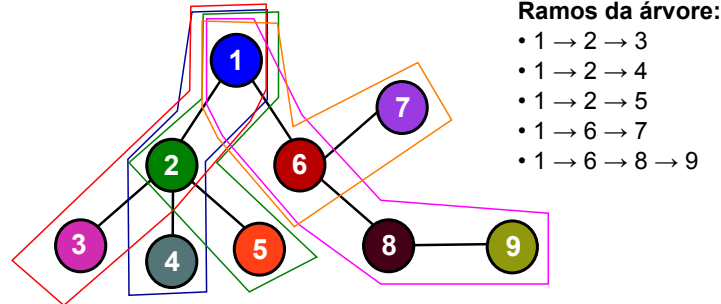


Figura 3.8: Ramos de uma árvore. Neste grafo, os rótulos indicam a ordem de visitação de uma busca em profundidade adaptada para colorir os vértices de acordo com o Teorema 3.3.

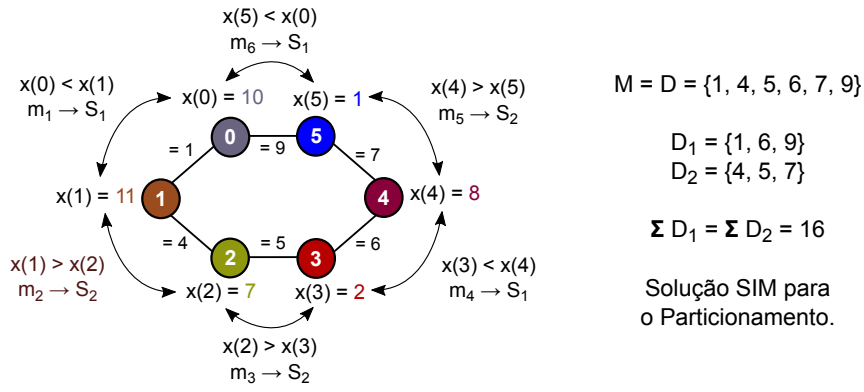
busca em profundidade quanto a busca em largura (*breadth-first search* - BFS) podem ser modificados para que sejam capazes de obter uma coloração válida para o EQ-CDGP em um árvore.

O último resultado a ser apresentado nesta seção relaciona-se a ciclos, quando são instâncias do EQ-CDGP. Tal resultado é derivado diretamente da prova da NP-dificuldade do problema, como vista no Teorema 3.1. O resultado de factibilidade correspondente é descrito a seguir.

Corolário 3.1. *Seja $G = (V, E)$ um grafo ciclo, $d : E \rightarrow \mathbb{N}$ uma função de distâncias e D o conjunto de todas as distâncias presentes no grafo (ou seja, $D = \bigcup_{(i,j) \in E} d(i, j)$). Se for possível particionar D em dois subconjuntos disjuntos D_1 e D_2 tais que $\sum D_1 = \sum D_2$, então G e d sempre têm solução SIM para o EQ-CDGP.*

Prova. Diretamente pelo Teorema 3.1. □

O Corolário 3.1 caracteriza um subconjunto de instâncias do EQ-CDGP, compostas por grafos ciclo, que possuem solução SIM para o problema. Conjectura-se que, quando o grafo da instância entrada é um ciclo, apenas os que se encaixam no Corolário 3.1 possuem solução SIM. Ressalta-se que, apesar de este resultado ser específico para um tipo de grafo, os valores numéricos das distâncias são diretamente responsáveis pela factibilidade do referido ciclo, como mostrado na Figura 3.9. Infelizmente, este resultado, ao contrário dos obtidos nos Teoremas 3.2 e 3.3, não permite que o EQ-CDGP seja resolvido



(a) Instância com solução SIM.

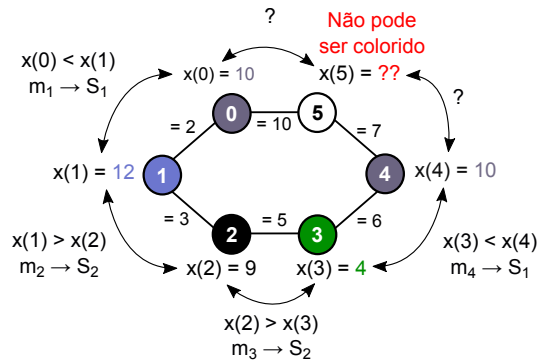
$$M = D = \{1, 4, 5, 6, 7, 9\}$$

$$D_1 = \{1, 6, 9\}$$

$$D_2 = \{4, 5, 7\}$$

$$\Sigma D_1 = \Sigma D_2 = 16$$

Solução SIM para o Particionamento.



(b) Instância com solução NÃO.

$$M = D = \{2, 3, 5, 6, 7, 10\}$$

$$S_1 = \{2, 4\}$$

$$S_2 = \{3, 5\}$$

7 and 10 → indefinidos

Solução NÃO para o Particionamento.

Figura 3.9: Instâncias do problema de Particionamento de Conjuntos e suas transformações para o EQ-CDGP.

em tempo polinomial para as instâncias especificadas, uma vez que o próprio problema de particionamento de conjuntos também é NP-completo Karp (1972).

3.2.3 Restrições de desigualdade \leq

Além dos problemas acima definidos em Dias (2014) e suas propriedades obtidas nesta tese, explorou-se outras possibilidades de colorações com distâncias. Uma delas envolve a inversão da desigualdade do BCP, de modo que, ao invés de que a diferença absoluta entre cores de dois vértices adjacentes tenha de ser maior ou igual que a distância entre eles, tal diferença terá de ser menor ou igual que a distância. O problema, em sua versão de decisão, é definido abaixo.

Definição 3.2.7. Problema de Coloração em Geometria de Distâncias Menores que ou Iguais (Less than or Equal Distance Geometry Problem - LEQ-CDGP): Dado um grafo simples ponderado não direcionado $G = (V, E)$ e uma função de distâncias $d : E \rightarrow \mathbb{N}$, encontrar uma projeção $x : V \rightarrow \mathbb{N}$ tal que $\forall (i, j) \in E, 1 \leq |x(i) - x(j)| \leq d(i, j)$.

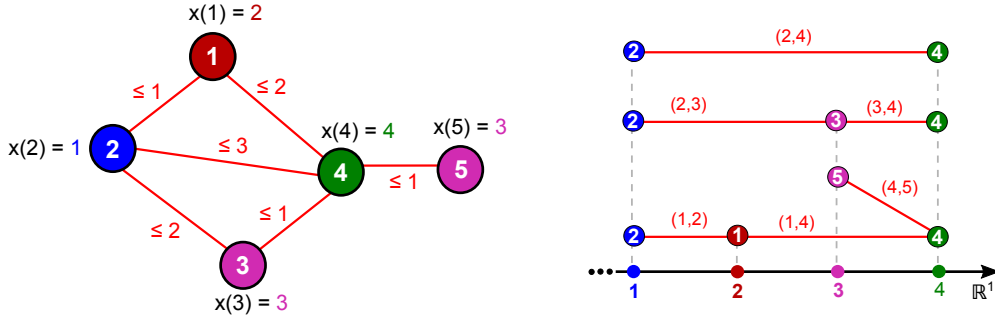


Figura 3.10: Instância do LEQ-CDGP resolvida e sua representação com 0-esferas.

A Figura 3.10 mostra um exemplo do LEQ-CDGP. Para este tipo de restrição, ressalta-se que não basta definir apenas $|x(i) - x(j)| \leq d(i, j)$ para dois vértices adjacentes i e j , uma vez que, sendo $d(i, j)$ um número natural, tal expressão permitiria que $|x(i) - x(j)| = 0$, o que equivale aos dois vértices utilizando a mesma cor. Sendo assim, deve-se definir o valor mínimo 1 para a diferença absoluta entre cores. Por conta disso, o modelo de decisão se torna importante do mesmo modo que com as restrições de igualdade do EQ-CDGP, uma vez que há uma quantidade limitada de possibilidades para a diferença absoluta entre cores de dois vértices (ao contrário do BCP), o que implica diretamente em resultados de factibilidade, como será visto mais adiante.

A versão de otimização do LEQ-CDGP, envolvendo a minimização da maior cor usada, é dada abaixo.

Definição 3.2.8. Problema de Coloração Mínima em Geometria de Distâncias Menores que ou Iguais (Minimum Less than or Equal Distance Geometry Problem - MinLEQ-CDGP): Dado um grafo simples ponderado não direcionado $G = (V, E)$ e uma função de distâncias $d : E \rightarrow \mathbb{N}$, encontrar uma projeção $x : V \rightarrow \mathbb{N}$ tal que $\forall (i, j) \in E$, $1 \leq |x(i) - x(j)| \leq d(i, j)$ e a extensão da projeção, definida por $S = \max_{i \in V} x(i)$, seja a menor possível.

Como já feito com os outros modelos, um caso especial deste problema envolve distâncias uniformes, isto é, todas as arestas possuem a mesma distância. Tal cenário é formalmente descrito a seguir.

Definição 3.2.9. Problema de Coloração em Geometria de Distâncias Uniformes Menores que ou Iguais (Less than or Equal Uniform Distance Geometry Problem - LEQ-CDGP-Unif): Dado um grafo simples ponderado não direcionado $G = (V, E)$ e um número $\phi \in \mathbb{N}$, encontrar uma projeção $x : V \rightarrow \mathbb{N}$ tal que $\forall (i, j) \in E$, $1 \leq |x(i) - x(j)| \leq \phi$.

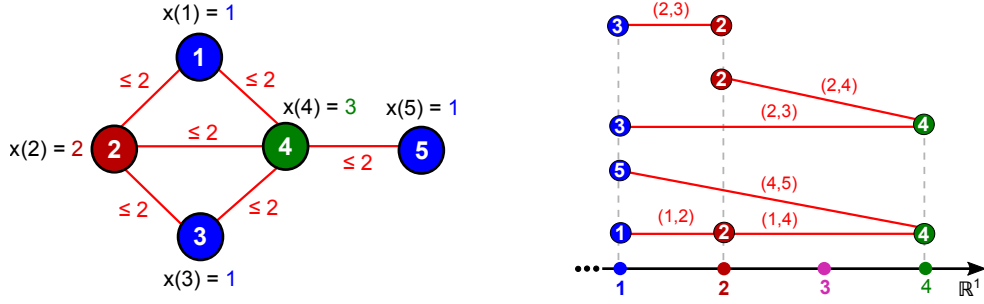


Figura 3.11: Instância do LEQ-CDGP-Unif resolvida e sua representação com 0-esferas.

A Figura 3.10 fornece um exemplo do LEQ-CDGP-Unif. O problema de otimização correspondente é dado abaixo.

Definição 3.2.10. Problema de Coloração Mínima em Geometria de Distâncias Uniformes Menores que ou Iguais (Minimum Less than or Equal Uniform Distance Geometry Problem - MinLEQ-CDGP-Unif): Dado um grafo simples ponderado não direcionado $G = (V, E)$ e um número $\varphi \in \mathbb{N}$, encontrar uma projeção $x : V \rightarrow \mathbb{N}$ tal que $\forall (i, j) \in E, 1 \leq |x(i) - x(j)| \leq \varphi$ e a extensão da projeção, definida por $S = \max_{i \in V} x(i)$, seja a menor possível.

Conforme explicado anteriormente, todos os problemas apresentados neste capítulo envolvem a intersecção de geometria de distâncias com a classe de colorações de vértices em grafos, seguindo uma hierarquia de problemas, que pode ser vista graficamente na Figura 3.12.

3.2.3.1 Propriedades de factibilidade

Propriedades de factibilidade para o LEQ-CDGP e LEQ-CDGP-Unif também foram determinadas. De modo similar ao que ocorre com o EQ-CDGP, além do tipo de grafo de entrada, os valores das distâncias tem impacto direto na factibilidade da instância (ou seja, na solução do problema de decisão). O primeiro teorema diz respeito a instâncias do LEQ-CDGP que possuem solução NÃO para o problema.

Teorema 3.4. *Seja $G = (V, E)$ um grafo completo onde $|V| \geq 3$ (ou seja, $G = K_n, n \geq 3$) e $\varphi \in \mathbb{N}$. Então, se $\varphi \leq |V| - 2$, a instância correspondente do LEQ-CDGP-Unif possui solução NÃO (ou seja, não admite coloração factível).*

Prova. Seja $i \in V$ um vértice qualquer de G e seja $N(i)$ o conjunto de vértices adjacentes a i . Como o grafo é completo, tem-se que $|N(i)| = |V| - 1$. Além disso, as cores de

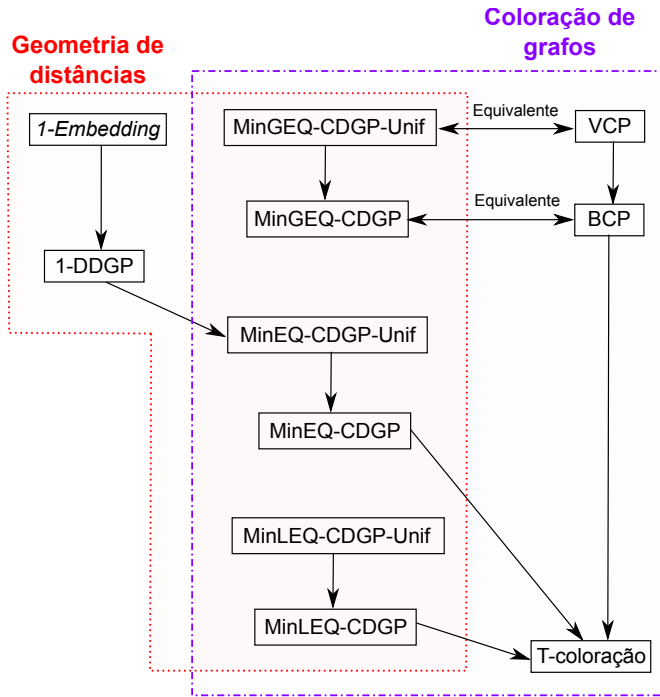


Figura 3.12: Hierarquia dos problemas de colorações com distâncias definidos neste capítulo.

todos os vértices devem ser diferentes (ou seja, cada vértice usa uma cor única). Como as restrições são no formato $1 \leq |x(i) - x(j)| \leq \varphi$, tem-se que as diferenças absolutas ($|x(i) - x(j)|$) devem ser minimizadas. O conjunto com as $|V|$ menores cores diferentes que minimiza tais diferenças absolutas é $\{1, 2, \dots, |V|\}$.

Como, para toda aresta $(i, j) \in E$ tem-se que $1 \leq |x(i) - x(j)| \leq \varphi$ (e $x(i), x(j) \in \mathbb{N}$), então o conjunto de valores possíveis para $|x(i) - x(j)|$ é $\{1, 2, \dots, \varphi\}$. Para um vértice i qualquer, tem-se que, como o mesmo tem a cor diferente de todos os outros, então o valor de $|x(i) - x(j)|$ para cada aresta $(i, j) \in E$ tal que $j \in N(i)$ deverá ser diferente, ou seja, $\forall j_1, j_2 \in N(i), |x(i) - x(j_1)| \neq |x(i) - x(j_2)|$. Assim, como há $|N(i)|$ arestas incidentes em i , cada uma com um valor diferente para a diferença absoluta entre a cor de i e o outro vértice j onde a mesma incide, tem-se que o conjunto de tais valores vai de 1 até $|V| - 1$ (ou seja, é $\{1, 2, \dots, |V| - 1\}$). Porém, como $\varphi \leq |V| - 2$, tem-se que o conjunto possível é $\{1, 2, \dots, |V| - 2\}$, o que pelo princípio da casa de pombo é impossível, ou seja, a aresta cuja diferença absoluta entre as cores de suas pontas é $|V| - 1$ violaria a restrição $|x(i) - x(j)| \leq \varphi$. Logo, a solução do EQ-CDGP-Unif é NÃO em tal situação. \square

A Figura 3.13 mostra um exemplo da aplicação do Teorema 3.4 em uma instância do LEQ-CDGP-Unif composta pelo grafo completo K_5 e onde todas as distâncias são 3. Observe que como é necessário que o valor 4 esteja no conjunto de valores possíveis para

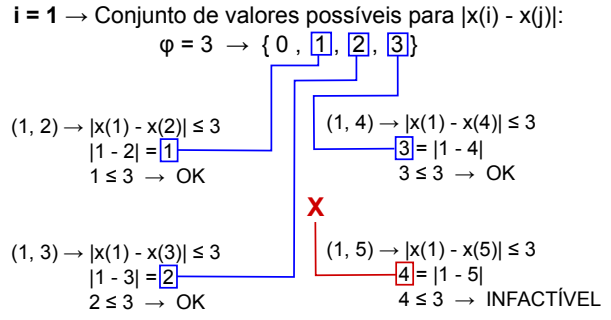
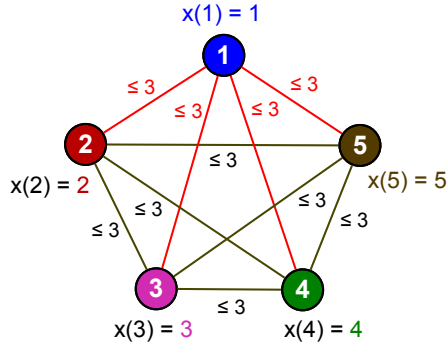


Figura 3.13: Exemplo de instância do LEQ-CDGP-Unif com solução NÃO, onde o valor da distância implica diretamente na infactibilidade.

as diferenças absolutas entre cores, caso as distâncias fossem 4 ou mais, a instância teria solução SIM.

O segundo resultado obtido foi para o LEQ-CDGP (ou seja, com distâncias arbitrárias), como pode ser visto no seguinte teorema.

Teorema 3.5. *Seja $G = (V, E)$ um grafo bipartido e $d : V \rightarrow \mathbb{N}$ uma função de distâncias. Então, a instância correspondente do LEQ-CDGP sempre tem solução SIM.*

Prova. Pela definição do problema, tem-se que $\forall (i, j) \in E, 1 \leq |x(i) - x(j)| \leq d(i, j)$, ou seja, o menor valor possível para a diferença absoluta entre cores de vértices adjacentes é 1. Dessa forma, para cada aresta, independentemente do valor de $d(i, j)$, se for possível colorir i e j de tal modo que a diferença absoluta entre eles seja 1, transitivamente não haverá violação da restrição. Sendo assim, pode-se proceder de duas formas distintas para a prova:

1. **Transformação da instância do LEQ-CDGP para uma do EQ-CDGP-Unif:**
 para cada restrição $1 \leq |x(i) - x(j)| \leq d(i, j)$, substitui-se a mesma por $|x(i) - x(j)| = 1$. Assim, passa-se a ter uma instância do EQ-CDGP-Unif. Pelo Teorema 3.2, tem-se que todo grafo bipartido tem solução SIM para este problema, de modo que a coloração ótima usará as cores 1 e $1+\varphi$, onde φ é o peso associado a todas as arestas. Tem-se que $\forall (i, j) \in E, |x(i) - x(j)| = 1$, então $\varphi = 1$, assim, a coloração ótima usará as cores 1 e 2. Tal coloração satisfaz $\forall (i, j) \in E, 1 \leq |x(i) - x(j)| \leq d(i, j)$, portanto, é válida para o LEQ-CDGP.
2. **Transformação da instância do LEQ-CDGP para uma de coloração clássica:**
 para cada restrição $1 \leq |x(i) - x(j)| \leq d(i, j)$, substitui-se a mesma por $x(i) \neq x(j)$ ou, equivalentemente, por $|x(i) - x(j)| \geq 1$. Todo grafo bipartido é 2-colorível,

assim, pode-se usar as cores 1 e 2 para colorir os vértices do grafo original. Assim como na forma acima, tem-se tal coloração satisfaz $\forall(i, j) \in E, 1 \leq |x(i) - x(j)| \leq d(i, j)$ (uma vez que a diferença absoluta de cores entre vértices adjacentes será sempre 1), portanto, é válida para o LEQ-CDGP.

□

3.3 Métodos *branch-prune-and-bound*

Para os modelos de colorações com restrições de distâncias, foram desenvolvidas estratégias algorítmicas que combinam técnicas de otimização com propagação de restrições. Os algoritmos apresentados foram inicialmente desenvolvidos na pesquisa a nível de mestrado (Dias et al., 2013b; Dias, 2014), de modo que um estudo mais aprofundado do comportamento dos mesmos nos modelos apresentados foi realizado nesta tese, que será apresentado a seguir.

Um algoritmo *branch-and-prune* foi proposto por Lavor et al. (2012) para o DDGP em \mathbb{R}^3 (denotado por DDGP₃), baseado em uma versão anterior para o problema contínuo por Liberti et al. (2008). Tal método enumera as possíveis posições para os vértices, os quais devem ser localizados no espaço tridimensional de acordo com as distâncias impostas. A posição de um vértice i , onde $i \in [4, |V|]$, é determinada de acordo com os três vértices anteriores já posicionados, seguindo o esquema de ordenamento e intersecção de esferas descrito na Seção 3.1. No entanto, uma vez que uma distância entre o último vértice posicionado e um anterior aos últimos três pode ser violada, deve-se usar testes de factibilidade para garantir que a solução parcial seja válida. Lavor et al. (2012) usaram o teste de Factibilidade Direta de Distância (*Direct Distance Feasibility* - DDF) em seu *branch-and-prune*, onde $\forall(i, j) \in E \quad ||x(i) - x(j)|| - d_{ij} < \epsilon$, e ϵ é uma dada tolerância.

Para os modelos de colorações com distâncias, foram adaptados tais conceitos para a utilização do método nos problemas considerados. Uma das primeiras observações que deve ser feita é que, para as colorações com distâncias, não existem suposições iniciais a serem respeitadas, de modo que não há ordenações explícitas de vértices a considerar, de modo que pode-se construir uma por um processo de enumeração implícita. Desse modo, foram combinados conceitos do *branch-and-prune* para o DDGP com procedimentos *branch-and-bound* de modo a evitar soluções parciais (ou seja, sequências de vértices

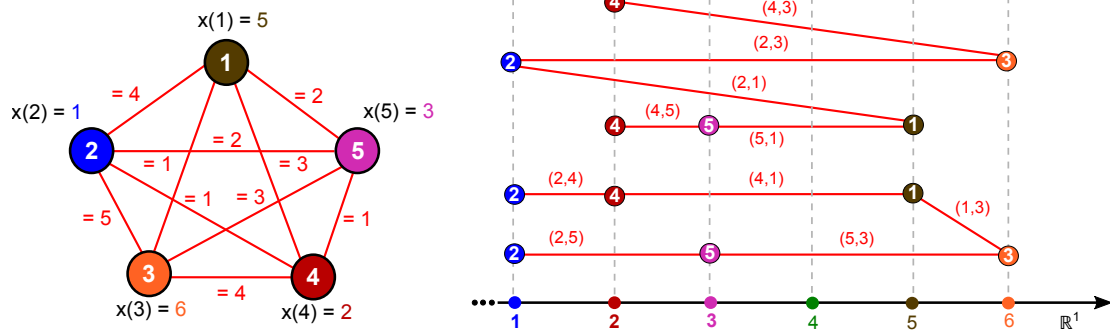


Figura 3.14: Exemplo de instância resolvida do MinEQ-CDGP para demonstração da execução dos métodos BPBs nas Figuras 3.15 e 3.16.

já coloridos) que não sejam capazes de obter um limite superior mais forte que a melhor solução corrente.

Sendo assim, o funcionamento básico do método *branch-prune-and-bound* (BPB) é descrito a seguir. Primeiramente, um vértice i não colorido é selecionado como ponto de partida. Tal vértice recebe a cor 1, a menor possível (uma vez que as cores são inteiros positivos). Em seguida, um vizinho j não colorido de i é selecionado. Um algoritmo de seleção de cor é usado para definir a cor de j e o processo é aplicado recursivamente para os vizinhos não coloridos de j . Quando um vizinho não colorido do vértice atual não puder ser encontrado, um vértice não colorido qualquer do grafo é usado. O pseudocódigo deste procedimento é dado no Algoritmo 3.1.

3.3.1 Seleção de cor

No *branch-prune-and-bound* proposto, existem duas possibilidades para determinar as cores que um vértice pode usar, que são usadas pela chamada à função SELECAOCORES(), a qual retorna o conjunto de cores possíveis.

O primeiro critério, denotado como **BPB-Prev**, é baseado diretamente no *branch-and-prune* original de (Lavor et al., 2012). Nele, quando um vértice i tiver de ser colorido, o vértice j que foi colorido imediatamente antes é usado para calcular a cor. Desse modo, se não houver nenhum vizinho colorido de i , a única cor possível é 1. Caso contrário, a função retornará um conjunto de cardinalidade no máximo 2, cujos elementos são:

1. $x(j) + d_{i,j}$.
2. $x(j) - d_{i,j}$ (retornado apenas se $x(j) > d_{i,j}$).

Algoritmo 3.1 Algoritmo *branch-prune-and-bound* geral.

Entrada: grafo $G = (V, E)$, distâncias $d : E \rightarrow \mathbb{Z}_{\geq 0}$, vértice anterior i , vértice atual j a ser colorido, solução (coloração) parcial x , melhor solução encontrada x_{melhor} , limite superior u , vetor $predec$ de predecessores de cada vértice (inicializado com -1 em todas as posições) e profundidade da enumeração prf .

```
1: Função BRANCH-PRUNE-AND-BOUND( $G = (V, E), d, i, j, x, x_{best}, u, pred, dpt$ )
2:   para cada vizinho  $k$  de  $j$  faça
3:     se  $predec[k] = -1$  então
4:        $predec[k] \leftarrow i$            ▷ Vértice atual é o predecessor dos vizinhos não visitados
5:   se  $i = -1$  então
6:      $i \leftarrow predec[j]$            ▷ Se não veio de um vizinho, usar informação de predecesso
7:    $coresDisponiveis \leftarrow SELECAOCORES(G, d, i, j, x, u)$ 
8:   enquanto  $coresDisponiveis \neq \emptyset$  faça
9:      $cor \leftarrow$  elemento de  $coresDisponiveis$ 
10:     $coresDisponiveis \leftarrow coresDisponiveis \setminus \{cor\}$ 
11:     $x(j) \leftarrow cor$ 
12:    se  $\max_{v \in V \mid v \text{ está colorido}} x(v) \geq u$  então
13:      Remover cor de  $i$ 
14:      continue                       ▷ Descartar esta solução parcial por bounding
15:    se TESTEFACTIBILIDADE( $G, d, f, x, i$ ) = falso então
16:      Remover cor de  $i$ 
17:      retorne                         ▷ Violação de distância, descartar solução por pruning
18:    se  $prf = |V|$  então              ▷ Se verdadeiro, todos os vértices estão coloridos
19:      se  $\max_{v \in V} x(v) < \max_{v \in V} x_{melhor}(v)$  então
20:         $x_{melhor} \leftarrow x$ 
21:         $u \leftarrow \max_{v \in V} x(v)$ 
22:      senão
23:         $temVizinho \leftarrow$  falso
24:        para cada vizinho  $k$  of  $j$  faça
25:          se  $k$  não está colorido então
26:             $temVizinho \leftarrow$  verdadeiro
27:            BRANCH-PRUNE-AND-BOUND( $G, d, f, j, k, x, x_{melhor}, u, prf + 1$ )
28:          se  $temVizinho =$  falso então
29:            para cada vértice  $k$  de  $G$  tal que  $predec[k] \neq -1$  faça ▷ Apenas vértices com
predecessores
30:              se  $k$  não está colorido então
31:                BRANCH-PRUNE-AND-BOUND( $G, d, f, -1, k, x, x_{melhor}, u, prf + 1$ )
32:              Remover cor de  $i$ 
33:      retorne  $x_{melhor}$ 
```

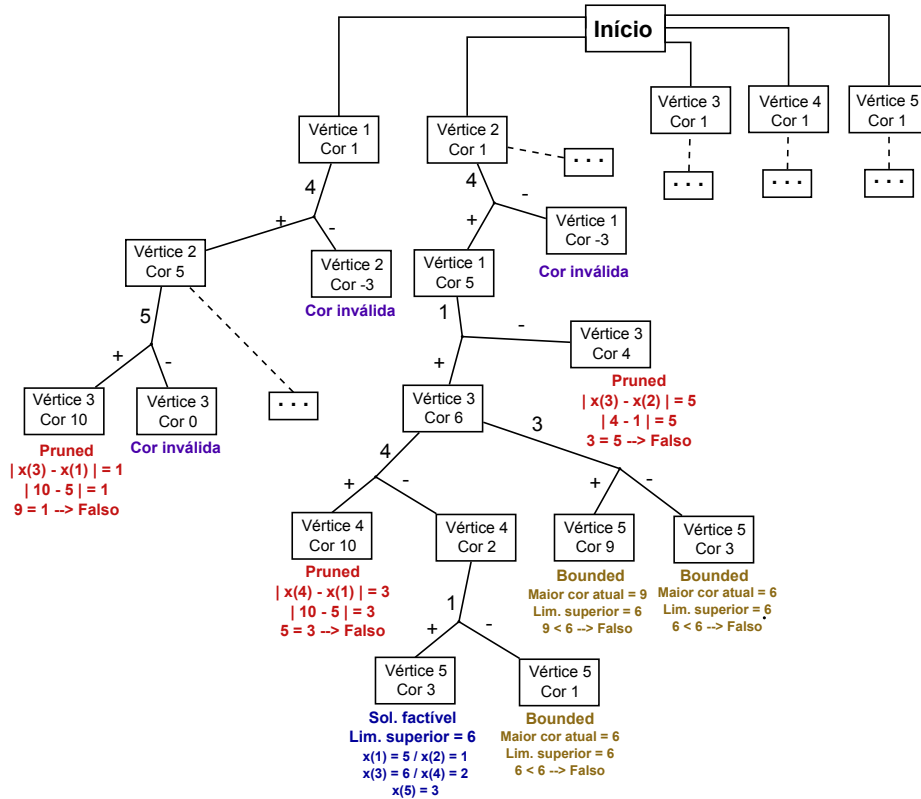


Figura 3.15: Enumeração parcial de soluções, iniciando pelo vértice 2, para a instância do MinEQ-CDGP definida pela Figura 3.14, usando o critério BPB-Prev, com seleção de cor baseada no vértice anterior.

Para melhorar o algoritmo, é utilizada informação de predecessores, de maneira que ao colorir um vértice, seus vizinhos que não têm informações de predecessor até a chamada corrente do *branch-prune-and-bound* são configurados a usar o vértice recém-colorido como predecessor. Esta informação é usada no caso de a busca reiniciar de um de seus vizinhos, o que ajuda a guiar o algoritmo. Este critério de seleção de cor, BPB-Prev, é realizado em tempo $O(1)$, já que são necessárias apenas duas operações aritméticas para determinar as cores. Para o exemplo de instância do MinEQ-CDGP dado na Figura 3.14, tem-se uma porção da enumeração realizada pela execução do BPB com este critério de seleção de cor apresentada na Figura 3.15.

O segundo critério de seleção, denotado como **BPB-Select**, leva em conta todos os vizinhos coloridos para determinar a cor para o vértice atual. Isso é feito resolvendo um sistema de expressões de valor absoluto (inequações ou equações) derivado das restrições de distâncias impostas pelas arestas. Sendo i o vértice a ser colorido, sua cor $x(i)$ será o resultado do sistema onde, para cada vizinho já colorido j de i , há uma expressão:

$$|x(j) - x(i)| \boxtimes d_{i,j}$$

Onde \boxtimes é “=” (para MinEQ-CDGP, ou seja, restrições de igualdade), “ \geq ” (para MinGEQ-

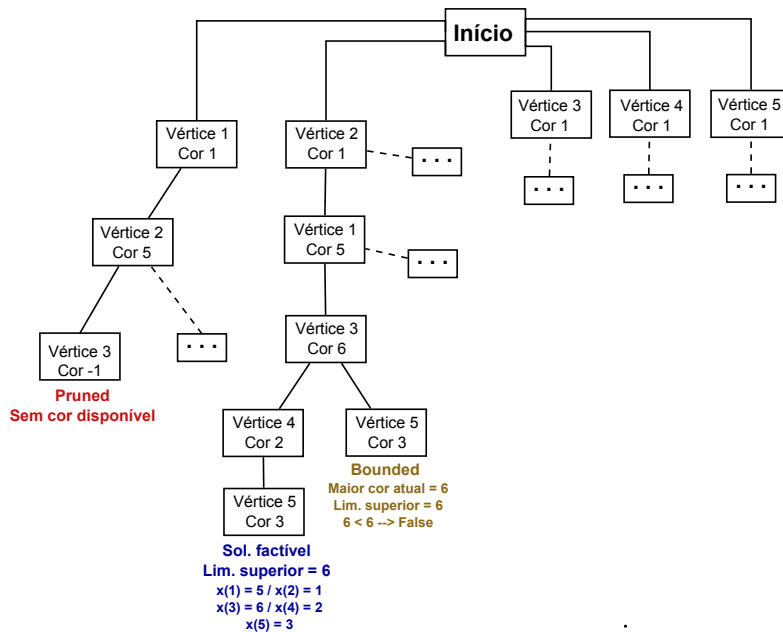


Figura 3.16: Enumeração parcial de soluções, iniciando pelo vértice 2, para a instância do MinEQ-CDGP definida pela Figura 3.14, usando o critério BPB-Select, com cor determinada pela solução de um sistema de expressões de valor absoluto.

CDGP, ou seja, restrições de desigualdade maior ou igual) ou “ \leq ” (para MinLEQ-CDGP, ou seja, restrições de desigualdade menor ou igual). A cor que será atribuída a j é o menor inteiro positivo a satisfazer todas as expressões do sistema. Ressalta-se que este procedimento sempre retorna um conjunto de cardinalidade 1, ou seja, apenas uma cor (já que somente a menor solução é retornada), bem como o mesmo já trata de garantir factibilidade, uma vez que a solução do sistema deverá satisfazer as restrições entre o vértice i e seus vizinhos. No entanto, a determinação da cor exige um trabalho maior, de modo que este critério de seleção é realizado em tempo $O(u)$, onde u é um limite superior para a maior cor usada, já que, para resolver o sistema, deve-se marcar cada possível solução do intervalo $[1..u]$ e selecionar o menor índice. A Figura 3.16 apresenta um exemplo da execução do BPB usando este critério de seleção de cor na instância da Figura 3.14.

3.3.2 Teste de factibilidade

Durante a construção de soluções, ao selecionar uma cor para um vértice, deve-se verificar se a mesma é factível quando apenas algumas distâncias são usadas na determinação da cor, especialmente no BPB-Prev. Desse modo, usou-se um teste baseado na Factibilidade Direta de Distância (*Direct Distance Feasibility - DDF*) usada no algoritmo *branch-and-*

Algoritmo 3.2 Teste de Factibilidade Direta de Coloração com Distâncias (*Direct Distance Coloring Feasibility* - DDCF)

Entrada: grafo $G = (V, E)$, tipo de restrição \boxtimes do problema (“=”, “ \geq ” ou “ \leq ”), distâncias $d : E \rightarrow \mathbb{Z}_{\geq 0}$, solução (coloração) parcial x e vértice atual i .

```

1: Função TESTE-DDCF( $G, d, f, x, i$ )
2:   para cada vizinho  $k$  de  $i$  faça
3:     se  $k$  está colorido então
4:       se não  $|x(k) - x(i)| \boxtimes d_{i,j}$  então
5:         retorne falso
6:   retorne verdadeiro

```

prune para o DDGP (Mucherino et al., 2012).

Seja i o vértice que acabou de ser colorido. Então, deve-se verificar, para cada vizinho j de i que já foi colorido, se a condição $|x(i) - x(j)| \boxtimes d_{i,j}$ é válida (onde, novamente, \boxtimes é “=”, “ \geq ” ou “ \leq ”, dependendo do modelo de coloração com distâncias sendo resolvido). Este teste pode ser visto como uma variação do DDF onde $\varepsilon = 0$ e com diferentes tipos de expressões utilizáveis (ao invés de apenas equações). Tal teste será chamado como Factibilidade Direta de Coloração com Distâncias (*Direct Distance Coloring Feasibility* - DDCF), cujo pseudocódigo é dado no Algoritmo 3.2.

Uma vez que o teste DDCF para um vértice verifica somente a factibilidade em relação aos seus vizinhos, o mesmo é executado em tempo $O(|V|)$ apenas para o vértice considerado. Nota-se também que, ao usar o critério BPB-Select, o teste pode ser dispensado já que a cor retornada sempre é factível.

A tabela 3.1 apresenta um sumário dos métodos *branch-prune-and-bound*, de acordo com critérios de seleção e de seus usos do teste de factibilidade.

Tabela 3.1: Sumário dos métodos *branch-prune-and-bound*.

| Algoritmo | Conj. cores | Seleção de cor | | Teste de factibilidade | |
|-----------------------------------|-------------|--|----------|-------------------------|----------------------------|
| | | Estratégia | Complex. | Quando | Complex. |
| BPB-Prev - Vizinho anterior | 2 | $x(i) = x(j) + d_{i,j}$ ou $x(i) = x(j) + d_{i,j}$ (se $x(i) > x(j) + d_{i,j}$) | $O(1)$ | A cada vértice colorido | $O(V)$ para cada vértice |
| BPB-Select - Todos os vizinhos | 1 | $x(i) = \min\{k \in [1, u] : \forall (i, j) \in E, x(j) - k \boxtimes d_{i,j}\}$, onde \boxtimes é “=”, “ \geq ” ou “ \leq ” | $O(u)$ | Não é necessário | - |

3.3.3 Aspectos de otimalidade

O método *branch-prune-and-bound* é um esquema de enumeração implícita, pelo qual as soluções são construídas colorindo-se cada vértice sendo que, a cada passo, uma solução

parcial pode ser descartada se for infactível (*pruned*) ou se não puder ser melhor que a melhor solução factível já encontrada (*bounded*). Esta abordagem objetiva encontrar a solução ótima, entretanto, verificou-se que isso depende da combinação de critério de seleção de cor e problema resolvido, como discutido a seguir.

O primeiro critério de seleção de cor, BPB-Prev, segue a mesma ideia usada pelo *branch-and-prune* para o DDGP. Tal critério efetua um caminhamento no grafo de entrada, de modo que quando um vértice é selecionado para ser colorido, isso é feito de modo a usar um que seja vizinho ao último que foi colorido e, se não houver vértice vizinho sem cor atribuída, então um outro qualquer que não tenha sido colorido é selecionado. Isso significa que nem todas as ordens de vértices são usadas, já que algumas permitiriam saltar de um vértice para outro que não é adjacente a ele, ainda que existam vizinhos não coloridos, sendo essas ordens não usadas no BPB-Prev.

A cor de um vértice é determinada usando informação dos vértices previamente coloridos, por meio de adição e subtração da distância imposta na aresta entre eles, o que significa que há no máximo duas cores possíveis para cada vértice durante a enumeração. Seguindo esta estratégia, o BPB-Prev determina intersecções de 0-esferas, onde cada par de vértices adjacentes entre si é posicionado na reta numérica, com a distância entre eles sendo exatamente igual a imposta na aresta correspondente. Isso é ótimo para o MinEQ-CDGP, já que o problema requer que todas as distâncias entre cores dos vértices seja exatamente igual ao peso da aresta. No entanto, para o MinGEQ-CDGP, a distância entre vértices adjacentes pode ser igual ou maior que o valor imposto na aresta correspondente. Uma vez que apenas ordens de vértices que fazem com que vizinhos sejam coloridos em sequência são usadas no BPB-Prev, e esse esquema faz com que a separação entre cores seja igual à distância exigida pela aresta, o mesmo pode não encontrar a solução ótima quando, para um par de vértices adjacentes i e j , tiver-se que $|x(i) - x(j)| > d_{i,j}$ na mesma. Um exemplo é apresentado na Figura 3.17.

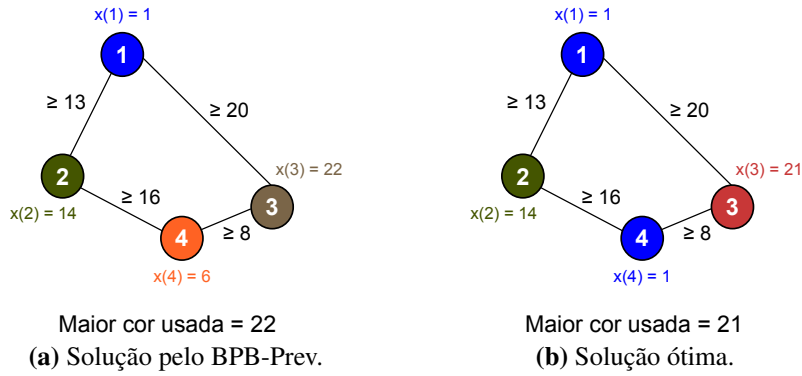


Figura 3.17: Exemplo de instância do MinGEQ-CDGP onde o BPB-Prev não consegue encontrar a solução ótima. Observe que, no BPB-Prev, para que os vértices 1 e 4 usem a mesma cor, um deles teria de ser o primeiro vértice i_1 da ordem de vértices e o outro deveria ser o segundo i_2 , de modo que não haveria vizinho colorido de i_2 e a enumeração faria com que ele recebesse a cor 1. Entretanto, há sempre um vizinho não colorido de i_1 que não é i_2 , então tal ordem não é usada pelo BPB-Prev.

Uma situação inversa ocorre com o BPB-Select. O algoritmo tenta determinar uma cor que satisfaça todas as restrições de distância de todos os vizinhos ao mesmo tempo, retornando a menor cor que não viole nenhuma delas. Para instâncias do MinGEQ-CDGP, esta estratégia permite encontrar soluções nas quais, para um par de vértices i e j , tenha-se que $|x(i) - x(j)| > d_{i,j}$, que poderiam não ser encontradas pelo BPB-Prev. Entretanto, em algumas instâncias do MinEQ-CDGP, na solução ótima, a igualdade $x(i) - x(j) = d_{i,j}$ pode ocorrer, onde $x(i) \geq x(j)$ e $x(j) \geq d_{i,j}$. Sob essas duas condições, tem-se que $x(i) = x(j) - d_{i,j}$ ou $x(i) = x(j) + d_{i,j}$. Se, na solução ótima, a segunda possibilidade estiver presente, então o BPB-Select não conseguirá atingir o ótimo, já que, quando estiver colorindo i , apenas a menor cor possível será usada, que é $x(j) - d_{i,j}$ e não $x(j) + d_{i,j}$ como na solução ótima. Para uma dada instância do MinEQ-CDGP, a mesma ordem de vértices que leva a esta situação no BPB-Select levaria a uma solução factível no BPB-Prev, dada que uma exista para a dada ordem. A Figura 3.18 mostra um exemplo deste cenário. Dadas tais considerações, verifica-se que as ordens de vértices são importantes ao determinar soluções, o que também ocorre com outros problemas de geometria de distâncias (Gonçalves e Mucherino, 2016).

3.4 Experimentos computacionais

Para avaliar o comportamento dos modelos de colorações com distância e dos algoritmos *branch-prune-and-bound*, foram realizados dois conjuntos de experimentos: o primeiro

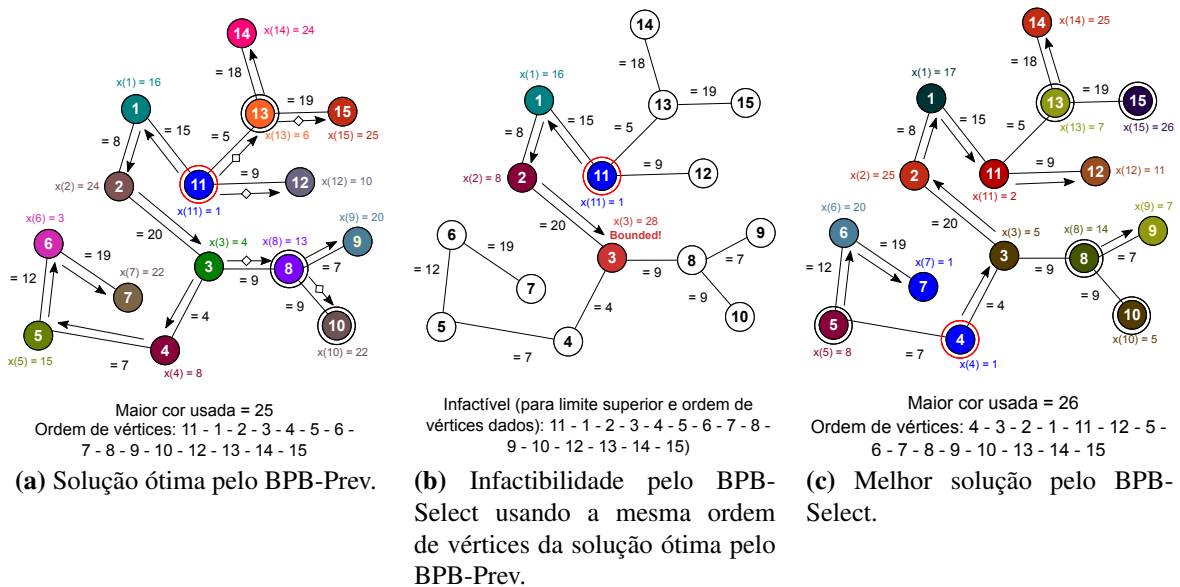


Figura 3.18: Exemplo de instância do MinEQ-CDGP onde o BPB-Select não consegue encontrar a solução ótima, com limite superior igual a 26. As setas seguem a ordem de vértices dada pelas ordens de vértices e, no caso do BPP-Prev, um círculo no meio da seta indica qual vizinho foi considerado para um vértice quando a enumeração foi reiniciada. Um círculo ao redor de um vértice indica que a enumeração reiniciou dele, e um círculo duplo indica o primeiro vértice da ordem. O verdadeiro ótimo foi encontrado pelo BPB-Prev usando a dada ordem de vértices, mas o BPB-Select não consegue encontrar uma solução factível com a mesma ordem de vértices e limite superior (sem ele, a solução encontrada pelo BPB-Select com a mesma ordem teria 28 como maior cor usada). A melhor solução possível pelo BPB-Select usa uma ordem diferente de vértices, que não leva à solução ótima..

envolveu a geração de vários grafos aleatórios com diferentes números de vértices, de acordo com algumas configurações, para determinação de quantos possuem ciclos ímpares e pares ou somente pares (sendo árvores o restante dos grafos), já que algumas propriedades das colorações com distâncias são relacionadas a estes tipos de grafos. Já o segundo envolveu a avaliação do comportamento dos algoritmos *branch-prune-and-bound* nos diferentes tipos de instâncias e problemas.

Todas as implementações foram realizadas em linguagem C e compiladas com o gcc 4.8.4 usando as opções `-Ofast -march=native -mtune=native` e executadas em um computador equipado com processador Intel Core i7-3770 (3,4GHz), 8GB de memória e sistema operacional Linux Mint 17. Tais experimentos são descritos a seguir.

3.4.1 Contagem de tipos de grafos em instâncias aleatórias

Por meio dos Teoremas 3.2 e 3.3, tem-se informações sobre quais tipos de grafos sempre tem soluções factíveis para o EQ-CDGP e EQ-CDGP-Unif. Baseando-se nisso, gerou-se uma grande quantidade de grafos aleatórios com diferentes números de vértices e contou-

se quantos possuem ciclos (e dentre esses, quais possuem ciclos pares e ímpares ou somente pares) e quantos são árvores.

Cada grafo aleatório inicia como uma árvore geradora aleatória, ou seja, um grafo conexo não direcionado $G = (V, E)$, onde $|E| = |V| - 1$. Para gerar esta árvore inicial, usou-se um algoritmo de passeio aleatório proposto por Aldous (1990). O procedimento funciona usando um conjunto V^* de vértices fora da árvore e um conjunto W de arestas da árvore geradora. Então, toda vez que o passeio aleatório chega a um vértice j fora da árvore, a aresta (i, j) é adicionada a E , e j é removido de V^* . Isso continua até que $V^* = \emptyset$. Nota-se que este procedimento equivale a realizar um passeio aleatório em um grafo completo de $|V|$ vértices, sendo que o mesmo gera árvores de maneira uniforme, ou seja, cada árvore geradora tem a mesma probabilidade de ser gerada.

Depois que a árvore inicial é gerada, são adicionadas novas arestas aleatórias até que o grafo tenha o número desejado de arestas. Este parâmetro também é gerado aleatoriamente e amostrado do intervalo $\left[|V| - 1, \frac{|V|(|V|-1)}{2}\right]$. Tal intervalo garante que o grafo gerado sempre seja conexo e seja ao menos uma árvore e no máximo um grafo completo.

Na Tabela 3.2, são mostradas estatísticas obtidas ao usar o procedimento descrito acima para gerar 1000000 (um milhão) de grafos aleatórios para cada $|V| \in \{50, 100, 150, 200, 250, 300, 350, 400, 450, 500\}$. Pode-se observar que a maior parte dos grafos gerados (mais de 99%) tem ciclos pares e ímpares, o que significa que o conjunto de instâncias do EQ-CDGP-Unif que possuem soluções factíveis é muito pequeno. Pode-se deduzir, então, que esta configuração gerou poucos grafos bipartidos. Ressalta-se que como foi gerada a mesma quantidade de grafos para cada $|V|$ usado, este comportamento é esperado, entretanto, se o número de grafos gerados for aumentado, espera-se que mais bipartidos sejam gerados. Para o EQ-CDGP (com distâncias arbitrárias), o espaço de instâncias que tenham garantidamente solução factível é ainda menor, já que apenas árvores se encaixam nisso. Entretanto, como mostrado na Subseção 3.2.2 grafos com ciclos pares e/ou ímpares podem ter soluções dependendo de como as arestas são ponderadas.

Na Figura 3.20, pode-se observar que o crescimento do número médio de arestas entre todos os grafos gerados para cada número de vértices. Como a quantidade de arestas é proporcional ao quadrado do número de vértices (já que $\frac{|V|(|V|-1)}{2} \in O(|V|^2)$), a curva segue um padrão similar, sendo uma meia parábola.

Tabela 3.2: Quantidade de grafos aleatórios com ciclos pares e ímpares, apenas ciclos pares e nenhum ciclo (árvores) e bipartidos para cada número de vértices. Para cada tamanho, foram gerados 1000000 grafos.

| $ V $ | Média $ E $ | # Grafos com ciclos pares e ímpares | # Grafos apenas com ciclos pares | # Grafos acíclicos (Árvores) | # Grafos bipartidos |
|-------|-------------|-------------------------------------|----------------------------------|------------------------------|---------------------|
| 50 | 637,56 | 998309 | 854 | 837 | 1691 |
| 100 | 2523,52 | 999553 | 238 | 209 | 447 |
| 150 | 5656,64 | 999832 | 74 | 94 | 168 |
| 200 | 10059,56 | 999910 | 45 | 45 | 90 |
| 250 | 15675,94 | 999926 | 41 | 33 | 74 |
| 300 | 22586,52 | 999958 | 18 | 24 | 42 |
| 350 | 30688,21 | 999975 | 13 | 12 | 25 |
| 400 | 40120,76 | 999975 | 14 | 11 | 25 |
| 450 | 50678,60 | 999971 | 15 | 14 | 29 |
| 500 | 62628,32 | 999988 | 6 | 6 | 12 |

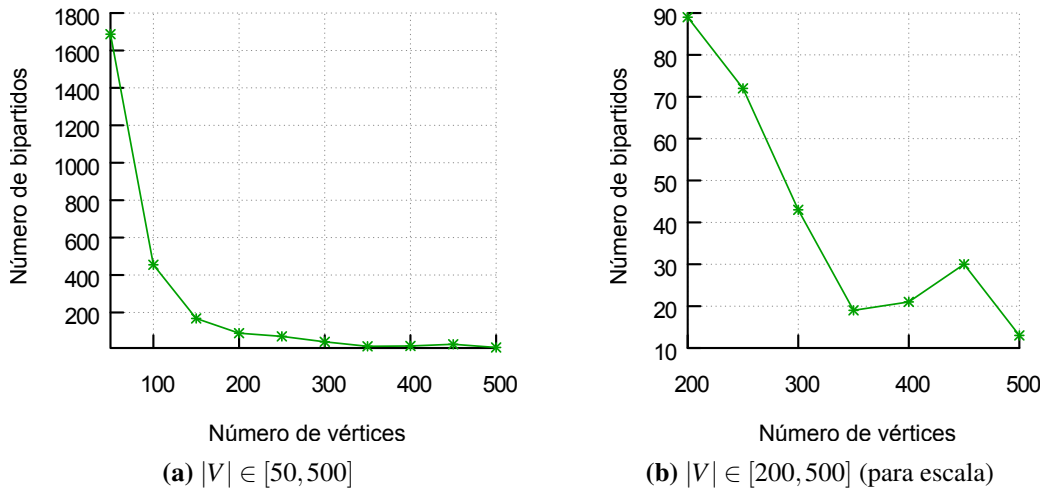


Figura 3.19: Número total de grafos bipartidos gerados de 1000000 de grafos aleatórios para cada número de vértices.

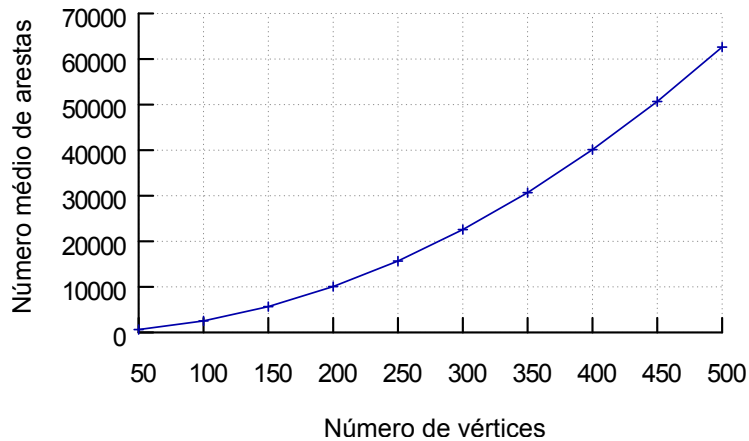


Figura 3.20: Crescimento da quantidade média de arestas geradas quando o número de vértices aumenta.

3.4.2 Resultados dos algoritmos *branch-prune-and-bound*

Para usar alguns dos grafos aleatórios nos experimentos com os BPBs, selecionou-se três grafos de cada tipo considerado: com ciclos pares e ímpares (denotados por *OddCycle*), apenas com ciclos ímpares (denotados por *EvenCycle*) e árvores (denotados por *Tree*). Em seguida, as arestas foram ponderadas aleatoriamente seguindo uma distribuição uniforme no intervalo $[1..30]$. Foram realizados dois subconjuntos de experimentos: o primeiro envolveu somente os problemas EQ-CDGP e EQ-CDGP-Unif, de modo a obter uma solução factível para cada uma de suas instâncias (ou seja, os algoritmos usam apenas procedimentos de *pruning*, terminando a busca assim que a primeira solução válida é encontrada), e o segundo envolveu os modelos de otimização dos problemas de coloração com restrições de $=$ e \geq (MinEQ-CDGP, MinEQ-CDGP-Unif, MinGEQ-CDGP e MinGEQ-CDGP-Unif). Como os tempos de execução de todos os grafos com 4 a 12 vértices foram muito pequenos (no máximo 0,3 segundos), optou-se por omitir tais resultados.

A Tabela 3.3 apresenta os resultados obtidos para um número de vértices entre 14 e 26, com incrementos de 2 a 2, considerando cada algoritmo BPB aplicado às versões de decisão. Observa-se que, apesar de o BPB-Prev efetuar menos trabalho que o BPB-Select para determinar a cor do vértice atual (ou seja, tem complexidade de tempo menor, como visto na Tabela 3.1), este último consegue chegar a uma solução factível antes do primeiro (ou seja, resolve o problema de decisão em menos tempo) e com um menor valor de função objetivo (maior cor usada). Isso ocorre porque a cada nó da árvore de enumeração do BPB-Prev existem duas possibilidades de cor, o que aumenta a ramificação da mesma. Tal fato pode ser observado também nas colunas #Prunes e #Nós da tabela, de modo que, em toda instância, BPB-Select efetua menos *prunes* que o BPB-Prev (ou seja, podas por infactibilidade ou falta de cor válida), já que existem menos nós. Quando a instância é infactível, ambos os métodos geram grandes árvores de enumeração, com muitas ramificações, de modo que quando as opções possíveis são exauridas e não foi encontrada solução válida, então a instância é infactível. No entanto, é importante ressaltar que isto só é garantido se o algoritmo não passar do tempo limite imposto. Por exemplo, nas instâncias *Tree* com 24 e 26 vértices, mesmo que o Teorema 3.3 garanta que exista ao menos uma solução factível para as mesmas, uma ou ambas as variantes do BPB não conseguiram encontrar uma solução factível no tempo limite imposto.

Da mesma maneira, a Tabela 3.4 apresenta resultados para os algoritmos BPB consi-

Tabela 3.3: Resultados dos algoritmos BP (decisão/busca) aplicados a instâncias do EQ-CDGP - 14 a 26 vértices.

| V | BPB-Prev | | | | | | BPB-Select | | | |
|----|-----------|------|-------------|------------|------------|---------------|-------------|------------|------------|---------------|
| | Tipo | Inst | Maior cor | #Prunes | #Nós | Tempo CPU (s) | Maior cor | #Prunes | #Nós | Tempo CPU (s) |
| 14 | OddCycle | 1 | Ineficaz | 3930625 | 4151102 | 7.649 | Ineficaz | 119828 | 218219 | 0.327 |
| | OddCycle | 2 | Ineficaz | 35681 | 25394 | 0.051 | Ineficaz | 5217 | 6949 | 0.012 |
| | OddCycle | 3 | Ineficaz | 25749 | 16751 | 0.034 | Ineficaz | 4890 | 6169 | 0.011 |
| | EvenCycle | 1 | Ineficaz | 22438 | 20427 | 0.039 | Ineficaz | 286 | 955 | 0.001 |
| | EvenCycle | 2 | Ineficaz | 14590592 | 17014208 | 30.952 | Ineficaz | 240185 | 480564 | 0.695 |
| | EvenCycle | 3 | Ineficaz | 9318840 | 10006150 | 18.597 | Ineficaz | 146774 | 329350 | 0.453 |
| | Tree | 1 | 41 | 3 | 20 | 0.000 | 29 | 54 | 138 | 0.000 |
| | Tree | 2 | 63 | 593 | 940 | 0.002 | 37 | 164 | 385 | 1.000 |
| | Tree | 3 | 67 | 139 | 209 | 0.000 | 31 | 60 | 166 | 0.000 |
| 16 | OddCycle | 1 | Ineficaz | 16720253 | 18533711 | 33.922 | Ineficaz | 229364 | 464467 | 0.655 |
| | OddCycle | 2 | Ineficaz | 40827 | 26130 | 0.049 | Ineficaz | 10334 | 12037 | 0.021 |
| | OddCycle | 3 | Ineficaz | 64340 | 40739 | 0.077 | Ineficaz | 13417 | 15677 | 0.027 |
| | EvenCycle | 1 | 79 | 1608 | 1961 | 0.004 | 35 | 356 | 799 | 1.000 |
| | EvenCycle | 2 | Ineficaz | 340726831 | 428448739 | 736.649 | Ineficaz | 10410162 | 19341115 | 27.659 |
| | EvenCycle | 3 | 72 | 6098 | 9620 | 0.017 | 29 | 1390 | 3171 | 4.000 |
| | Tree | 1 | 65 | 1324 | 1820 | 0.003 | 30 | 222 | 502 | 1.000 |
| | Tree | 2 | 86 | 41 | 61 | 0.000 | 30 | 15 | 50 | 0.000 |
| | Tree | 3 | 74 | 2539 | 4707 | 0.009 | 36 | 329 | 756 | 1.000 |
| 18 | OddCycle | 1 | Ineficaz | 852848 | 743950 | 1.369 | Ineficaz | 18527 | 33062 | 0.050 |
| | OddCycle | 2 | Ineficaz | 1282955 | 933589 | 1.724 | Ineficaz | 29654 | 46174 | 0.073 |
| | OddCycle | 3 | Ineficaz | 165004 | 138284 | 0.256 | Ineficaz | 1411 | 3456 | 0.005 |
| | EvenCycle | 1 | Ineficaz | 18409076 | 17857282 | 32.227 | Ineficaz | 92766 | 208614 | 0.295 |
| | EvenCycle | 2 | Ineficaz | 264088256 | 314471197 | 557.056 | Ineficaz | 996127 | 2340311 | 3.174 |
| | EvenCycle | 3 | Ineficaz | 695095555 | 673477736 | 1209.959 | Ineficaz | 2312073 | 4373462 | 6.270 |
| | Tree | 1 | 88 | 115791 | 105413 | 0.190 | 31 | 6170 | 12737 | 18.000 |
| | Tree | 2 | 55 | 7556 | 7961 | 0.015 | 25 | 1171 | 2731 | 4.000 |
| | Tree | 3 | 91 | 540 | 782 | 0.001 | 28 | 57 | 157 | 0.000 |
| 20 | OddCycle | 1 | Ineficaz | 397251801 | 343891224 | 619.704 | Ineficaz | 1786324 | 3216901 | 4.772 |
| | OddCycle | 2 | Ineficaz | 2446590 | 1682426 | 3.161 | Ineficaz | 63034 | 89385 | 0.143 |
| | OddCycle | 3 | Ineficaz | 1152062 | 849161 | 1.555 | Ineficaz | 31642 | 48916 | 0.076 |
| | EvenCycle | 1 | Nenhuma/TLE | 5236973472 | 5891034620 | 10800.000 | Ineficaz | 20719998 | 47209517 | 65.792 |
| | EvenCycle | 2 | 76 | 914490 | 869714 | 1.582 | 36 | 13158 | 25609 | 36.000 |
| | EvenCycle | 3 | Ineficaz | 31560482 | 28428856 | 50.572 | Ineficaz | 167148 | 351029 | 0.490 |
| | Tree | 1 | 64 | 2446961 | 3920630 | 7.028 | 24 | 107586 | 201000 | 285.000 |
| | Tree | 2 | 103 | 5736 | 9114 | 0.017 | 29 | 560 | 1443 | 2.000 |
| | Tree | 3 | 96 | 77841 | 88010 | 0.157 | 36 | 2908 | 6536 | 9.000 |
| 22 | OddCycle | 1 | Ineficaz | 26254768 | 23426389 | 54.311 | Ineficaz | 104901 | 215651 | 0.427 |
| | OddCycle | 2 | Ineficaz | 36293718 | 30515680 | 69.453 | Ineficaz | 109170 | 215741 | 0.418 |
| | OddCycle | 3 | Ineficaz | 1642123 | 973686 | 2.043 | Ineficaz | 128492 | 149152 | 0.344 |
| | EvenCycle | 1 | Ineficaz | 224340499 | 251232540 | 567.965 | Ineficaz | 571017 | 1351418 | 2.510 |
| | EvenCycle | 2 | Nenhuma/TLE | 3865244040 | 4660919459 | 10800.000 | Ineficaz | 19329265 | 52300771 | 93.771 |
| | EvenCycle | 3 | Nenhuma/TLE | 5092081153 | 6081809449 | 10800.000 | Ineficaz | 128729661 | 291841844 | 540.137 |
| | Tree | 1 | 110 | 2786508998 | 4305296369 | 10800.000 | 38 | 30077382 | 61986076 | 118083.000 |
| | Tree | 2 | 150 | 66370008 | 90610477 | 209.395 | 52 | 926771 | 1912598 | 3639.000 |
| | Tree | 3 | 173 | 240927 | 402687 | 0.809 | 46 | 3811 | 8508 | 16.000 |
| 24 | OddCycle | 1 | Ineficaz | 641048895 | 507509535 | 924.188 | Ineficaz | 2317601 | 3780090 | 7.909 |
| | OddCycle | 2 | Ineficaz | 123005 | 76833 | 0.147 | Ineficaz | 48071 | 50843 | 0.123 |
| | OddCycle | 3 | Ineficaz | 65782 | 42183 | 0.086 | Ineficaz | 32667 | 34377 | 0.084 |
| | EvenCycle | 1 | 127 | 165262470 | 208210517 | 357.978 | 53 | 3189 | 6383 | 12.000 |
| | EvenCycle | 2 | Ineficaz | 5346209932 | 5873842065 | 10800.000 | Ineficaz | 72906817 | 164254755 | 306.506 |
| | EvenCycle | 3 | Nenhuma/TLE | 5881951679 | 5954683241 | 10800.000 | Nenhuma/TLE | 2667932569 | 5772168624 | 10800.000 |
| | Tree | 1 | 86 | 3138775 | 4790089 | 8.727 | 49 | 44922956 | 94109754 | 183801.000 |
| | Tree | 2 | Nenhuma/TLE | 5271476912 | 5873172244 | 10800.000 | 48 | 15927595 | 33378945 | 64015.000 |
| | Tree | 3 | 65 | 2407147598 | 3732640459 | 6421.631 | 50 | 37578502 | 74620519 | 143960.000 |
| 26 | OddCycle | 1 | Ineficaz | 7580340832 | 5958839459 | 10800.000 | Ineficaz | 26753348 | 42141613 | 64.120 |
| | OddCycle | 2 | Ineficaz | 3643726 | 2126536 | 3.926 | Ineficaz | 328702 | 365478 | 0.636 |
| | OddCycle | 3 | Ineficaz | 1370179 | 809597 | 1.493 | Ineficaz | 222908 | 242362 | 0.453 |
| | EvenCycle | 1 | Nenhuma/TLE | 6206760415 | 5967575526 | 10800.000 | Ineficaz | 35785765 | 76334277 | 105.767 |
| | EvenCycle | 2 | Nenhuma/TLE | 7674629273 | 5970591346 | 10800.000 | Nenhuma/TLE | 4212458957 | 7441431184 | 10800.000 |
| | EvenCycle | 3 | Nenhuma/TLE | 5545756309 | 6074016769 | 10800.000 | Ineficaz | 2442228012 | 6367668435 | 8458.570 |
| | Tree | 1 | Nenhuma/TLE | 3732652924 | 5975408570 | 10800.000 | 46 | 22911283 | 46945890 | 66454.000 |
| | Tree | 2 | 152 | 3021403092 | 4951393771 | 8545.174 | 56 | 12752749 | 25106292 | 35637.000 |
| | Tree | 3 | Nenhuma/TLE | 4289259339 | 6288070478 | 10800.000 | Nenhuma/TLE | 4254335955 | 7402431191 | 10800.000 |

derando suas versões de otimização e aplicados apenas a instâncias factíveis do MinEQ-CDGP (que possuíram ao menos uma solução por qualquer método usado). Novamente, o BPB-Select teve um tempo de execução menor que o BPB-Prev em tais instâncias. Quando ambos os algoritmos atingiram o tempo limite sem encontrar a solução ótima (e sem provar que a encontrada o seja), o BPB-Select obteve uma melhor solução que o BPB-Prev.

Os últimos experimentos foram realizados aplicando-se os algoritmos BPB a todas as instâncias, mas agora considerando o problema MinGEQ-CDGP (ou seja, mudando o = nas restrições por \geq). Os resultados são apresentados na Tabela 3.5. Como as instâncias do MinGEQ-CDGP sempre são factíveis, deve-se considerar apenas suas versões de otimização, como já feito na Subseção 3.2.1. Observa-se que há um comportamento diferente para o MinGEQ-CDGP, de modo que não há um método que seja o melhor absoluto dentre BPB-Prev e BPB-Select. Em algumas instâncias, como as *OddCycle 2* e *3* com 14, 16, 18 e 22 vértices, *EvenCycle 2* com 18 e 20 vértices, *EvenCycle 1* com 26 vértices e algumas instâncias *Tree* com 20 e 22 vértices (mas não limitando a estas), BPB-Prev encontrou a melhor solução e provou sua otimalidade mais rapidamente, enquanto em outras, BPB-Select foi mais rápido. Tal situação ocorre pois ambos os algoritmos encontram muito mais soluções factíveis, já que toda solução do MinEQ-CDGP é válida para o MinGEQ-CDGP, mas o inverso nem sempre é verdade, de modo que existem muito mais soluções possíveis para o MinGEQ-CDGP que cada algoritmo pode encontrar.

Uma outra importante observação sobre os resultados para o MinGEQ-CDGP é que a melhor solução retornada pelo BPB-Prev pode, em algumas instâncias, não ser a ótima, como discutido na Subseção 3.3.3. Este é o caso dos resultados obtidos para as instâncias *OddCycle 3* e *EvenCycle 3*, ambas com 20 vértices. Ressalta-se também que, para instâncias maiores, quando os algoritmos não retornam a mesma solução e ambos atingem o tempo limite imposto, nenhuma solução pode ser dita garantidamente ótima.

Por fim, os tamanho das instâncias que cada algoritmo atinge o tempo limite para cada problema de otimização são dados na Tabela 3.6. Pode-se observar que, nos experimentos realizados, quando há 22 ou mais vértices, há uma grande probabilidade de que o algoritmo não atingirá a solução ótima no tempo dado. Entretanto, é importante que ressaltar que apesar de as instâncias terem sido organizadas apenas pelo número de vértices, a densidade do grafo de entrada pode impactar diretamente no tempo de execução.

3.5 Notas do capítulo

Os modelos apresentados neste capítulo envolveram a aplicação de conceitos de geometria de distâncias aos problemas de coloração em grafos, de modo a obter variantes com características interessantes, tanto do ponto de vista teórico quanto prático. Para cada um deles, foram identificadas propriedades envolvendo factibilidade (ou seja, a existência ou não de solução) e complexidade computacional, sendo estas as principais contribuições deste capítulo.

Os algoritmos *branch-prune-and-bound*, inicialmente propostos no mestrado, foram estudados de forma mais aprofundada nesta tese, de modo a verificar seu comportamento de acordo com o modelo de coloração e tipo de instância. Observou-se que nem sempre os métodos são exatos, de maneira similar ao *branch-and-prune* para o DDGP. Apesar dos métodos não serem competitivos, o estudo de tal comportamento pode ser útil para determinar rotinas que melhorem o desempenho de outros tipos de algoritmos.

Convém ressaltar que outras variações de colorações ainda podem ser exploradas com base nas identificadas nesta tese e em trabalhos de geometria de distâncias, envolvendo tanto outros tipos de restrições de adjacência, bem como outras características, como listas permitidas de distâncias (não contíguas).

Tabela 3.4: Resultados dos algoritmos BPB (otimização) aplicados a instâncias factíveis do MinEQ-CDGP - 14 a 26 vértices.

| V | Tipo | Inst | BPB-Prev (otimização) | | | | | | | BPB-Select (otimização) | | | | | | |
|----|-----------|------|-----------------------|------------|------------|-------|------------|--------------------|--------------------|-------------------------|-----------|------------|-------|-------------|--------------------|--------------------|
| | | | Maior cor | #Bounds | #Prunes | #Sol. | #Nós | Tempo p/ 1ª (s) | Tempo Total (s) | Maior cor | #Bounds | #Prunes | #Sol. | #Nós | Tempo p/ 1ª (s) | Tempo Total (s) |
| 14 | Tree | 1 | 23 | 73169 | 131887 | 5 | 330867 | 0.000 | 0.582 | 23 | 1128 | 37719 | 3 | 88155 | 0.000 | 0.087 |
| | | 2 | 23 | 24629 | 40448 | 8 | 109606 | 0.002 | 0.200 | 23 | 2510 | 26224 | 2 | 61087 | 0.001 | 0.059 |
| | | 3 | 31 | 15948 | 25736 | 6 | 67059 | 0.000 | 0.129 | 31 | 981 | 19645 | 1 | 45496 | 0.000 | 0.047 |
| | EvenCycle | 1 | 26 | 734907 | 1444932 | 20 | 3430433 | 0.004 | 6.442 | 26 | 13238 | 429023 | 3 | 965581 | 0.001 | 0.937 |
| | | 3 | 26 | 382461 | 478520 | 6 | 1341496 | 0.017 | 2.357 | 26 | 3968 | 105082 | 2 | 245263 | 0.004 | 0.239 |
| 16 | Tree | 1 | 30 | 1181358 | 1587427 | 10 | 4086926 | 0.003 | 7.336 | 30 | 35892 | 620039 | 1 | 1338678 | 0.001 | 1.310 |
| | | 2 | 27 | 669737 | 1210214 | 22 | 2903465 | 0.000 | 5.112 | 27 | 2611 | 216168 | 2 | 502088 | 0.000 | 0.472 |
| | | 3 | 24 | 789653 | 1566492 | 15 | 3302294 | 0.009 | 5.845 | 24 | 2437 | 495712 | 3 | 1061101 | 0.001 | 1.006 |
| 18 | Tree | 1 | 28 | 36615569 | 40788308 | 25 | 105873095 | 0.190 | 186.338 | 28 | 340240 | 6686934 | 3 | 13736111 | 0.018 | 12.973 |
| | | 2 | 25 | 22063979 | 49610912 | 6 | 97340621 | 0.015 | 171.816 | 25 | 1124920 | 11173394 | 1 | 24302076 | 0.004 | 22.866 |
| | | 3 | 23 | 2533460 | 4177180 | 24 | 10505001 | 0.001 | 18.544 | 23 | 2843 | 1460443 | 3 | 3054495 | 0.000 | 2.855 |
| | EvenCycle | 2 | 24 | 151689781 | 345164555 | 16 | 576184304 | 1.582 | 1008.727 | 24 | 2750542 | 55696609 | 5 | 105240633 | 0.036 | 101.383 |
| 20 | Tree | 1 | 24 | 267889809 | 423860003 | 10 | 905816365 | 7.028 | 1639.773 | 24 | 14799751 | 221687235 | 1 | 436478894 | 0.285 | 426.623 |
| | | 2 | 27 | 5168120 | 11062144 | 17 | 20785962 | 0.017 | 36.394 | 27 | 74695 | 2918725 | 2 | 6562696 | 0.002 | 6.235 |
| | | 3 | 24 | 43956039 | 60091614 | 25 | 144775201 | 0.157 | 250.804 | 24 | 151157 | 9245694 | 3 | 18762973 | 0.009 | 18.051 |
| 22 | Tree | 1 | 32 | 135610562 | 2977763180 | 14 | 4821423002 | 9644.021 | 10800.000 | 31 | 2380566 | 335092187 | 3 | 676132261 | 118.083 | 907.120 |
| | | 2 | 42 | 1680426488 | 2560100224 | 21 | 5467261228 | 209.395 | 10800.000 | 42 | 9794640 | 881203038 | 3 | 1679857563 | 3.639 | 2167.077 |
| | | 3 | 40 | 951641886 | 3519285927 | 31 | 5995079706 | 0.809 | 10800.000 | 40 | 11077774 | 1474744293 | 5 | 2953821790 | 0.016 | 3858.260 |
| | EvenCycle | 1 | 45 | 1303800435 | 3547526485 | 11 | 5958438816 | 357.978 | 10800.000 | 42 | 39660438 | 1453410172 | 4 | 3114013223 | 0.012 | 4066.296 |
| 24 | Tree | 1 | 39 | 1434035663 | 2791529314 | 14 | 6173893175 | 8.727 | 10800.000 | 39 | 16950544 | 842284814 | 3 | 1695927132 | 183.801 | 2314.789 |
| | | 2 | Nenhuma | 0 | 5271476912 | 0 | 5873172244 | - | 10800.000 | 46 | 3952610 | 3667193238 | 2 | 8018634142 | 64.015 | 10800.000 |
| | | 3 | 50 | 433541618 | 3573077273 | 3 | 6250834667 | 6421.631 | 10800.000 | 39 | 261747766 | 3728282741 | 2 | 8162494055 | 143.960 | 10800.000 |
| 26 | Tree | 1 | Nenhuma | 0 | 3732652924 | 0 | 5975408570 | - | 10800.000 | 46 | 171310935 | 5519429069 | 1 | 10855894570 | 66.454 | 10800.000 |
| | | 2 | 109 | 11050015 | 3844032304 | 6 | 6262294917 | 8545.174 | 10800.000 | 56 | 8987188 | 4614079720 | 1 | 10914203771 | 35.637 | 10800.000 |

Tabela 3.5: Resultados dos algoritmos BPB (otimização) aplicados a instâncias do MinGEQ-CDGP - 14 a 26 vértices.

| V | Tipo | Inst | BPB-Prev (otimização) | | | | | | BPB-Select (otimização) | | | | | | | |
|----|-----------|------|-----------------------|----------|-----------|-------|-----------|--------------------|-------------------------|-----------|----------|-----------|-------|------------|--------------------|--------------------|
| | | | Maior cor | #Bounds | #Prunes | #Sol. | #Nós | Tempo p/ 1ª (s) | Tempo Total (s) | Maior cor | #Bounds | #Prunes | #Sol. | #Nós | Tempo p/ 1ª (s) | Tempo Total (s) |
| 14 | OddCycle | 1 | 21 | 645077 | 450680 | 20 | 1566639 | 0.000 | 2.844 | 21 | 211465 | 550635 | 3 | 1669427 | 0.000 | 1.623 |
| | | 2 | 37 | 341525 | 1207988 | 15 | 1226427 | 0.000 | 2.411 | 35 | 58843 | 894007 | 4 | 2035550 | 0.000 | 2.146 |
| | | 3 | 38 | 924821 | 2933266 | 21 | 2789762 | 0.000 | 5.464 | 38 | 812206 | 4861676 | 6 | 11829374 | 0.000 | 12.994 |
| | EvenCycle | 1 | 20 | 1457 | 2389 | 10 | 6072 | 0.006 | 0.011 | 20 | 218 | 535 | 5 | 2197 | 0.000 | 0.002 |
| | | 2 | 17 | 294751 | 220488 | 14 | 748444 | 0.000 | 1.393 | 17 | 217216 | 218973 | 4 | 936865 | 0.000 | 0.898 |
| | | 3 | 21 | 94191 | 67037 | 9 | 238018 | 0.000 | 0.458 | 21 | 59565 | 131454 | 2 | 440280 | 0.000 | 0.422 |
| | Tree | 1 | 18 | 33888 | 10263 | 7 | 73883 | 0.000 | 0.125 | 18 | 8925 | 7703 | 3 | 39260 | 0.000 | 0.038 |
| | | 2 | 21 | 21266 | 5669 | 4 | 49842 | 0.000 | 0.093 | 21 | 35518 | 9076 | 1 | 108651 | 0.000 | 0.105 |
| | | 3 | 21 | 1795 | 555 | 7 | 3950 | 0.000 | 0.008 | 21 | 1806 | 558 | 2 | 5532 | 0.000 | 0.006 |
| 16 | OddCycle | 1 | 18 | 126328 | 161820 | 10 | 371541 | 0.000 | 0.682 | 18 | 54419 | 53715 | 4 | 228464 | 0.000 | 0.222 |
| | | 2 | 53 | 42249077 | 129768220 | 31 | 104325789 | 0.000 | 194.604 | 53 | 38366062 | 972153720 | 14 | 1746554116 | 0.000 | 1980.567 |
| | | 3 | 48 | 27501531 | 79483153 | 31 | 64892955 | 0.000 | 121.646 | 46 | 17189261 | 401975939 | 14 | 696082548 | 0.000 | 803.593 |
| | EvenCycle | 1 | 20 | 657205 | 348380 | 19 | 1677773 | 0.000 | 3.106 | 20 | 258893 | 570336 | 4 | 2015700 | 0.000 | 1.930 |
| | | 2 | 20 | 2872809 | 1646080 | 12 | 6797918 | 0.000 | 11.987 | 20 | 1034882 | 3519549 | 5 | 9530309 | 0.000 | 9.234 |
| | | 3 | 21 | 135359 | 16277 | 6 | 270124 | 0.000 | 0.478 | 21 | 27916 | 29465 | 3 | 127857 | 0.000 | 0.123 |
| | Tree | 1 | 21 | 394331 | 135792 | 13 | 871108 | 0.000 | 1.626 | 21 | 149139 | 336081 | 2 | 1213969 | 0.000 | 1.176 |
| | | 2 | 21 | 1135197 | 308686 | 17 | 2710177 | 0.000 | 4.730 | 21 | 273524 | 592748 | 3 | 2264385 | 0.000 | 2.162 |
| | | 3 | 21 | 964567 | 631390 | 10 | 2454902 | 0.000 | 4.340 | 21 | 860528 | 1271113 | 1 | 4889001 | 0.000 | 4.642 |
| 18 | OddCycle | 1 | 23 | 403646 | 689781 | 29 | 1096305 | 0.000 | 1.995 | 23 | 89251 | 2157123 | 6 | 4215186 | 0.000 | 4.113 |
| | | 2 | 28 | 270417 | 501032 | 24 | 711228 | 0.000 | 1.293 | 28 | 156374 | 725207 | 10 | 1786184 | 0.000 | 1.788 |
| | | 3 | 27 | 68883 | 72174 | 28 | 166526 | 0.000 | 0.302 | 27 | 28930 | 127942 | 4 | 383073 | 0.000 | 0.373 |
| | EvenCycle | 1 | 21 | 226428 | 172924 | 33 | 544713 | 0.000 | 0.972 | 21 | 153559 | 261663 | 6 | 929927 | 0.000 | 0.895 |
| | | 2 | 21 | 574529 | 272687 | 17 | 1333025 | 0.000 | 2.320 | 21 | 441889 | 1561547 | 4 | 5096657 | 0.000 | 4.877 |
| | | 3 | 21 | 1959536 | 3201061 | 19 | 5804091 | 0.000 | 10.301 | 21 | 2328257 | 2049088 | 3 | 8815279 | 0.000 | 8.435 |
| | Tree | 1 | 21 | 23651729 | 5659135 | 8 | 42814302 | 0.000 | 75.126 | 21 | 3480825 | 11725139 | 5 | 31510553 | 0.000 | 29.640 |
| | | 2 | 21 | 12707141 | 6951990 | 8 | 27625579 | 0.000 | 48.768 | 21 | 3385503 | 5562843 | 3 | 16351954 | 0.000 | 15.559 |
| | | 3 | 19 | 2971604 | 1596362 | 22 | 8321143 | 0.000 | 14.544 | 19 | 1168701 | 3161985 | 2 | 10148322 | 0.000 | 9.588 |

Continua na próxima página.

Tabela 3.5 – Continuação da página anterior.

| V | Tipo | Inst | BPB-Prev (otimização) | | | | | | | BPB-Select (otimização) | | | | | | |
|----|-----------|------|-----------------------|------------|------------|-------|------------|--------------------|--------------------|-------------------------|------------|------------|-------|-------------|--------------------|--------------------|
| | | | Maior cor | #Bounds | #Prunes | #Sol. | #Nós | Tempo p/ 1ª (s) | Tempo Total (s) | Maior cor | #Bounds | #Prunes | #Sol. | #Nós | Tempo p/ 1ª (s) | Tempo Total (s) |
| 20 | OddCycle | 1 | 25 | 80860020 | 130297491 | 22 | 250587621 | 0.000 | 447.298 | 25 | 30005823 | 182202237 | 2 | 481689865 | 0.000 | 478.757 |
| | | 2 | 30 | 22109746 | 70876798 | 24 | 77086730 | 0.000 | 139.693 | 30 | 9486329 | 105756952 | 5 | 248377444 | 0.000 | 255.918 |
| | | 3 | 30 | 5854520 | 15090450 | 34 | 18833088 | 0.000 | 33.663 | 29 | 3280215 | 14139380 | 4 | 35525456 | 0.000 | 35.784 |
| | EvenCycle | 1 | 21 | 306492466 | 290976595 | 21 | 748440185 | 0.000 | 1335.263 | 21 | 244902785 | 91113414 | 5 | 724708042 | 0.000 | 709.116 |
| | | 2 | 21 | 76491974 | 70989106 | 7 | 196478938 | 0.000 | 338.722 | 21 | 265125525 | 35429733 | 2 | 548890756 | 0.000 | 520.729 |
| | | 3 | 22 | 941508 | 1090455 | 18 | 2418408 | 0.000 | 4.274 | 21 | 4529934 | 1546737 | 5 | 12937093 | 0.000 | 12.531 |
| | Tree | 1 | 21 | 501421339 | 233786884 | 9 | 1231692406 | 0.000 | 2159.958 | 21 | 497365528 | 932560094 | 5 | 3285799702 | 0.000 | 3186.089 |
| | | 2 | 21 | 8215852 | 10377774 | 14 | 25479374 | 0.000 | 45.027 | 21 | 27313206 | 17555281 | 4 | 98225542 | 0.000 | 93.566 |
| | | 3 | 21 | 15766711 | 13251908 | 14 | 41314410 | 0.000 | 72.232 | 21 | 11863544 | 18549550 | 4 | 65387940 | 0.000 | 62.723 |
| 22 | OddCycle | 1 | 35 | 42938429 | 40380216 | 27 | 95066073 | 0.000 | 218.883 | 35 | 97405696 | 156750327 | 2 | 587060884 | 0.000 | 603.005 |
| | | 2 | 37 | 11311525 | 19097577 | 23 | 32949477 | 0.000 | 75.509 | 37 | 3848239 | 44411978 | 4 | 107463430 | 0.000 | 108.827 |
| | | 3 | 73 | 2000325327 | 7280778464 | 38 | 5792046990 | 0.000 | 10800.000 | 68 | 224507385 | 5182891368 | 18 | 9279818233 | 0.000 | 10800.000 |
| | EvenCycle | 1 | 30 | 20043221 | 14089082 | 12 | 52206915 | 0.000 | 117.054 | 30 | 13013868 | 45340553 | 2 | 130340949 | 0.000 | 133.761 |
| | | 2 | 31 | 31012652 | 60034933 | 14 | 148811258 | 0.000 | 337.540 | 31 | 35432407 | 48769777 | 4 | 186354740 | 0.000 | 185.295 |
| | | 3 | 31 | 23411492 | 17381110 | 11 | 62086727 | 0.000 | 110.881 | 31 | 23741231 | 29109093 | 7 | 104954830 | 0.000 | 102.303 |
| | Tree | 1 | 27 | 270203508 | 76667564 | 8 | 553985858 | 0.000 | 1220.984 | 27 | 172372918 | 360684580 | 2 | 1046326590 | 0.000 | 991.931 |
| | | 2 | 30 | 1943743038 | 920983002 | 17 | 4542439718 | 0.000 | 8993.205 | 30 | 1436150566 | 3201778158 | 4 | 10833815876 | 0.000 | 10800.000 |
| | | 3 | 30 | 1485642659 | 713665659 | 22 | 3198738831 | 0.000 | 5776.637 | 30 | 1670595723 | 3233015335 | 4 | 10875030416 | 0.000 | 10800.000 |
| 24 | OddCycle | 1 | 47 | 732050577 | 3948302960 | 20 | 5846159217 | 0.020 | 10800.000 | 47 | 1753474763 | 3033132004 | 2 | 10702330028 | 0.000 | 10800.000 |
| | | 2 | 187 | 3326239091 | 7393153183 | 48 | 5778965820 | 0.000 | 10800.000 | 190 | 86957928 | 3972381158 | 19 | 6714361416 | 0.000 | 10800.000 |
| | | 3 | 207 | 3276549688 | 7126762369 | 67 | 5586407952 | 0.000 | 10800.000 | 190 | 144070174 | 4264496756 | 17 | 6712630855 | 0.000 | 10800.000 |
| | EvenCycle | 1 | 29 | 2728732397 | 853862019 | 20 | 5508977994 | 0.000 | 9895.354 | 29 | 288966325 | 112927315 | 3 | 777625631 | 0.000 | 752.544 |
| | | 2 | 31 | 1124175678 | 995413847 | 35 | 2986509166 | 0.000 | 5260.684 | 31 | 2111407527 | 2771811106 | 5 | 10977102372 | 0.000 | 10800.000 |
| | | 3 | 77 | 3504643842 | 3280262618 | 10 | 5852208979 | 0.093 | 10800.000 | 40 | 2577213292 | 2934594601 | 2 | 11334482922 | 0.000 | 10800.000 |
| | Tree | 1 | 34 | 2240431219 | 2066840924 | 6 | 6162097374 | 0.000 | 10800.000 | 29 | 1020853189 | 2143005122 | 5 | 6497004349 | 0.000 | 6207.489 |
| | | 2 | 29 | 3170945967 | 932984259 | 11 | 5994115145 | 0.000 | 10800.000 | 29 | 5027356324 | 2614110038 | 5 | 12545263004 | 0.000 | 10800.000 |
| | | 3 | 30 | 3078162435 | 504276478 | 8 | 6395072659 | 2.978 | 10800.000 | 30 | 492291164 | 4799922157 | 3 | 11278320407 | 0.000 | 10800.000 |

Continua na próxima página.

Tabela 3.5 – Continuação da página anterior.

| V | Tipo | Inst | BPB-Prev (otimização) | | | | | | | BPB-Select (otimização) | | | | | | |
|----|-----------|------|-----------------------|------------|------------|-------|------------|--------------------------------|--------------------|-------------------------|------------|------------|-------|-------------|--------------------------------|--------------------|
| | | | Maior cor | #Bounds | #Prunes | #Sol. | #Nós | Tempo p/ 1 ^a (s) | Tempo Total (s) | Maior cor | #Bounds | #Prunes | #Sol. | #Nós | Tempo p/ 1 ^a (s) | Tempo Total (s) |
| 26 | OddCycle | 1 | 44 | 1176646851 | 4096641234 | 8 | 6101302200 | 0.000 | 10800.000 | 53 | 4564897330 | 316839007 | 3 | 10603481104 | 0.000 | 10800.000 |
| | | 2 | 94 | 1895611489 | 7785217781 | 44 | 5743375749 | 0.000 | 10800.000 | 99 | 179155625 | 4415411739 | 12 | 8217012017 | 0.000 | 10800.000 |
| | | 3 | 117 | 1900039455 | 7977540922 | 53 | 5700048800 | 0.000 | 10800.000 | 114 | 336266831 | 4293974272 | 9 | 7961956055 | 0.000 | 10800.000 |
| | EvenCycle | 1 | 30 | 91326165 | 90597668 | 19 | 235367863 | 0.390 | 419.074 | 30 | 276059731 | 269419373 | 5 | 1114770418 | 0.000 | 1131.649 |
| | | 2 | 57 | 1645730092 | 2629876932 | 5 | 6256562220 | 0.000 | 10800.000 | 57 | 4328305486 | 721308565 | 1 | 10894682505 | 0.000 | 10800.000 |
| | | 3 | 31 | 2795326285 | 1585605446 | 20 | 6088222903 | 0.063 | 10800.000 | 31 | 3337154071 | 2509493385 | 4 | 10823011250 | 0.000 | 10800.000 |
| | Tree | 1 | 46 | 2686041997 | 884280629 | 12 | 6174625648 | 0.000 | 10800.000 | 46 | 4652634796 | 159177582 | 1 | 10815054531 | 0.000 | 10800.000 |
| | | 2 | 43 | 1841427421 | 1920867573 | 18 | 6427915575 | 0.000 | 10800.000 | 43 | 4315155472 | 631308463 | 1 | 10711895707 | 0.000 | 10800.000 |
| | | 3 | 48 | 3143086399 | 978959526 | 9 | 6055121395 | 0.000 | 10800.000 | 48 | 4837852468 | 26880865 | 2 | 10683687124 | 0.000 | 10800.000 |

Tabela 3.6: Menor tamanho de instância onde cada algoritmo e problema de otimização atingem o tempo limite imposto de 10800 segundos (3 horas).

| Algoritmo | MinEQ-CDGP (restrições =) | | | MinGEQ-CDGP (restrições ≥) | | |
|------------|---------------------------|-----------|------|----------------------------|-----------|------|
| | OddCycle | EvenCycle | Tree | OddCycle | EvenCycle | Tree |
| BPB-Prev | Nenhuma | 22 | 22 | 22 | 24 | 24 |
| BPB-Select | Nenhuma | 24 | 24 | 22 | 24 | 22 |

Capítulo 4

Elaboração e implementação de modelos de programação matemática

Apesar da existência de alguns métodos exatos que podem ser utilizados no BCP, como visto na Seção 2.3 do Capítulo 2, todos são aplicados a problemas de alocação de canais com alguma variante ao invés do BCP. Assim, durante a pesquisa, verificou-se que há uma lacuna na literatura referente a resultados de otimalidade para instâncias do BCP amplamente usadas em trabalhos específicos do problema, em sua maior parte contendo algoritmos heurísticos.

Para a obtenção de soluções ótimas para algumas instâncias do BCP, foram usados modelos de programação inteira e por restrições, que serão descritos a seguir. Ressalta-se que, no Capítulo 5, serão apresentados novas formulações de programação inteira, seguindo as características dos modelos de colorações com distâncias.

Do mesmo modo que no Capítulo 3, será assumido que \boxtimes é um operador relacional, de tal modo que, para dois vértices i e j , tem-se a restrição $|x(i) - x(j)| \boxtimes d_{i,j}$, onde \odot é $=$ para o MinEQ-CDGP e \geq para o MinGEQ-CDGP.

4.1 Programação inteira

Os modelos de programação inteira descritos e implementados foram baseados na formulação padrão para o BCP (descrita na Seção 2.1 do Capítulo 2) de Koster (1999), modificando-o reduzir a quantidade de variáveis e restrições.

4.1.1 Demandas unitárias

Considerando-se o seguinte conjunto de variáveis:

$$x_{ik} = \begin{cases} 1 & \text{se a cor } k \text{ for atribuída ao vértice } i; \\ 0 & \text{caso contrário.} \end{cases}$$

E uma variável livre adicional z_{max} , que corresponderá ao valor da maior cor usada, tem-se o seguinte modelo de programação inteira:

$$\text{Minimizar } z_{max} \quad (4.1)$$

$$\text{Sujeito a } \sum_{k=1}^U x_{ik} = 1 \quad (\forall i \in V) \quad (4.2)$$

$$x_{ik} + x_{jm} \leq 1 \quad (\forall (i, j) \in E; k, m = 1, 2, \dots, U : \neg(|k - m| \boxtimes d(i, j))) \quad (4.3)$$

$$z_{max} \geq kx_{ik} \quad (\forall i \in V; k = 1, 2, \dots, U) \quad (4.4)$$

$$x_{ik} \in \{0, 1\} \quad (\forall i \in V; k = 1, 2, \dots, U) \quad (4.5)$$

$$(4.6)$$

A função objetivo é a minimização da maior cor usada. As restrições (4.2) fazem com que cada vértice receba uma cor. O conjunto de restrições (4.3) correspondem à separação entre cores de vértices adjacentes de acordo com o tipo de restrição do problema considerado. As restrições (4.4) garante que a variável z_{max} terá o valor da maior cor usada e, por fim, as restrições (4.5) são de integralidade.

O modelo modificado possui $O(U|V|)$ variáveis e $O(U^2|E| + |V|)$ restrições, sendo menor que a formulação padrão original, que tem $O(U|V| + U)$ variáveis e $O(U^2|E| + U|V| + U + |V|)$

4.1.2 Multicoloração

Para que o modelo acima possa ser usado no MinGEQ-Multi-CDGP/BMCP, deve-se modificá-lo de modo a acomodar as demandas de multicoloração. Assim, duas alterações são necessárias para que se obtenha um outro modelo para o MinGEQ-Multi-CDGP. A primeira consiste em alterar o lado direito das restrições (4.2) de 1 para $w(i)$, o que fará

com que, para cada vértice i , exatamente $w(i)$ variáveis x_{ik} tenham valor 1, o que significa que o vértice terá $w(i)$ cores distintas. A segunda modificação consiste em expandir o conjunto de restrições (C.9) de modo a adicionar novos elementos que garantirão que cada vértice i não use cores distintas que violem a distância $d_{i,i}$, ou seja, além de uma restrição para cada $(i, j) \in E$; $1 \leq k, m \leq U$ tal que $\neg(|k - m| \geq d_{i,j})$ e também uma para cada $i \in V$; $1 \leq k, m \leq U$ tal que $\neg(|k - m| \geq d_{i,i})$. Esta modificação equivale a adicionar uma aresta (i, i) no grafo de entrada, cujo peso associado será igual a $d(i, i)$, de tal modo que aplicar a formulação original de programação inteira ao grafo resultante desta modificação automaticamente adicionaria as novas restrições. As duas modificações citadas não tem impacto no tamanho assintótico da formulação. O modelo resultante usa as mesmas variáveis e é, então, definido por:

$$\text{Minimizar } z_{max} \quad (4.7)$$

$$\text{Sujeito a } \sum_{k=1}^U x_{ik} = 1 \quad (\forall i \in V) \quad (4.8)$$

$$x_{ik} + x_{jm} \leq 1 \quad (\forall (i, j) \in E; k, m = 1, 2, \dots, U : |k - m| < d(i, j)) \quad (4.9)$$

$$z_{max} \geq kx_{ik} \quad (\forall i \in V; k = 1, 2, \dots, U) \quad (4.10)$$

$$x_{ik} \in \{0, 1\} \quad (\forall i \in V; k = 1, 2, \dots, U) \quad (4.11)$$

Ressalta-se que, como o problema considerado nesta formulação é especificamente com restrição de adjacência do tipo \geq (ou seja, $\boxtimes = \geq$), substituiu-se a expressão $\boxtimes(|k - m| \boxtimes d(i, j))$ pela equivalente $|k - m| < d(i, j)$ na quantificação das restrições 4.9, da mesma forma como a formulação de Koster (1999) descrita na Seção 2.2.

4.2 Programação por restrições

Os modelos de geometria de distâncias para problemas de coloração em grafos podem ser mapeados diretamente para uma formulação de programação por restrições (*constraint programming* - CP). Isso é possível já que tais modelos envolvem a projeção do grafo em uma dimensão, ou seja, uma rotulação dos vértices do grafo usando números naturais que indicam sua posição na linha. Desse modo, as distâncias dos segmentos definidos pelos pesos das arestas devem ser respeitadas. Nesse aspecto, a técnica de programação por restrições se mostra capaz de tratar diretamente estas características.

4.2.1 Demandas unitárias

A primeira formulação utiliza em programação por restrições e é baseada diretamente nas definições mostradas no Capítulo 3. Seja x_i uma variável inteira consistindo na cor atribuída ao vértice i . Então, o modelo, denotado por CDGP-CP, é definido por:

$$\text{Minimizar} \quad \max_{i \in V} x(i) \quad (4.12)$$

$$\text{Sujeito a} \quad |x(i) - x(j)| \geq d(i, j) \quad (\forall (i, j) \in E) \quad (4.13)$$

$$x(i) \in \mathbb{Z}^* \quad (\forall i \in V) \quad (4.14)$$

A função objetivo (4.12) consiste na minimização da maior cor usada dentre todos os vértices. O conjunto de restrições (4.13) envolve as distâncias entre vértices. Para cada variável x_i , o domínio inicial $D(x_i)$ consiste em todos os inteiros entre 1 e um dado limite superior U , ou seja, $D(x_i) = [1 .. U]$. Ressalta-se que todos os domínios iniciais de todas as variáveis são iguais. Este modelo possui $O(|V|)$ variáveis (uma por vértice) e $O(|E|)$ restrições (uma por aresta).

Para o MinGEQ-CDGP-Unif (ou seja, onde todas as distâncias são iguais e as restrições são do tipo \geq) em grafos completos, pode-se usar uma restrição global específica. Tal modelo, denotado por MinGEQ-CDGP-Unif-CP, é definido por:

$$\text{Minimizar} \quad \max_{i \in V} x(i) \quad (4.15)$$

$$\text{Sujeito a} \quad \text{allMinDistance}(\{x(i) : i \in V\}, \varphi) \quad (4.16)$$

$$x(i) \in \mathbb{Z}^* \quad (\forall i \in V) \quad (4.17)$$

A restrição global *allMinDistance* usa, como parâmetros, um conjunto de variáveis e um valor w e faz com que, para todos os pares de variáveis y e z no conjunto, a condição $|y - z| \geq w$ seja respeitada, o que é exigido pelo MinGEQ-CDGP. Esta formulação tem $O(|V|)$ variáveis e $O(1)$ restrição. Apesar de bastante compacta, a mesma funciona apenas em grafos completos, uma vez que a restrição global *allMinDistance* trata das distâncias entre todos os pares de variáveis dadas como parâmetros.

Ressalta-se que a *allMinDistance* generaliza a restrição global clássica *allDifferent*, de modo que se o valor w (ou seja, a distância a ser respeitada) for 1, o resultado obtido pela propagação de ambas as restrições com o mesmo conjunto de variáveis seria o mesmo.

Entretanto, não há garantia de que os algoritmos próprios para propagação de *allDifferent* seriam usados nesse cenário.

4.2.2 Multicoloração

Para o MinGEQ-Multi-CDGP, que usa multicoloração, uma formulação de programação por restrições pode ser construída com base em características de ambos os modelos anteriores. Como abordado no Capítulo 3, um problema com multicoloração pode ser convertido em uma versão com demandas unitárias transformando-se cada vértice i em uma clique de w_i vértices, cada um adjacente aos outros que eram originalmente adjacentes a i . Com base nisto, tem-se que cada vértice consiste em uma pequena sub-instância do MinGEQ-CDGP-Unif em um grafo completo, onde o grafo maior (ou seja, considerando as restrições impostas nas arestas originais entre vértices diferentes) é uma instância do MinGEQ-CDGP se as demandas de multicoloração forem ignoradas. Assim, tem-se o seguinte modelo de programação por restrições, denotado por MinGEQ-Multi-CDGP-CP:

$$\text{Minimizar} \quad \max_{\substack{i \in V \\ 1 \leq k \leq w(i)}} x(i, k) \quad (4.18)$$

$$\text{Sujeito a} \quad |x(i, k) - x(j, m)| \geq d(i, j) \quad (\forall (i, j) \in E, 1 \leq k \leq w(i), \\ 1 \leq m \leq w(j)) \quad (4.19)$$

$$\text{allMinDistance}(\{x(i, k) : 1 \leq k \leq w_i\}, d(i, i)) \quad (\forall i \in V) \quad (4.20)$$

$$x(i, k) \in \mathbb{Z}^* \quad (\forall i \in V, 1 \leq k \leq w(i)) \quad (4.21)$$

Na formulação acima, restrições (4.19) garantem que as cores atribuídas a vértices diferentes respeitem as distâncias das arestas. As restrições (4.19) fazem com que as cores distintas atribuídas a um mesmo vértice i respeitem a distância mínima $d_{i,i}$ entre elas (por meio da restrição global *allMinDistance*, já que a clique do vértice define uma pequena sub-instância do MinGEQ-CDGP-Unif). Esta formulação possui $O(|V| \times w_{max})$ variáveis e $O(|E| \times w_{max})$ restrições, onde $w_{max} = \max_{i \in V} w(i)$.

4.3 Experimentos computacionais

As formulações de programação inteira e por restrições foram implementadas por meio da ferramenta IBM/ILOG CPLEX 12.6.3 e seu componente CP Optimizer, com a biblioteca *Concert Technology*. A codificação foi feita em linguagem C++ e os programas resultantes foram executados em um computador com processador Intel Core i7-3770 (3.4GHz), 8GB de RAM e sistema operacional Ubuntu Linux 16.04.2 LTS. Em todos os testes, foram utilizados os parâmetros originais do CPLEX, mas limitando-se os processos a apenas uma *thread*, e cada instância foi limitada a 48 horas (172800 segundos) de tempo de CPU.

Foram usados dois conjuntos de instâncias de *benchmark* da literatura. O primeiro conjunto é conhecido como GEOM e foi gerado por Trick et al. (2002) tanto para o BCP quanto para o BMCP, e consiste em 33 instâncias de grafos geométricos de três tipos: GEOM n , que são grafos esparsos, enquanto GEOM na e GEOM nb são grafos mais densos (onde n é o número de vértices da instância tal que $n \in \{20, 30, 40, 50, 60, 70, 80, 90, 100, 110, 120\}$).

O segundo conjunto consiste em três subconjuntos de instâncias para o MS-CAP, sendo os mesmos compostos pelas instâncias clássicas Philadelphia (21 vértices) e Helsinki (25 vértices), baseadas em redes celulares das cidades de mesmo nome, e um problema artificial de 55 vértices correspondendo a uma extensão da rede Philadelphia (Chakraborty, 2001; Kendall e Mohamad, 2005). Tais instâncias são usadas como exemplos do BMCP, porém, ressalta-se que a matriz de compatibilidade de cada uma delas, que define as separações mínimas de cores entre vértices adjacentes, não é dada diretamente. Ao invés disso, é dado um outro grafo, consistindo no *layout* da rede, de onde é determinada a distância entre cada par de vértices (que pode ser obtida por algoritmos como Floyd-Warshall) e a partir destas distâncias determina-se as separações de cores para o BMCP (Audhya et al., 2011).

Ao construir os modelos de cada instância a serem resolvidos, é necessário obter um limite superior U para limitar o conjunto de cores. Para isso, aplicou-se um algoritmo guloso baseado na regra de alocação exaustiva por frequência (FEA) de Sivarajan et al. (1989). De modo a ajudar o processamento dos resolvidores, a solução obtida foi repassada inteiramente aos métodos (consistindo em um ponto inicial do CP Optimizer e um *MIP start* para o CPLEX), ao invés de somente usá-la para o limite superior. Tal estratégia

é importante, em especial, para os modelos de programação inteira com CPLEX, uma vez que isso permite que o mesmo calcule um *gap* de otimalidade logo no início do processo de enumeração.

Os primeiros resultados apresentados são para o BCP (ou seja, com demandas unitárias de cores). A Tabela 4.1 mostra os resultados para as instâncias GEOM. Para verificação dos valores obtidos e comparação com soluções heurísticas da literatura, comparou-se os resultados com o *framework* heurístico Discropt de Phan e Skiena (2002) e a busca tabu iterada com reinícios múltiplos de Lai e Lü (2013). Para todas as instâncias esparsas (ou seja, as que não contém os sufixos “a” ou “b”), a implementação de programação por restrições foi capaz de obter todas as soluções ótimas. Porém, verificou-se que, em algumas instâncias, nenhum método (incluindo as estratégias exatas abordadas aqui) foi capaz de obter as soluções de Phan e Skiena (2002), o que também foi observado anteriormente por Lai e Lü (2013) na comparação com outras heurísticas. Isso indica um possível equívoco nos resultados apresentados por Phan e Skiena (2002), que foram destacados na Tabela 4.1

A Tabela 4.2 fornece os resultados obtidos para as instâncias do MS-CAP (Philadelphia, Helsinki e artificiais) sem as demandas de multicoloração (ou seja, considerando que cada vértice usa somente uma cor). Nota-se que, para cada matriz de compatibilidade C_{21}^i tal que i é ímpar ($i \in \{1, 3, 5, 7\}$), ao desconsiderar-se as demandas de múltiplas cores, as instâncias se tornam iguais, já que as únicas diferenças entre elas é a separação entre cores do mesmo vértice. O mesmo ocorre para os valores pares de i ($i \in \{2, 4, 6, 8\}$). Assim, na Tabela 4.2, os resultados foram agrupados para valores pares e ímpares de i . Novamente, a formulação de programação por restrições obteve resultados ótimos mais rapidamente, apesar de que os tempos de execução são muito pequenos devido ao tamanho de tais instâncias relaxadas.

Os próximos resultados apresentados são para o BMCP. Para instâncias deste problema, um limite inferior trivial L pode ser calculado como $L = \max[(d_{i,i} \times (w_i - 1)) + 1]$ (Chakraborty, 2001). Este valor foi inserido nos modelos adicionando-se uma restrição na qual exige-se que o valor da variável que representa a solução objetivo seja maior ou igual a L , o que permite que a enumeração seja finalizada mais rapidamente quando a solução ótima equivale ao limite inferior, em especial na programação por restrições. Isso também permite que a programação inteira forneça um *gap* de otimalidade mesmo quando o nó

Tabela 4.1: Resultados obtidos pelas formulações de programação inteira e por restrições aplicadas às instâncias GEOM para o BCP. Os valores sublinhados nas colunas "Melhor Obtido" indicam soluções ótimas.

| Instância | V | E | Phan e | Lai e Lü | Prog. por Restr. | | Programação Inteira | | | |
|-----------|-----|------|------------------|------------------|-----------------------------|-----------|---------------------|-----------|---------|-----------|
| | | | Skiena (2002) | (2013) | (CP Optimizer) | | (CPLEX - B&C) | | | |
| | | | Melhor Reportado | Melhor Reportado | Melhor Obtido | Tempo (s) | Melhor Obtido | Melhor LI | Gap (%) | Tempo (s) |
| GEOM20 | | 40 | <u>20*</u> | 21 | <u>21</u> | 0.00 | <u>21</u> | 21.000 | 0.00 | 0.33 |
| GEOM20a | 20 | 57 | 20 | 20 | <u>20</u> | 0.02 | <u>20</u> | 20.000 | 0.00 | 0.95 |
| GEOM20b | | 52 | 13 | 13 | <u>13</u> | 0.01 | <u>13</u> | 13.000 | 0.00 | 0.09 |
| GEOM30 | | 80 | <u>27*</u> | 28 | <u>28</u> | 0.05 | <u>28</u> | 28.000 | 0.00 | 0.88 |
| GEOM30a | 30 | 111 | 27 | 27 | <u>27</u> | 0.05 | <u>27</u> | 27.000 | 0.00 | 8.06 |
| GEOM30b | | 111 | 26 | 26 | <u>26</u> | 0.03 | <u>26</u> | 26.000 | 0.00 | 2.27 |
| GEOM40 | | 118 | <u>27*</u> | 28 | <u>28</u> | 0.05 | <u>28</u> | 28.000 | 0.00 | 1.97 |
| GEOM40a | 40 | 186 | 38 | 37 | <u>37</u> | 1.39 | <u>37</u> | 37.000 | 0.00 | 278.66 |
| GEOM40b | | 197 | 36 | 33 | <u>33</u> | 2.06 | <u>33</u> | 33.000 | 0.00 | 252.39 |
| GEOM50 | | 177 | 29 | 28 | <u>28</u> | 0.26 | <u>28</u> | 28.000 | 0.00 | 21.44 |
| GEOM50a | 50 | 288 | 54 | 50 | <u>50</u> | 374.42 | <u>50</u> | 50.000 | 0.00 | 3457.25 |
| GEOM50b | | 299 | 40 | 35 | <u>35</u> | 144.69 | <u>35</u> | 35.000 | 0.00 | 8494.52 |
| GEOM60 | | 245 | 34 | 33 | <u>33</u> | 1.12 | <u>33</u> | 33.000 | 0.00 | 45.73 |
| GEOM60a | 60 | 339 | 54 | 50 | <u>50</u> | 684.59 | <u>50</u> | 50.000 | 0.00 | 16755.65 |
| GEOM60b | | 426 | 47 | 41 | <u>41</u> | 22915.94 | <u>41</u> | 41.000 | 0.00 | 134996.77 |
| GEOM70 | | 337 | 40 | 38 | <u>38</u> | 2.39 | <u>38</u> | 38.000 | 0.00 | 533.53 |
| GEOM70a | 70 | 529 | 64 | 61 | <u>61</u> | 24798.03 | ≤ 62 | 38.000 | 38.71 | 172815.55 |
| GEOM70b | | 558 | 54 | 47 | <u>47</u> | 534.65 | ≤ 49 | 44.0000 | 10.20 | 172834.40 |
| GEOM80 | | 429 | 44 | 41 | <u>41</u> | 8.18 | <u>41</u> | 41.000 | 0.00 | 3019.18 |
| GEOM80a | 80 | 692 | 69 | 63 | <u>63</u> | 87770.77 | ≤ 65 | 39.0000 | 40.00 | 172803.55 |
| GEOM80b | | 743 | 70 | 60 | <u>60</u> | 54320.89 | ≤ 66 | 21.0000 | 68.18 | 172800.25 |
| GEOM90 | | 531 | 48 | 46 | <u>46</u> | 55.18 | <u>46</u> | 46.000 | 0.00 | 7768.62 |
| GEOM90a | 90 | 879 | 74 | 63 | <u>63</u> | 130050.12 | ≤ 72 | 7.000 | 90.28 | 173100.57 |
| GEOM90b | | 950 | 83 | 69 | ≤ 69 | 172800.00 | ≤ 85 | 2.1127 | 97.51 | 172802.83 |
| GEOM100 | | 647 | 55 | 50 | <u>50</u> | 545.79 | <u>50</u> | 50.0000 | 0.00 | 78836.94 |
| GEOM100a | 100 | 1092 | 84 | 67 | ≤ 70 | 172800.01 | ≤ 85 | 3.0863 | 96.37 | 172824.54 |
| GEOM100b | | 1150 | 87 | 72 | <u>≤ 71</u> | 172800.02 | ≤ 101 | 2.2271 | 97.75 | 172840.38 |
| GEOM110 | | 748 | 59 | 50 | <u>50</u> | 2982.24 | <u>50</u> | 50.0000 | 0.00 | 170043.88 |
| GEOM110a | 110 | 1317 | 88 | 72 | ≤ 73 | 172800.01 | ≤ 97 | 2.1963 | 97.70 | 172811.66 |
| GEOM110b | | 1366 | 87 | 78 | ≤ 79 | 172800.01 | ≤ 99 | 2.2208 | 97.76 | 172821.35 |
| GEOM120 | | 893 | 67 | 59 | <u>59</u> | 10778.18 | ≤ 60 | 24.0000 | 60.00 | 173296.11 |
| GEOM120a | 120 | 1554 | 101 | 82 | ≤ 84 | 172800.01 | $\leq 110^\dagger$ | 2.1039 | 98.09 | 173181.91 |
| GEOM120b | | 1611 | 103 | 84 | ≤ 85 | 172800.01 | $\leq 113^\dagger$ | 2.1245 | 98.12 | 173187.16 |

*Resultados inferiores ao ótimo obtido - possível equívoco no trabalho correspondente.

†Nenhuma solução encontrada pelo *branch-and-cut*, mas o CPLEX retornou a solução gulosa inicial.

Tabela 4.2: Resultados obtidos pelas formulações de programação inteira e por restrições aplicadas às instâncias do MS-CAP (Philadelphia, Helsinki e artificiais) sem demandas de multicoloração. Como a programação inteira obteve todas as soluções ótimas, a coluna de Melhor LI foi omitida.

| Mat. de Compat. | V | E | Prog. por Restr. (CP Optimizer) | | Prog. Inteira (CPLEX - B&C) | |
|---|----|-----|------------------------------------|--------------|--------------------------------|--------------|
| | | | Melhor Obtido | Tempo (s) | Melhor Obtido | Tempo (s) |
| $C_{21}^1, C_{21}^3, C_{21}^5$ and C_{21}^7 | 21 | 102 | <u>7</u> | 0.40 | <u>7</u> | 0.87 |
| $C_{21}^2, C_{21}^4, C_{21}^6$ and C_{21}^8 | | | <u>9</u> | 0.06 | <u>9</u> | 2.66 |
| C_{25}^1 | 25 | 134 | <u>8</u> | 4.71 | <u>8</u> | 1.90 |
| C_{55}^1 | 55 | 362 | <u>7</u> | 0.79 | <u>7</u> | 30.63 |

raiz do *branch-and-cut* usa muito tempo de CPU até mesmo na relaxação linear.

A Tabela 4.3 fornece os resultados obtidos para as instâncias GEOM, agora considerando demandas de multicoloração. Os resultados obtidos para tais instâncias foram verificados e comparados com a busca tabu iterada com reinícios múltiplos de Lai e Lü (2013), na qual o algoritmo para o BCP é aplicado no BMCP expandindo-se os vértices do grafo em cliques, como já descrito no Capítulo 2. Já a Tabela 4.4 apresenta os resultados obtidos para as instâncias do MS-CAP (Philadelphia, Helsinki e artificiais) em suas formas originais (ou seja, incluindo multicoloração), que foram comparados com a heurística construtiva de Chakraborty (2001), o algoritmo de busca local de Kendall e Mohamad (2005) e o algoritmo memético de Kim et al. (2007).

No BMCP, a relação de eficiência entre programação inteira e por restrições é praticamente invertida em relação ao BCP: a maior parte das instâncias é resolvida a otimalidade mais rapidamente utilizando programação inteira que por restrições. Com isso, foi possível obter soluções ótimas para todas as instâncias do MS-CAP usando o modelo de programação inteira. Isso ocorre porque, como discutido anteriormente, tal modelo é capaz de considerar demandas de multicoloração sem aumentar a quantidade de vértices, sendo necessário apenas alterar as restrições que indicam quantas cores um vértice deve receber e adicionar um outro conjunto de restrições que trata da separação de cores atribuídas ao mesmo vértice, sendo que tal conjunto tem tamanho linear em relação ao número de vértices. Em contrapartida, o modelo de programação por restrições acaba crescendo mais rapidamente, uma vez que a quantidade de variáveis e de restrições aumenta a cada cor adicional necessária, tornando o modelo pseudopolinomial. A Figura 4.1 mostra graficamente esta diferença de eficiência entre os métodos tendo como base as instâncias GEOM.

Tabela 4.3: Resultados obtidos pelas formulações de programação inteira e por restrições aplicadas às instâncias GEOM para o BMCP. Os valores sublinhados nas colunas "Melhor Obtido" indicam soluções ótimas.

| Instância | V | E | LI Trivial | Lai e Lü (2013) | Prog. por Restr. (CP Optimizer) | | Programação Inteira (CPLEX - B&C) | | | |
|-----------|-----|------|---------------|---------------------|------------------------------------|--------------|--------------------------------------|--------------|------------|--------------|
| | | | | Melhor Reportado | Melhor Obtido | Tempo (s) | Melhor Obtido | Melhor LI | Gap (%) | Tempo (s) |
| GEOM20 | | 40 | 91 | 149 | ≤ 149 | 172800.01 | <u>149</u> | 149.0000 | 0.00 | 15.17 |
| GEOM20a | 20 | 57 | 91 | 169 | ≤ 169 | 172800.01 | <u>169</u> | 169.0000 | 0.00 | 18.49 |
| GEOM20b | | 52 | 21 | 44 | <u>44</u> | 476.92 | <u>44</u> | 44.0000 | 0.00 | 1.58 |
| GEOM30 | | 80 | 91 | 160 | ≤ 160 | 172800.01 | ≤ 160 | 159.0000 | 0.62 | 172830.72 |
| GEOM30a | 30 | 111 | 91 | 209 | ≤ 215 | 172800.01 | ≤ 211 | 189.0000 | 10.43 | 172813.47 |
| GEOM30b | | 111 | 21 | 77 | ≤ 77 | 172800.00 | <u>77</u> | 77.0000 | 0.00 | 41.87 |
| GEOM40 | | 118 | 91 | 167 | ≤ 168 | 172800.01 | <u>167</u> | 167.0000 | 0.00 | 1192.28 |
| GEOM40a | 40 | 186 | 91 | 213 | ≤ 225 | 172800.01 | <u>213</u> | 213.0000 | 0.00 | 111262.08 |
| GEOM40b | | 197 | 21 | 74 | ≤ 74 | 172800.00 | <u>74</u> | 74.0000 | 0.00 | 17027.77 |
| GEOM50 | | 177 | 91 | 224 | ≤ 226 | 172800.02 | <u>224</u> | 224.0000 | 0.00 | 52450.85 |
| GEOM50a | 50 | 288 | 91 | 314 | ≤ 332 | 172800.03 | ≤ 361 | 95.5218 | 73.54 | 172820.13 |
| GEOM50b | | 299 | 21 | 83 | ≤ 85 | 172800.00 | ≤ 87 | 52.0000 | 40.23 | 172819.47 |
| GEOM60 | | 245 | 91 | 258 | ≤ 259 | 172800.02 | <u>258</u> | 258.0000 | 0.00 | 156987.80 |
| GEOM60a | 60 | 339 | 91 | 356 | ≤ 380 | 172800.03 | ≤ 448 | 93.5801 | 78.93 | 172813.01 |
| GEOM60b | | 426 | 21 | 113 | ≤ 117 | 172800.01 | ≤ 125 | 34.0000 | 72.80 | 172897.07 |
| GEOM70 | | 337 | 91 | 270 | ≤ 284 | 172800.03 | ≤ 305 | 94.2092 | 69.11 | 172804.56 |
| GEOM70a | 70 | 529 | 91 | 467 | ≤ 483 | 172800.05 | ≤ 578 | 91.0000 | 84.26 | 172839.51 |
| GEOM70b | | 558 | 21 | 116 | ≤ 123 | 172800.01 | ≤ 134 | 22.7359 | 83.03 | 172805.88 |
| GEOM80 | | 429 | 91 | 381 | ≤ 395 | 172800.04 | ≤ 511 | 95.2644 | 80.19 | 172809.70 |
| GEOM80a | 80 | 692 | 91 | 361 | ≤ 382 | 172800.05 | ≤ 479 | 91.0000 | 81.00 | 172885.02 |
| GEOM80b | | 743 | 21 | 139 | ≤ 145 | 172800.01 | ≤ 170 | 23.0547 | 86.44 | 172820.56 |
| GEOM90 | | 531 | 91 | 330 | ≤ 342 | 172800.05 | ≤ 423 | 93.2736 | 77.73 | 172811.82 |
| GEOM90a | 90 | 879 | 91 | 375 | ≤ 392 | 172800.07 | ≤ 452 | 91.0000 | 79.87 | 172830.60 |
| GEOM90b | | 950 | 21 | 144 | ≤ 156 | 172800.01 | ≤ 212 | 22.2574 | 89.50 | 172844.07 |
| GEOM100 | | 647 | 91 | 404 | ≤ 426 | 172800.07 | ≤ 493 | 94.2797 | 80.88 | 173190.69 |
| GEOM100a | 100 | 1092 | 91 | 442 | ≤ 465 | 172800.08 | ≤ 596 | 91.0000 | 84.73 | 172871.84 |
| GEOM100b | | 1150 | 21 | 156 | ≤ 169 | 172800.02 | ≤ 220 | 21.0000 | 90.45 | 172810.33 |
| GEOM110 | | 748 | 91 | 381 | ≤ 399 | 172800.07 | ≤ 500 | 91.0000 | 81.80 | 172840.98 |
| GEOM110a | 110 | 1317 | 91 | 488 | ≤ 527 | 172800.10 | ≤ 610 | 91.0000 | 85.08 | 173095.42 |
| GEOM110b | | 1366 | 21 | 204 | ≤ 207 | 172800.01 | ≤ 250 | 22.0001 | 91.20 | 172835.82 |
| GEOM120 | | 893 | 91 | 396 | ≤ 427 | 172800.06 | ≤ 505 | 93.9762 | 81.39 | 172923.18 |
| GEOM120a | 120 | 1554 | 91 | 554 | ≤ 585 | 172800.16 | ≤ 641 | 91.0000 | 85.80 | 173312.14 |
| GEOM120b | | 1611 | 21 | 189 | ≤ 202 | 172800.01 | ≤ 247 | 21.8723 | 91.14 | 172852.82 |

Apesar de a programação inteira tender a ser mais eficiente para o BMCP, há uma vantagem do modelo de programação por restrições: quando não é possível obter a solução ótima no tempo limite por nenhum dos dois métodos, a solução retornada pela programação por restrições tem qualidade melhor que a achada pela programação inteira (ou seja, a maior cor usada é menor). Isso ocorre porque a programação por restrições tem informações explícitas sobre quais cores cada vértice pode assumir, ao invés de calcular as mesmas como ocorre na outra abordagem de programação inteira.

Tabela 4.4: Resultados obtidos pelas formulações de programação inteira e por restrições aplicadas às instâncias do MS-CAP (Philadelphia, Helsinki e artificiais) com multicoloração. Como a programação inteira obteve todas as soluções ótimas, a coluna de Melhor LI foi omitida.

| Mat. de Compat. | Vet. Dem. | V | E | LI | Chakraborty (2001) | Kendall e Mohamad (2005) | Kim et al. (2007) | Prog. por Restr. (CP Optimizer) | | Prog. Inteira (CPLEX - B&C) | |
|-----------------|------------|----|-----|-----|--------------------|--------------------------|-------------------|---------------------------------|-----------|-----------------------------|-----------|
| | | | | | Melhor Reportado | Melhor Reportado | Melhor Reportado | Melhor Obtido | Tempo (s) | Melhor Obtido | Tempo (s) |
| C_{21}^1 | D_{21}^1 | | | 533 | 533 | 533 | 533 | <u>533</u> | 4.20 | <u>533</u> | 0.50 |
| C_{21}^1 | D_{21}^2 | | | 309 | 309 | 309 | 309 | <u>309</u> | 1.34 | <u>309</u> | 1.22 |
| C_{21}^2 | D_{21}^1 | | | 533 | 533 | 533 | 533 | <u>533</u> | 10.53 | <u>533</u> | 308.04 |
| C_{21}^2 | D_{21}^2 | | | 309 | 309 | 309 | 309 | <u>309</u> | 625.93 | <u>309</u> | 165.54 |
| C_{21}^3 | D_{21}^1 | | | 457 | 457 | 457 | – | <u>457</u> | 3.96 | <u>457</u> | 0.39 |
| C_{21}^3 | D_{21}^2 | | | 265 | 265 | 265 | – | <u>265</u> | 3.54 | <u>265</u> | 1.52 |
| C_{21}^4 | D_{21}^1 | | | 457 | 457 | 457 | – | <u>457</u> | 41.24 | <u>457</u> | 202.01 |
| C_{21}^4 | D_{21}^2 | 21 | 102 | 265 | 265 | 265 | – | ≤ 266 | 172800.06 | <u>265</u> | 214.01 |
| C_{21}^5 | D_{21}^1 | | | 381 | 381 | 381 | 381 | <u>381</u> | 3.23 | <u>381</u> | 0.29 |
| C_{21}^5 | D_{21}^2 | | | 221 | 221 | 221 | 221 | <u>221</u> | 100.81 | <u>221</u> | 5.09 |
| C_{21}^6 | D_{21}^1 | | | 381 | 463 | 435 | 427 | ≤ 449 | 172800.08 | <u>427</u> | 6827.49 |
| C_{21}^6 | D_{21}^2 | | | 221 | 273 | 268 | 253 | ≤ 266 | 172800.04 | <u>253</u> | 2026.67 |
| C_{21}^7 | D_{21}^1 | | | 305 | 305 | 305 | – | <u>305</u> | 12.85 | <u>305</u> | 1.10 |
| C_{21}^7 | D_{21}^2 | | | 177 | 197 | 185 | – | ≤ 180 | 172800.06 | <u>180</u> | 24.54 |
| C_{21}^8 | D_{21}^1 | | | 305 | 465 | 444 | – | ≤ 435 | 172800.07 | <u>427</u> | 1185.27 |
| C_{21}^8 | D_{21}^2 | | | 177 | 278 | 271 | – | ≤ 267 | 172800.06 | <u>253</u> | 1116.45 |
| C_{25}^1 | D_{25}^3 | 25 | 134 | 21 | 73 | 73 | – | ≤ 73 | 172800.00 | <u>73</u> | 1.10 |
| C_{25}^1 | D_{25}^4 | | | 89 | 121* | 200 | – | ≤ 200 | 172800.07 | <u>200</u> | 2.18 |
| C_{55}^1 | D_{55}^5 | 55 | 362 | 309 | 309 | 309 | – | <u>309</u> | 11078.95 | <u>309</u> | 460.12 |
| C_{55}^1 | D_{55}^6 | | | 71 | 79 | 72 | – | <u>71</u> | 6.33 | <u>71</u> | 28.56 |

*Resultados inferiores ao ótimo obtido - possível equívoco no trabalho correspondente.

De maneira similar ao que ocorreu nos testes para o BCP, também detectou-se um possível equívoco nos resultados reportados por Chakraborty (2001), onde o autor fornece um resultado heurístico para a instância composta pela matriz de compatibilidade C_{25}^1 e vetor de demandas de cores D_{25}^4 melhor (com valor de função objetivo 121) que as soluções exatas obtidas (com valor de função objetivo 200). Nenhum outro resultado da literatura foi capaz de obter soluções com função objetivo melhor que 200.

Com a finalidade de tentar identificar padrões no funcionamento dos algoritmos de resolução de acordo com as instâncias usadas, para cada uma destas, foi determinada a quantidade de ramificações (*branches*) e falhas (caminhos que não atingem solução factível) na enumeração da programação por restrições, bem como o número de cortes gerados de cada tipo pelo *branch-and-cut* usado no modelo de programação inteira. Tais valores são fornecidos nas Tabelas 4.5 e 4.6 para o BCP, e nas Tabelas 4.7 e 4.8 para o BMCP. Não foi possível encontrar uma correlação clara entre cada tipo e tamanho de instância e estes dados, o que indica que tais partes dos algoritmos são mais sensíveis aos valores das separações mínimas necessárias entre cores e às demandas exigidas nas

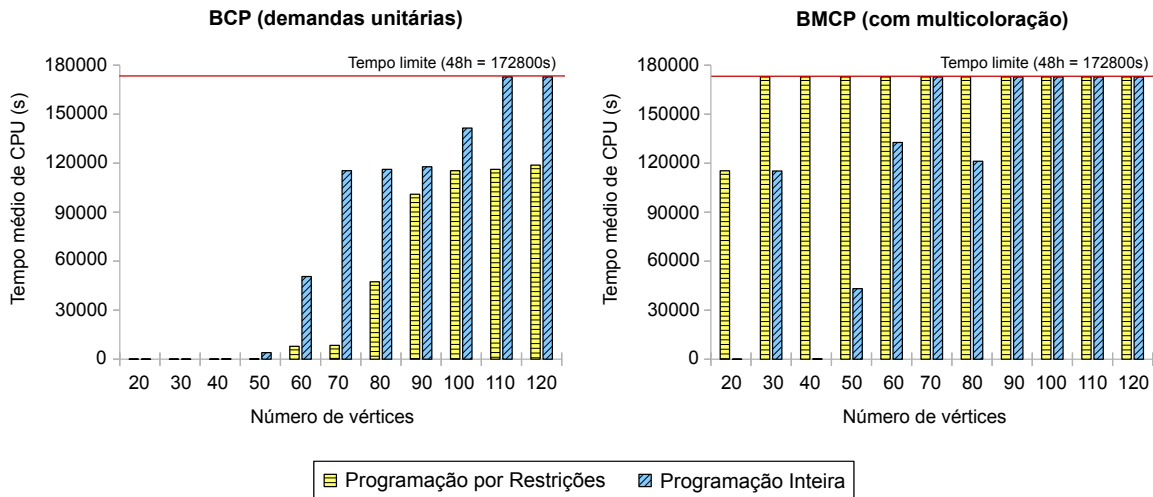


Figura 4.1: Número de vértices \times tempo de CPU necessário para encontrar a solução ótima (até o tempo limite) para cada método nas instâncias GEOM.

instâncias. Conjectura-se que o formato do grafo de entrada também tem impacto na enumeração, uma vez que certas desigualdades válidas, como cortes clique (Méndez-Díaz e Zabala, 2006), são derivadas de acordo com o grafo a ser colorido. Tal característica pôde ser observada no modelo baseado em orientação proposto nesta tese, como será visto mais adiante.

4.4 Notas do capítulo

Com a finalidade de obter soluções exatas para instâncias do BCP e do BMCP, foram implementadas formulações de programação inteira e por restrições no resolvidor CPLEX. As soluções obtidas foram comparadas com resultados da literatura, de modo a verificar a otimalidade das mesmas. A principal motivação para isso foi a falta de trabalhos na literatura envolvendo resultados obtidos a partir de abordagens exatas para o BCP e BMCP.

Os resultados obtidos permitiram provar a otimalidade de diversas soluções, além de encontrar um novo limite superior para uma das instâncias usadas. Também foi possível identificar algumas inconsistências em resultados reportados na literatura, onde valores heurísticos forneceram limites superiores abaixo da solução ótima, o que é uma contradição.

Uma comparação entre as modelagens de programação inteira e por restrições utilizadas mostrou que não há um método absolutamente melhor para todos os casos. Devido

Tabela 4.5: Número de ramificações e falhas (para programação por restrições) e de desigualdades válidas geradas de cada tipo (para programação inteira) para o BCP com as instâncias GEOM (demandas unitárias).

| Instância | V | Prog. por Restr. (CP Optimizer) | | | Prog. Inteira (CPLEX) | | | |
|-----------|-----|---------------------------------|------------|-----------------|------------------------|-----------------------|--------------------|-----------------|
| | | # Ramificações | # Falhas | # Cortes Clique | # Cortes Implied Bound | # Cortes MIP Rounding | # Cortes Zero-Half | # Cortes Gomory |
| GEOM20 | | 972 | 462 | 9 | 15 | 0 | 8 | 10 |
| GEOM20a | 20 | 4667 | 2298 | 3 | 27 | 0 | 2 | 9 |
| GEOM20b | | 2224 | 1096 | 14 | 7 | 0 | 5 | 0 |
| GEOM30 | | 10102 | 4782 | 13 | 62 | 0 | 4 | 31 |
| GEOM30a | 30 | 9024 | 4353 | 25 | 473 | 0 | 20 | 60 |
| GEOM30b | | 6651 | 3210 | 9 | 194 | 0 | 11 | 49 |
| GEOM40 | | 9965 | 4699 | 13 | 130 | 0 | 3 | 56 |
| GEOM40a | 40 | 206960 | 98635 | 43 | 4 | 117 | 3 | 1 |
| GEOM40b | | 275519 | 131721 | 14 | 543 | 0 | 30 | 15 |
| GEOM50 | | 57869 | 27159 | 27 | 0 | 0 | 9 | 0 |
| GEOM50a | 50 | 40966958 | 19591854 | 227 | 13 | 138 | 12 | 0 |
| GEOM50b | | 14438962 | 6973218 | 564 | 3 | 6 | 18 | 0 |
| GEOM60 | | 178478 | 82471 | 63 | 0 | 0 | 0 | 2 |
| GEOM60a | 60 | 59350249 | 28292260 | 241 | 19 | 182 | 28 | 24 |
| GEOM60b | | 1700740733 | 807817043 | 1691 | 25 | 176 | 23 | 0 |
| GEOM70 | | 320560 | 148877 | 128 | 0 | 12 | 3 | 1 |
| GEOM70a | 70 | 1662200599 | 781294815 | 881 | 6 | 192 | 20 | 0 |
| GEOM70b | | 301138496 | 143985463 | 1171 | 21 | 226 | 46 | 5 |
| GEOM80 | | 2173324 | 1008986 | 372 | 5 | 131 | 19 | 0 |
| GEOM80a | 80 | 8859155916 | 4149659761 | 761 | 30 | 389 | 85 | 5 |
| GEOM80b | | 3687195162 | 1739030200 | 480 | 29 | 303 | 138 | 0 |
| GEOM90 | | 3841482 | 1748958 | 471 | 2 | 223 | 31 | 9 |
| GEOM90a | 90 | 8424930433 | 3953124503 | 143 | 3 | 411 | 349 | 0 |
| GEOM90b | | 6454145085 | 3036820947 | 317 | 11 | 417 | 93 | 0 |
| GEOM100 | | 33141115 | 15198269 | 702 | 11 | 221 | 54 | 27 |
| GEOM100a | 100 | 6622094014 | 3084753118 | 330 | 2 | 1367 | 2162 | 245 |
| GEOM100b | | 5409742123 | 2511274478 | 130 | 301 | 0 | 567 | 136 |
| GEOM110 | | 12496119255 | 5760860721 | 426 | 16 | 320 | 54 | 2 |
| GEOM110a | 110 | 5930484572 | 2724545532 | 151 | 501 | 0 | 619 | 79 |
| GEOM110b | | 4177753606 | 1922426902 | 118 | 754 | 0 | 460 | 0 |
| GEOM120 | | 637959908 | 289378147 | 1015 | 19 | 357 | 128 | 8 |
| GEOM120a | 120 | 5560296354 | 2542244856 | 172 | 782 | 0 | 678 | 0 |
| GEOM120b | | 4003420813 | 1841115383 | 273 | 1258 | 0 | 959 | 0 |

a características dos problemas, a programação por restrições é melhor para o BCP, enquanto a programação inteira tem vantagem para o BMCP.

No Capítulo a seguir, serão mostradas novas formulações de programação inteira propostas nesta tese.

Tabela 4.6: Número de ramificações e falhas (para programação por restrições) e de desigualdades válidas geradas de cada tipo (para programação inteira) para o BCP com as instâncias do MS-CAP (Philadelphia, Helsinki e artificiais) e demandas unitárias.

| Instância | V | Prog. por Restr. (CP Optimizer) | | Prog. Inteira (CPLEX) | | | | |
|---|----|---------------------------------|----------|-----------------------|------------------------|-----------------------|--------------------|-----------------|
| | | # Ramificações | # Falhas | # Cortes Clique | # Cortes Implied Bound | # Cortes MIP Rounding | # Cortes Zero-Half | # Cortes Gomory |
| $C_{21}^1, C_{21}^3, C_{21}^5$ and C_{21}^7 | 21 | 49177 | 24602 | 3 | 5 | 0 | 9 | 0 |
| $C_{21}^2, C_{21}^4, C_{21}^6$ and C_{21}^8 | | 6033 | 2970 | 5 | 5 | 0 | 58 | 3 |
| C_{25}^1 | 25 | 176565 | 87496 | 0 | 0 | 0 | 0 | 0 |
| C_{55}^1 | 55 | 49096 | 24214 | 0 | 0 | 0 | 0 | 0 |

Tabela 4.7: Número de ramificações e falhas (para programação por restrições) e de desigualdades válidas geradas de cada tipo (para programação inteira) para o BMCP com as instâncias GEOM (multicoloração).

| Instância | V | Prog. por Restr. (CP Optimizer) | | Prog. Inteira (CPLEX) | | | | |
|-----------|-----|---------------------------------|------------|-----------------------|------------------------|-----------------------|--------------------|-----------------|
| | | # Ramificações | # Falhas | # Cortes Clique | # Cortes Implied Bound | # Cortes MIP Rounding | # Cortes Zero-Half | # Cortes Gomory |
| GEOM20 | 20 | 1847656377 | 823996186 | 26 | 33 | 0 | 22 | 0 |
| GEOM20a | | 2060224899 | 926128135 | 35 | 378 | 0 | 92 | 91 |
| GEOM20b | | 23433594 | 11236673 | 19 | 28 | 0 | 47 | 49 |
| GEOM30 | 30 | 1594445634 | 702092983 | 345 | 1 | 7 | 29 | 0 |
| GEOM30a | | 778845728 | 343378790 | 1234 | 6 | 189 | 3 | 0 |
| GEOM30b | | 4336696005 | 2043720645 | 23 | 96 | 0 | 17 | 53 |
| GEOM40 | 40 | 1101215203 | 477955956 | 186 | 287 | 0 | 158 | 0 |
| GEOM40a | | 853750393 | 376905743 | 131 | 7 | 322 | 4 | 0 |
| GEOM40b | | 2915214186 | 1378502269 | 361 | 1 | 4 | 2 | 0 |
| GEOM50 | 50 | 858223844 | 366277155 | 575 | 0 | 79 | 31 | 0 |
| GEOM50a | | 373860395 | 159472193 | 183 | 446 | 0 | 235 | 4 |
| GEOM50b | | 2205618883 | 1031493835 | 1498 | 2 | 295 | 7 | 0 |
| GEOM60 | 60 | 884613825 | 374341633 | 468 | 1 | 34 | 38 | 0 |
| GEOM60a | | 327100218 | 135221648 | 1109 | 335 | 0 | 1213 | 0 |
| GEOM60b | | 1625337918 | 741993923 | 143 | 3 | 456 | 7 | 0 |
| GEOM70 | 70 | 480579106 | 200225715 | 497 | 1363 | 0 | 275 | 0 |
| GEOM70a | | 178618063 | 71625162 | 0 | 0 | 0 | 0 | 0 |
| GEOM70b | | 1153010252 | 520892432 | 133 | 2 | 645 | 165 | 29 |
| GEOM80 | 80 | 491579072 | 131225337 | 786 | 1842 | 0 | 1343 | 85 |
| GEOM80a | | 206713326 | 84260206 | 0 | 0 | 0 | 0 | 0 |
| GEOM80b | | 972753631 | 434139515 | 328 | 1065 | 0 | 690 | 97 |
| GEOM90 | 90 | 289804704 | 110251804 | 1321 | 0 | 0 | 1894 | 0 |
| GEOM90a | | 203904382 | 82252836 | 0 | 0 | 0 | 0 | 0 |
| GEOM90b | | 677312582 | 300211365 | 344 | 481 | 0 | 877 | 0 |
| GEOM100 | 100 | 219953270 | 80390988 | 0 | 0 | 0 | 0 | 0 |
| GEOM100a | | 134018202 | 52245146 | 0 | 0 | 0 | 0 | 0 |
| GEOM100b | | 511570190 | 224573165 | 0 | 0 | 0 | 0 | 0 |
| GEOM110 | 110 | 170668054 | 64299043 | 0 | 0 | 0 | 0 | 0 |
| GEOM110a | | 113908674 | 41331333 | 0 | 0 | 0 | 0 | 0 |
| GEOM110b | | 409339582 | 177985395 | 0 | 0 | 0 | 0 | 0 |
| GEOM120 | 120 | 207980564 | 81060477 | 0 | 0 | 0 | 0 | 0 |
| GEOM120a | | 82058712 | 30432596 | 0 | 0 | 0 | 0 | 0 |
| GEOM120b | | 386743755 | 164997551 | 0 | 0 | 0 | 0 | 0 |

Tabela 4.8: Número de ramificações e falhas (para programação por restrições) e de desigualdades válidas geradas de cada tipo (para programação inteira) para o BMCP com as instâncias do MS-CAP (Philadelphia, Helsinki e artificiais) e multicoloração.

| Matr. de Compat. | Vet. Dem. | V | Const. Prog. (CP Optimizer) | | Integer Progr. (CPLEX) | | | | | |
|---------------------|--------------|----|-----------------------------|------------|------------------------|--------------------------------------|-------------------------------------|------------------------------|--------------------|-----|
| | | | # Ramificações | # Falhas | # Cortes Clique | # Cortes <i>Implied Bound</i> | # Cortes <i>MIP Rounding</i> | # Cortes <i>Zero-Half</i> | # Cortes Gomory | |
| C_{21}^1 | D_{21}^1 | 21 | 2555 | 504 | 0 | 0 | 0 | 0 | 0 | |
| C_{21}^1 | D_{21}^2 | | 469 | 4 | 0 | 0 | 0 | 0 | 0 | |
| C_{21}^2 | D_{21}^1 | | 6610 | 1505 | 0 | 0 | 0 | 0 | 0 | |
| C_{21}^2 | D_{21}^2 | | 822377 | 309790 | 0 | 0 | 0 | 0 | 0 | |
| C_{21}^3 | D_{21}^1 | | 2451 | 504 | 0 | 0 | 0 | 0 | 0 | |
| C_{21}^3 | D_{21}^2 | | 2874 | 505 | 0 | 0 | 0 | 0 | 0 | |
| C_{21}^4 | D_{21}^1 | | 20982 | 5811 | 0 | 0 | 0 | 0 | 0 | |
| C_{21}^4 | D_{21}^2 | | 44845827 | 17108454 | 0 | 0 | 0 | 0 | 0 | |
| C_{21}^5 | D_{21}^1 | | 2305 | 504 | 0 | 0 | 0 | 0 | 0 | |
| C_{21}^5 | D_{21}^2 | | 158368 | 50239 | 0 | 0 | 0 | 0 | 0 | |
| C_{21}^6 | D_{21}^1 | | 180812651 | 65917318 | 160 | 4 | 210 | 116 | 0 | |
| C_{21}^6 | D_{21}^2 | | 347622756 | 121153772 | 170 | 1 | 37 | 159 | 0 | |
| C_{21}^7 | D_{21}^1 | | 4106 | 505 | 0 | 0 | 0 | 0 | 0 | |
| C_{21}^7 | D_{21}^2 | | 352244757 | 132070514 | 4 | 0 | 0 | 8 | 35 | |
| C_{21}^8 | D_{21}^1 | | 199948906 | 75399919 | 163 | 1 | 379 | 224 | 0 | |
| C_{21}^8 | D_{21}^2 | | 451729822 | 146753868 | 225 | 204 | 0 | 190 | 0 | |
| C_{25}^1 | D_{25}^3 | | 25 | 2435656356 | 1064961796 | 2 | 134 | 0 | 81 | 143 |
| C_{25}^1 | D_{25}^4 | | | 374343491 | 115700707 | 0 | 0 | 0 | 0 | 0 |
| C_{55}^1 | D_{55}^5 | 55 | 7809104 | 2371461 | 0 | 0 | 0 | 0 | 0 | |
| C_{55}^1 | D_{55}^6 | | 27897 | 9552 | 0 | 0 | 0 | 0 | 0 | |

Capítulo 5

Formulações de PI e contribuições em combinatória poliédrica

Neste capítulo, serão apresentados dois modelos de programação inteira desenvolvidos nesta pesquisa, sendo um, baseado em orientação, para o BCP e outro, baseado em distâncias, específico para a coloração clássica, mas derivado do anterior. Tais formulações são derivadas de características observadas nos modelos de colorações com distâncias. Ressalta-se que o modelo baseado em orientação é o primeiro para o BCP com tamanho polinomial, como será discorrido no capítulo.

Para cada formulação, são apresentadas contribuições em combinatória poliédrica, de modo que são mostradas condições para que a dimensão do poliedro correspondente seja plena, bem como duas famílias de desigualdades válidas, com condições para que as mesmas sejam indutoras de facetas. Além disso, um método *cut-and-branch* foi desenvolvido com o modelo baseado em orientação, para o qual são apresentados resultados de experimentos computacionais, bem como uma comparação empírica do método e do modelo com o padrão da literatura.

5.1 Modelo baseado em orientação

Como visto anteriormente no Capítulo 2, os modelos de programação inteira disponíveis na literatura para o BCP consistem em variações da formulação padrão para a coloração clássica, onde as restrições são alteradas de modo a acomodar as separações mínimas entre cores de vértices adjacentes. Como tais modelos têm dimensão pseudopolinomial,

torna-se interessante a busca por formas de escrever o problema com programação inteira que levem a formulações com melhores dimensões.

Borndörfer et al. (1998) propuseram um modelo baseado em orientação para o problema de alocação de canais de mínima interferência (*Minimum Interference Channel Assignment Problem* - MI-CAP), que é conceitualmente similar ao MS-CAP, porém, o espectro eletromagnético (ou seja, o conjunto de cores) é fixo e fornecido na instância, e as soluções podem violar as separações mínimas, levando a interferências (ao contrário do BCP e MS-CAP, onde o conjunto de cores que leve à soluções sem violações pode ser determinado por meio de heurísticas). Assim, o objetivo do MI-CAP é encontrar a alocação de canais com menor quantidade de interferências. Uma variação desta formulação foi proposta por Delle-Donne (2016), onde o objetivo é minimizar a interferência geradas entre canais (ou seja, cores) adjacentes, isto é, quando dois vértices i e j usam cores k e m tais que $|k - m| = 1$.

Com base nas formulações de Borndörfer et al. (1998) e de Delle-Donne (2016), desenvolveu-se um novo modelo de programação inteira para o BCP, podendo também ser usado em coloração clássica. São usados dois conjuntos de variáveis: o primeiro define uma variável x_i para todo vértice $i \in V$, que indica a cor utilizada pelo mesmo. O segundo conjunto consiste nas variáveis binárias:

- $y_{ij} = \begin{cases} 1 & \text{se } x_i < x_j; \\ 0 & \text{caso contrário.} \end{cases}$
- z_{max} : maior cor usada na solução.

Desse modo, tem-se o seguinte modelo baseado em orientação para o BCP:

$$\text{Minimizar } z_{max} \quad (5.1)$$

$$\text{Sujeito a } x_i + d(i, j) \leq x_j + s(1 - y_{ij}) \quad \forall (i, j) \in E, i < j \quad (5.2)$$

$$x_j + d(i, j) \leq x_i + sy_{ij} \quad \forall (i, j) \in E, i < j \quad (5.3)$$

$$z_{max} \geq x_i \quad \forall i \in V \quad (5.4)$$

$$x_i \in \mathbb{Z} \quad \forall i \in V \quad (5.5)$$

$$x_i \geq 1 \quad \forall i \in V \quad (5.6)$$

$$y_{ij} \in \{0, 1\} \quad \forall (i, j) \in E, i < j \quad (5.7)$$

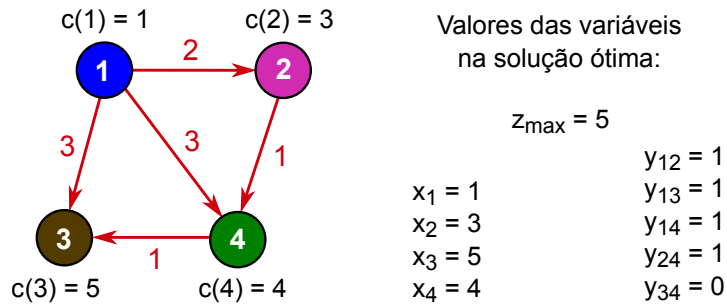


Figura 5.1: Exemplo de instância do BCP cuja solução é codificada de acordo com o modelo baseado em orientação. No grafo, também é mostrada a orientação induzida.

A Figura 5.1 mostra um exemplo de instância resolvida pelo modelo e a orientação gerada no grafo de entrada. Na formulação, s é uma constante suficientemente grande. A função objetivo consiste na minimização da variável contendo o valor da maior cor usada. As restrições (5.2) e (5.3) correspondem à separação mínima de cores entre vértices adjacentes e induzem à orientação do grafo de entrada. Assim, o conjunto (5.2) garante que $y_{ij} = 1$ se $x_i < x_j$ para toda aresta $(i, j) \in E$. Por outro lado, se $x_j < x_i$, então as restrições (5.3) fazem com que $y_{ij} = 0$. Ambas as restrições também garantem que $|x_i - x_j| \geq d(i, j)$. O conjunto de restrições (5.4) impõe que z_{\max} tenha um valor maior ou igual a todas as cores usadas na solução. Por fim, as restrições (5.5) a (5.7) definem tipos e limites das variáveis.

O modelo baseado em orientação tem $O(|V| + |E|)$ variáveis e $O(|V| + |E|)$ restrições, tendo tamanho linear em relação ao grafo de entrada, independentemente dos valores das distâncias impostas nas arestas. Como já dito, a constante s , que é baseada no método de *big-M* para modelagem em programação linear, deve ter um valor suficientemente grande, de modo que s seja maior ou igual ao valor (ainda desconhecido) de $\chi(G, d)$ (que é o valor da maior cor usada na solução ótima de uma instância dada pelo grafo G e função de distâncias d). Desse modo, s deve ser um limite superior, que pode ser obtido por heurísticas primais simples. Apesar da possibilidade de um valor muito alto para s criar instabilidades numéricas, é possível definir limites inferiores para a constante a partir dos quais diversas características podem ser observadas, como visto a seguir.

Seja $PO(G, d, s)$ o fecho convexo de soluções válidas do modelo baseado em orientação, ou seja, dos pontos $(x, y, z_{\max}) \in \mathbb{R}^{|V|+|E|+1}$ que satisfazem as restrições (5.2) a (5.7) (Marengo, 2005). Além disso, seja $d_{\max} = \max_{(i,j) \in E} d(i, j)$. Desse modo, tem-se o seguinte resultado:

Teorema 5.1. *Se $s \geq \chi(G, d) + 2d_{max}$, então $PO(G, d, s)$ tem dimensão plena.*

Prova. Para demonstrar tal propriedade, deve-se provar que, se $\lambda_x^T x + \lambda_y^T y = \lambda_0$ para todo $(x, y) \in PO(G, d, s)$ (onde $\lambda_x \in \mathbb{R}^{|V|}$, $\lambda_y \in \mathbb{R}^{|E|}$ e $\lambda_0 \in \mathbb{R}$), ou seja, $\sum_{i \in V} \lambda_{x_i} x_i + \sum_{(i,j) \in E} \lambda_{y_{ij}} y_{ij} = \lambda_0$, então $\lambda_x = 0$ e $\lambda_y = 0$. O restante da prova será dividido em duas partes.

Para a primeira parte, seja $(x, y) \in PO(G, d, s) \cap \mathbb{R}^{|V|+|E|}$ uma solução na qual $x_i \in [1, s - 1]$ para todo $i \in V$. A partir dela, construa um grafo direcionado acíclico $G^* = (V^*, E^*)$, onde $V^* = V$ e $(i, j) \in E^*$ se, e somente se, $(i, j) \in E$ e $x_i > x_j$ (tal grafo é igual a G , mas orientado de forma inversa a induzida pelas variáveis y_{ij}). Seja $A = (a_1, a_2, \dots, a_{|V|})$ uma ordenação topológica de G^* . Com base em A , construa $|V|$ novas soluções $(x, y)^1, (x, y)^2, \dots, (x, y)^{|V|}$, onde a k -ésima solução consiste em fixar $x_{a_\ell}^k = x_{a_\ell} + 1$ para todo $\ell = 1, \dots, k$. Todas essas soluções são factíveis, já que quando um vértice a_ℓ tem sua cor incrementada, seus vizinhos que usam cores maiores que x_{a_ℓ} já tiveram suas cores incrementadas, pois os mesmos vêm antes de a_ℓ na ordenação topológica. Isso também garante que a orientação será mantida, de modo que todas as variáveis y mantêm seus valores originais.

Considere um par de soluções $(x, y)^k$ e $(x, y)^{k+1}$ dentre as geradas. Seguindo o procedimento de obtenção das mesmas, a única diferença entre elas é o valor da variável x_{a_k} , de modo que pode-se derivar o seguinte:

$$\begin{aligned} & \sum_{i \in V \setminus a_k} \lambda_{x_i} x_i + \lambda_{x_{a_k}} x_{a_k}^k + \sum_{(i,j) \in E} \lambda_{y_{ij}} y_{ij} = \lambda_0 \\ - & \sum_{i \in V \setminus a_k} \lambda_{x_i} x_i + \lambda_{x_{a_k}} x_{a_k}^{k+1} + \sum_{(i,j) \in E} \lambda_{y_{ij}} y_{ij} = \lambda_0 \\ \hline & \lambda_{x_{a_k}} (x_{a_k}^k - x_{a_k}^{k+1}) = 0 \end{aligned}$$

Como $x_{a_k}^k \in [1, s - 1]$ e $x_{a_k}^{k+1} = x_{a_k}^k + 1$, pode-se concluir que $\lambda_{x_{a_k}} = 0$. Além disso, como a_k é um vértice arbitrário, tem-se que $\lambda_{x_i} = 0$ para todo $i \in V$, ou seja, $\lambda_x = 0$.

Para a segunda parte da prova, seja $(x, y) \in PO(G, d, s) \cap \mathbb{R}^{|V|+|E|}$ uma solução tal que $\max_{i \in V} x(i) = \chi(G, d)$. Selecione uma aresta arbitrária $(i, j) \in E$ e construa uma nova solução $(x, y)^1$ da seguinte forma:

$$\bullet x_k^1 = \begin{cases} \chi(G, d) + d_{\max} & \text{se } k = i; \\ \chi(G, d) + 2d_{\max} & \text{se } k = j; \\ x_k & \text{caso contrário.} \end{cases}$$

$$\bullet y_{uv}^1 = \begin{cases} 1 & \text{se } v \in \{i, j\} \text{ ou } (u, v) = (i, j); \\ y_{uv} & \text{caso contrário.} \end{cases}$$

Com base em $(x, y)^1$, construa outra solução $(x, y)^2$ trocando as cores de i e j entre si, ou seja, $x_i^2 = x_j^1$ e $x_j^2 = x_i^1$. Isso também inverte a orientação imposta na aresta (i, j) , de modo que como $y_{ij}^1 = 1$, então $y_{ij}^2 = 0$. Entre $(x, y)^1$ e $(x, y)^2$, as únicas diferenças são os valores das variáveis x_i, x_j e y_{ij} . Assim, levando-se em conta o resultado da primeira parte da prova (ou seja, que $\lambda_{x_i} = 0$ para todo $i \in V$), pode-se derivar o seguinte:

$$\begin{aligned} & \sum_{u \in V \setminus \{i, j\}} \cancel{\lambda_{x_u} x_u}^0 + \cancel{\lambda_{x_i} x_i}^0 + \cancel{\lambda_{x_j} x_j}^0 + \sum_{(u, v) \in E \setminus (i, j)} \lambda_{y_{ij}} y_{ij}^1 + \lambda_{y_{ij}} y_{ij}^1 = \lambda_0 \\ - & \sum_{u \in V \setminus \{i, j\}} \cancel{\lambda_{x_u} x_u}^0 + \cancel{\lambda_{x_i} x_i}^0 + \cancel{\lambda_{x_j} x_j}^0 + \sum_{(u, v) \in E \setminus (i, j)} \lambda_{y_{ij}} y_{ij}^2 + \lambda_{y_{ij}} y_{ij}^2 = \lambda_0 \\ \hline & \lambda_{y_{ij}} (y_{ij}^1 - y_{ij}^2) = 0 \end{aligned}$$

Como $y_{ij}^1 = 1$ e $y_{ij}^2 = 0$, pode-se concluir que $\lambda_{y_{ij}} = 0$. Além disso, como $(i, j) \in E$ é uma aresta arbitrária, então tem-se que $\lambda_{y_{ij}} = 0$ para todo $(i, j) \in E$, ou seja, $\lambda_y = 0$.

Por fim, tem-se que $\lambda_x = 0$ e $\lambda_y = 0$, o que, como descrito no início da prova, indica que o poliedro tem dimensão plena. Logo, pode-se concluir que se $s \geq \chi(G, d) + 2d_{\max}$, então $PO(G, d, s)$ tem dimensão plena. \square

5.1.1 Desigualdades válidas

Para o modelo baseado em orientação, pode-se derivar desigualdades válidas que reforçam as restrições de distâncias do modelo, bem como os limites das variáveis x_i . Com base nas desigualdades que definem facetas apresentadas por Delle-Donne (2016) para o modelo de orientação desenvolvido para a alocação de canais com minimização de interferências entre canais adjacentes (ou problema de coloração de vértices de mínima adjacência - *minimum-adjacency vertex coloring problem*), obteve-se algumas desigualdades

adaptadas que definem facetas para $PO(G, d, s)$. Para que tais desigualdades válidas possam ser definidas, deve-se adicionar as seguintes variáveis que complementam o conjunto y do modelo baseado em orientação:

$$\bullet y_{ji} = \begin{cases} 1 & \text{se } x_i < x_j; \\ 0 & \text{caso contrário.} \end{cases}$$

Além disso, deve-se introduzir no modelo o seguinte conjunto de restrições:

$$y_{ij} + y_{ji} = 1 \quad \forall (i, j) \in E, i < j \quad (5.8)$$

A adição de tais variáveis e restrições pode ser substituída pelo uso da expressão $1 - y_{ij}$ onde houver y_{ji} tal que $i > j$.

5.1.1.1 Desigualdade clique

O primeiro conjunto de desigualdades válidas para $PO(G, d, s)$ é derivado a partir de cliques do grafo de entrada (Marengo e Wagler, 2009), como definido a seguir.

Definição 5.1.1. *Seja $i \in V$ um vértice do grafo e $K \subseteq N(i)$ uma clique. Para todo $j \in K$, seja $\delta_K^i(j) = \min_{k \in K \cup \{i\} \setminus \{j\}} d(j, k)$. Assim, a expressão:*

$$x_i \geq \sum_{j \in K} \delta_K^i(j) y_{ji} + 1 \quad (5.9)$$

define a desigualdade clique associada ao vértice i e à clique K .

A Figura 5.2 mostra um exemplo de grafo onde é selecionado um vértice i e uma clique $K \subseteq N(i)$ no mesmo e é dada a desigualdade clique correspondente. A expressão fornece um limite inferior mais forte para as variáveis x_i , de modo que vértices de K usem cores menores que x_i . A expressão generaliza a desigualdade clique usada na coloração clássica, definida como $x_i \geq \sum_{j \in K} y_{ji}$. Os coeficientes das variáveis y_{ji} são modificados de forma a tornar a restrição mais forte. A validade da expressão é mantida, como pode ser visto a seguir.

Teorema 5.2. *A desigualdade clique (5.9) é válida para $PO(G, d, s)$.*

Prova. Seja $(\bar{x}, \bar{y}) \in PO(G, d, s)$ uma solução inteira e considere $L = \{j \in K : \bar{y}_{ji} = 1\}$. Assuma que $L = \{j_1, \dots, j_t\}$, onde $x_{j_\ell} < x_{j_{\ell+1}}$ para cada $\ell = 1, \dots, t-1$, e defina $j_{t+1} = i$. Como $x_{j_1} \geq 1$ e $x_{j_\ell} + d_{j_\ell j_{\ell+1}} \leq x_{j_{\ell+1}}$ para cada $\ell = 1, \dots, t$ (já que cada par de vértices consecutivos em L são adjacentes), então

$$x_i \geq 1 + \sum_{\ell=1}^t d_{j_\ell j_{\ell+1}} \geq 1 + \sum_{\ell=1}^t \delta_K^i(j_\ell) = 1 + \sum_{j \in K} \delta_K^i(j) y_{ji}.$$

Como (\bar{x}, \bar{y}) é uma solução factível arbitrária, então a desigualdade clique é válida para $PO(G, d, s)$. \square

Sob determinadas condições, a desigualdade clique induz a uma faceta de $PO(G, d, s)$, como demonstrado a seguir.

Teorema 5.3. *A desigualdade clique (5.9) induz a uma faceta de $PO(G, d, s)$ se:*

- (a) *para todo $\ell \in N(i) \setminus K$ existe um $j \in K$ tal que $(j, \ell) \notin E$ e $d_{i,\ell} \leq d_{i,j}$,*
- (b) *$d_{i,j} = \delta_K^i(j)$ para todo $j \in K$, e*
- (c) *$s \geq \chi(G, d) + 3d_{\max}$.*

Prova. Para provar que a desigualdade clique é indutora de faceta sob as condições estabelecidas, será mostrado que a face F correspondente é maximal. Suponha que $\lambda_x^T + \lambda_y^T = \lambda_0$ para todo $(x, y) \in PO(G, d, s)$ tal que (5.9) é satisfeita na igualdade. Será mostrado, a seguir, que o vetor $(\lambda_x, \lambda_y, \lambda_0)$ é múltiplo do vetor de coeficientes de (5.9), o que implica que a desigualdade induz a uma faceta de acordo com as condições enunciadas.

A prova é composta de várias partes, como visto a seguir.

1. $\lambda_{x_u} = 0$ para todo $u \in V$ tal que $u \neq i$. Considere duas soluções factíveis $(x, y)^1$ e $(x, y)^2$ tais que $x_i^1 = x_i^2 = 1$ (de modo que ambas as soluções pertencem a F), $x_u^1 = \chi(G, d) + d_{\max}$ e $x_u^2 = \chi(G, d) + d_{\max} + 1$. Tais soluções existem pela hipótese

(c). A única diferença entre elas é em x_u , logo, tem-se que:

$$\begin{aligned} & \sum_{p \in V \setminus \{u\}} \lambda_{x_p} x_p + \lambda_{x_u} x_u^1 + \sum_{(u,v) \in E} \lambda_{y_{uv}} y_{uv} = \lambda_0 \\ - & \sum_{p \in V \setminus \{u\}} \lambda_{x_p} x_p + \lambda_{x_u} x_u^2 + \sum_{(u,v) \in E} \lambda_{y_{uv}} y_{uv} = \lambda_0 \\ \hline & \lambda_{x_u} (x_u^1 - x_u^2) = 0 \end{aligned}$$

Como $x_u^1 \neq x_u^2$, pode-se concluir que $\lambda_{x_u} = 0$.

2. $\lambda_{y_{uv}} = 0$ para toda $(u, v) \in E$, $u, v \neq i$. Considere uma solução factível (x, y) de $PO(G, d, s)$, onde $x_i = 1$ (so $(x, y) \in F$) e $\max_{i \in V} x_i = \chi(G, d) + d_{\max}$. Tal solução existe pela hipótese (c). Agora, construa uma solução $(x, y)^1$ do seguinte modo:

$$\bullet \ x_p^1 = \begin{cases} \chi(G, d) + 2d_{\max} & \text{se } p = u; \\ \chi(G, d) + 3d_{\max} & \text{se } p = v; \\ x_p & \text{caso contrário.} \end{cases}$$

$$\bullet \ y_{pq}^1 = \begin{cases} 1 & \text{se } q \in \{u, v\} \text{ ou } (p, q) = (u, v); \\ y_{uv} & \text{caso contrário.} \end{cases}$$

Com base em $(x, y)^1$, construa outra solução $(x, y)^2$ trocando entre si as cores de u e v , ou seja, $x_u^2 = x_v^1$ e $x_v^2 = x_u^1$, o que também inverterá o valor de y_{uv} . Entre $(x, y)^1$ e $(x, y)^2$, as únicas diferenças são em x_u , x_v e y_{uv} . Seguindo esta observação e que, como mostrado anteriormente, $\lambda_{x_u} = 0$ para todo $u \in V$ com $u \neq i$, tem-se que:

$$\begin{aligned} & \sum_{p \in V \setminus \{u, v\}} \lambda_{x_p} x_p + \lambda_{x_u} x_u^1 + \lambda_{x_v} x_v^1 + \sum_{(p,q) \in E \setminus (u,v)} \lambda_{y_{pq}} y_{pq}^1 + \lambda_{y_{uv}} y_{uv}^1 = \lambda_0 \\ - & \sum_{p \in V \setminus \{u, v\}} \lambda_{x_p} x_p + \lambda_{x_u} x_u^2 + \lambda_{x_v} x_v^2 + \sum_{(p,q) \in E \setminus (u,v)} \lambda_{y_{pq}} y_{pq}^2 + \lambda_{y_{uv}} y_{uv}^2 = \lambda_0 \\ \hline & \lambda_{y_{uv}} (y_{uv}^1 - y_{uv}^2) = 0 \end{aligned}$$

Como $y_{uv}^1 = 1$ e $y_{uv}^2 = 0$, pode-se concluir que $\lambda_{y_{uv}} = 0$.

3. $\lambda_{y_{ij}} = \lambda_{x_i} d_{i,j}$, para todo $j \in K$. Considere uma solução (x, y) com $x_j = 1$, $x_i = d_{i,j} + 1$, e $x_u \geq x_i + d_{\max}$ para todo $u \in V \setminus \{i, j\}$ (tal solução existe pela hipótese (c)). Observe que (x, y) satisfaz (5.9) na igualdade, já que $\delta_K^i(j) = d_{i,j}$ pela hipótese. Tal solução tem $y_{ji} = 1$ e $y_{ui} = 0$ para todo $u \in K \setminus \{j\}$. Seja $(x, y)^1 = (x, y)$ e considere

outra solução $(x, y)^2$ onde $x_i^2 = 1$ e $x_j^2 = d_{i,j} + 1$, o que também implica que $y_{ji}^2 = 0$ e $y_{ij}^2 = 1$. As diferenças entre $(x, y)^1$ e $(x, y)^2$ ocorrem em x_i, x_j e y_{ij} , logo, levando-se em conta que $\lambda_{x_u} = 0$ para todo $u \in V$ tal que $u \neq i$ e que $\lambda_{y_{uv}} = 0$ para todo $(u, v) \in E$ tal que $u, v \neq i$, tem-se que:

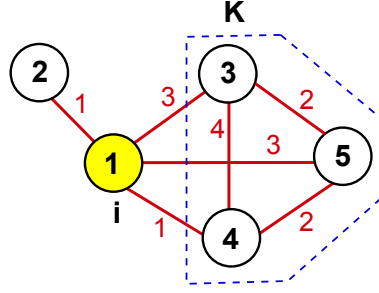
$$\begin{aligned} & \sum_{u \in V \setminus \{i, j\}} \cancel{\lambda_{x_u} x_u}^0 + \lambda_{x_i} x_i^1 + \cancel{\lambda_{x_j} x_j^1}^0 + \sum_{(u, v) \in E \setminus \{(i, j)\}} \lambda_{y_{uv}} y_{uv}^1 + \lambda_{y_{ij}} y_{ij}^1 = \lambda_0 \\ - & \sum_{u \in V \setminus \{i, j\}} \cancel{\lambda_{x_u} x_u}^0 + \lambda_{x_i} x_i^2 + \cancel{\lambda_{x_j} x_j^2}^0 + \sum_{(u, v) \in E \setminus \{(i, j)\}} \lambda_{y_{uv}} y_{uv}^2 + \lambda_{y_{ij}} y_{ij}^2 = \lambda_0 \\ \hline & \lambda_{x_i} (x_i^1 - x_i^2) + \lambda_{y_{ij}} (y_{ij}^1 - y_{ij}^2) = 0 \end{aligned}$$

Como dito anteriormente, $x_i^2 = x_i^1 - d_{i,j}$, $y_{ij}^1 = 0$ e $y_{ij}^2 = 1 - y_{ij}^1 = 1$, logo, pode-se concluir que $\lambda_{y_{ij}} = \lambda_{x_i} d_{i,j}$.

4. $\lambda_{y_{i\ell}} = 0$, para todo $\ell \in N(i) \setminus K$. A hipótese (a) implica que há pelo menos um vértice $j \in K$ tal que $(\ell, j) \notin E$ e $d_{i,\ell} \leq d_{i,j}$ (isso também implica que K é uma clique maximal em $N(i)$). Considere uma solução $(x, y)^1$, onde $x_i^1 = d_{i,j} + 1$ e $x_\ell^1 = x_j^1 = 1$ (que é factível, já que $d_{i,\ell} \leq d_{i,j}$), o que também faz com que $y_{ij}^1 = 0$, $y_{ji}^1 = 1$, $y_{i\ell}^1 = 0$ e $y_{\ell i}^1 = 1$. Agora, construa uma solução $(x, y)^2$, onde a cor de i é trocada com a cor de j e ℓ , ou seja, $x_i^2 = 1$ e $x_\ell^2 = x_j^2 = d_{i,j} + 1$, o que também implica que $y_{ij}^2 = 1$, $y_{ji}^2 = 0$, $y_{i\ell}^2 = 1$ e $y_{\ell i}^2 = 0$. Entre $(x, y)^1$ and $(x, y)^2$, as mudanças ocorrem em x_i, x_j, x_ℓ, y_{ij} e $y_{i\ell}$, logo, tem-se que:

$$\begin{aligned} & \sum_{u \in V \setminus \{i, j, \ell\}} \cancel{\lambda_{x_u} x_u}^0 + \lambda_{x_i} x_i^1 + \cancel{\lambda_{x_j} x_j^1}^0 + \cancel{\lambda_{x_\ell} x_\ell^1}^0 + \\ & \sum_{(p, q) \in E \setminus \{(i, j), (i, \ell)\}} \lambda_{y_{pq}} y_{pq} + \lambda_{y_{ij}} y_{ij}^1 + \lambda_{y_{i\ell}} y_{i\ell}^1 = \lambda_0 \\ - & \sum_{u \in V \setminus \{i, j, \ell\}} \cancel{\lambda_{x_u} x_u}^0 + \lambda_{x_i} x_i^2 + \cancel{\lambda_{x_j} x_j^2}^0 + \cancel{\lambda_{x_\ell} x_\ell^2}^0 + \\ & \sum_{(p, q) \in E \setminus \{(i, j), (i, \ell)\}} \lambda_{y_{pq}} y_{pq} + \lambda_{y_{ij}} y_{ij}^2 + \lambda_{y_{i\ell}} y_{i\ell}^2 = \lambda_0 \\ \hline & \lambda_{x_i} (x_i^1 - x_i^2) + \lambda_{y_{ij}} (y_{ij}^1 - y_{ij}^2) + \lambda_{y_{i\ell}} (y_{i\ell}^1 - y_{i\ell}^2) = 0 \end{aligned}$$

Como $x_i^2 = x_i^1 - d_{i,j}$, $y_{ij}^1 = 0$, $y_{i\ell}^1 = 0$, $y_{ij}^2 = 1$, $y_{i\ell}^2 = 1$ e, como mostrado anterior-



$$x_1 \geq 2y_{31} + y_{41} + y_{51}$$

Figura 5.2: Exemplo de desigualdade clique para um vértice i e uma clique $K \subseteq N(i)$ de um grafo.

mente, $\lambda_{y_{ij}} = \lambda_{x_i} d_{i,j}$, tem-se que:

$$\lambda_{x_i} (x_i^1 - (x_i^1 - d_{i,j})) - \lambda_{x_i} d_{i,j} - \lambda_{y_{i\ell}} = 0 \Rightarrow \lambda_{x_i} d_{i,j} - \lambda_{x_i} d_{i,j} - \lambda_{y_{i\ell}} = 0$$

Pode-se concluir, então, que $\lambda_{y_{i\ell}} = 0$.

Para finalizar a prova, observe que a desigualdade clique pode ser escrita como:

$$x_i \geq \sum_{j \in K} \delta_K^i(j) y_{ji} + 1 \Rightarrow x_i - \sum_{j \in K} d_{i,j} \delta_K^i(j) y_{ji} \geq 1 \Rightarrow x_i - \sum_{j \in K} \delta_K^i(j) (1 - y_{ij}) \geq 1$$

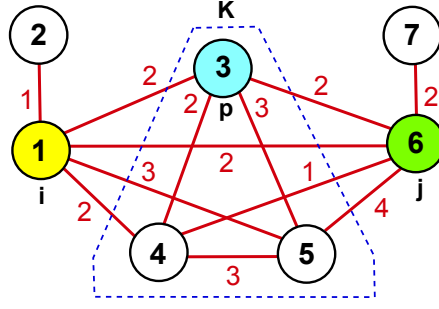
Como $\delta_K^i(j) = d_{i,j}$ para todo $j \in K$, tem-se que:

$$x_i - \sum_{j \in K} \delta_K^i(j) (1 - y_{ij}) \geq 1 \Rightarrow x_i + \sum_{j \in K} d_{i,j} y_{ij} \geq 1 + \sum_{j \in K} d_{i,j}$$

Desta observação e das afirmações anteriores, tem-se que:

$$\begin{aligned} \lambda_x x + \lambda_y y &= \sum_{u \in V \setminus \{i\}} \cancel{\lambda_{x_u} x_u} + \lambda_{x_i} x_i + \sum_{(i,u) \in E: u \notin K} \cancel{\lambda_{y_{iu}} y_{iu}} + \sum_{j \in K} \lambda_{y_{ij}} y_{ij} = \lambda_0 \\ &\Rightarrow \lambda_{x_i} x_i + \sum_{j \in K} \lambda_{x_i} d_{i,j} y_{ij} = \lambda_0 \Rightarrow \lambda_{x_i} \left(x_i + \sum_{j \in K} d_{i,j} y_{ij} \right) = \lambda_0 \end{aligned}$$

Como $\lambda_x^T + \lambda_y^T = \lambda_0$ é não trivial, considerando-se $\lambda_{x_i} \neq 0$ e $\frac{\lambda_0}{\lambda_{x_i}} = 1 + \sum_{j \in K} d_{i,j}$ tem-se que $\lambda_x^T + \lambda_y^T = \lambda_0$ é λ_{x_i} vezes a desigualdade clique, o que implica que a mesma induz a uma faceta de $PO(G, d, s)$ sob as condições especificadas. \square



$$x_1 + 2 + 2(y_{13} - y_{63}) + 0(y_{14} - y_{64}) + y_{15} - y_{65} \leq x_6 + (s-1)y_{61}$$

Figura 5.3: Exemplo de desigualdade clique dupla para uma aresta $(i, j) \in E$, uma clique $K \subseteq N(i) \cap N(j)$ e um vértice $p \in K$ de um grafo.

5.1.1.2 Desigualdade clique dupla

O segundo conjunto de desigualdades válidas é obtido por meio de uma clique que esteja presente na vizinhança de dois vértices ao mesmo tempo, como definido a seguir.

Definição 5.1.2. Seja $(i, j) \in E$ uma aresta de um grafo G e considere uma clique $K \subseteq N(i) \cap N(j)$. Para todo $k \in K$, seja $\delta_K^{ij}(k) = \min_{\ell \in K \cup \{i, j\} \setminus \{k\}} d_{k, \ell}$. Fixando-se um vértice $p \in K$, pode-se definir a expressão:

$$x_i + d(i, j) + \sum_{k \in K} \gamma_k (y_{ik} - y_{jk}) \leq x_j + (s + d(i, j) - \gamma(K) - 1) y_{ji} \quad (5.10)$$

como a desigualdade clique dupla (double clique) associada à aresta (i, j) , à clique K e ao vértice p , na qual $\gamma_p = \max\{0, 2\delta_K^{ij}(p) - d(i, j)\}$ e $\gamma_k = \max\{0, \delta_K^{ij}(k) - d_{i, j}\}$ para todo $k \in K \setminus \{p\}$.

A Figura 5.3 mostra um exemplo de grafo onde é selecionada uma aresta $(i, j) \in E$, uma clique $K \subseteq N(i) \cap N(j)$ e um vértice $p \in K$ no mesmo e é dada a desigualdade clique dupla correspondente. A expressão fortalece as restrições de distância do modelo, eliminando possibilidades de cores para os vértices que satisfariam as restrições originais, mas não levariam diretamente a uma solução inteira ao resolver-se a relaxação linear. Do mesmo modo que ocorre com a desigualdade clique, algumas condições fazem com que a desigualdade clique dupla defina facetas de $PO(G, d, s)$, como visto a seguir.

Teorema 5.4. A desigualdade clique dupla (5.10) é válida para $PO(G, d, s)$.

Prova. Considere uma solução arbitrária factível $(x, y) \in PO(G, d, s)$. Serão examinados dois casos:

1. $y_{ji} = 0$ (e $y_{ij} = 1$). Isso implica que $x_i < x_j$. Seja $M \subseteq K$ o conjunto de vértices cujas cores estejam entre x_i e x_j , ou seja, $M = \{k \in K : y_{ik} = 1 \text{ and } y_{jk} = 0\}$. Seja M^\prec uma ordenação de $M \cup \{i, j\}$ de acordo com as cores dos vértices (variáveis x), isto é, $M^\prec = (k_1, k_2, \dots, k_t)$, onde $k_1 = i$, $k_t = j$ e $x_{k_\ell} < x_{k_{\ell+1}}$ para todo $\ell = 1, 2, \dots, t-1$. Pela definição do BCP e da ordenação M^\prec , tem-se que $x_{k_{\ell+1}} - x_{k_\ell} \geq d_{k_\ell, k_{\ell+1}} \geq \delta_K^{ij}(k_{\ell+1})$. Se $p \notin M$ então:

$$\begin{aligned} x_j - x_i &= \sum_{\ell=1}^{t-1} (x_{k_{\ell+1}} - x_{k_\ell}) \\ &\geq \max\{d_{i,j}, \sum_{\ell=1}^{t-1} \delta_K^{ij}(k_\ell)\} \\ &\geq d_{i,j} + \sum_{k \in M} \gamma_k \\ &= d_{i,j} + \sum_{k \in K} \gamma_k (y_{ik} - y_{jk}). \end{aligned}$$

Logo, a desigualdade é satisfeita. Por outro lado, se $p \in M$, então seja $r \geq 2$ o índice de p em M^\prec , ou seja, tal que $k_r = p$. Tem-se então:

$$\begin{aligned} x_j - x_i &= \sum_{\ell=1}^{t-1} (x_{k_{\ell+1}} - x_{k_\ell}) \\ &= \sum_{\ell=1}^{r-2} (x_{k_{\ell+1}} - x_{k_\ell}) + (x_{k_{r+1}} - x_{k_{r-1}}) + \sum_{\ell=r+1}^{t-1} (x_{k_{\ell+1}} - x_{k_\ell}) \\ &\geq \sum_{\ell=1}^{r-2} \delta_K^{ij}(k_{\ell+1}) + 2\delta_K^{ij}(p) + \sum_{\ell=r+1}^{t-1} \delta_K^{ij}(k_\ell) \\ &\geq d_{i,j} + \sum_{k \in M} \gamma_k \\ &= d_{i,j} + \sum_{k \in K} \gamma_k (y_{ik} - y_{jk}). \end{aligned}$$

Novamente, a desigualdade é satisfeita.

2. $y_{ji} = 1$ (e $y_{ij} = 0$). Isso implica que $x_j < x_i$. Particione K nos seguintes subconjuntos disjuntos:

- $L = \{k \in K : y_{ik} = y_{jk} = 0\}$.
- $M = \{k \in K : y_{ik} = 0 \text{ e } y_{jk} = 1\}$.
- $R = \{k \in K : y_{ik} = y_{jk} = 1\}$.

Sejam L^\prec , M^\prec e R^\prec , respectivamente, ordenações de $L \cup \{j\}$, $M \cup \{i, j\}$ e $R \cup \{i\}$

de acordo com as cores dos vértices (variáveis x), isto é:

- $L^\prec = (\ell_1, \ell_2, \dots, \ell_t)$, onde $\ell_t = j$ e $x_{\ell_a} < x_{\ell_{a+1}}$ para todo $a = 1, 2, \dots, t-1$.
- $M^\prec = (m_1, m_2, \dots, m_h)$, onde $m_1 = j$, $m_h = i$ e $x_{m_a} < x_{m_{a+1}}$ para todo $a = 1, 2, \dots, h-1$.
- $R^\prec = (r_1, r_2, \dots, r_w)$, onde $r_1 = i$ e $x_{r_a} < x_{r_{a+1}}$ para todo $a = 1, 2, \dots, h-1$.

Observe que $x_j \geq 1 + \sum_{a=1}^{t-1} (x_{\ell_{a+1}} - x_{\ell_a})$. Também note que $x_i \leq s - \sum_{a=1}^{w-1} (x_{r_{a+1}} - x_{r_a})$.

Por fim, observe que:

$$\begin{aligned} \sum_{k \in K} \gamma_k(y_{ik} - y_{jk}) &= \sum_{\ell \in L} \gamma_\ell(y_{i\ell} - y_{j\ell}) + \sum_{m \in M} \gamma_m(y_{im} - y_{jm}) + \sum_{r \in R} \gamma_r(y_{ir} - y_{jr}) \\ &= - \sum_{m \in M} \gamma_m = -\gamma(M). \end{aligned}$$

Então, tem-se que:

$$\begin{aligned} &x_i + d_{i,j} - x_j + \sum_{k \in K} \gamma_k(y_{ik} - y_{jk}) \\ &\leq s - \sum_{a=1}^{w-1} (x_{r_{a+1}} - x_{r_a}) + (d_{i,j} - 1) - \sum_{a=1}^{t-1} (x_{\ell_{a+1}} - x_{\ell_a}) - \gamma(M) \\ &\leq s - \sum_{a=1}^{w-1} \delta_K^{ij}(r_a) + (d_{i,j} - 1) - \sum_{a=1}^{t-1} \delta_K^{ij}(\ell_a) - \gamma(M) \\ &\leq s - \gamma(R) - \gamma(L) - \gamma(M) + d_{i,j} - 1 \\ &= s - \gamma(K) + d_{i,j} - 1. \end{aligned}$$

Logo, a desigualdade é satisfeita. □

Teorema 5.5. *A desigualdade clique dupla (5.10) induz a uma faceta de $PO(G, d, s)$ se:*

- $s \geq \chi(G, d) + 4d_{max}$,
- $d(i, k) = d(j, k) = \delta_K^{ij}(k)$ para todo $k \in K$,
- $d(p, k) = d(p, j)$ para todo $k \in K \setminus \{p\}$,
- $d(i, j) \leq \delta_K^{ij}(k)$ para todo $k \in K \setminus \{p\}$, e
- $(t, p) \notin E$ e $d(i, t) + d(t, j) \leq d(i, j)$ para todo $t \in [N(i) \cap N(j)] \setminus K$

Prova. Para provar que a desigualdade clique dupla é indutora de faceta sob as condições dadas, será mostrado que a face F correspondente é maximal. Suponha que $\lambda_x^T + \lambda_y^T = \lambda_0$ para todo $(x, y) \in F$. Para isso, será demonstrado que o vetor $(\lambda_x, \lambda_y, \lambda_0)$ é múltiplo do vetor de coeficientes de (5.10).

A prova é composta de diversas partes, como visto a seguir:

1. $\lambda_{x_u} = 0$ para $u \neq i, j$. Considere uma solução $(x, y)^1 \in F$, onde $x_i^1 = 1, x_j^1 = d_{i,j} + 1, x_k^1 \in [2d_{\max}, \chi(G, d) + 2d_{\max}]$ para $k \neq i, j, u$, e $x_u = \chi(G, d) + 3d_{\max}$ (tal solução existe pela hipótese (a)). Agora, construa uma solução $(x, y)^2 \in F$, na qual $x_u^2 = x_u^1 + 1$, que também é factível e satisfaz and satisfies (5.10) na igualdade. A única diferença entre $(x, y)^1$ e $(x, y)^2$ é x_u , então tem-se que:

$$\begin{aligned} & \sum_{t \in V \setminus \{u\}} \lambda_{x_t} x_t + \lambda_{x_u} x_u^1 + \sum_{(t,q) \in E} \lambda_{y_{tq}} y_{tq} = \lambda_0 \\ - & \sum_{t \in V \setminus \{u\}} \lambda_{x_t} x_t + \lambda_{x_u} x_u^2 + \sum_{(t,q) \in E} \lambda_{y_{tq}} y_{tq} = \lambda_0 \\ \hline & \lambda_{x_u} (x_u^1 - x_u^2) = 0 \end{aligned}$$

Como $x_u^1 \neq x_u^2$, pode-se concluir que $\lambda_{x_u} = 0$.

2. $\lambda_{y_{uv}} = 0$ se ambos u, v diferem de i, j . Seja $(x, y)^1 \in F$ uma solução factível satisfazendo (5.10) na igualdade, tal que $x_u^1 = 1, x_v^1 = 1 + d_{u,v}$ (o que implica que $y_{uv}^1 = 1$), e $x_t^1 \geq x_v^1 + d_{\max}$ para todo $t \in V \setminus \{u, v\}$ (a existência de tal solução é assegurada pela hipótese (a)). Construa uma nova solução $(x, y)^2$ trocando entre si as cores atribuídas a u e v , ou seja, $x_u^2 = x_v^1$ e $x_v^2 = x_u^1$ (o que implica que $y_{uv}^2 = 1$). A nova solução também pertence a F e as diferenças entre ela e a solução original ocorrem em x_u, x_v e y_{uv} , de modo que tem-se que:

$$\begin{aligned} & \sum_{t \in V \setminus \{u,v\}} \cancel{\lambda_{x_t} x_t}^0 + \cancel{\lambda_{x_u} x_u^1}^0 + \cancel{\lambda_{x_v} x_v^1}^0 + \sum_{(t,q) \in E \setminus \{(u,v)\}} \lambda_{y_{tq}} y_{tq} + \lambda_{y_{uv}} y_{uv}^1 = \lambda_0 \\ - & \sum_{t \in V \setminus \{u,v\}} \cancel{\lambda_{x_t} x_t}^0 + \cancel{\lambda_{x_u} x_u^2}^0 + \cancel{\lambda_{x_v} x_v^2}^0 + \sum_{(t,q) \in E \setminus \{(u,v)\}} \lambda_{y_{tq}} y_{tq} + \lambda_{y_{uv}} y_{uv}^2 = \lambda_0 \\ \hline & \lambda_{y_{uv}} (y_{uv}^1 - y_{uv}^2) = 0 \end{aligned}$$

Como $y_{uv}^1 = 1$ e $y_{uv}^2 = 0$, pode-se concluir que $\lambda_{y_{uv}} = 0$.

3. $\lambda_{x_i} = -\lambda_{x_j}$. Considere uma solução factível $(x, y)^1 \in F$ com $x_i^1 = 1, x_j^1 = 1 + d_{i,j}$

e tal que $x_t^1 \in [2d_{\max} + 1, s - 1]$ para $t \neq i, j$. Construa uma outra solução $(x, y)^2$ onde $x_t^2 = x_t^1 + 1$ para todo $t \in V$, logo $(x, y)^2 \in F$. Tais soluções diferem entre si nas variáveis x , então, seguindo o resultado anterior, tem-se que:

$$\begin{array}{r} \sum_{t \in V \setminus \{i, j\}} \cancel{\lambda_{x_t} x_t}^0 + \lambda_{x_i} x_i^1 + \lambda_{x_j} x_j^1 + \sum_{(t, q) \in E} \lambda_{y_{tq}} y_{tq} = \lambda_0 \\ - \sum_{t \in V \setminus \{i, j\}} \cancel{\lambda_{x_t} x_t}^0 + \lambda_{x_i} x_i^2 + \lambda_{x_j} x_j^2 + \sum_{(t, q) \in E} \lambda_{y_{tq}} y_{tq} = \lambda_0 \\ \hline \lambda_{x_i} (x_i^1 - x_i^2) + \lambda_{x_j} (x_j^1 - x_j^2) = 0 \end{array}$$

Como $x_i^2 = x_i^1 + 1$ e $x_j^2 = x_j^1 + 1$, pode-se concluir que $\lambda_{x_i} = -\lambda_{x_j}$.

4. $\lambda_{y_{ik}} = -\gamma_k \lambda_{x_j}$ para todo $k \in K$. Seja $(x, y)^1$ uma solução em F definida como se segue:

- Se $k = p$, então $x_p^1 = 1$, $x_i^1 = d_{\max}$, $x_j^1 = x_i^1 + d_{i, j}$, e $x_t^1 \geq x_j^1 + d_{\max}$ para todo $t \in V \setminus \{i, j, p\}$.
- Se $k \neq p$, então $x_k^1 = 1$, $x_i^1 = d_{\max}$, $x_p^1 = x_i^1 + d_{i, p}$, $x_j^1 = x_p^1 + d_{p, j}$, e $x_t^1 \geq x_j^1 + d_{\max}$ para todo $t \in V \setminus \{i, j, k, p\}$.

A hipótese (a) garante que haverá cores suficientes para tais construções, enquanto as hipóteses (b)-(d) garantem que a solução $(x, y)^1$ é factível e satisfaz 5.10 na igualdade. Construa uma solução $(x, y)^2$ com base em $(x, y)^1$, trocando a ordem dos vértices k e i entre si, como definido a seguir:

- Se $k = p$, então $x_i^2 = 1$, $x_p^2 = 1 + d_{i, p}$, $x_j^2 = x_p^2 + d_{p, j}$, e mantenha as variáveis x restantes sem modificações.
- Se $k \neq p$, então $x_1^2 = 1$, $x_k^2 = 1 + d_{i, k}$, $x_p^2 = x_k^2 + d_{k, p}$, $x_j^2 = x_p^2 + d_{p, j}$, e mantenha as variáveis x restantes sem modificações.

Entre as duas soluções, as mudanças ocorrem nas variáveis x_t para $t \in \{i, j, k, p\}$ e

y_{ik} , então tem-se que:

$$\begin{array}{r} \sum_{t \in V \setminus \{i,j\}} \lambda_{x_t} x_t^0 + \lambda_{x_i} x_i^1 + \lambda_{x_j} x_j^1 + \sum_{(t,q) \in E \setminus \{(i,k)\}} \lambda_{y_{tq}} y_{tq} + \lambda_{y_{ik}} y_{ik}^1 = \lambda_0 \\ - \sum_{t \in V \setminus \{i,j\}} \lambda_{x_t} x_t^0 + \lambda_{x_i} x_i^2 + \lambda_{x_j} x_j^2 + \sum_{(t,q) \in E \setminus \{(i,k)\}} \lambda_{y_{tq}} y_{tq} + \lambda_{y_{ik}} y_{ik}^2 = \lambda_0 \\ \hline \lambda_{x_j} (x_j^1 - x_j^2) + \lambda_{y_{ik}} (y_{ik}^1 - y_{ik}^2) = 0 \end{array}$$

Os valores das variáveis que diferem em ambas as soluções permitem concluir que

$$\lambda_{y_{ik}} = (d_{i,p} + d_{p,j} - d_{i,j}) \lambda_{x_j} = \gamma_k \lambda_{x_j}.$$

5. $\lambda_{y_{jk}} = \gamma_k \lambda_{x_j}$ para todo $k \in K$. Uma argumentação similar a do item anterior pode ser usada também neste caso. Construa uma solução $(x, y)^1$ in F como a seguir:

- Se $k = p$, então $x_i^1 = 1$, $x_j^1 = 1 + d_{i,j}$, $x_p^1 = x_j^1 + d_{j,p}$, e $x_t^1 \geq x_p^1 + d_{\max}$ para todo $t \in V \setminus \{i, j, p\}$.
- Se $k \neq p$, então $x_i^1 = 1$, $x_p^1 = 1 + d_{i,p}$, $x_j^1 = x_p^1 + d_{p,j}$, $x_k^1 = x_j^1 + d_{j,k}$, para todo $x_t^1 \geq x_k^1 + d_{\max}$ for all $t \in V \setminus \{i, j, k, p\}$.

Novamente, a hipótese (a) garante que haverá cores suficientes para tais construções, enquanto as hipóteses (b)-(d) garantem que a solução $(x, y)^1$ é factível e satisfaz 5.10 na igualdade. Construa agora uma solução $(x, y)^2$ com base em $(x, y)^1$, como definido a seguir:

- Se $k = p$, então $x_i^1 = 1$, $x_p^1 = 1 + d_{i,p}$, $x_j^1 = x_p^1 + d_{p,j}$, e mantenha as variáveis x restantes sem modificações.
- Se $k \neq p$, então $x_i^1 = 1$, $x_p^1 = 1 + d_{i,p}$, $x_k^1 = x_p^1 + d_{p,k}$, $x_j^1 = x_k^1 + d_{j,k}$, e mantenha as variáveis x restantes sem modificações.

Entre as duas soluções, as mudanças ocorrem nas variáveis x_t para $t \in \{i, j, k, p\}$ e y_{jk} , então tem-se que:

$$\begin{array}{r} \sum_{t \in V \setminus \{i,j\}} \lambda_{x_t} x_t^0 + \lambda_{x_i} x_i^1 + \lambda_{x_j} x_j^1 + \sum_{(t,q) \in E \setminus \{(j,k)\}} \lambda_{y_{tq}} y_{tq} + \lambda_{y_{jk}} y_{jk}^1 = \lambda_0 \\ - \sum_{t \in V \setminus \{i,j\}} \lambda_{x_t} x_t^0 + \lambda_{x_i} x_i^2 + \lambda_{x_j} x_j^2 + \sum_{(t,q) \in E \setminus \{(i,k)\}} \lambda_{y_{tq}} y_{tq} + \lambda_{y_{jk}} y_{jk}^2 = \lambda_0 \\ \hline \lambda_{x_j} (x_j^1 - x_j^2) + \lambda_{y_{jk}} (y_{jk}^1 - y_{jk}^2) = 0 \end{array}$$

Mais uma vez, os valores das variáveis que diferem em ambas as soluções permitem concluir que $\lambda_{y_{jk}} = \gamma_k \lambda_{x_j}$.

6. $\lambda_{y_{it}} = 0$ para todo $t \in [N(i) \cap N(j)] \setminus K$. Considere uma solução $(x, y)^1$ tal que $x_j^1 = x_i^1 + d_{i,j}$ e $x_t^1 < x_i^1$ (que implica em $y_{it}^1 = 0$ e $y_{jt}^1 = 0$). Agora, construa uma solução $(x, y)^2$ onde $x_i^2 = x_i^1$, $x_j^2 = x_j^1$ e $x_t^2 = x_t^1 + d_{i,t}$ (o que implica que $y_{it}^2 = 1$), que é factível de acordo com a hipótese (e). As diferenças entre as soluções ocorrem em x_t e y_{it} , então tem-se que:

$$\begin{aligned} & \sum_{r \in V \setminus \{t\}} \lambda_{x_r} x_r + \cancel{\lambda_{x_t} x_t^1} + \sum_{(r,q) \in E \setminus \{(i,t)\}} \lambda_{y_{rq}} y_{rq}^1 + \lambda_{y_{it}} y_{it}^1 = \lambda_0 \\ - & \sum_{r \in V \setminus \{t\}} \lambda_{x_r} x_r + \cancel{\lambda_{x_t} x_t^2} + \sum_{(r,q) \in (E \setminus (i,t))} \lambda_{y_{rq}} y_{rq}^2 + \lambda_{y_{it}} y_{it}^2 = \lambda_0 \\ \hline & \lambda_{y_{it}} (y_{it}^1 - y_{it}^2) = 0 \end{aligned}$$

Como $y_{it}^2 \neq y_{it}^1$, pode-se concluir que $\lambda_{y_{it}} = 0$.

7. $\lambda_{y_{jt}} = 0$ para todo $t \in [N(i) \cap N(j)] \setminus K$. Considere uma solução $(x, y)^1$ tal que $x_j^1 = x_i^1 + d_{i,j}$ e $x_t^1 > x_j^1$ (o que implica em $y_{jt}^1 = 1$ e $y_{it}^1 = 1$). Agora, construa uma solução $(x, y)^2$ na qual $x_i^2 = x_i^1$, $x_j^2 = x_j^1$ e $x_t^2 = x_t^1 - d_{j,t}$ (o que implica em $y_{jt}^2 = 0$) que também é factível pois $d_{i,t} + d_{t,j} \leq d_{i,j}$. As diferenças entre $(x, y)^1$ e $(x, y)^2$ ocorrem em x_t e y_{jt} , então tem-se que:

$$\begin{aligned} & \sum_{r \in V \setminus \{t\}} \lambda_{x_r} x_r + \cancel{\lambda_{x_t} x_t^1} + \sum_{(r,q) \in E \setminus \{(j,t)\}} \lambda_{y_{rq}} y_{rq}^1 + \lambda_{y_{jt}} y_{jt}^1 = \lambda_0 \\ - & \sum_{r \in V \setminus \{t\}} \lambda_{x_r} x_r + \cancel{\lambda_{x_t} x_t^2} + \sum_{(r,q) \in E \setminus \{(j,t)\}} \lambda_{y_{rq}} y_{rq}^2 + \lambda_{y_{jt}} y_{jt}^2 = \lambda_0 \\ \hline & \lambda_{y_{jt}} (y_{jt}^1 - y_{jt}^2) = 0 \end{aligned}$$

Como $y_{jt}^2 \neq y_{jt}^1$, pode-se concluir que $\lambda_{y_{jt}} = 0$.

8. $\lambda_{y_{ik}} = 0$ para todo $k \in N(i) \setminus N(j)$. Seja $(x, y)^1 \in F$ uma solução onde $x_i^1 = 1$, $x_j^1 = d_{i,j} + 1$, $x_k^1 = x_j^1 + d_{i,k}$ (o que implica em $y_{ik}^1 = 1$) e $x_t^1 > d_{i,j} + d_{i,k} + 1$ para todo $t \notin \{i, j, k\}$. Esta construção é factível porque $(k, j) \notin E$ e pela hipótese (a). Construa uma outra solução $(x, y)^2 \in F$ na qual $x_k^2 = 1$, $x_i^2 = 1 + d_{i,k}$ e $x_j^2 = x_i^2 + d_{i,j}$ (o que implica que $y_{ik}^2 = 0$). As mudanças entre as duas soluções são em x_i , x_j , x_k e y_{ik} ,

então tem-se que:

$$\begin{aligned} & \sum_{t \in V \setminus \{i,j,k\}} \cancel{\lambda_{x_t} x_t^0} + \lambda_{x_i} x_i^1 + \lambda_{x_j} x_j^1 + \cancel{\lambda_{x_k} x_k^1} + \sum_{(t,q) \in E \setminus \{(i,k)\}} \lambda_{y_{tq}} y_{tq}^1 + \lambda_{y_{ik}} y_{ik}^1 = \lambda_0 \\ - & \sum_{t \in V \setminus \{i,j,k\}} \cancel{\lambda_{x_t} x_t^0} + \lambda_{x_i} x_i^2 + \lambda_{x_j} x_j^2 + \cancel{\lambda_{x_k} x_k^2} + \sum_{(t,q) \in E \setminus \{(i,k)\}} \lambda_{y_{tq}} y_{tq}^2 + \lambda_{y_{ik}} y_{ik}^2 = \lambda_0 \\ \hline & \lambda_{x_i} (x_i^1 - x_i^2) + \lambda_{x_j} (x_j^1 - x_j^2) + \lambda_{y_{ik}} (y_{ik}^1 - y_{ik}^2) = 0 \end{aligned}$$

Assim, tem-se que $\lambda_{y_{ik}} = 0$.

9. $\lambda_{y_{jk}} = 0$ para todo $k \in N(i) \setminus N(j)$. Seja $(x, y)^1 \in F$ uma solução onde $x_i^1 = 1$, $x_j^1 = d_{i,j} + 1$, $x_k^1 = x_j^1 + d_{j,k}$ (o que implica que $y_{jk}^1 = 1$) e $x_t^1 > d_{i,j} + d_{j,k} + 1$ para todo $t \notin \{i, j, k\}$. Tal solução é factível pela hipótese (a). Agora, construa outra solução $(x, y)^2 \in F$ atribuindo $x_k^2 = 1$, $x_i^2 = 1 + d_{j,k}$ e $x_j^2 = x_i^2 + d_{i,j}$ (o que implica em $y_{jk}^2 = 0$). Esta solução também é factível pois $(k, i) \notin E$. As mudanças entre as duas soluções são em x_i , x_j , x_k e y_{jk} , então tem-se que:

$$\begin{aligned} & \sum_{t \in V \setminus \{i,j,k\}} \cancel{\lambda_{x_t} x_t^0} + \lambda_{x_i} x_i^1 + \lambda_{x_j} x_j^1 + \cancel{\lambda_{x_k} x_k^1} + \sum_{(t,q) \in E \setminus \{(j,k)\}} \lambda_{y_{tq}} y_{tq}^1 + \lambda_{y_{jk}} y_{jk}^1 = \lambda_0 \\ - & \sum_{t \in V \setminus \{i,j,k\}} \cancel{\lambda_{x_t} x_t^0} + \lambda_{x_i} x_i^2 + \lambda_{x_j} x_j^2 + \cancel{\lambda_{x_k} x_k^2} + \sum_{(t,q) \in E \setminus \{(j,k)\}} \lambda_{y_{tq}} y_{tq}^2 + \lambda_{y_{jk}} y_{jk}^2 = \lambda_0 \\ \hline & \lambda_{x_i} (x_i^1 - x_i^2) + \lambda_{x_j} (x_j^1 - x_j^2) + \lambda_{y_{jk}} (y_{jk}^1 - y_{jk}^2) = 0 \end{aligned}$$

Assim, conclui-se que $\lambda_{y_{jk}} = 0$.

10. $\lambda_{y_{ij}} = -(s + d_{i,j} - \gamma(K) - 1)\lambda_{x_j}$. Seja $(x, y)^1 \in F$ uma solução onde $x_i^1 = 1$, $x_j^1 = 1 + d_{i,j}$, e $x_t^1 \geq x_j^1 + d_{\max}$ para todo $t \in V \setminus \{i, j\}$ (o que implica que $y_{ij}^1 = 1$ e $y_{it}^1 = y_{jt}^1 = 1$ para $t \neq i, j$). Com isso, tem-se que $y_{ik}^1 - y_{jk}^1 = 0$. Agora, construa outra solução $(x, y)^2$ com $x_i^2 = s$ e $x_j^2 = 1$ (o que implica em $y_{ij}^2 = 0$, $y_{it}^2 = 0$ e $y_{jt}^2 = 1$ para $t \neq i, j$).

Pode-se derivar então o seguinte:

$$\begin{aligned}
& \sum_{t \in V \setminus \{i,j\}} \cancel{\lambda_{x_t} x_t}^0 + \lambda_{x_i} x_i^1 + \lambda_{x_j} x_j^1 + \sum_{t \in N(i) \setminus (K \cup \{j\})} \cancel{\lambda_{y_{it}} y_{it}}^0 + \sum_{q \in N(j) \setminus (K \cup \{i\})} \cancel{\lambda_{y_{jq}} y_{jq}}^0 + \\
& \quad \sum_{k \in K} (\lambda_{y_{ik}} y_{ik}^1 + \lambda_{y_{jk}} y_{jk}^1) + \lambda_{y_{ij}} y_{ij}^1 = \lambda_0 \\
- & \sum_{t \in V \setminus \{i,j\}} \cancel{\lambda_{x_t} x_t}^0 + \lambda_{x_i} x_i^2 + \lambda_{x_j} x_j^2 + \sum_{t \in N(i) \setminus (K \cup \{j\})} \cancel{\lambda_{y_{it}} y_{it}}^0 + \sum_{q \in N(j) \setminus (K \cup \{i\})} \cancel{\lambda_{y_{jq}} y_{jq}}^0 + \\
& \quad \sum_{k \in K} (\lambda_{y_{ik}} y_{ik}^2 + \lambda_{y_{jk}} y_{jk}^2) + \lambda_{y_{ij}} y_{ij}^2 = \lambda_0 \\
\hline
& \lambda_{x_i} (x_i^1 - x_i^2) + \lambda_{x_j} (x_j^1 - x_j^2) + \sum_{k \in K} (\lambda_{y_{ik}} y_{ik}^1 + \lambda_{y_{jk}} y_{jk}^1) - \sum_{k \in K} (\lambda_{y_{ik}} y_{ik}^2 + \lambda_{y_{jk}} y_{jk}^2) + \\
& \quad \lambda_{y_{ij}} (y_{ij}^1 - y_{ij}^2) = 0
\end{aligned}$$

O que implica em:

$$\begin{aligned}
& \lambda_{x_i} (x_i^1 - x_i^2 - x_j^1 + x_j^2) + \sum_{k \in K} (d_{j,k} \lambda_{x_j} - d_{j,k} \lambda_{x_j}) - \sum_{k \in K} d_{j,k} \lambda_{x_j} + \lambda_{y_{ij}} = 0 \Rightarrow \\
& -\lambda_{x_j} (x_i^1 - s - x_i^1 - d_{i,j} + 1) - \sum_{k \in K} d_{j,k} \lambda_{x_j} + \lambda_{y_{ij}} = 0 \Rightarrow \lambda_{y_{ij}} = \lambda_{x_j} (-s - d_{i,j} + 1) + \sum_{k \in K} d_{j,k} \lambda_{x_j} \\
& \text{Tem-se então que } \lambda_{y_{ij}} = \lambda_{x_j} (-s - d_{i,j} + 1 + \sum_{k \in K} d_{j,k}). \text{ Como } d_{i,k} = d_{j,k} = \delta_K^{ij}(k) \text{ para} \\
& \text{todo } k \in K, \text{ conclui-se que } \lambda_{y_{ij}} = -(s + d_{i,j} - \gamma(K) - 1) \lambda_{x_j}
\end{aligned}$$

Para finalizar a prova, note que a desigualdade clique dupla pode ser escrita como:

$$\begin{aligned}
& x_i + d_{i,j} + \sum_{k \in K} \gamma_k (y_{ik} - y_{jk}) \leq x_j + (s + d_{i,j} - \gamma(K) - 1) y_{ji} \Rightarrow \\
& x_i + d_{i,j} + \sum_{k \in K} \gamma_k (y_{ik} - y_{jk}) \leq x_j + (s + d_{i,j} - \gamma(K) - 1) (1 - y_{ij}) \Rightarrow \\
& x_i - x_j + \sum_{k \in K} \gamma_k (y_{ik} - y_{jk}) + (s + d_{i,j} - \gamma(K) - 1) y_{ij} \leq s - \gamma(K) - 1
\end{aligned}$$

Seguindo as afirmações anteriores, $\lambda_x x + \lambda_y y = \lambda_0$ pode ser escrito como:

$$\begin{aligned}
& \lambda_x x + \lambda_y y = \lambda_0 \Rightarrow \\
& \lambda_{x_i} x_i + \lambda_{x_j} x_j + \sum_{p \in V \setminus \{i,j\}} \cancel{\lambda_{x_p} x_p}^0 + \sum_{\substack{(p,q) \in E \\ (p,q) \neq (i,j)}} \cancel{\lambda_{y_{pq}} y_{pq}}^0 + \sum_{k \in K} \lambda_{y_{ik}} y_{ik} + \sum_{k \in K} \lambda_{y_{jk}} y_{jk} + \sum_{t \in [N(i) \cap N(j)] \setminus K} \cancel{\lambda_{y_{it}} y_{it}}^0 +
\end{aligned}$$

$$\begin{aligned}
& \sum_{t \in [N(i) \cap N(j)] \setminus K} \overset{0}{\lambda_{jt}y_{jt}} + \sum_{u \in N(i) \setminus N(j)} \overset{0}{\lambda_{iu}y_{iu}} + \sum_{v \in N(j) \setminus N(i)} \overset{0}{\lambda_{jv}y_{jv}} + \lambda_{ij}y_{ij} = \lambda_0 \Rightarrow \\
& -\lambda_{x_j}x_i + \lambda_{x_j}x_i - \sum_{k \in K} d_{j,k}y_{ik} + \sum_{k \in K} d_{j,k}y_{jk} - (s + d_{i,j} - \gamma(K) - 1)\lambda_{x_j}y_{ij} = \lambda_0 \Rightarrow \\
& -\lambda_{x_j} \left(x_i - x_j + \sum_{k \in K} d_{j,k}(y_{ik} - y_{jk}) + (s + d_{i,j} - \gamma(K) - 1)y_{ij} \right) = \lambda_0
\end{aligned}$$

Como $d_{i,k} = d_{j,k} = \delta_K^{ij}(k)$ para todo $k \in K$, $d_{p,k} = d_{p,j} = \delta_K^{ij}(k)$ para todo $k \in K$ e $d_{i,j} \leq \delta_K^{ij}(k)$ para todo $k \in K \setminus \{p\}$:

$$\begin{aligned}
& -\lambda_{x_j} \left(x_i - x_j + \sum_{k \in K} \delta_K^{ij}(k)(y_{ik} - y_{jk}) + (s + d_{i,j} - \gamma(K) - 1)y_{ij} \right) = \lambda_0 \Rightarrow \\
& -\lambda_{x_j} \left(x_i - x_j + \sum_{k \in K} \gamma_k(y_{ik} - y_{jk}) + (s + d_{i,j} - \gamma(K) - 1)y_{ij} \right) = \lambda_0
\end{aligned}$$

Como $\lambda_x^T + \lambda_y^T = \lambda_0$ é não trivial, considerando-se $\lambda_{x_j} \neq 0$ e $\frac{\lambda_0}{\lambda_{x_j}} = -s + \gamma(K) + 1$ tem-se que $\lambda_x^T + \lambda_y^T = \lambda_0$ é $-\lambda_{x_j}$ vezes a desigualdade clique dupla, o que permite concluir que a mesma induz a uma faceta de $PO(G, d, s)$ sob as condições especificadas. \square

Além das mostradas, há a possibilidade de adaptação de outras famílias de desigualdades válidas para o modelo de orientação usado no BCP, sendo objeto de estudo de trabalhos futuros.

5.1.2 Método *cut-and-branch*

Para a utilização do modelo baseado em orientação para resolução do BCP, utilizou-se uma estratégia algorítmica do tipo *cut-and-branch* (C&B), envolvendo a geração das desigualdades específicas do problema no nó raiz da árvore e, em seguida, modificando o esquema de solução para um *branch-and-cut* genérico.

No *cut-and-branch* desenvolvido, inicialmente resolve-se a relaxação linear do modelo baseado em orientação (ou seja, considerando as variáveis como contínuas). Se a solução obtida não for inteira, gera-se as desigualdades do tipo clique e clique dupla seguindo um procedimento iterativo, com base nas cliques maximais do grafo de entrada. Quando todas as desigualdades são adicionadas e a solução ainda não é inteira, as variáveis passam a serem consideradas como inteiras (exceto z_{max}) e o modelo resultante

é resolvido por um *branch-and-cut* genérico de modo a obter a solução ótima (ou pelo menos uma inteira, dependendo do que se deseja). O Algoritmo 5.3 mostra o esquema básico deste procedimento.

O modelo baseado em orientação e a estratégia *cut-and-branch* foram implementados usando o resolvidor IBM/ILOG CPLEX 12.6.3 e sua biblioteca *Concert Technology* em C++. Sendo assim, foram utilizados dois critérios de aplicação das desigualdades geradas, como descritos a seguir.

No primeiro critério, denotado por **C&B-BCP-Orient-Completo**, a solução da relaxação linear é verificada de modo a detectar quais desigualdades geradas (tanto clique quanto clique dupla) são violadas pela solução. Cada desigualdade violada é adicionada ao modelo, enquanto as outras são descartadas. A formulação resultante terá, então, as restrições originais e as desigualdades válidas adicionais, além de suas variáveis mudadas para inteiras (exceto z_{max}). O modelo então é resolvido novamente, de modo a obter a solução inteira ótima.

Já no segundo critério, denotado por **C&B-BCP-Orient-Incremental**, ao invés de adicionar as desigualdades direto ao modelo, todas as desigualdades são mantidas em um conjunto, e o modelo é resolvido com as variáveis mudadas para inteiras (exceto z_{max}). Porém, durante a enumeração do *branch-and-cut*, a solução obtida em cada subproblema é verificada, de modo que as desigualdades do conjunto que violarem a solução são inseridas no modelo atual caso ainda não estejam no mesmo. Esta estratégia é realizada por meio do método `IloCplex::addUserCut` do CPLEX.

Como discutido anteriormente, as desigualdades devem ser geradas previamente para que sejam usadas por ambos os critérios. Para obter todas as cliques maximais de um dado grafo, utilizou-se o pacote *QuickCliques* (Eppstein et al., 2010), que contém algoritmos para a enumeração de tais cliques. Optou-se pelo algoritmo proposto por Tomita et al. (2006), no entanto, todos os algoritmos do pacote têm bom desempenho. Destaca-se que, apesar de haver $O(3^{|V|/3})$ cliques maximais em um grafo (Tomita et al., 2006), na prática há muito menos na maioria dos grafos, logo, foi possível obter todas as cliques maximais em menos de um segundo para cada grafo usado.

Algoritmo 5.3 Estrutura básica do *cut-and-branch* para o BCP usando o modelo baseado em orientação.

Entrada: grafo $G = (V, E)$, distâncias $d : E \rightarrow \mathbb{Z}_{\geq 0}$.

```

1: Função CUTANDBRANCH-BCP-ORIENTACAO( $G = (V, E), d$ )
2:    $pl \leftarrow$  MONTARMODELOPL-ORIENTACAO-RELAXLINEAR( $G$ )
3:    $(x, y, z_{\max}) \leftarrow$  RESOLVEDORPL( $lp$ )
4:   se solução  $(x, y, z_{\max})$  não for inteira então
5:      $H \leftarrow$  GERARCLIQUESMAXIMAIS( $G$ )
6:      $conjDesigClique \leftarrow \emptyset$ 
7:      $conjDesigCliqueDupla \leftarrow \emptyset$ 
8:     para cada clique  $K \in V$  faça
9:        $desigClique \leftarrow$  GERAR-DESIGCLIQUE( $pl, (x, y, z_{\max}), i, K$ )
10:       $cjDesigClique \leftarrow cjDesigClique \cup desigClique$ 
11:       $desCliqDupla \leftarrow$  GERAR-DESIGCLIQUEDUPLA( $pl, (x, y, z_{\max}), i, j, K$ )
12:       $cjDesigCliqueDupla \leftarrow cjDesigCliqueDupla \cup desCliqDupla$ 
13:      APLICAR-DESIGUALDADES( $pl, cjDesigClique, cjDesigCliqueDupla$ )
14:       $pim \leftarrow$  MUDARVARIAVEISPARAINTEIRAS( $pl$ )
15:       $(x, y, z_{\max}) \leftarrow$  RESOLVEDORPIM-B&C( $pim$ )
16:   retorne  $(x, y, z_{\max})$ 

```

5.1.2.1 Experimentos computacionais

Com a finalidade de verificar se as desigualdades válidas aplicadas no *cut-and-branch* descrito na seção anterior são capazes de melhorar o desempenho em alguma instância do BCP em relação ao modelo baseado em orientação puro, foram realizados experimentos utilizando instâncias da literatura e implementações dos métodos descritos neste capítulo.

O modelo baseado em orientação e o *cut-and-branch* foram implementados em linguagem C++ e utilizando o resolvidor IBM/ILOG CPLEX 12.6.3, com sua biblioteca *Concert Technology*, conforme citado na seção anterior. O compilador utilizado foi o g++ 5.4. Os experimentos foram executados em um computador com processador Intel Core i7-3770 (3.4GHz), 8GB de RAM e sistema operacional Ubuntu Linux 16.04.2 LTS.

Cada experimento consistiu em aplicar tanto a implementação do modelo baseado em orientação puro (sem desigualdades adicionais) quanto o *cut-and-branch* (combinando o modelo com as desigualdades clique e clique dupla) usando ambos os critérios para cada instância do BCP do conjunto GEOM. Para fins de comparação, utilizou-se também uma implementação do modelo padrão de PI para o BCP (conforme descrito na Subseção 2.2 do Capítulo 2). O tempo limite imposto para cada método aplicado a cada instância foi de 3 horas (10800 segundos).

Para a realização dos experimentos, é necessário também determinar um limite su-

terior U suficientemente forte para $\chi(G, d)$, que será usado no lugar deste valor quando necessário. Para isso, aplicou-se a heurística gulosa baseada na alocação exaustiva por frequências (Sivarajan et al., 1989), também usada nos experimentos descritos na Seção 4.3.

O primeiro conjunto de experimentos envolve a comparação de desempenho entre a formulação padrão do BCP e o modelo baseado em orientação. Ambos foram executados sob as mesmas condições do CPLEX, destacando-se o uso de apenas uma *thread* e a não utilização de métodos para passagem de solução inicial completa ao resolvidor (ao contrário dos experimentos da Seção 4.3), de modo a investigar melhor o comportamento da enumeração em relação a obtenção de limites superiores. Os resultados são dados na Tabela 5.1, na qual pode-se ver que o modelo baseado em orientação é claramente superior à formulação padrão, o que é esperado, uma vez que esta última tem tamanho pseudopolinomial, ao contrário do modelo proposto neste capítulo, que é linear. Entretanto, como discutido na prova do Teorema 5.1, o parâmetro s tem impacto no tamanho do conjunto de soluções factíveis do politopo, de modo que a utilização de um valor muito grande pode degradar o desempenho e levar à instabilidade numérica. Nos resultados obtidos, definiu-se $s = U + 4d_{\max}$.

O segundo conjunto de experimentos consiste em uma verificação empírica do impacto da adição das desigualdades válidas ao modelo baseado em orientação, de acordo com as duas estratégias descritas anteriormente para o *cut-and-branch*. Os resultados obtidos são dados na Tabela 5.2. Das 33 instâncias GEOM, as abordagens *cut-and-branch* obtiveram soluções ótimas mais rapidamente que o modelo de orientação puro em 14 (42,43%) delas. Mais especificamente, C&B-BCP-Orient-Completo foi o melhor em 9 (27,3%) instâncias, enquanto C&B-BCP-Orient-Incremental foi o primeiro a encontrar a solução ótima em 5 (15,15%) instâncias. Tal resultado mostra que as desigualdades válidas são capazes de melhorar o processo de resolução do modelo baseado em orientação. Porém, a formulação pura conseguiu encontrar a solução ótima mais rapidamente ou melhores limites superiores (quando o tempo limite foi excedido para todas as abordagens) em 19 (57,6%) instâncias. Isso é explicado, principalmente, por três fatores. Primeiramente, na abordagem C&B-BCP-Orient-Completo, as desigualdades foram adicionadas diretamente no modelo gerado, o que aumentou seu tamanho de forma bastante significativa, levando a um número maior de variáveis duais e aumentando o tempo de solução

Tabela 5.1: Resultados obtidos pelas implementações dos modelos padrão e baseado em orientação para as instâncias do BCP do conjunto GEOM.

| Instância | V | Modelo padrão | | | | Modelo baseado em orientação | | | |
|-----------|-----|---------------|-----------|-------------|----------------|------------------------------|-----------|--------------|-----------------|
| | | Melhor Sol. | Melhor LI | Gap (%) | Tempo (s) | Melhor Sol. | Melhor LI | Gap (%) | Tempo (s) |
| GEOM20 | 20 | 21 | 21 | 0.00 | 0.47 | 21 | 21 | 0.00 | 0.02 |
| GEOM20a | | 20 | 20 | 0.00 | 2.03 | 20 | 20 | 0.00 | 0.05 |
| GEOM20b | | 13 | 13 | 0.00 | 0.08 | 13 | 13 | 0.00 | 0.02 |
| GEOM30 | 30 | 28 | 28 | 0.00 | 0.78 | 28 | 28 | 0.00 | 0.15 |
| GEOM30a | | 27 | 27 | 0.00 | 3.58 | 27 | 27 | 0.00 | 0.51 |
| GEOM30b | | 26 | 26 | 0.00 | 1.20 | 26 | 26 | 0.00 | 0.49 |
| GEOM40 | 40 | 28 | 28 | 0.00 | 1.10 | 28 | 28 | 0.00 | 0.35 |
| GEOM40a | | 37 | 37 | 0.00 | 505.66 | 37 | 37 | 0.00 | 5.90 |
| GEOM40b | | 33 | 33 | 0.00 | 179.09 | 33 | 33 | 0.00 | 51.90 |
| GEOM50 | 50 | 28 | 28 | 0.00 | 3.85 | 28 | 28 | 0.00 | 11.59 |
| GEOM50a | | 50 | 50 | 0.00 | 8931.83 | 50 | 50 | 0.00 | 34.12 |
| GEOM50b | | ≤ 35 | 34 | 3.00 | 10800.00 | 35 | 35 | 0.00 | 159.32 |
| GEOM60 | 60 | 33 | 33 | 0.00 | 155.56 | 33 | 33 | 0.00 | 14.35 |
| GEOM60a | | ≤ 56 | 32.13 | 43.00 | 10800.00 | 50 | 50 | 0.00 | 680.90 |
| GEOM60b | | ≤ 51 | 14 | 73.00 | 10800.00 | 41 | 41 | 0.00 | 1191.01 |
| GEOM70 | 70 | 38 | 38 | 0.00 | 1337.17 | 38 | 38 | 0.00 | 7212.36 |
| GEOM70a | | ≤ 67 | 5 | 93.00 | 10800.00 | 61 | 61 | 0.00 | 701.51 |
| GEOM70b | | None | 7 | ∞ | 10800.00 | 47 | 47 | 0.00 | 117.80 |
| GEOM80 | 80 | 41 | 41 | 0.00 | 5383.91 | 41 | 41 | 0.00 | 1023.54 |
| GEOM80a | | ≤ 73 | 2.176 | 97.00 | 10800.00 | 63 | 63 | 0.00 | 7079.91 |
| GEOM80b | | None | 2.0272 | ∞ | 10800.00 | 60 | 60 | 0.00 | 918.16 |
| GEOM90 | 90 | ≤ 48 | 8.367 | 83.00 | 10800.00 | 46 | 46 | 0.00 | 39.20 |
| GEOM90a | | ≤ 81 | 2.093 | 97.00 | 10800.00 | ≤ 64 | 38 | 41.00 | 10800.00 |
| GEOM90b | | None | 2 | ∞ | 10800.00 | ≤ 71 | 50 | 30.00 | 10800.00 |
| GEOM100 | 100 | ≤ 55 | 5 | 91.00 | 10800.00 | 50 | 50 | 0.00 | 63.00 |
| GEOM100a | | ≤ 97 | 1.404 | 99.00 | 10800.00 | ≤ 70 | 47 | 33.00 | 10800.00 |
| GEOM100b | | None | 2 | ∞ | 10800.00 | ≤ 73 | 40 | 45.00 | 10800.00 |
| GEOM110 | 110 | ≤ 58 | 2.287 | 96.00 | 10800.00 | ≤ 50 | 49 | 2.00 | 10800.00 |
| GEOM110a | | ≤ 98 | 2 | 98.00 | 10800.00 | ≤ 74 | 33 | 55.00 | 10800.00 |
| GEOM110b | | None | 2 | ∞ | 10800.00 | ≤ 79 | 49 | 38.00 | 10800.00 |
| GEOM120 | 120 | ≤ 64 | 2.276 | 96.00 | 10800.00 | 59 | 59 | 0.00 | 570.45 |
| GEOM120a | | ≤ 108 | 1.46 | 99.00 | 10800.00 | ≤ 85 | 49 | 42.00 | 10800.00 |
| GEOM120b | | None | 1.4162 | ∞ | 10800.00 | ≤ 90 | 32 | 64.00 | 10800.00 |

para cada relaxação linear. O segundo fato é que todas as desigualdades foram geradas do conjunto de cliques maximais, de modo que não há algoritmos específicos de separação, o que aumenta o tempo de geração das desigualdades, além de impactar nas de tipo clique dupla, pois tais cliques maximais não levam necessariamente em conta situações onde alguns vértices são adjacentes apenas a um dos vértices da aresta selecionada. Por fim, o terceiro fato é que, devido às condições muito específicas para que as desigualdades induzam a facetas, esta característica nem sempre é válida para a maioria das instâncias do BCP, como as GEOM.

Apesar disso, o potencial das desigualdades para melhorar algoritmos baseados em planos de corte permanece válido. Dentre todos os resultados da Tabela 5.2 destaca-

Tabela 5.2: Resultados obtidos pelas implementações do modelo baseado em orientação puro e os algoritmos *cut-and-branch* para as instâncias do BCP do conjunto GEOM.

| Instância | V | Modelo baseado em orientação puro | | | | | | C&B-BCP-Orient-Completo | | | | | | C&B-BCP-Orient-Incremental | | | | | |
|-----------|-----|-----------------------------------|-----------|--------------|-----------------|-------------|-----------|-------------------------|------------------|---------------|-----------------|-------------|-----------|----------------------------|------------------|----------------|-----------------|--|--|
| | | Melhor Sol. | Melhor LI | Gap (%) | Tempo (s) | Melhor Sol. | Melhor LI | Gap (%) | Tempo Desig. (s) | Tempo PI (s) | Tempo Total (s) | Melhor Sol. | Melhor LI | Gap (%) | Tempo Desig. (s) | Tempo PI (s) | Tempo Total (s) | | |
| GEOM20 | 20 | 21 | 21 | 0.00 | 0.02 | 21 | 21 | 0.00 | 0.00 | 0.03 | 0.04 | 21 | 21 | 0.00 | 0.01 | 0.05 | 0.06 | | |
| GEOM20a | | 20 | 20 | 0.00 | 0.05 | 20 | 20 | 0.00 | 0.01 | 0.18 | 0.19 | 20 | 20 | 0.00 | 0.03 | 0.13 | 0.16 | | |
| GEOM20b | | 13 | 13 | 0.00 | 0.02 | 13 | 13 | 0.00 | 0.01 | 0.05 | 0.06 | 13 | 13 | 0.00 | 0.02 | 0.07 | 0.09 | | |
| GEOM30 | 30 | 28 | 28 | 0.00 | 0.15 | 28 | 28 | 0.00 | 0.01 | 0.21 | 0.23 | 28 | 28 | 0.00 | 0.04 | 0.15 | 0.20 | | |
| GEOM30a | | 27 | 27 | 0.00 | 0.51 | 27 | 27 | 0.00 | 0.03 | 0.29 | 0.32 | 27 | 27 | 0.00 | 0.09 | 0.27 | 0.36 | | |
| GEOM30b | | 26 | 26 | 0.00 | 0.49 | 26 | 26 | 0.00 | 0.02 | 0.13 | 0.15 | 25 | 26 | 0.00 | 0.09 | 0.19 | 0.28 | | |
| GEOM40 | 40 | 28 | 28 | 0.00 | 0.35 | 28 | 28 | 0.00 | 0.02 | 0.21 | 0.23 | 28 | 28 | 0.00 | 0.08 | 0.20 | 0.28 | | |
| GEOM40a | | 37 | 37 | 0.00 | 5.90 | 37 | 37 | 0.00 | 0.06 | 1.29 | 1.35 | ≤ 37 | 35 | 5.00 | 10800.00 | 10800.50 | | | |
| GEOM40b | | 33 | 33 | 0.00 | 51.90 | 33 | 33 | 0.00 | 0.08 | 0.89 | 0.97 | 33 | 33 | 0.00 | 0.43 | 1.07 | 1.50 | | |
| GEOM50 | 50 | 28 | 28 | 0.00 | 11.59 | 28 | 28 | 0.00 | 0.05 | 0.48 | 0.54 | 28 | 28 | 0.00 | 0.24 | 0.62 | 0.86 | | |
| GEOM50a | | 50 | 50 | 0.00 | 34.12 | 50 | 50 | 0.00 | 0.18 | 18.05 | 18.24 | 50 | 50 | 0.00 | 0.98 | 15.61 | 16.59 | | |
| GEOM50b | | 35 | 35 | 0.00 | 159.32 | 35 | 35 | 0.00 | 0.19 | 174.05 | 174.24 | 35 | 35 | 0.00 | 1.39 | 83.78 | 85.17 | | |
| GEOM60 | 60 | 33 | 33 | 0.00 | 14.35 | 33 | 33 | 0.00 | 0.08 | 715.62 | 715.70 | 33 | 33 | 0.00 | 0.60 | 255.09 | 255.69 | | |
| GEOM60a | | 50 | 50 | 0.00 | 680.90 | 50 | 50 | 0.00 | 0.31 | 106.43 | 106.74 | 50 | 50 | 0.00 | 2.68 | 62.75 | 65.44 | | |
| GEOM60b | | 41 | 41 | 0.00 | 1191.01 | ≤ 42 | 39 | 7.00 | 0.47 | 10800.00 | 10800.47 | 41 | 41 | 0.00 | 4.33 | 6391.15 | 6395.48 | | |
| GEOM70 | 70 | 38 | 38 | 0.00 | 7212.36 | 38 | 38 | 0.00 | 0.20 | 2.32 | 2.52 | 38 | 38 | 0.00 | 1.68 | 2.19 | 3.87 | | |
| GEOM70a | | 61 | 61 | 0.00 | 701.51 | 61 | 61 | 0.00 | 0.59 | 1355.45 | 1356.04 | 61 | 61 | 0.00 | 6.33 | 715.02 | 721.35 | | |
| GEOM70b | | 47 | 47 | 0.00 | 117.80 | ≤ 48 | 40 | 17.00 | 0.64 | 10800.00 | 10800.64 | ≤ 49 | 38 | 22.00 | 9.48 | 10800.00 | 10809.49 | | |
| GEOM80 | 80 | 41 | 41 | 0.00 | 1023.54 | 41 | 41 | 0.00 | 0.38 | 1575.27 | 1575.66 | 41 | 41 | 0.00 | 3.33 | 1003.32 | 1006.65 | | |
| GEOM80a | | 63 | 63 | 0.00 | 7079.91 | 63 | 63 | 0.00 | 1.20 | 5575.55 | 5576.75 | 63 | 63 | 0.00 | 15.05 | 4465.78 | 4480.84 | | |
| GEOM80b | | 60 | 60 | 0.00 | 918.16 | ≤ 62 | 42 | 32.00 | 1.49 | 10800.00 | 10801.49 | ≤ 62 | 36.749 | 41.00 | 20.69 | 10800.00 | 10820.69 | | |
| GEOM90 | 90 | 46 | 46 | 0.00 | 39.20 | 46 | 46 | 0.00 | 0.50 | 14.04 | 14.54 | 46 | 46 | 0.00 | 6.58 | 15.74 | 22.32 | | |
| GEOM90a | | ≤ 64 | 38 | 41.00 | 10800.00 | ≤ 67 | 42.932 | 36.00 | 1.91 | 10800.00 | 10801.91 | ≤ 67 | 47.558 | 29.00 | 31.58 | 10800.00 | 10831.58 | | |
| GEOM90b | | ≤ 71 | 50 | 30.00 | 10800.00 | ≤ 76 | 44 | 42.00 | 2.58 | 10800.00 | 10802.58 | ≤ 75 | 46.164 | 38.00 | 40.35 | 10800.00 | 10840.35 | | |
| GEOM100 | 100 | 50 | 50 | 0.00 | 63.00 | 50 | 50 | 0.00 | 0.75 | 115.08 | 115.83 | 50 | 50 | 0.00 | 11.88 | 307.88 | 319.76 | | |
| GEOM100a | | ≤ 70 | 47 | 33.00 | 10800.00 | ≤ 77 | 38.321 | 50.00 | 3.61 | 10800.00 | 10803.61 | ≤ 76 | 42.088 | 45.00 | 60.80 | 10800.00 | 10860.80 | | |
| GEOM100b | | ≤ 73 | 40 | 45.00 | 10800.00 | ≤ 80 | 37.028 | 54.00 | 6.36 | 10800.00 | 10806.36 | ≤ 80 | 39.217 | 51.00 | 82.78 | 10800.00 | 10882.78 | | |
| GEOM110 | 110 | ≤ 50 | 49 | 0.02 | 10800.00 | 50 | 50 | 0.00 | 1.19 | 565.37 | 566.58 | ≤ 51 | 50 | 2.00 | 17.80 | 10800.00 | 10817.80 | | |
| GEOM110a | | ≤ 74 | 33 | 55.00 | 10800.00 | ≤ 79 | 39.033 | 51.00 | 6.59 | 10800.00 | 10806.59 | ≤ 81 | 40.361 | 50.00 | 95.03 | 10800.00 | 10895.03 | | |
| GEOM110b | | ≤ 79 | 49 | 38.00 | 10800.00 | ≤ 84 | 39.592 | 53.00 | 8.40 | 10800.00 | 10808.40 | ≤ 86 | 40.917 | 52.00 | 134.31 | 10800.00 | 109234.31 | | |
| GEOM120 | 120 | 59 | 59 | 0.00 | 570.45 | 59 | 59 | 0.00 | 1.94 | 3570.58 | 3572.53 | 59 | 59 | 0.00 | 32.10 | 3074.84 | 3106.95 | | |
| GEOM120a | | ≤ 85 | 49 | 42.00 | 10800.00 | ≤ 90 | 40.614 | 55.00 | 8.91 | 10800.00 | 10808.91 | ≤ 96 | 37.053 | 61.00 | 199.13 | 10800.00 | 10999.13 | | |
| GEOM120b | | ≤ 90 | 32 | 64.00 | 10800.00 | ≤ 94 | 37.31 | 60.00 | 27.35 | 10800.00 | 10827.35 | ≤ 95 | 39.358 | 59.00 | 240.54 | 10800.00 | 11040.54 | | |

Tabela 5.3: Cortes genéricos gerados pelo CPLEX em cada experimento.

| Instância | V | Modelo baseado em orientação puro | | | | | | C&B-BCP-Orient-Completo | | | | | | C&B-BCP-Orient-Incremental | | | | | | |
|-----------|-----|-----------------------------------|------|------------|------------|----------|-----------------------|-------------------------|------|------------|------------|----------|-----------------------|----------------------------|------|------------|------------|----------|-----------------------|-----|
| | | Cover | Flow | Lift&Proj. | Impl. Bnd. | MI-Round | θ -Half Gomory | Cover | Flow | Lift&Proj. | Impl. Bnd. | MI-Round | θ -Half Gomory | Cover | Flow | Lift&Proj. | Impl. Bnd. | MI-Round | θ -Half Gomory | |
| GEOM20 | 20 | 0 | 0 | 0 | 23 | 4 | 0 | 0 | 0 | 2 | 5 | 1 | 2 | 9 | 0 | 0 | 0 | 10 | 5 | 5 |
| GEOM20a | | 0 | 0 | 0 | 47 | 7 | 4 | 0 | 0 | 1 | 11 | 1 | 5 | 11 | 0 | 0 | 0 | 4 | 10 | 6 |
| GEOM20b | | 0 | 0 | 0 | 4 | 0 | 0 | 0 | 0 | 3 | 10 | 1 | 1 | 5 | 0 | 0 | 0 | 4 | 14 | 8 |
| GEOM30 | 30 | 0 | 0 | 0 | 71 | 23 | 8 | 0 | 0 | 5 | 6 | 0 | 8 | 20 | 0 | 0 | 0 | 9 | 13 | 12 |
| GEOM30a | | 0 | 0 | 0 | 137 | 35 | 6 | 4 | 0 | 0 | 10 | 4 | 14 | 22 | 0 | 0 | 0 | 5 | 23 | 25 |
| GEOM30b | | 0 | 7 | 0 | 24 | 24 | 5 | 11 | 0 | 0 | 6 | 4 | 5 | 24 | 0 | 0 | 0 | 4 | 13 | 6 |
| GEOM40 | 40 | 0 | 9 | 0 | 47 | 49 | 9 | 4 | 0 | 0 | 6 | 0 | 7 | 20 | 0 | 0 | 0 | 14 | 24 | 18 |
| GEOM40a | | 1 | 20 | 10 | 149 | 171 | 22 | 23 | 0 | 0 | 7 | 29 | 5 | 39 | 0 | 0 | 0 | 45 | 84 | 90 |
| GEOM40b | | 0 | 24 | 6 | 93 | 119 | 15 | 10 | 0 | 0 | 2 | 58 | 1 | 26 | 0 | 0 | 0 | 18 | 25 | 19 |
| GEOM50 | 50 | 0 | 11 | 4 | 131 | 98 | 9 | 13 | 0 | 0 | 6 | 13 | 1 | 40 | 0 | 0 | 0 | 11 | 19 | 28 |
| GEOM50a | | 1 | 23 | 14 | 239 | 119 | 24 | 25 | 0 | 0 | 4 | 113 | 2 | 62 | 0 | 0 | 5 | 46 | 39 | 59 |
| GEOM50b | | 0 | 10 | 2 | 287 | 119 | 13 | 19 | 0 | 0 | 0 | 281 | 14 | 81 | 0 | 0 | 0 | 81 | 62 | 65 |
| GEOM60 | 60 | 0 | 14 | 5 | 19 | 79 | 11 | 17 | 0 | 0 | 12 | 245 | 16 | 76 | 0 | 0 | 0 | 60 | 47 | 32 |
| GEOM60a | | 4 | 84 | 17 | 599 | 509 | 82 | 40 | 0 | 0 | 0 | 129 | 12 | 62 | 0 | 0 | 12 | 71 | 45 | 93 |
| GEOM60b | | 1 | 34 | 8 | 731 | 374 | 63 | 49 | 0 | 0 | 8 | 287 | 6 | 95 | 2 | 0 | 8 | 181 | 85 | 101 |
| GEOM70 | 70 | 2 | 14 | 6 | 537 | 346 | 30 | 38 | 0 | 0 | 0 | 45 | 10 | 17 | 0 | 0 | 0 | 15 | 20 | 61 |
| GEOM70a | | 4 | 53 | 10 | 815 | 430 | 73 | 51 | 0 | 0 | 3 | 267 | 4 | 61 | 1 | 0 | 5 | 129 | 60 | 87 |
| GEOM70b | | 0 | 75 | 12 | 257 | 540 | 81 | 63 | 0 | 0 | 0 | 349 | 3 | 84 | 1 | 0 | 15 | 198 | 56 | 119 |
| GEOM80 | 80 | 1 | 32 | 11 | 523 | 351 | 64 | 30 | 0 | 0 | 2 | 294 | 25 | 32 | 0 | 0 | 7 | 82 | 58 | 149 |
| GEOM80a | | 52 | 263 | 40 | 1600 | 1674 | 175 | 86 | 1 | 0 | 2 | 579 | 31 | 80 | 6 | 0 | 9 | 131 | 129 | 190 |
| GEOM80b | | 16 | 117 | 17 | 617 | 856 | 150 | 52 | 0 | 0 | 2 | 567 | 40 | 90 | 0 | 0 | 4 | 247 | 159 | 116 |
| GEOM90 | 90 | 5 | 31 | 7 | 187 | 300 | 52 | 38 | 0 | 0 | 0 | 130 | 9 | 38 | 0 | 0 | 9 | 57 | 15 | 57 |
| GEOM90a | | 55 | 384 | 49 | 778 | 2429 | 345 | 56 | 5 | 0 | 0 | 358 | 21 | 70 | 10 | 0 | 5 | 198 | 131 | 83 |
| GEOM90b | | 46 | 203 | 16 | 849 | 1670 | 265 | 66 | 5 | 0 | 2 | 607 | 17 | 87 | 8 | 0 | 0 | 117 | 142 | 100 |
| GEOM100 | 100 | 9 | 87 | 9 | 951 | 821 | 109 | 45 | 0 | 0 | 3 | 229 | 10 | 55 | 1 | 0 | 9 | 145 | 102 | 235 |
| GEOM100a | | 35 | 279 | 14 | 1076 | 2014 | 220 | 54 | 8 | 0 | 3 | 633 | 30 | 82 | 37 | 0 | 0 | 136 | 117 | 100 |
| GEOM100b | | 103 | 556 | 9 | 2745 | 3656 | 359 | 79 | 15 | 0 | 0 | 632 | 38 | 75 | 16 | 0 | 0 | 130 | 150 | 157 |
| GEOM110 | 110 | 17 | 189 | 10 | 1509 | 1261 | 162 | 62 | 0 | 0 | 4 | 242 | 18 | 88 | 0 | 0 | 11 | 126 | 80 | 116 |
| GEOM110a | | 131 | 722 | 13 | 3014 | 4378 | 453 | 103 | 15 | 0 | 2 | 282 | 31 | 71 | 44 | 0 | 0 | 158 | 137 | 64 |
| GEOM110b | | 63 | 335 | 7 | 1616 | 2199 | 261 | 82 | 17 | 0 | 1 | 384 | 31 | 92 | 35 | 0 | 0 | 175 | 163 | 79 |
| GEOM120 | 120 | 47 | 113 | 25 | 1351 | 877 | 178 | 42 | 3 | 0 | 6 | 223 | 13 | 93 | 7 | 0 | 11 | 172 | 63 | 127 |
| GEOM120a | | 11 | 275 | 12 | 1772 | 2121 | 312 | 76 | 76 | 0 | 0 | 257 | 101 | 82 | 169 | 0 | 0 | 168 | 369 | 231 |
| GEOM120b | | 83 | 645 | 4 | 1848 | 3272 | 377 | 63 | 41 | 0 | 0 | 419 | 38 | 77 | 102 | 0 | 0 | 94 | 252 | 97 |

se que, para a instância GEOM40b, o modelo de orientação puro (sem as desigualdades adicionais) levou 51,9s para encontrar a solução ótima, enquanto C&B-BCP-Orient-Completo usou 0,97s (5350,5% mais rápido) e C&B-BCP-Orient-Incremental precisou de 1,5s (3460% mais rápido). Além disso, para a instância GEOM60a, o modelo de orientação puro utilizou 680,9s para achar a solução ótima, mais que C&B-BCP-Orient-Completo, que levou 106,74s (638% mais rápido) e C&B-BCP-Orient-Incremental, que usou 65,44s (1040,5% mais rápido). As maiores melhorias obtidas no *cut-and-branch* ocorreram na instância GEOM70, para a qual o modelo puro usou 7212,36s para encontrar a solução ótima, enquanto C&B-BCP-Orient-Completo levou 2,12s (340205,7% mais rápido) e C&B-BCP-Orient-Incremental usou 3,87s (104983,4% mais rápido).

Por fim, mensurou-se também a quantidade de cortes genéricos gerados pelo CPLEX quando as variáveis são mudadas para inteiras, levando em conta que todos os parâmetros do resolvidor são os mesmos para todos os experimentos. A Tabela 5.3 apresenta tais estatísticas. Pode-se observar que o modelo puro usa mais cortes do tipo *flow* (fluxo) e *mixed-integer rounding* (arredondamento inteiro misto) em comparação com as abordagens *cut-and-branch*. Para instâncias menores, ambos C&B-BCP-Orient-Completo e C&B-BCP-Orient-Incremental não geram cortes *cover* (cobertura), mas a medida que o tamanho da instância aumenta, alguns cortes deste tipo são gerados. Um comportamento similar é observado para cortes *flow* no modelo puro, entretanto, nenhum deste tipo é gerado no *cut-and-branch*. Os outros tipos de cortes seguem um padrão similar de geração em ambas as abordagens *cut-and-branch* e o modelo baseado em orientação puro, onde C&B-BCP-Orient-Completo usa mais cortes *implied-bound* (limite implícito), enquanto C&B-BCP-Orient-Incremental usa mais cortes *mixed-integer rounding* e *zero-half*.

5.2 Modelo baseado em distâncias

Como citado anteriormente, o modelo baseado em orientação foi originalmente proposto para o problema de alocação de canais com minimização de interferência (MI-CAP), sendo também usado no cenário onde deve-se minimizar a interferência de canais (cores) adjacentes. Para este segundo caso, Delle-Donne (2016) propôs uma variação do modelo baseado em orientação, agora dita ser baseada em distâncias, onde as variáveis indicam a diferença entre cores alocadas a cada par de vértices, ao invés das cores dos vértices em

si.

Seguindo essa formulação de Delle-Donne (2016), bem como o modelo baseado em orientação para o BCP descrito no capítulo anterior, desenvolveu-se uma adaptação preliminar da formulação baseada em distâncias para o problema de coloração clássica (VCP), onde estudou-se o poliedro definido pela formulação com as soluções do VCP, porém sem a determinação de uma função objetivo. Ressalta-se que tal formulação também pode ser aplicada ao Problema de Coloração Mínima em Geometria de Distâncias Uniformes Iguais (MinGEQ-CDGP-Unif), descrito na Seção 3.2.1 do Capítulo 3, devido a sua equivalência com o VCP.

A formulação baseada em distâncias usa os seguintes conjuntos de variáveis:

- q_{ij} = diferença entre cores atribuídas a i e j (ou seja, $q_{ij} = x(i) - x(j)$).
- $y_{ij} = \begin{cases} 1 & \text{se } q_{ij} < 0; \\ 0 & \text{caso contrário.} \end{cases}$

Com tais variáveis, sendo $|C|$ um limite superior para o número cromático (ou seja, tem-se um conjunto de cores $C = \{1, 2, \dots, |C|\}$), define-se o seguinte politopo:

$$q_{ij} = q_{ik} + q_{kj} \quad \forall i, j, k \in V, i < k < j \quad (5.11)$$

$$q_{ij} \geq 1 - |C|y_{ij} \quad \forall (i, j) \in E, i < j \quad (5.12)$$

$$q_{ij} \leq -1 + |C|(1 - y_{ij}) \quad \forall (i, j) \in E, i < j \quad (5.13)$$

$$q_{ij} \in \{-|C| + 1, \dots, |C| - 1\} \quad \forall i, j \in V, i < j \quad (5.14)$$

$$y_{ij} \in \{0, 1\} \quad \forall (i, j) \in E, i < j \quad (5.15)$$

As restrições (5.11) refletem a separação de cores entre os vértices, inclusive entre os não adjacentes entre si, de acordo com a interpretação das variáveis x_{ij} . Os conjuntos de restrições (5.12) e (5.13) induzem à orientação do grafo de acordo com as cores atribuídas. Por fim, (5.14) e (5.15) referem-se a integralidade e limites das variáveis.

A formulação acima segue o conceito de 0-esferas utilizadas nos modelos de colorações com distâncias descritos no Capítulo 3. Desse modo, cada variável corresponde a uma 0-esfera, de modo que o módulo do valor da mesma indica o comprimento do segmento de reta correspondente. Um exemplo de instância cuja solução é codificada pela

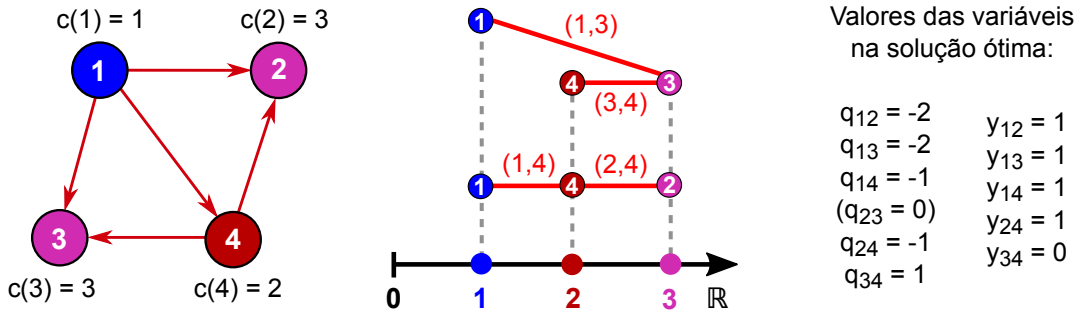


Figura 5.4: Exemplo de instância de coloração clássica (VCP) cuja solução é codificada de acordo com o modelo baseado em distâncias, sendo também mostrada pela representação em 0-esferas. No grafo, também é mostrada a orientação induzida.

formulação acima, bem como sua representação por 0-esferas, pode ser visto na Figura 5.4.

O conjunto de restrições 5.11 é composto de $O(|V|^3)$ equações, porém, o mesmo pode ser substituído por um conjunto de $O(|V|^2)$ equações, como visto a seguir.

Teorema 5.6. *Se $V = \{1, \dots, |V|\}$, então as restrições (5.11) equivalem a:*

$$q_{i,i+1} + q_{i+1,i+2} = q_{i,i+2} \quad \forall i \in V, i \leq |V| - 2 \quad (5.16)$$

$$q_{ij} + q_{i+1,j-1} = q_{i,j-1} + q_{i+1,j} \quad \forall i, j \in V, i \leq |V| - 3, i + 3 \leq j \quad (5.17)$$

Prova. A demonstração a seguir é baseada na prova do Teorema 2.3.1 de Delle-Donne (2016). O enunciado do teorema equivale a dizer que, para $V = \{1, \dots, n\}$, tem-se que as restrições (5.11) são válidas se, e somente se, as restrições (5.16) e (5.17) também forem. Assim, deve-se proceder com uma prova em duas partes, como feito a seguir.

(\rightarrow) Considere um vetor $q \in \mathbb{R}^{\frac{n(n-1)}{2}}$ para o qual as restrições (5.11) são respeitadas. É possível observar que (5.11) e (5.16) são iguais se $k = i + 1$ e $j = i + 2$, como visto a seguir:

$$(5.11): q_{ij} = q_{ik} + q_{kj} \Rightarrow q_{ik} + q_{kj} = q_{ij} \xrightarrow{k=i+1, j=i+2} q_{i,i+1} + q_{i+1,i+2} = q_{i,i+2}$$

$$(5.16): q_{i,i+1} + q_{i+1,i+2} = q_{i,i+2}$$

Assim, q satisfaz (5.16). Considere agora dois vértices a e b tais que $1 \leq a \leq |V| - 3$ e $a + 3 \leq b \leq |V|$. Desse modo, tem-se as duas seguintes expressões, ambas derivadas de (5.11):

$$\begin{aligned}
q_{ij} = q_{ik} + q_{kj} &\xrightarrow{i=a, k=b-1, j=b} q_{ab} = q_{a,b-1} + q_{b-1,b} \\
q_{ij} = q_{ik} + q_{kj} &\xrightarrow{i=a+1, j=b-1, k=b} q_{a+1,b} = q_{a+1,b-1} + q_{b-1,b}
\end{aligned}$$

Subtraindo-se as duas expressões e reorganizando o resultado, obtém-se:

$$\begin{array}{r}
q_{ab} = q_{a,b-1} + q_{b-1,b} \\
- \quad q_{a+1,b} = q_{a+1,b-1} + q_{b-1,b} \\
\hline
q_{ab} - q_{a+1,b} = q_{a,b-1} - q_{a+1,b-1} \\
\Rightarrow q_{ab} + q_{a+1,b-1} = q_{a+1,b} + q_{a,b-1}
\end{array}$$

O resultado é equivalente à expressão 5.17, bastando efetuar as substituições de variáveis $a = i$ e $b = j$. Assim, q também satisfaz tal conjunto de restrições.

(\leftarrow) Considere agora um vetor $q \in \mathbb{R}^{\frac{n(n-1)}{2}}$ para o qual as restrições (5.16) e (5.17) são respeitadas. Será mostrado a seguir que q também satisfaz (5.11). Sejam i, j, k vértices do grafo, de modo que $1 \leq i, k, j \leq |V|$ e $i < k < j$. Alguns casos serão considerados a seguir.

- Caso 1: $k = i + 1$ e $j = k + 1$ (ou seja, $j = i + 2$). Neste caso, tem-se que (5.16) e (5.11) são equivalentes, como já mostrado anteriormente e replicado aqui:

$$\begin{aligned}
(5.16): q_{i,i+1} + q_{i+1,i+2} = q_{i,i+2} &\xrightarrow{i+1=k, i+2=j} q_{ij} = q_{ik} + q_{kj} \\
(5.11): q_{ij} = q_{ik} + q_{kj} &
\end{aligned}$$

Como (5.16) é válido, então (5.11) também será neste caso.

- Caso 2: $k = i + 1$ e $j > k + 1$. Iniciando de (5.16), soma-se a expressão com (5.17) várias vezes, de modo que, na primeira vez, substitui-se j por $k + 2$, e nas próximas somas incrementa-se tal expressão em uma unidade, seguindo então $k + 3, k + 4, \dots$,

até o valor j selecionado, como feito a seguir.

$$\begin{aligned}
 & \cancel{q_{k-1,k+1}} = q_{k-1,k} + \cancel{q_{k,k+1}} \\
 + & \quad \cancel{q_{k-1,k+2}} + \cancel{q_{k,k+1}} = \cancel{q_{k-1,k+1}} + \cancel{q_{k,k+2}} \\
 + & \quad \cancel{q_{k-1,k+3}} + \cancel{q_{k,k+2}} = \cancel{q_{k-1,k+2}} + \cancel{q_{k,k+3}} \\
 + & \quad \cancel{q_{k-1,k+4}} + \cancel{q_{k,k+3}} = \cancel{q_{k-1,k+3}} + \cancel{q_{k,k+4}} \\
 + & \quad \dots \\
 + & \quad q_{k-1,j} + \cancel{q_{k,j-1}} = \cancel{q_{k-1,j-1}} + q_{k,j} \\
 \hline
 & \quad \quad \quad q_{k-1,j} = q_{k-1,k} + q_{k,j} \\
 \xrightarrow{k=i+1} & \quad \quad \quad q_{ij} = q_{ik} + q_{kj}
 \end{aligned}$$

O resultado obtido é exatamente igual a 5.11, o que leva a sua validade.

- Caso 3: $k > i + 1$. Para este caso, partindo de (5.17) com j trocado por $k + 1$, deve-se efetuar sucessivas somas com a mesma expressão, mas trocando j por $k + 2, k + 3, \dots$, até o valor j original, como feito a seguir:

$$\begin{aligned}
 & \cancel{q_{i,k+1}} + q_{i+1,k} = q_{ik} + \cancel{q_{i+1,k+1}} \\
 + & \quad \cancel{q_{i,k+2}} + \cancel{q_{i+1,k+1}} = \cancel{q_{i,k+1}} + \cancel{q_{i+1,k+2}} \\
 + & \quad \cancel{q_{i,k+3}} + \cancel{q_{i+1,k+2}} = \cancel{q_{i,k+2}} + \cancel{q_{i+1,k+3}} \\
 + & \quad \dots \\
 + & \quad q_{ij} + \cancel{q_{i+1,j-1}} = \cancel{q_{i,j-1}} + q_{i+1,j} \\
 \hline
 & \quad \quad \quad q_{ij} + q_{i+1,k} = q_{ik} + q_{i+1,j}
 \end{aligned}$$

Em seguida, deve-se efetuar, com o resultado obtido, novas sucessivas somas de (5.17), agora trocando i por $i + 1$ (em todas as somas) e j por $k + 1, k + 2, k + 3, \dots$,

até o valor j original, como feito a seguir:

$$\begin{aligned}
& q_{ij} + \cancel{q_{i+1,k}} = q_{ik} + \cancel{q_{i+1,j}} \\
+ & \quad \cancel{q_{i+1,k+1}} + q_{i+2,k} = \cancel{q_{i+1,k}} + \cancel{q_{i+2,k+1}} \\
+ & \quad \cancel{q_{i+1,k+2}} + \cancel{q_{i+2,k+1}} = \cancel{q_{i+1,k+1}} + \cancel{q_{i+2,k+2}} \\
+ & \quad \cancel{q_{i+1,k+3}} + \cancel{q_{i+2,k+2}} = \cancel{q_{i+1,k+2}} + \cancel{q_{i+2,k+3}} \\
+ & \quad \dots \\
+ & \quad \cancel{q_{i+1,j}} + \cancel{q_{i+2,j-1}} = \cancel{q_{i+1,j-1}} + q_{i+2,j} \\
\hline
& q_{ij} + q_{i+2,k} = q_{ik} + q_{i+2,j}
\end{aligned}$$

O processo deve ser repetido novamente, sempre somando o resultado do último somatório com novas somas de (5.17), incrementando i em uma unidade em relação ao último valor considerado até $k - 2$ e, para cada variação em i , mudando j por $k + 1, k + 2, k + 3, \dots$, até o valor j original. Seguindo o padrão acima, observa-se que, para $i + \ell$ (onde ℓ é um número natural), o somatório resultante é

$$q_{ij} + q_{i+\ell+1,k} = q_{ik} + q_{i+\ell+1,j}$$

Assim, para a troca de i por $k - 2$ (ou seja, $\ell = k - i - 2$), tem-se:

$$q_{ij} + q_{k-1,k} = q_{ik} + q_{k-1,j}$$

Somando-se esta expressão com a restrição 5.16, mas substituindo a variável i da mesma por $k - 1$ (observando que o i desta **não é**, necessariamente, o mesmo das somas realizadas até o momento, já que a restrição será válida para qualquer $i < k < j$), obtém-se:

$$\begin{aligned}
& q_{ij} + \cancel{q_{k-1,k}} = q_{ik} + \cancel{q_{k-1,j}} \\
+ & \quad \cancel{q_{k-1,j}} = \cancel{q_{k-1,k}} + q_{kj} \\
\hline
& q_{ij} = q_{ik} + q_{kj}
\end{aligned}$$

Que é exatamente a expressão (5.11).

A partir das demonstrações acima, tem-se provada a equivalência entre as restrições (5.11) e as expressões (5.16) e (5.17).

□

Seguindo o Teorema 5.6, então, a formulação baseada em distâncias para o VCP pode ser reescrita da seguinte forma:

$$q_{i,i+1} + q_{i+1,i+2} = q_{i,i+2} \quad \forall i \in V, i \leq |V| - 2 \quad (5.18)$$

$$q_{ij} + q_{i+1,j-1} = q_{i,j-1} + q_{i+1,j} \quad \forall i, j \in V, i \leq |V| - 3, i + 3 \leq j \quad (5.19)$$

$$q_{ij} \geq 1 - |C|y_{ij} \quad \forall (i, j) \in E, i < j \quad (5.20)$$

$$q_{ij} \leq -1 + |C|(1 - y_{ij}) \quad \forall (i, j) \in E, i < j \quad (5.21)$$

$$q_{ij} \in \{-|C| + 1, \dots, |C| - 1\} \quad \forall i, j \in V, i < j \quad (5.22)$$

$$y_{ij} \in \{0, 1\} \quad \forall (i, j) \in E, i < j \quad (5.23)$$

Para o modelo definido pelas expressões (5.18)–(5.23), tem-se que existem $\frac{|V|(|V|-1)}{2}$ variáveis q e $|E|$ variáveis y , de modo que a formulação tem, então $O(|V|^2)$ variáveis. Além disso, o maior conjunto de restrições é (5.19), de modo que a formulação tem $O(|V|^2)$ restrições.

Seja $PD(G, C)$ o fecho convexo de soluções válidas do modelo baseado em distâncias, ou seja, dos pontos $(q, y) \in \mathbb{R}^{\frac{|V|(|V|-1)}{2} + |E|}$ que satisfazem as restrições (5.18)–(5.23). A dimensão de tal politopo é dada pelo teorema a seguir.

Teorema 5.7. *Se $|C| > \chi(G) + 1$, então $\dim(PD(G, C)) = |V| + |E| - 1$.*

Prova. A dimensão de um politopo P (ou seja, $\dim(P)$) equivale à dimensão de seu fecho afim ($\text{aff}(P)$), ou seja o maior número possível de pontos afim-independentes menos 1. Se $P = \{x \in \mathbb{R}^n \mid Ax \leq b\}$, pode-se particionar $Ax \leq b$ em $A^<x < b^<$ e $A^=x = b^=$. Logo:

$$\dim(P) = n - \text{posto}(A^=) \quad (5.24)$$

onde $\text{posto}(A^=)$ é o número de linhas linearmente independentes de $\text{rank}(A^=)$ (Ferreira e Wakabayashi, 1996; Pendavingh, 2015).

Seguindo tais conceitos, seja $PD^=$ o conjunto de igualdades de $PD(G, C)$ e $PD^<$ o de desigualdades. Para mostrar que $\dim(PD(G, C)) = |V| + |E| - 1$ se $|C| > \chi(G) + 1$, será

mostrado que para tal limite de $|C|$, existirá ao menos um ponto $(q, y)^1$ tal que (5.20) será uma desigualdade estrita, ou seja:

$$q_{ij} > 1 - |C|y_{ij} \quad \forall (i, j) \in E, i < j \quad (5.25)$$

e ao menos um ponto $(q, y)^2$ tal que 5.21 será uma desigualdade estrita, ou seja:

$$q_{ij} < -1 + |C|(1 - y_{ij}) \quad \forall (i, j) \in E, i < j \quad (5.26)$$

(observando que $(q, y)^1$ não precisa ser necessariamente diferente de $(q, y)^2$). Já que, para $|C| > \chi(G) + 1$, o menor valor inteiro possível para $|C|$ é $\chi(G) + 2$, pode-se efetuar as seguintes substituições em (5.25) e (5.26):

$$q_{ij} > 1 - (\chi(G) + 2)y_{ij} \quad \forall (i, j) \in E, i < j \quad (5.27)$$

$$q_{ij} < -1 + (\chi(G) + 2)(1 - y_{ij}) \quad \forall (i, j) \in E, i < j \quad (5.28)$$

Ao encontrar, para cada uma das restrições modificadas, ao menos uma solução que a satisfaça, garante-se que as únicas em $P^=$ são (5.18)–(5.19). Desse modo, será possível usar a fórmula em (5.24) para calcular $\dim(PD(G, C))$.

Primeiramente, observe que para qualquer grafo não direcionado simples G , tem-se, para toda aresta $(i, j) \in E$, que $1 \leq |x(i) - x(j)| \leq \chi(G) - 1$, já que $\chi(G) - 1$, que é a diferença entre a maior ($\chi(G)$) e a menor (1) cor usada e a diferença de cor entre dois vértices usando cores consecutivas é 1.

Agora, considere uma aresta $(i, j) \in E$ arbitrária. Quando $y_{ij} = 1$ (ou seja, $q_{ij} < 0$), tem-se que:

$$q_{ij} > 1 - (\chi(G) + 2)y_{ij} \quad (5.29)$$

$$q_{ij} < -1 + (\chi(G) + 2)(1 - y_{ij}) \quad (5.30)$$

Que resulta em:

$$q_{ij} > -1 - \chi(G) \quad (5.31)$$

$$q_{ij} < -1 \quad (5.32)$$

De modo similar, quando $y_{ij} = 0$ (ou seja, $q_{ij} > 0$), tem-se que:

$$q_{ij} > 1 - (\chi(G) + 2)y_{ij} \quad (5.33)$$

$$q_{ij} < -1 + (\chi(G) + 2)(1 - y_{ij}) \quad (5.34)$$

Que resulta em:

$$q_{ij} > 1 \quad (5.35)$$

$$q_{ij} < \chi(G) + 1 \quad (5.36)$$

Tem-se então que (5.31)–(5.32) e (5.35)–(5.36) implicam que:

$$1 < |q_{ij}| < \chi(G) + 1$$

Desse modo, para que uma solução satisfaça as restrições modificadas para uma aresta (i, j) , a coloração correspondente deve garantir que $2 \leq |x(i) - x(j)| \leq \chi(G)$.

Considere uma coloração $x^{OPT} : V \rightarrow [1.. \chi(G)]$ (ou seja, a ótima). Seja:

- $v_1, v_2, \dots, v_{|V|}$ uma ordenação dos vértices tal que $x(v_a) \leq x(v_{a+1})$ para $a = 1, 2, \dots, |V|$.
- $e_1, e_2, \dots, e_{|E|}$ uma ordenação das arestas tal que, sendo $e_1 = (i_1, j_1)$ e $e_2 = (i_2, j_2)$, tem-se que $e_1 = e_2$ se, e somente se, $i_1 = i_2$ e $j_1 = j_2$; $e_1 < e_2$ se, e somente se, $i_1 < i_2$ ou $i_1 = i_2$ e $j_1 < j_2$; e $e_1 > e_2$ se, e somente se, $i_1 > i_2$ ou $i_1 = i_2$ e $j_1 > j_2$ (ou seja, arestas ordenadas de acordo com o primeiro vértice e, em caso de serem o mesmo, de acordo com o segundo vértice).

Sem perda de generalidade, considere que $v_1 < v_2 < \dots, v_{|V|}$ (já que os vértices podem ser rotulados de acordo com esta ordem e a das cores)) e que um ponto correspondente a uma solução de $PD(G, C)$ é representado como (q, y) , onde $q = (q_{v_1 v_2}, q_{v_1 v_3}, \dots, q_{v_1 v_{|V|}}, q_{v_2 v_1}, \dots, q_{v_{|V|-1} v_{|V|}})$ e $y = (y_{e_1}, y_{e_2}, \dots, y_{e_{|E|}})$. Denote como $(q, y)^{OPT}$ o ponto correspondente à coloração x^{OPT} .

A partir de x^{OPT} , construa as colorações $x^k : V \rightarrow [1.. \chi(G) + 1]$ para todo $k = |V|, |V| - 1, \dots, 1$, onde $x^k(v_a) = x(v_a)$ para $a = 1, 2, \dots, |V| - k$ e $x^k(v_b) = x(v_b) + 1$ para $b = |V| - k + 1, \dots, |V|$. Tais soluções existem pois $|C| > \chi(G)$. Para cada x^k , o ponto correspondente em $PD(G, C)$ será $(q, y)^k$. Observe que:

- $q_{v_a v_b}^k = q_{v_a v_b}^{|V|}$ para todo $a, b < k$, uma vez que as cores de v_a e v_b para tais valores de a e b são as mesmas da solução inicial (o que mantém o valor da distância entre as cores sem alteração).
- $q_{v_a v_k}^k = q_{v_a v_b}^{|V|} + 1$ para todo $a < k$, pois como a cor de v_k foi incrementada, a distância da mesma para as cores dos vértices v_1, v_2, \dots, v_{k-1} (que são menores, pela ordenação dos vértices) é aumentada de acordo com o incremento da cor. Ressalta-se que como consequência disso, existirá, para cada aresta (i, v_k) , ao menos um ponto onde as restrições modificadas (5.27) e (5.28) são satisfeitas.
- $q_{v_k v_b}^k = q_{v_k v_b}^{|V|}$ para todo $b > k$, já que as cores dos vértices $v_{k+1}, v_{k+2}, \dots, v_{|V|}$ também já foram incrementadas em relação à coloração original $c^{|V|}$, de modo que o incremento na cor de v_k cancela a distância adicional para as cores dos vértices posteriores.

Pela existência dos pontos $(q, y)^k$, tem-se então que para cada $(i, j) \in E$ há ao menos um ponto em $PD(G, C)$ onde as restrições (5.27) e (5.28) são satisfeitas, isto é, as restrições originais (5.20) e (5.21) são satisfeitas como desigualdades estritas. Logo, tem-se que apenas (5.18) e (5.19) serão sempre igualdades em todos os pontos de $PD(G, C)$, de modo que $PD^\circ = \{(5.18), (5.19)\}$.

Observando-se o modelo definido por (5.18)–(5.23), tem-se que existem $\frac{|V|(|V|-1)}{2}$ variáveis q e $|E|$ variáveis y , totalizando $\frac{|V|(|V|-1)}{2} + |E|$ variáveis, logo, $PD(G, C) \in \mathbb{R}^{\frac{|V|(|V|-1)}{2} + |E|}$. Em relação às igualdades, existem $|V| - 2$ restrições em (5.18) e $\frac{|V|^2 - 5|V| + 6}{2}$ restrições em (5.19). Portanto, tem-se que:

$$posto(PD^\circ) = |V| - 2 + \frac{|V|^2 - 5|V| + 6}{2}$$

Sendo assim, pode-se calcular a dimensão do politopo pela fórmula (5.24):

$$\begin{aligned} \dim(PD(G, C)) &= \frac{|V|(|V|-1)}{2} + |E| - \left(|V| - 2 + \frac{|V|^2 - 5|V| + 6}{2} \right) \Rightarrow \\ \dim(PD(G, C)) &= \frac{|V|^2 - |V| + 2|E| - (|V|^2 - 5|V| + 6 + 2|V| - 4)}{2} \Rightarrow \\ \dim(PD(G, C)) &= |V| + |E| - 1 \end{aligned}$$

□

Como consequência direta do Teorema 5.7, tem-se o seguinte resultado adicional.

Corolário 5.1. *Se $|C| > \chi(G) + 1$, então $PD(G, C)$ não tem dimensão plena.*

5.2.1 Desigualdades válidas

Uma vez que o modelo baseado em distâncias, definido pelas expressões (5.18)–(5.23), é derivado da formulação baseada em orientação, é possível utilizar as desigualdades válidas definidas para esta última na primeira, seguindo algumas modificações. Desse modo, é possível dizer que as desigualdades de um modelo são obtidas a partir das do outro e vice-versa, como será mostrado a seguir.

5.2.1.1 Equivalências com modelo de orientação

Nos teoremas a seguir, considere que d_1 denota uma função de distância unitária, ou seja, $d_1 : E \rightarrow \{1\}$. O primeiro deles mostra que as desigualdades válidas para o modelo baseado em orientação podem ser usadas na formulação de distâncias.

Teorema 5.8. *Seja $\alpha x_i + \pi y \leq \alpha x_j + \pi_0$ uma desigualdade válida (respectivamente, indutora de faceta) para $PO(G, d_1, |C|)$, onde $(i, j) \in E$. Então, $\alpha q_{ij} + \pi y \leq \pi_0$ é válida (respectivamente, indutora de faceta se $|C| \geq \chi(G) + 2$) para $PD(G, C)$.*

Prova. A validade da desigualdade para $PD(G, C)$ segue diretamente da definição da variável q_{ij} , uma vez que:

$$\begin{aligned} \alpha x_i + \pi y \leq \alpha x_j + \pi_0 &\Rightarrow \alpha x_i - \alpha x_j + \pi y \leq \alpha x_j + \pi_0 \Rightarrow \alpha(x_i - x_j) + \pi y \leq \alpha x_j + \pi_0 \\ &\Rightarrow \alpha q_{ij} + \pi y \leq \pi_0 \end{aligned}$$

Para verificar a indução de faceta, considere $|V| + |E|$ pontos afim independentes $(x^k, y^k) \in PO(G, d_1, |C|)$ (com $k = 1, 2, \dots, |V| + |E|$), os quais satisfazem $\alpha x_i + \pi y = \alpha x_j + \pi_0$ (ou seja, a desigualdade válida para $PO(G, d_1, |C|)$ na igualdade). Para $k = 1, 2, \dots, |V| + |E|$, mapeie o vetor x^k em $\hat{x}^k = (x_1^k, x_2^k - x_1^k, x_3^k - x_2^k, x_4^k - x_3^k, \dots, x_{|V|}^k - x_{|V|-1}^k)$. Os vetores \hat{x}^k (com $k = 1, 2, \dots, |V| + |E|$) são afim independentes, uma vez que o mapeamento de x^k em \hat{x}^k é uma transformação linear com uma matriz não singular (ou seja, invertível). Para $k = 1, 2, \dots, |V| + |E|$, remova a primeira componente de \hat{x}^k , de modo a obter um vetor $\hat{x}^{k*} = (x_{21}^k, x_{32}^k, x_{43}^k, \dots, x_{n, n-1}^k)$. Como se tem pontos (\hat{x}^{k*}, y^k) para todo

$k = 1, 2, \dots, |V| + |E|$, há $|V| + |E|$ vetores e , por consequência, existem $|V| + |E| - 1$ pontos afim independentes. Sendo assim, defina, para $k = 1, 2, \dots, |V| + |E| - 1$, o vetor q^k , no qual se tem $q_{t,t-1}^k = \hat{x}_{t,t-1}^{k*}$ para $t = 2, \dots, |V|$ e o restante das variáveis com valores determinados pelas restrições de igualdade (5.18) e (5.19). Tem-se então pontos (q^k, y^k) para todo $k = 1, 2, \dots, |V| + |E| - 1$, ou seja, tem-se $|V| + |E| - 1$ pontos afim independentes que satisfazem $\alpha q_{ij} + \pi y = \pi_0$ (ou seja, a desigualdade válida para $PD(G, C)$ na igualdade). \square

O próximo teorema envolve a afirmação reversa, isto é, que as desigualdades válidas para o modelo baseado em distâncias podem ser usadas na formulação de orientação.

Teorema 5.9. *Considere que $C = \{1, \dots, |V|\}$. Seja $\gamma q + \pi y \leq \pi_0$ uma desigualdade válida (respectivamente, indutora de faceta) para $PD(G, C)$. Então, $\sum_{i \neq j} \gamma_{ij}(x_i - x_j) + \pi y \leq \pi_0$ é válida (respectivamente, indutora de faceta se $|C| \geq \chi(G) + 2$) para $PO(G, 1, C \cup \{|C| + 1\})$.*

Prova. A validade da desigualdade para $PD(G, C)$ segue diretamente da definição da variável q_{ij} , uma vez que:

$$\gamma q + \pi y \leq \pi_0 \quad \Rightarrow \quad \sum_{i \neq j} \gamma_{ij} q_{ij} + \pi y \leq \pi_0 \quad \Rightarrow \quad \sum_{i \neq j} \gamma_{ij} (x_i - x_j) + \pi y \leq \pi_0$$

Para verificar a indução de faceta, considere $|V| + |E| - 1$ pontos afim independentes $(q^k, y^k) \in PD(G, C)$ (com $k = 1, 2, \dots, |V| + |E|$), os quais satisfazem $\gamma x + \pi y = \pi_0$. Para $k = 1, 2, \dots, |V| + |E| - 1$, seja $c^k : V \rightarrow C$ uma atribuição de cores compatível com (q^k, y^k) (que pode não ser única se $\max_{i \neq j} |q_{ij}^k| < |C| - 1$, uma vez que as variáveis q armazenam apenas as diferenças entre cores, mas não as cores em si). Construa o ponto $(x^k, y^k) \in PO(G, d_1, |C|)$ correspondente a c^k (ou seja, $x_i^k = c^k(i)$). Tal ponto também pertence a $PO(G, d_1, |C| + 1)$, já que $PO(G, d_1, |C|) \subseteq PO(G, d_1, |D|)$ if $C \subseteq D$. O mapeamento $(x^k, y^k) \rightarrow (q^k, y^k)$ é uma transformação linear $L(x, y) = A \times (x, y)$ para uma matriz A não quadrada. Considere os pontos (x^1, y^1) e (\bar{x}^1, y^1) , onde $\bar{x}_i^1 = x_i^1 + 1$ para todo $i \in V$. Ambos os pontos pertencem a $PO(G, C \cup \{|C| + 1\})$ e são distintos, logo, são afim independentes. Para $k = 2, \dots, |V| + |E| - 1$, o ponto (x^k, y^k) é afim independente em relação aos pontos $\{(\bar{x}^1, y^1)\} \cup \{(x^1, y^1), \dots, (x^{k-1}, y^{k-1})\}$, já que, caso contrário, o ponto $L(x^k, y^k)$ seria afim independente em relação a $\{L(\bar{x}^1, y^1)\} \cup \{L(x^1, y^1), \dots, L(x^{k-1}, y^{k-1})\}$, o que é

uma contradição. Desse modo, tem-se $|V| + |E|$ pontos $\{(\bar{x}^1, y^1)\} \cup \{(x^1, y^1), (x^2, y^2), \dots, (x^{|V|+|E|-1}, y^{|V|+|E|-1})\}$ que satisfazem $\sum_{i \neq j} \gamma_{ij}(x_i - x_j) + \pi y = \pi_0$ (ou seja, a desigualdade válida para $PO(G, 1, C \cup \{|C| + 1\})$ na igualdade). \square

Partindo-se dos resultados acima, pode-se reescrever as desigualdades utilizadas na Seção 5.2.1 com o modelo baseado em orientação, de modo a torná-las compatíveis com a formulação de distâncias, como feito a seguir.

5.2.1.2 Desigualdade clique

Considere um vértice $i \in V$ e uma clique $K \subseteq N(i)$. Com base na Definição 5.1.1 da desigualdade clique para o modelo baseado em orientação para o BCP, tem-se que, para o VCP, a expressão da desigualdade passa a ser:

$$x_i \geq \sum_{j \in K} y_{ji} + 1$$

Para utilizar a desigualdade no modelo baseado em distâncias, deve-se adicionar um termo x_j (onde j é algum outro vértice diferente de i) para o lado direito da desigualdade, de modo a obter-se uma expressão $x_i - x_j$ a ser substituída por q_{ij} . Porém, deve-se adicionar um termo suficientemente grande também ao lado esquerdo para compensar tal adição. Desse modo, adiciona-se um termo $\Delta(G) + 1$ do lado esquerdo, já que tal valor é um limite superior válido para a maior cor usada no VCP (Welsh e Powell, 1967). Tem-se então, com isso, a definição a seguir.

Definição 5.2.1. *Seja $i \in V$ um vértice do grafo e $K \subseteq N(i)$ uma clique do mesmo. Desse modo, a expressão:*

$$q_{ij} + \Delta(G) \geq \sum_{j \in K} y_{ji} \tag{5.37}$$

define a desigualdade clique associada ao vértice i e à clique K para $PD(G, C)$.

5.2.1.3 Desigualdade clique dupla

Seja $(i, j) \in E$ e considere uma clique $K \subseteq N(i) \cap N(j)$. Baseando-se na Definição 5.1.2, tem-se a seguinte expressão para a desigualdade clique dupla para modelo baseado em

orientação para o VCP:

$$x_i + 1 + \sum_{k \in K} (y_{ik} - y_{jk}) \leq x_j + (|C| - |K|)y_{ji}$$

A definição da desigualdade adaptada para o modelo baseado em distâncias segue diretamente pela substituição de variáveis apresentada nos Teoremas 5.8 e 5.9, como mostrado a seguir.

Definição 5.2.2. *Seja $(i, j) \in E$ uma aresta de um grafo G e considere uma clique $K \subseteq N(i) \cap N(j)$. Defina-se a expressão*

$$x_i + 1 + \sum_{k \in K} (y_{ik} - y_{jk}) \leq x_j + (|C| - |K|)y_{ji} \quad (5.38)$$

como a desigualdade clique dupla (double clique) associada à aresta (i, j) e à clique K e ao vértice p para $PD(G, C)$.

5.3 Notas do capítulo

Neste capítulo, foram apresentadas duas novas formulações de programação inteira para problemas de coloração em grafos. Na primeira, que foi proposta para o BCP, as apresentadas uma nova formulação de programação inteira para o BCP, na qual as soluções induzem a orientações do grafo. A formulação tem tamanho linear, sendo que a quantidade de variáveis e restrições não depende de limites superiores ou dos valores das distâncias do grafo de entrada. Para a nova formulação, também foram apresentadas desigualdades válidas, que induzem a facetar sob determinadas condições. Baseando-se nesses resultados, foi implementado um algoritmo *cut-and-branch* para o BCP, onde são geradas desigualdades para o modelo e, em seguida, o mesmo é resolvido por um método tradicional de programação inteira. Os experimentos realizados mostram que tais desigualdades são promissoras, permitindo que o *cut-and-branch* obtenha soluções mais rapidamente em algumas instâncias utilizadas.

O segundo modelo, baseado em distâncias, para a coloração clássica em grafos (VCP), é derivado do anterior e usa variáveis que correspondem às arestas do grafo de entrada, seguindo o conceito de 0-esferas utilizado na modelagem das colorações com distâncias (como visto no Capítulo 3). Mostrou-se que as desigualdades válidas determinadas para

a formulação de orientação também podem ser usadas no novo modelo baseado em distâncias, e que existe uma equivalência entre facetas de ambos os modelos. Sendo assim, foram apresentadas as desigualdades para a formulação de orientação de modo adaptado para o novo modelo.

Melhorias futuras podem ser realizadas no modelos e no *cut-and-branch* usado. Novas desigualdades válidas indutoras de facetas podem ser determinadas seguindo características usadas em outros problemas de coloração (como feito por Méndez-Díaz e Zabala (2006) e Marenco e Wagler (2009)), além do uso de algoritmos de separação de cortes específicos e heurísticas para determinação de melhores limites. Para o modelo baseado em distâncias, outra vertente importante para é a determinação de uma função objetivo para guiar a busca no poliedro, bem como adaptações para que o modelo possa também ser usado no BCP.

Capítulo 6

Considerações finais

Esta tese abordou problemas de colorações em grafos com restrições adicionais de distâncias impostas nas arestas, envolvendo conceitos de teoria dos grafos e geometria de distâncias, cuja principal aplicação ocorre na alocação de canais em redes sem fio.

Para a realização do trabalho, foi feita uma revisão da literatura sobre colorações em grafos, em especial para o problema de coloração clássica (VCP) e em largura de banda (BCP), uma vez que o primeiro problema é o principal da classe de colorações em grafos e o segundo o mais usado no contexto de alocação de canais. Para cada um dos problemas, foram apresentados limites inferiores e superiores, bem como modelos de programação inteira e métodos exatos e aproximados. Tal revisão permitiu a identificação de diversas características que podem ser exploradas nos problemas de colorações com distâncias.

Seguindo tal estudo, novas variações de colorações com distâncias foram caracterizadas, com diferentes tipos de restrições de adjacência envolvendo desigualdades e igualdades. Para estas colorações, foram identificadas propriedades que indicam alguns tipos de grafos para os quais não há solução factível, de modo que, se uma instância contiver um subgrafo induzido de um dos tipos identificados, pode-se dizer que tal instância não terá solução, sem necessidade de executar métodos exatos.

Além disso, um modelo de programação inteira existente foi melhorado e um de programação por restrições foi proposto para a coloração em largura de banda, sendo ambos implementados computacionalmente, com a finalidade de identificar soluções ótimas. Foi possível obter um limite superior melhor para uma das instâncias utilizadas, bem como identificar inconsistências em resultados da literatura. Adicionalmente, foi realizada uma comparação entre o comportamento das formulações de programação inteira e por restri-

ções de acordo com a demanda de cores da instância, de modo que a programação por restrições se mostrou melhor com demandas unitárias e a programação inteira foi melhor com multicoloração.

Outra contribuição foi uma nova formulação de programação inteira para o BCP, onde uma solução define uma orientação. A nova formulação tem tamanho linear, ao contrário das já existentes que são pseudopolinomiais, e tem dimensão plena de acordo com um parâmetro de modelagem. Para o novo modelo, foram apresentadas duas famílias de desigualdades válidas, baseadas em cliques e cliques duplas, as quais são indutoras de facetas sob determinadas condições. Um método *cut-and-branch* foi implementado de modo a aplicar as desigualdades no modelo e permitir testes empíricos. A nova formulação apresentou bom desempenho devido ao seu menor tamanho, e as desigualdades válidas permitiram, para algumas instâncias, encontrar soluções mais rapidamente que o modelo puro, mostrando que há potencial para utilização delas.

Por fim, uma contribuição adicional da pesquisa foi o modelo de programação inteira baseado em distâncias para o VCP, derivado da formulação de orientação. As variáveis do mesmo, ao invés de indicarem cores, passam a indicar diferenças entre cores de pares de vértices, seguindo a modelagem em 0-esferas das colorações com distâncias. Para esta formulação, foi verificado que há equivalência entre as desigualdades válidas da mesma e as do modelo baseado em orientação, inclusive com respeito à definição de facetas, sendo fornecidas as desigualdades clique e clique dupla de modo adaptado para a formulação baseada em distâncias.

Para ambas as hipóteses que baseiam esta pesquisa, foi possível obter respostas positivas para as mesmas, de modo que variações representativas de coloração foram geradas com diferentes tipos de restrições e pesos nas arestas, bem como modelos teóricos representativos foram caracterizados, embasando métodos de resolução eficientes.

Apesar do contexto teórico deste trabalho, espera-se também que as contribuições fornecidas na mesma tenham impacto em aplicações de colorações em grafos, em especial no contexto de alocação de canais, que foi o principal problema motivador das abordagens utilizadas. Com os resultados apresentados, torna-se possível modelar diferentes cenários de comunicações, o que pode permitir um planejamento mais prático das redes móveis sem fio, além de melhorar estratégias de alocação já existentes e utilizadas em cenários reais. Diversas publicações em periódicos e apresentações em eventos nacionais e inter-

nacionais foram realizadas com os resultados obtidos, que podem ser vistas no Apêndice A.

A pesquisa envolvendo os problemas de colorações com distâncias continua. Trabalhos já iniciados incluem a identificação de famílias de desigualdades válidas para os novos modelos de programação inteira (baseados em orientação e distâncias) e melhorias para a formulação baseada em distâncias, incluindo a determinação de uma função objetivo que permita o uso da mesma em algoritmos de otimização e a generalização do modelo para o BCP.

Diversas vertentes desta pesquisa podem ser exploradas em trabalhos futuros além do que já está em desenvolvimento. Para as variações de colorações com distâncias, características adicionais podem ser aplicadas, como variações nas listas de distâncias permitidas, bem como diferentes tipos de restrição de adjacência, incluindo intervalos. Apesar de a modelagem de programação por restrições se mostrar eficaz, pode ser possível aplicar outros tipos de restrições globais ao modelo, de modo a efetuar podas mais fortes dos domínios das variáveis. Para o método *cut-and-branch* baseado na formulação de orientação, algoritmos específicos de separação de cortes que não enumerem todas as desigualdades podem ser aplicados de acordo com as estruturas do grafo, o que permite determinar cortes dominantes durante o processo de obtenção de novas soluções, reduzindo o tempo de solução das relaxações e transformando-o num método *branch-and-cut*.

Referências

- Aardal, K., van Hoesel, S., Koster, A., Mannino, C., e Sassano, A. Models and solution techniques for frequency assignment problems. *Annals of Operations Research*, 153: 79–129, 2007.
- Aardal, K. I., Hipolito, A., van Hoesel, C. P. M., e Jansen, B. A branch-and-cut algorithm for the frequency assignment problem. *Research Memorandum 96/011*, 1996.
- Abbasian, R. e Mouhoub, M. A hierarchical parallel genetic approach for the graph coloring problem. *Applied Intelligence*, 39(3):510–528, 2013. ISSN 0924669X. doi: 10.1007/s10489-013-0429-5.
- Aldous, D. The random walk construction of uniform spanning trees and uniform labelled trees. *SIAM Journal on Discrete Mathematics*, 3(4):450–465, 1990.
- Appel, K. e Haken, W. Every planar map is four colorable. Part I: Discharging. *Illinois Journal of Mathematics*, 21(3):429–490, 09 1977.
- Appel, K., Haken, W., e Koch, J. Every planar map is four colorable. Part II: Reducibility. *Illinois Journal of Mathematics*, 21(3):491–567, 09 1977.
- Audhya, G., Sinha, K., Ghosh, S., e Sinha, B. A survey on the channel assignment problem in wireless networks. *Wireless Communications and Mobile Computing*, 11: 583–609, 2011.
- Avanthay, C., Hertz, A., e Zufferey, N. A variable neighborhood search for graph coloring. In *European Journal of Operational Research*, volume 151, pages 379–388, 2003. doi: 10.1016/S0377-2217(02)00832-9.
- Baybars, I. Optimal assignment of broadcasting frequencies. *European Journal of Operational Research*, 9:257–263, 1982.

- Beckmann, D. e Killat, U. A new strategy for the application of genetic algorithms to the channel-assignment problem. *Vehicular Technology, IEEE Transactions on*, 48(4): 1261–1269, 1999. ISSN 0018-9545. doi: 10.1109/25.775374.
- Becker, N., Gaubert, S., Glusa, C., , e Liberti, L. Is the Distance Geometry Problem in NP? In Mucherino, A., Lavor, C., Liberti, L., e Maculan, N., editors, *Distance Geometry*, pages 85–93. Springer, 2013.
- Beldiceanu, N. e Beldiceanu, N. Global Constraints Catalog. <http://www.emn.fr/z-info/sdemasse/gccat/>, 2014.
- Blöchliger, I. e Zufferey, N. A graph coloring heuristic using partial solutions and a reactive tabu scheme. *Computers and Operations Research*, 35(3):960–975, 2008. ISSN 03050548. doi: 10.1016/j.cor.2006.05.014.
- Bockmayr, A. Integer Programming, Constraint Programming, and their Combination. <http://www.win.tue.nl/diamant/ipday060127/bockmayr.pdf>, 2006.
- Bondy, J. e Murty, U. *Graph Theory with Applications*. Elsevier Science Publishing, 1982.
- Borndörfer, R., Eisenblätter, A., Grötschel, M., e Martin, A. The orientation model for frequency assignment problems. Technical report, ZIB Berlin, 1998.
- Boyd, S. e Vandenberghe, L. *Convex Optimization*. Cambridge University Press, 2004.
- Bradley, S. P., Hax, A. C., e Magnanti, T. L. *Applied Mathematical Programming*. Addison-Wesley, 1977. Reeditado digitalmente e disponível em <http://web.mit.edu/15.053/www/>.
- Brown, J. R. Chromatic scheduling and chromatic number problems. *Management Science*, 19(4):456–463, 1972.
- Brélaz, D. New Methods to Color the Vertices of a Graph. *Communications of the ACM*, 22(4):251–256, 1979.
- Burke, E., Mareček, J., Parkes, A., e Rudová, H. A supernodal formulation of vertex colouring with applications in course timetabling. *Annals of Operations Research*, 179:105–130, 2010.

- Campêlo, M., Campos, V., e Corrêa, R. On the asymmetric representatives formulation for the vertex coloring problem. *Discrete Applied Mathematics*, 156:1097–1111, 2008.
- Campêlo, M., Campos, V., e Corrêa, R. Um algoritmo de planos-de-corte para o número cromático fracionário de um grafo. *Pesquisa Operacional*, 29(1):179–193, 2009.
- Caramia, M. e Dell’Olmo, P. A Fast and Simple Local Search for Graph Coloring. *Proceedings of the 3rd International Workshop on Algorithm Engineering*, pages 316–329, 1999. URL <http://dl.acm.org/citation.cfm?id=647256.720628>.
- Caramia, M., Dell’Olmo, P., e Italiano, G. F. CHECKCOL: Improved local search for graph coloring. *Journal of Discrete Algorithms*, 4(2):277–298, 2006. ISSN 15708667. doi: 10.1016/j.jda.2005.03.006.
- Chaitin, G. Register Allocation & Spilling via Graph Coloring. In *Proceedings of the 1982 SIGPLAN Symposium on Compiler Construction*, SIGPLAN ’82, pages 98–105. ACM, 1982.
- Chakraborty, G. An Efficient Heuristic Algorithm for Channel Assignment Problem in Cellular Radio Networks. *IEEE Transactions on Vehicular Technology*, 50(6):1528–1539, 2001.
- Chalupa, D. Population-based and learning-based metaheuristic algorithms for the graph coloring problem. *Proceedings of the 13th annual conference on Genetic and evolutionary computation - GECCO ’11*, page 465, 2011. doi: 10.1145/2001576.2001641.
- Chams, M., Hertz, A., e de Werra, D. Some experiments with simulated annealing for coloring graphs. *European Journal of Operational Research*, 32(2):260–266, 1987. ISSN 03772217. doi: 10.1016/S0377-2217(87)80148-0.
- Chartrand, G. e Zhang, P. *Chromatic Graph Theory*. Chapman & Hall/CRC, 2009.
- Chaves-González, J. M., Vega-Rodríguez, M. A., Domínguez-González, D., e Juan A. Gómez-Pulido, J. M. S.-P. Population-Based Incremental Learning to Solve the FAP Problem. In *Proceedings of the 2th International Conference on Advanced Engineering Computing and Applications in Sciences*, 2008.

- Chen, R.-H., Yu, C.-W., e Wu, T.-K. A Novel Approach to the Fixed Channel Assignment Problem. *Journal of Information Science and Engineering*, 58:39–58, 2005.
- Chiarandini, M. e Stützle, T. Stochastic local search algorithms for graph set T-colouring and frequency assignment. *Constraints*, 12(3):371–403, 2007. ISSN 13837133. doi: 10.1007/s10601-007-9023-y.
- Costa, D. e Hertz, A. Ants can colour graphs. *Journal of the Operational Research Society*, 48:295–305, 1997.
- Dattorro, J. *Convex Optimization and Euclidean Distance Geometry*. Meboo Publishing, 2013. Disponível em <https://ccrma.stanford.edu/~dattorro/mybook.html>.
- de Freitas, R., Dourado, M., e Szwarcfiter, J. Graph coloring and scheduling problems. 4th Latin American Workshop on Cliques in Graphs, 2010.
- de Freitas, R., Dias, B., Maculan, N., e Szwarcfiter, J. On feasibility conditions in graph coloring problems with distance constraints. In *Many Faces of Distances (Workshop)*, 2014.
- de Freitas, R., Dias, B., Maculan, N., e Szwarcfiter, J. Distance geometry approach for special graph coloring problems. *ArXiv e-prints*, June 2016. URL <https://arxiv.org/abs/1606.04978>.
- de Freitas, R., Dias, B., Maculan, N., e Szwarcfiter, J. On distance graph coloring problems. *International Transactions in Operational Research*, 2019. doi: 10.1111/itor.12626.
- Delle-Donne, D. *Estudios poliedrales de problemas de coloreo de grafos*. PhD thesis, Universidad de Buenos Aires, Argentina, 2016. In spanish.
- Dias, B., de Freitas, R., e Maculan, N. Alocação de canais em redes celulares sem fio: algoritmos e modelos teóricos em grafos e escalonamento. In *Proceedings of the XVI Latin-Ibero-American Conference on Operations Research / XLIV Brazilian Symposium of Operations Research*. Brazilian Society of Operations Research (SOBRAPO), 2012. In portuguese.

- Dias, B., de Freitas, R., e Maculan, N. *Simulated annealing* para a alocação de canais em redes móveis celulares. In *Anais do XLV Simpósio Brasileiro de Pesquisa Operacional*. Sociedade Brasileira de Pesquisa Operacional (SOBRAPO), 2013a.
- Dias, B., de Freitas, R., e Szwarcfiter, J. On graph coloring problems with distance constraints. In *Proceedings of I Workshop on Distance Geometry and Applications (DGA 2013)*, 2013b.
- Dias, B., de Freitas, R., Maculan, N., e Szwarcfiter, J. Some Challenges in n-dimensional Euclidean Distance Geometry Problems. In *INFORMS Annual Meeting 2014*, 2014a.
- Dias, B., de Freitas, R., Maculan, N., e Szwarcfiter, J. Distance coloring problems, spatial properties and feasibility conditions. In *VI Latin American Workshop on Cliques in Graphs (LAWCG 2014)*, 2014b.
- Dias, B., de Freitas, R., Santos, C., Lavor, C., Maculan, N., e Szwarcfiter, J. Some notes on Euclidean distance geometry and graph theory involving telecom, computer networks and molecular biology applications. In *20th Conference of the International Federation of Operational Research Societies (IFORS 2014)*, 2014c.
- Dias, B., de Freitas, R., Maculan, N., Szwarcfiter, J., e Michelon, P. Channel assignment as a distance geometry graph coloring problem. In *27th European Conference on Operational Research (EURO 2015)*, 2015.
- Dias, B., de Freitas, R., e Maculan, N. On Special Vertex Coloring Models in Graphs Using Distance Geometry. In *XI Brazilian Workshop on Continuous Optimization (BRAZOPT 2016)*, 2016a.
- Dias, B., de Freitas, R., Maculan, N., e Michelon, P. Constraint and integer programming models for bandwidth coloring and multicoloring in graphs. In *XLVIII Simpósio Brasileiro de Pesquisa Operacional (SBPO 2016)*, 2016b.
- Dias, B., de Freitas, R., Marenco, J., e Maculan, N. Politopo baseado em distâncias para o problema clássico de coloração de vértices em grafos. In *III Encontro de Teoria da Computação (ETC 2018)*, 2016c.

- Dias, B., de Freitas, R., Maculan, N., Swarcfiter, J., e Michelon, P. Sobre modelos e algoritmos para coloração em grafos com restrições de distância. In *XLIX Simpósio Brasileiro de Pesquisa Operacional (SBPO 2017)*, 2017a.
- Dias, B., de Freitas, R., Marengo, J., e Maculan, N. Facet-inducing inequalities and a cut-and-branch algorithm for the bandwidth coloring polytope based on orientation model. In *IX Latin and American Algorithms, Graphs and Optimization Symposium (LAGOS 2017)*, 2017b.
- Dias, B., de Freitas, R., Marengo, J., Maculan, N., Swarcfiter, J., e Michelon, P. Advances in solving graph coloring problems. In *21th Conference of the International Federation of Operational Research Societies (IFORS 2017)*, 2017c.
- Dias, B., de Freitas, R., Maculan, N., Swarcfiter, J., e Michelon, P. Notes on advances in theoretical modeling and resolution of graph coloring with distance constraints. In *Joint EURO/ALIO International Conference 2018 on Applied Combinatorial Optimization (ALIO/EURO 2018)*, 2018a.
- Dias, B., de Freitas, R., Marengo, J., e Maculan, N. The distance polytope for vertex coloring. In *V International Symposium on Combinatorial Optimization (ISCO 2018)*, 2018b.
- Dias, B., de Freitas, R., Marengo, J., Maculan, N., Swarcfiter, J., e Michelon, P. Sobre o dgp, realizações de grafos em \mathbb{R}^n e colorações. In *XXXVIII Congresso Nacional de Matemática Aplicada e Computacional (CNMAC 2018)*, 2018c.
- Dias, B., de Freitas, R., Marengo, J., Maculan, N., Swarcfiter, J., e Michelon, P. On distance colorings, graph embedding and ip/cp models. In *VIII Latin American Workshop on Cliques in Graphs (LAWCG 2018)*, 2018d.
- Dias, B., de Freitas, R., e Maculan, N. Notes on the Bandwidth Coloring Problem and IP / CP Models. In *2019 INFORMS International Conference*, 2019a.
- Dias, B. Modelos teóricos e algoritmos para a otimização da alocação de canais em redes móveis sem fio. Master's thesis, Instituto de Computação - Universidade Federal do Amazonas, Brasil, 2014.

- Dias, B., de Freitas, R., Maculan, N., e Michelon, P. Solving the bandwidth coloring problem applying constraint and integer programming techniques. *Optimization Online (e-print)*, 2016d. URL http://www.optimization-online.org/DB_HTML/2016/06/5514.html.
- Dias, B., de Freitas, R., Maculan, N., e Marenco, J. Facet-inducing inequalities and a cut-and-branch for the bandwidth coloring polytope based on the orientation model. *Electronic Notes in Discrete Mathematics*, 62:141 – 146, 2017d. ISSN 1571-0653. doi: <https://doi.org/10.1016/j.endm.2017.10.025>. URL <https://www.sciencedirect.com/science/article/pii/S1571065317302640>. LAGOS'17 – {IX} Latin and American Algorithms, Graphs and Optimization.
- Dias, B., de Freitas, R., Maculan, N., e Marenco, J. The Distance Polytope for the Vertex Coloring Problem. In Lee, J., Rinaldi, G., e Mahjoub, A. R., editors, *Combinatorial Optimization*, pages 144–156. Springer International Publishing, 2018e.
- Dias, B., de Freitas, R., Marenco, J., Maculan, N., e Szwarcfiter, J. Notes on models for distance coloring problems. *Matemática Contemporânea*, 2019b. A ser publicado.
- Dong, Q. e Wu, Z. A linear-time algorithm for solving the molecular distance geometry problem with exact inter-atomic distances. *Journal of Global Optimization*, 22(1–4): 365–375, 2002.
- Dorne, R. e Hao, J. Tabu search for graph coloring, t-coloring and set t-colorings. In Voss, S., Martello, S., Osman, I., e Roucairol, C., editors, *Metaheuristics: advances and trends in local search paradigms for optimization*, pages 77–92. Kluwer Academic Publishers, 1998a.
- Dorne, R. e Hao, J.-k. A new genetic local search algorithm for graph coloring. In *Parallel Problem Solving from Nature - PPSN V*, pages 745–754, 1998b.
- Dowsland, K. A. e Thompson, J. M. An improved ant colony optimisation heuristic for graph colouring. *Discrete Applied Mathematics*, 156(3):313–324, 2008. ISSN 0166218X. doi: 10.1016/j.dam.2007.03.025.
- Eppstein, D., Löffler, M., e Strash, D. Listing All Maximal Cliques in Sparse Graphs in

- Near-Optimal Time. In *Algorithms and Computation: 21st International Symposium, ISAAC 2010*, pages 403–414, 2010.
- Ferreira, C. E. e Wakabayashi, Y. *Combinatória Poliédrica e Planos-de-Corte Faciais*. Departamento de Ciência da Computação - IME/USP, 1996.
- Fijuljanin, J. Two genetic algorithms for the bandwidth multicoloring problem. *Yugoslav Journal of Operations Research*, 22(2):225–246, 2012. ISSN 03540243. doi: 10.2298/YJOR100927020F.
- Fister, I., Brest, J., e Ieee. Using Differential Evolution for the Graph Coloring. *2011 IEEE Symposium on Differential Evolution*, pages 143–149, 2011.
- Fleurent, C. e Ferland, J. A. Genetic and hybrid algorithms for graph coloring. *Annals of Operations Research*, 63:437–461, 1996. ISSN 0254-5330. doi: 10.1007/BF02125407.
- Furini, F., Gabrel, V., e Ternier, I.-C. Lower Bounding Techniques for DSATUR-based Branch and Bound. *Electronic Notes in Discrete Mathematics*, 52:149–156, 2016.
- Galinier, P. e Hao, J.-k. Hybrid Evolutionary Algorithms for Graph Coloring. *Journal of Combinatorial Optimization*, 3:379–397, 1999. ISSN 13826905. doi: 10.1023/A:1009823419804.
- Garey, M. e Johnson, D. *Computers and Intractability: A Guide to the Theory of NP-Completeness*. W. H. Freeman, 1979.
- Giortzis, A. I. e Turner, L. F. Application of mathematical programming to the fixed channel assignment problem in mobile radio networks. *IEE Proceedings - Communications*, 144(4):257–264, 1997.
- Goldbarg, M. C. e Luna, H. P. L. *Otimização Combinatória e Programação Linear*. Elsevier, 2^a edition, 2005.
- Gomes, F., Pardalos, P., Oliveira, C., e Resende, M. Reactive GRASP with path relinking for channel assignment in mobile phone networks. *Proceedings of the 5th international workshop on Discrete algorithms and methods for mobile computing and communications*, pages 60–67, 2001. doi: 10.1145/381448.381456. URL <http://portal.acm.org/citation.cfm?id=381448.381456>.

- Gonçalves, D. S. e Mucherino, A. Optimal partial discretization orders for discretizable distance geometry. *International Transactions in Operational Research*, 23:947–967, 2016.
- Hale, W. Frequency assignment: Theory and applications. *Proceedings of the IEEE*, 25: 1497–1514, 1980.
- Hamiez, J.-p. e Hao, J.-k. Scatter search for graph coloring. In *Artificial Evolution*, pages 168–179, 2002.
- Hao, J.-k., Dorne, R., e Galinier, P. Tabu Search for Frequency Assignment in Mobile Radio Networks. *Journal of Heuristics*, 4:47–62, 1998. ISSN 13811231. doi: 10.1023/A:1009690321348.
- Hertz, A. e Werra, D. Using tabu search techniques for graph coloring. *Computing*, 39(4):345–351, 1987. ISSN 0010-485X. doi: 10.1007/BF02239976. URL <http://www.springerlink.com/index/Y766J232466L1674.pdf>.
- Hertz, A., Plumettaz, M., e Zufferey, N. Variable space search for graph coloring. *Discrete Applied Mathematics*, 156(13):2551–2560, 2008. ISSN 0166218X. doi: 10.1016/j.dam.2008.03.022.
- Hsu, L.-y., Horng, S.-j., Fan, P., Khan, M. K., Wang, Y.-r., Run, R.-s., Lai, J.-l., e Chen, R.-j. MTPSO algorithm for solving planar graph coloring problem. *Expert Systems With Applications*, 38(5):5525–5531, 2011. ISSN 0957-4174. doi: 10.1016/j.eswa.2010.10.084. URL <http://dx.doi.org/10.1016/j.eswa.2010.10.084>.
- Johnson, D. S., Aragon, C. R., McGeoch, L. A., e Schevon, C. Optimization by Simulated Annealing: An Experimental Evaluation; Part II, Graph Coloring and Number Partitioning. *Operations Research*, 39(3):378–406, 1991. ISSN 0030-364X. doi: 10.1287/opre.39.3.378.
- Karp, R. Reducibility Among Combinatorial Problems. In Miller, R. E. e Thatcher, J. W., editors, *Complexity of Computer Computations*, pages 85–103. Plenum Press, 1972.
- Kendall, G. e Mohamad, M. Solving the Fixed Channel Assignment Problem in Cellular Communications Using an Adaptive Local Search. In Burke, E. e Trick, M., editors,

- 5th International Conference for the Practice and Theory of Automated Timetabling (PATAT 2004)*, Lecture Notes in Computer Science, vol. 3616. Springer, Heidelberg, 2005.
- Kim, S. S., Smith, A. E., e Lee, J. H. A memetic algorithm for channel assignment in wireless FDMA systems. *Computers and Operations Research*, 34(6 SPEC. ISS.): 1842–1856, 2007. ISSN 03050548. doi: 10.1016/j.cor.2005.05.038.
- Koster, A. *Frequency assignment: models and algorithms*. PhD thesis, Universiteit Maastricht, the Netherlands, 1999.
- Laguna, M. e Martí, R. A GRASP for coloring sparse graphs. *Computational Optimization and Applications*, 19(2):165–178, 2001. ISSN 09266003. doi: 10.1023/A:1011237503342.
- Lai, X. e Lü, Z. Multistart Iterated Tabu Search for Bandwidth Coloring Problem. *Computers & Operations Research*, 40:1401–1409, 2013.
- Lai, X., Hao, J. K., Lü, Z., e Glover, F. A learning-based path relinking algorithm for the bandwidth coloring problem. *Engineering Applications of Artificial Intelligence*, 52:81–91, 2016. ISSN 09521976. doi: 10.1016/j.engappai.2016.02.008. URL <http://dx.doi.org/10.1016/j.engappai.2016.02.008>.
- Lau, T. L. e Tsang, E. P. K. Solving the Radio Link Frequency Assignment Problem using Guided Local Search. In *NATO Symposium on Radio Length Frequency Assignment*, 1998.
- Lavor, C., Liberti, L., Maculan, N., e Mucherino, A. The discretizable molecular distance geometry problem. *Computational Optimization and Applications*, 52(1):115–146, 2012.
- Lawler, E. *Combinatorial Optimization: networks and matroids*. Dover Publications, 1976.
- Leighton, F. T. A Graph Coloring Algorithm for Large Scheduling Problems. *Journal of Research of the National Bureau of Standards*, 84(6):489–506, 1979.

- Lewis, R. M. R. *A Guide to Graph Colouring: Algorithms and Applications*. Springer, 2016.
- Liberti, L., Lavor, C., e Maculan, N. A branch-and-prune algorithm for the molecular distance geometry problem. *International Transactions in Operational Research*, 15(1):1–17, 2008.
- Liberti, L., Lavor, C., Maculan, N., e Mucherino, A. Euclidean Distance Geometry and Applications. *SIAM Review*, 56(1):3–69, 2014.
- Lim, A., Zhu, Y., Lou, Q., Rodrigues, B., Algorithms, F. N., e Se, P. Heuristic Methods for Graph Coloring Problems. In *2005 ACM Symposium in Applied Computing*, pages 933–939, 2005. ISBN 1581139640. doi: 10.1145/1066677.1066892.
- Lü, Z. e Hao, J.-k. A memetic algorithm for graph coloring. *European Journal of Operational Research*, 203(1):241–250, 2010. ISSN 0377-2217. doi: 10.1016/j.ejor.2009.07.016. URL <http://dx.doi.org/10.1016/j.ejor.2009.07.016>.
- Lucet, C., Mendes, F., e Moukrim, A. An exact method for graph coloring. *Computers & Operations Research*, 33:2189–2207, 2006.
- Luke, S. *Essentials of Metaheuristics*. Lulu, 2009. Disponível em <http://cs.gmu.edu/~sean/book/metaheuristics/>.
- Mabrouk, B. B., Hasni, H., e Mahjoub, Z. On a parallel genetic-tabu search based algorithm for solving the graph colouring problem. *European Journal of Operational Research*, 197(3):1192–1201, 2009. ISSN 0377-2217. doi: 10.1016/j.ejor.2008.03.050. URL <http://dx.doi.org/10.1016/j.ejor.2008.03.050>.
- Maculan, N. e Fampa, M. *Otimização Linear*. Editora da Universidade de Brasília (UnB), 2006.
- Malaguti, E. e Toth, P. A survey on vertex coloring problems. *International Transactions in Operational Research*, 17(1):1–34, 2010.
- Malaguti, E. e Toth, P. An evolutionary approach for bandwidth multicoloring problems. *European Journal of Operational Research*, 189(3):638–651, 2008. ISSN 03772217. doi: 10.1016/j.ejor.2006.09.095.

- Malaguti, E., Monaci, M., e Toth, P. A Metaheuristic Approach for the Vertex Coloring Problem. *INFORMS Journal on Computing*, 20(2):302–316, 2008. ISSN 1091-9856. doi: 10.1287/ijoc.1070.0245. URL <http://joc.journal.informs.org/cgi/doi/10.1287/ijoc.1070.0245>.
- Mannino, C. e Sassano, A. An enumerative algorithm for the frequency assignment problem. *Discrete Applied Mathematics*, 129:155–169, 2003.
- Marengo, J. *Chromatic Scheduling Polytopes Coming from the Bandwidth Allocation Problem in Point-to-Multipoint Radio Access Systems*. PhD thesis, Universidad de Buenos Aires, Argentina, 2005. Em espanhol.
- Marengo, J. e Wagler, A. Facet-inducing inequalities for chromatic scheduling polytopes based on covering cliques. *Discrete Optimization*, 6(1):64 – 78, 2009. ISSN 1572-5286. doi: <https://doi.org/10.1016/j.disopt.2008.09.002>. URL <http://www.sciencedirect.com/science/article/pii/S1572528608000649>.
- Marti, R., Gortazar, F., e Duarte, A. Heuristics for the bandwidth colouring problem. *International Journal of Metaheuristics*, 1:11, 2010. ISSN 1755-2176. doi: 10.1504/IJMHEUR.2010.033121.
- Mehrotra, A. e Trick, M. A. A column generation approach for graph coloring. *INFORMS Journal on Computing*, 8(4):344–354, 1996.
- Mehrotra, A. e Trick, M. A. A Branch-And-Price Approach for Graph Multi-Coloring. In Baker, E., Joseph, A., Mehrotra, A., e Trick, M. A., editors, *Extending the Horizons: Advances in Computing, Optimization, and Decision Technologies*, volume 37 of *Operations Research/Computer Science Interfaces Series*, pages 15–29. Springer, 2007.
- Moon, J. e Moser, L. On cliques in graphs. *Israel Journal of Mathematics*, 3:23–28, 1965.
- Mucherino, A., Lavor, C., e Liberti, L. The discretizable distance geometry problem. *Optimization Letters*, 6(8):1671–1686, 2012.
- Mucherino, A., Lavor, C., Liberti, L., e Maculan, N. *Distance Geometry: Theory, Methods and Applications*. Springer, 2013.

- Méndez-Díaz, I. e Zabala, P. A branch-and-cut algorithm for graph coloring. *Discrete Applied Mathematics*, 154(5):826–847, 2006.
- Pahlavani, A. e Eshghi, K. A hybrid algorithm of simulated annealing and tabu search for graph colouring problem. *Int. J. Oper. Res.*, 11(2):136–159, 2011. ISSN 1745-7645; 1745-7653/e. doi: 10.1504/IJOR.2011.040694.
- Papadimitriou, C. e Steiglitz, K. *Combinatorial Optimization: algorithms and complexity*. Dover Publications, 1998.
- Paquete, L. e Stutzle, T. An experimental investigation of Iterated Local Search for coloring graphs. *Applications of Evolutionary Computing, Proceedings*, 2279:122–131, 2002. ISSN 03029743. URL <http://gateway.isiknowledge.com/gateway/Gateway.cgi?GWVersion=2&SrcAuth=Alerting&SrcApp=Alerting&DestApp=WOS&DestLinkType=FullRecord;KeyUT=000181139600013>.
- Pendavingh, R. *Optimization in \mathbb{R}^n* . Technische Universiteit Eindhoven, 2015. Disponível em http://www.win.tue.nl/~rudi/linear_optimization_course.html.
- Phan, V. e Skiena, S. Coloring graphs with a general heuristic search engine. In *Computational Symposium on Graph Coloring and Its Generalizations*, pages 92–99, 2002.
- Plumettaz, M., Schindl, D., e Zufferey, N. Ant Local Search and its efficient adaptation to graph colouring. *Journal of the Operational Research Society*, 61(5):819–826, 2009. ISSN 0160-5682. doi: 10.1057/jors.2009.27. URL <http://dx.doi.org/10.1057/jors.2009.27>.
- Prestwich, S. Generalised graph colouring by a hybrid of local search and constraint programming. *Discrete Applied Mathematics*, 156(2):148–158, 2008.
- Salari, E. e Eshghi, K. An ACO Algorithm for Graph Coloring Problem. 2005 *ICSC Congress on Computational Intelligence Methods and Applications*, vol., no., (6):1–5, 2005. ISSN 0095-2338. doi: 10.1109/CIMA.2005.1662331. URL <http://ieeexplore.ieee.org/lpdocs/epic03/wrapper.htm?arnumber=1662331>.

- Sallaume, S., Martins, S. L., Ochi, L. S., Silva, W., Lavor, C., e Liberti, L. A discrete search algorithm for finding the structure of protein backbones and side chains. *International Journal of Bioinformatics Research and Applications*, 9(3):261–270, 2013.
- San José-Revuelta, L. A new adaptive genetic algorithm for fixed channel assignment. *Information Sciences*, 177(13):2655–2678, 2007. ISSN 00200255. doi: 10.1016/j.ins.2007.01.003. URL <http://www.sciencedirect.com/science/article/pii/S0020025507000205>.
- Saxe, J. B. Embeddability of weighted graphs in k -space is strongly NP-hard. In *Proceedings of 17th Allerton Conference in Communications, Control and Computing*, pages 480–489, 1979.
- Schriver, A. *Theory of Linear and Integer Programming*. John Wiley & Sons, 1986.
- Segundo, P. S. A new DSATUR-based algorithm for exact vertex coloring. *Computers & Operations Research*, 39:1724–1733, 2012.
- Sewell, E. An improved algorithm for exact graph coloring. In Trick, M. e Johnson, D., editors, *Cliques, coloring, and satisfiability. Proceedings of the 2nd DIMACS implementation challenge, vol. 26*, pages 359–373. American Mathematical Society, 1996.
- Shirazi, S. e Amindavar, H. Fixed channel assignment using new dynamic programming approach in cellular radio networks. *Computers and Electrical Engineering*, 31(4-5): 303–333, 2005.
- Sivarajan, K. N., McEliece, R. . J., e Ketchum, J. W. Channel assignment in cellular radio. In *IEEE 39th Vehicular Technology Conference*, volume 2, pages 846–850, 1989.
- Szwarcfiter, J. L. *Grafos e Algoritmos Computacionais*. Elsevier, 1986.
- Talbi, E.-G. *Metaheuristics: From Design to Implementation*. John Wiley & Sons, 2009.
- Titiloye, O. e Crispin, A. Quantum annealing of the graph coloring problem. *Discrete Optimization*, 8(2):376–384, 2011. ISSN 1572-5286. doi: 10.1016/j.disopt.2010.12.001. URL <http://dx.doi.org/10.1016/j.disopt.2010.12.001>.

- Tomita, E., Tanaka, A., e Takahashi, H. The worst-case time complexity for generating all maximal cliques and computational experiments. *Theoretical Computer Science*, 363: 28–42, 2006.
- Trick, M., Mehrotra, A., e Johnson, D. COLOR02/03/04: Graph Coloring and its Generalizations. <http://mat.gsia.cmu.edu/COLOR02/>, 2002.
- Trick, M. Constraint Programming: A Tutorial. <http://mat.gsia.cmu.edu/trick/cp.ppt>.
- Trick, M. A. e Yildiz, H. A Large Neighborhood Search Heuristic for Graph Coloring. In Van Hentenryck, P. e Wolsey, L., editors, *Integration of AI and OR Techniques in Constraint Programming for Combinatorial Optimization Problems: 4th International Conference, CPAIOR 2007*, pages 346–360. Springer Berlin Heidelberg, 2007. doi: 10.1007/978-3-540-72397-4_25. URL http://link.springer.com/10.1007/978-3-540-72397-4_{_}25.
- Valenzuela, C., Hurley, S., e Smith, D. A permutation based Genetic Algorithm for minimum span frequency assignment. In *5th International Conference on Parallel Problem Solving from Nature*, pages 907–916, 1998. doi: 10.1007/BFb0056932. URL <http://dx.doi.org/10.1007/BFb0056932>.
- van Omme, N., Perron, L., e Furnon, V. or-tools user’s manual. Technical report, Google, 2014.
- Vieira, C. E. C., Gondim, P. R. L., Rodrigues, C. A., e Bordim, J. L. A new technique to the channel assignment problem in mobile communication networks. In *2008 IEEE 19th International Symposium on Personal, Indoor and Mobile Radio Communications*, number 3, pages 1–5. IEEE, sep 2008. ISBN 978-1-4244-2643-0. doi: 10.1109/PIMRC.2008.4699742. URL <http://ieeexplore.ieee.org/document/4699742/>.
- Wang, W. e Rushforth, C. K. An Adaptive Local-Search Algorithm for the Channel-Assignment Problem (CAP). *IEEE Transactions on Vehicular Technology*, 45(3), 1996.
- Welsh, D. J. A. e Powell, M. B. An upper bound for the chromatic number of a graph and its application to timetabling problems. *The Computer Journal*, 10(1):85–86, 1967.

- Wu, Q. e Hao, J.-K. Coloring large graphs based on independent set extraction. *Computers & Operations Research*, 39:283–290, 2012.
- Yesil, C., Yilmaz, B., e Korkmaz, E. Hybrid Local Search Algorithms on Graph Coloring Problem. In *Hybrid Intelligent Systems (HIS), 2011 11th International Conference on*, pages 468 – 473, 2011.
- Yin, P.-y. e Li, S.-c. Hybrid Ant Colony Optimization for the Channel Assignment Problem in Wireless Communication. In *Swarm Intelligence, Focus on Ant and Particle Swarm Optimization*, number December. I-Tech Education and Publishing, dec . ISBN 9783902613097. doi: 10.5772/51116.
- Zoellner, J. A. e Beall, C. L. A breakthrough in spectrum conserving frequency assignment technology. *IEEE Transactions on Electromagnetic Compatibility*, EMC-19(3): 313–319, 1977.

Apêndice A

Lista de eventos e publicações

A.1 Artigos em periódicos

1. “On distance graph coloring problems”, publicado no periódico *International Transactions in Operational Research* - Qualis A2 (de Freitas et al., 2019).
 - Versão preliminar (anterior) disponibilizada no *arXiv*, com o título “Distance geometry approach for special graph coloring problems” (de Freitas et al., 2016).
2. “Notes on models for distance coloring problems”, aceito para publicação no periódico *Matemática Contemporânea* (Dias et al., 2019b).
3. “The Distance Polytope for the Vertex Coloring Problem”, publicado na coleção *Combinatorial Optimization* da revista *Lecture Notes in Computer Science*, edição ISCO 2018 (Dias et al., 2018e).
4. “Integer and constraint programming approaches for providing optimality to the bandwidth coloring problem”, submetido (em revisão) para o periódico *RAIRO - Operations Research* - Qualis B1.
 - Versão preliminar disponibilizada no *Optimization Online*, com o título “Solving the bandwidth coloring problem applying constraint and integer programming techniques” (Dias et al., 2016d).
5. “Facet-inducing inequalities and a cut-and-branch algorithm for the bandwidth coloring polytope based on orientation model”, publicado na revista *Electronic Notes*

in *Discrete Mathematics*, edição LAGOS 2017 Dias et al. (2017d).

- Versão estendida submetida (em revisão) para o periódico *Discrete Applied Mathematics* - Qualis A1.

A.2 Conferências internacionais

1. “Notes on the Bandwidth Coloring Problem and IP / CP Models”, resumo aceito e trabalho apresentado no *2019 INFORMS International Conference* (9 a 12 de junho de 2019, Cancún - México) (Dias et al., 2019a).
2. “On distance colorings, graph embedding and IP/CP models”, resumo aceito e trabalho apresentado no *VIII Latin American Workshop on Cliques in Graphs - LAWCG 2018* (9 a 11 de agosto de 2018, Rio de Janeiro, RJ - Brasil) (Dias et al., 2018d).
3. “Notes on advances in theoretical modeling and resolution of graph coloring with distance constraints”, resumo aceito e trabalho apresentado na *Joint EURO/ALIO International Conference 2018 on Applied Combinatorial Optimization - ALIO/EURO 2018* (25 a 26 de junho de 2018, Bolonha - Itália) (Dias et al., 2018a).
4. “The distance polytope for vertex coloring”, resumo expandido aceito e trabalho apresentado no *V International Symposium on Combinatorial Optimization - ISCO 2018* (11 a 13 de abril de 2018, Marraquexe - Marrocos) (Dias et al., 2018b).
5. “Facet-inducing inequalities and a cut-and-branch algorithm for the bandwidth coloring polytope based on orientation model”, artigo aceito e trabalho apresentado no *IX Latin and American Algorithms, Graphs and Optimization Symposium - LAGOS 2017* (11 a 15 de setembro de 2017, Marselha - França) (Dias et al., 2017b).
6. “Advances in solving graph coloring problems”, apresentado na *21st Conference of the International Federation of Operational Research Societies - IFORS 2017* (17 a 21 de julho de 2017, Québec - Canadá) (Dias et al., 2017c).
7. “Channel assignment as a distance geometry graph coloring problem”, apresentado na *27th European Conference on Operational Research - EURO 2015* (12 a 15 de julho de 2015, Glasgow - Escócia/Reino Unido) (Dias et al., 2015).

8. “Distance coloring problems, spatial properties and feasibility conditions”, resumo aceito e trabalho apresentado no *VI Latin American Workshop on Cliques in Graphs - LAWCG 2014* (9 a 12 de novembro de 2014, Pirenópolis, RS - Brasil) (Dias et al., 2014b).
9. “Some Challenges in n-dimensional Euclidean Distance Geometry Problems”, apresentado no *INFORMS Annual Meeting 2014* (9 a 12 de novembro de 2014, São Francisco - Estados Unidos) (Dias et al., 2014a).
10. “On feasibility conditions in graph coloring problems with distance constraints”, apresentado no workshop *Many Faces of Distances* (22 a 24 de outubro de 2014, Campinas, SP - Brasil) (de Freitas et al., 2014).
11. “Some notes of Euclidean distance geometry and graph theory involving telecom, computer networks and molecular biology applications”, apresentado na *20th Conference of the International Federation of Operational Research Societies - IFORS 2014* (13 a 18 de julho de 2014, Barcelona - Espanha) (Dias et al., 2014c).

A.3 Conferências nacionais

1. “Sobre o DGP, realizações de grafos em \mathbb{R}^n e colorações”, trabalho apresentado no XXXVIII Congresso Nacional de Matemática Aplicada e Computacional - CNMAC 2018 (17 a 21 de setembro de 2018, Campinas, SP - Brasil) (Dias et al., 2018c).
2. “Politopo baseado em distâncias para o problema clássico de coloração de vértices em grafos”, resumo aceito e trabalho apresentado no III Encontro de Teoria da Computação, dentro do XXXVIII Congresso da Sociedade Brasileira de Computação - ETC/CSBC 2018 (22 a 26 de julho, Natal, RN - Brasil) (Dias et al., 2016c).
3. “Sobre modelos e algoritmos para coloração em grafos com restrições de distância”, artigo aceito e trabalho apresentado no XLIX Simpósio Brasileiro de Pesquisa Operacional - SBPO 2017 (27 a 30 de agosto de 2017, Blumenau, SC - Brasil) (Dias et al., 2017a).

4. “Constraint and integer programming models for bandwidth coloring and multicoloring in graphs”, artigo aceito e trabalho apresentado no XLVIII Simpósio Brasileiro de Pesquisa Operacional - SBPO 2016 (27 a 30 de setembro de 2016, Vitória, ES - Brasil) (Dias et al., 2016b).
5. “On Special Vertex Coloring Models in Graphs Using Distance Geometry”, apresentado no *XI Brazilian Workshop on Continuous Optimization - BRAZOPT 2016* (22 a 27 de maio de 2016, Manaus, AM - Brasil) (Dias et al., 2016a).
6. “Some results in graph coloring as Euclidean distance geometry problem”, apresentado no *II Workshop Franco-brasileiro de Grafos e Otimização Combinatória - GCO 2016* (28 de março a 1 de abril de 2016, Praia da Redonda, CE - Brasil) (Dias et al., 2017c).

Apêndice B

Conceitos básicos

Neste apêndice, serão abordados alguns conceitos necessários para compreensão do trabalho elaborado, envolvendo otimização discreta, combinatória poliédrica, teoria dos grafos e geometria de distâncias. A escolha por tratar destes temas neste capítulo decorre de sua aplicação para obtenção dos resultados desta tese.

Ressalta-se que a parte envolvendo combinatória poliédrica foi colocada em uma seção própria pois esta tese é a primeira do PPGI/IComp/UFAM a abordar tal técnica, logo, espera-se que tal material possa auxiliar a introduzir estes conceitos a novos pesquisadores do programa.

B.1 Otimização linear e discreta

Um problema de otimização consiste em encontrar a melhor solução dentre um conjunto de candidatos. A qualidade de uma solução é medida por meio de uma **função objetivo**, sendo que em um problema de minimização, a melhor solução será aquela de menor valor, e em um problema de maximização, a solução será a de maior valor (Papadimitriou e Steiglitz, 1998). O formato básico de um problema de otimização é:

$$\text{Minimizar / maximizar } f(x) \tag{B.1}$$

$$\text{Sujeito a } x \in P \tag{B.2}$$

Onde x é uma solução, f é a função objetivo e P é o conjunto de soluções factíveis (viáveis). Este conjunto é definido pelas características e restrições cada problema. O

tamanho deste conjunto pode ser contável ou não, sendo que no primeiro caso, o problema é dito ser de otimização combinatória. Sem perda de generalidade, serão considerados problemas de minimização, uma vez que $\max f(x) = -\min -f(x)$ (Goldberg e Luna, 2005).

Uma ferramenta bastante utilizada para modelagem de problemas de otimização é a programação matemática, na qual o problema a ser resolvido é enunciado por um conjunto de expressões matemáticas, sendo uma a função objetivo, consistindo no critério a ser otimizado, e as demais as restrições do problema. Uma das principais classes de modelos programação matemática é a programação linear. Nela, a função objetivo é linear (ou seja, um polinômio de grau 1), e o conjunto de soluções é definido por restrições também lineares. Sendo n e m dois inteiros positivos, onde n é o número de variáveis e m o de restrições; $A = [a_{ij}]$ uma matriz de dimensão $n \times m$ (os coeficientes das restrições); um vetor $c = [c_i] \in \mathbb{R}^n$ (os custos das variáveis em um problema de minimização) e um vetor $b = [b_i] \in \mathbb{R}^m$ (as demandas), a seguinte formulação é um problema de programação linear:

$$\text{Minimizar } \sum_{i=1}^n c_i x_i \quad (\text{B.3})$$

$$\text{Sujeito a } \sum_{i=1}^n a_{ij} x_i = b_j \quad (\forall j = 1, \dots, m) \quad (\text{B.4})$$

$$x_i \geq 0 \quad (\forall i = 1, \dots, n) \quad (\text{B.5})$$

Neste caso, as variáveis podem assumir valores reais, o que torna o conjunto de soluções que atendem às restrições (chamadas de soluções factíveis) incontável. Porém, existe um método, denominado de simplex, que na prática é bastante eficaz na resolução de problemas de programação linear com todas as variáveis contínuas. Apesar disso, a complexidade de pior caso do mesmo é exponencial, mas na grande maioria dos casos, o algoritmo é o mais rápido empiricamente. Outros métodos incluem o das elipsóides e o de pontos interiores (Papadimitriou e Steiglitz, 1998; Maculan e Fampa, 2006).

Nos problemas de otimização combinatória, entretanto, as variáveis devem assumir valores inteiros, uma vez que as soluções possuem elementos discretos. A programação inteira é uma variação da programação linear com essa restrição adicional. Quando apenas algumas variáveis devem ser inteiras, diz-se que o problema é de programação inteira

mista. Sendo p o número de variáveis inteiras e q o de variáveis não inteiras (onde $p + q = n$), com as variáveis inteiras indexadas por l e as contínuas por k , a formulação a seguir é de programação inteira mista:

$$\text{Minimizar } \sum_{l=1}^p c_l x_l + \sum_{k=1}^q c_k x_k \quad (\text{B.6})$$

$$\text{Sujeito a } \sum_{l=1}^p a_{lj} x_l + \sum_{k=1}^q a_{kj} x_k = b_j \quad (\forall j = 1, \dots, m) \quad (\text{B.7})$$

$$x_l \geq 0 \quad (\forall l = 1, \dots, p) \quad (\text{B.8})$$

$$x_k \geq 0 \quad (\forall k = 1, \dots, q) \quad (\text{B.9})$$

Outra técnica de modelagem utilizada é a programação por restrições, cujo foco é encontrar uma solução factível para um conjunto de restrições, e não a solução ótima. Nela, ao invés de uma função objetivo, são considerados os domínios de valores para as variáveis, além das restrições (van Omme et al., 2014).

Uma de suas principais vantagens é a facilidade de modelagem. As restrições podem assumir várias formas, como aritméticas (sem a necessidade de serem lineares) e lógicas (booleanas), além de globais e simbólicas para subestruturas naturais dos problemas (Bockmayr, 2006; Trick). Restrições deste último tipo costumam já ser implementadas em ferramentas computacionais de programação por restrições, utilizando algoritmos eficientes especializados na satisfação das mesmas. O Catálogo de Restrições Globais (*Global Constraint Catalog*) (Beldiceanu e Beldiceanu, 2014) conta com 354 restrições desse tipo já conhecidas e estabelecidas na literatura e em ferramentas.

Uma das restrições mais utilizadas é conhecida como *AllDifferent*(variáveis), que exige que todos os valores das variáveis consideradas sejam diferentes uns dos outros. Tal restrição exige uma certa expansão do modelo quando traduzida para a programação matemática. Para duas variáveis x_i e x_j , a restrição *AllDifferent*(x_i, x_j) (ou seja, $x_i \neq x_j$) fica do seguinte modo:

$$x_i - x_j + 1 \leq m y_i$$

$$x_j - x_i + 1 \leq m y_j$$

$$y_i + y_j = 1$$

$$y_i, y_j \in \{0, 1\}$$

$$0 \leq x_i, x_j \leq m - 1$$

Apesar da equivalência, além de ser mais simples de ser enunciada, a restrição *All-Different*(variáveis) é bastante estudada na literatura e, por isso, possui muitos algoritmos eficientes disponíveis para seu tratamento específico.

Uma grande parte dos problemas de otimização combinatória pertence à classe **NP-difícil**, o que significa que provavelmente não exista algoritmo eficiente (ou seja, de complexidade polinomial) para resolvê-los. Além disso, o conjunto de soluções é exponencial, o que torna uma busca exaustiva inviável na maioria dos casos. Para resolvê-los, existem duas vertentes de pesquisa: os métodos exatos, que fornecem soluções garantidamente ótimas em um tempo computacional que pode ser grande, e os métodos aproximados, onde as soluções podem não ser ótimas, mas são de boa qualidade e obtidas em um tempo mais satisfatório.

Apesar de o tempo computacional dos métodos exatos ser inviável em alguns casos, há grande interesse em algoritmos desse para problemas NP-difíceis. O uso dos mesmos pode ser útil para verificação de limites inferiores ou mesmo valores de soluções ótimas em instâncias de *benchmark* e também para aplicação em cenários onde a solução desejada deve, obrigatoriamente, ser a melhor possível.

Alguns métodos exatos são:

- **Branch-and-bound**: envolve a utilização de algoritmos para programação linear contínua (como o simplex) no problema com variáveis inteiras, removendo temporariamente as restrições de integralidade (processo chamado de relaxação). Se a solução obtida para o problema relaxado satisfizer as restrições de integralidade já neste momento, a solução é ótima também para o problema original. Caso contrário, sendo x_i uma variável do problema relaxado que deveria ser inteira no problema original e cujo valor é contínuo (denotado por x_i^R), são criados dois subproblemas (passo de ramificação), onde cada um equivale ao problema relaxado original, e cada um recebe uma restrição adicional:

– Problema 1: $x_i \leq \lfloor x_i^R \rfloor$.

– Problema 2: $x_i \leq \lceil x_i^R \rceil$.

Cada subproblema é resolvido de forma recursiva, até que a melhor solução inteira seja encontrada. Para evitar a enumeração completa dos subproblemas, são usados limites inferior (LI) e superior (LS) em cada subproblema. Se o problema for de

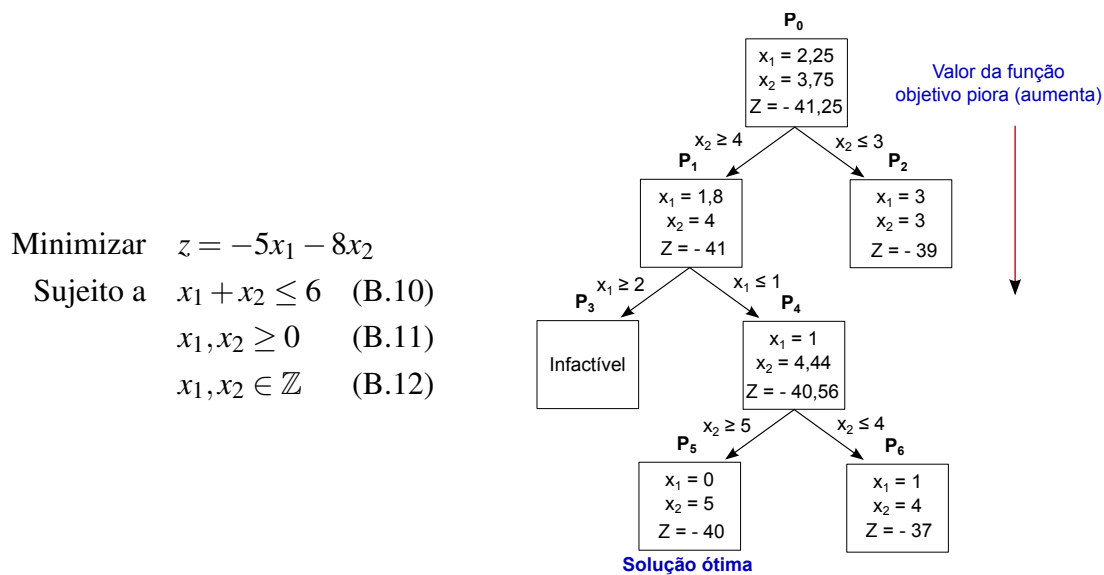


Figura B.1: Exemplo de aplicação do *branch-and-bound*.

minimização, a solução relaxada de um problema será um LI e a melhor solução inteira será um LS (caso o problema seja de maximização, será o contrário). Como a adição de restrições tende a piorar a qualidade das soluções, o valor do LI tenderá a aumentar e o do LS a diminuir. Quando $LI \geq LS$, não há necessidade de ramificar o subproblema, uma vez que não haverá como obter uma solução melhor. A Figura B.1 exemplifica o método.

- **Planos de corte:** a ideia consiste em adicionar novas restrições ao problema relaxado, de forma que a solução ótima contínua seja removida do conjunto de soluções factíveis, sem remover pontos inteiros do mesmo. Aplicando sucessivos cortes, a solução ótima inteira será encontrada diretamente por métodos de programação linear contínua.

Existem duas categorias de cortes: os genéricos e os específicos de um problema. Os genéricos são aplicáveis em qualquer problema de programação inteira, como os cortes de Gomory e *zero-half*, no entanto, podem ter convergência lenta por não haver exploração inteligente da região factível do problema. Já os específicos são baseados em características do problema a ser resolvido, por exemplo, garantindo que os vértices de uma clique em um grafo utilizem cores diferentes.

- **Branch-and-cut:** combina características do *branch-and-bound* com planos de corte. A cada subproblema gerado no *branch-and-bound*, se a solução relaxada não for inteira, são encontrados cortes que eliminem tal solução, na esperança de que

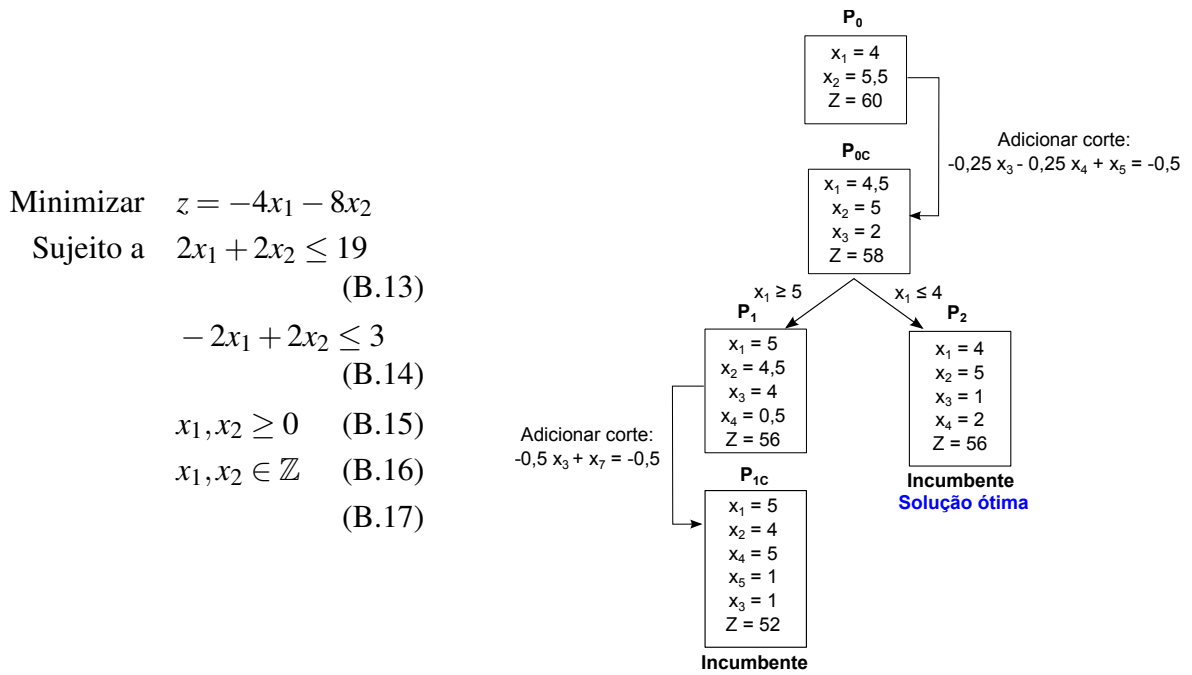


Figura B.2: Exemplo de aplicação do *branch-and-cut*, onde a cada subproblema com solução contínua, é aplicado um corte de Gomory.

seja encontrada uma solução inteira. A geração de cortes pode seguir diferentes critérios, por exemplo, inserindo uma quantidade máxima de restrições genéricas ou específicas ou efetuando a separação de todos os cortes que podem ser obtidos a partir de uma mesma solução relaxada, ainda que a solução obtida após tal processo ainda não seja inteira, situação na qual será realizada uma ramificação da mesma forma que ocorre no *branch-and-bound* tradicional.

- Branch-and-prune:** este método é utilizado em modelos de programação por restrições. Consiste em atribuir um valor a uma variável de acordo com seu domínio. Em seguida, realiza-se a propagação das restrições (processo também conhecido como *pruning*), onde valores dos domínios das outras variáveis que violem restrições em relação ao valor atribuído à variável atual são removidos. Se um domínio se tornar vazio, a solução parcial é infactível, assim, é feito um *backtrack* a um passo anterior e um outro valor é testado. Caso o domínio tenha apenas um elemento, ele será o valor da variável. Quando todos os domínios têm um único elemento, tem-se uma solução factível completa. Para que o método seja aplicado à otimização, sendo z_0 o custo da solução obtida, deve-se adicionar uma restrição $z < z_0$ ao problema (van Omme et al., 2014).

Em muitos casos práticos, mesmo bons métodos exatos podem consumir muito tempo

para obter soluções ótimas para os problemas de otimização combinatória. Sendo assim, muitos pesquisadores investem nas abordagens aproximadas, que fornecem boas soluções (mas não necessariamente as melhores possíveis) em um tempo computacional razoável. Uma abordagem aproximada bastante utilizada consiste em algoritmos heurísticos, que exploram o espaço de busca utilizando características desejadas nas melhores soluções para o problema, sem garantias de quão perto da melhor solução o algoritmo chegará.

As meta-heurísticas são abordagens aproximadas mais genéricas, consistindo em *frameworks* algorítmicos que podem ser adaptados à maioria dos problemas de otimização combinatória (Luke, 2009). Em geral, as meta-heurísticas possuem um passo estocástico, que permite efetuar uma exploração mais eficaz do espaço de soluções. Algumas das principais meta-heurísticas bastante utilizadas incluem busca local iterada (*iterated local search* - ILS), *simulated annealing*, algoritmos genéticos e meméticos, busca tabu, nuvem de partículas, reconexão de caminhos, Procedimentos de Busca Adaptativa Gulosa Aleatória (*Greedy Randomized Adaptive Search Procedures* - GRASP) e *scatter search* (Luke, 2009; Talbi, 2009; Dorne e Hao, 1998a)

B.2 Combinatória poliédrica

As formulações de programação linear, técnica introduzida na seção anterior, são amplamente usadas para a modelagem de diversos tipos de problemas. Isso leva ao surgimento de propriedades matemáticas interessantes, que podem ter ligação direta com características combinatórias do problema a ser resolvido. Por meio da combinatória poliédrica, estuda-se tais características de modo a obter melhoras na resolução dos problemas desejados. Alguns dos principais conceitos da área serão introduzidos a seguir.

Seja n um número natural. Considere, então, um conjunto de m pontos $x^1, x^2, \dots, x^m \in \mathbb{R}^n$. Um ponto $z \in \mathbb{R}^n$ é dito ser uma **combinação afim** de $x^1, x^2, \dots, x^m \in \mathbb{R}^n$ se existirem $\lambda_1, \lambda_2, \dots, \lambda_m \in \mathbb{R}$ tais que $z = \sum_{i=1}^m \lambda_i x^i$ e $\sum_{i=1}^m \lambda_i = 1$. Se, além disso, para todo $1 \leq i \leq m$, tiver-se que $\lambda_i \geq 0$, então z é dito também ser **combinação convexa** dos pontos $x^1, x^2, \dots, x^m \in \mathbb{R}^n$ (Boyd e Vandenberghe, 2004). A Figura B.3 mostra exemplos destas combinações.

Considere um conjunto $X \subseteq \mathbb{R}^n$ de pontos. Diz-se que X é um **conjunto convexo** se o mesmo for um subconjunto do espaço afim que seja fechado sob combinações convexas

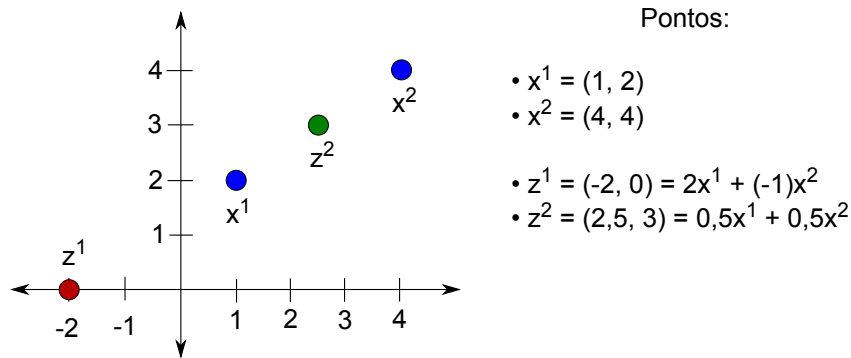


Figura B.3: Exemplo gráfico de combinações afim e convexa. O ponto z^1 é combinação afim dos pontos x^1 e x^2 , pois para o mesmo, tem-se que $\lambda_1 = 2$ e $\lambda_2 = -1$, de modo que $\lambda_1 + \lambda_2 = 1$, porém, não é combinação convexa já que $\lambda_2 < 0$. Já o ponto z^2 , além de combinação afim, também é combinação convexa de x^1 e x^2 , já que, para o mesmo, $\lambda_1 = \lambda_2 = 0,5$ (ou seja, $\lambda_1, \lambda_2 \geq 0$) e, por consequência e $\lambda_1 + \lambda_2 = 1$.

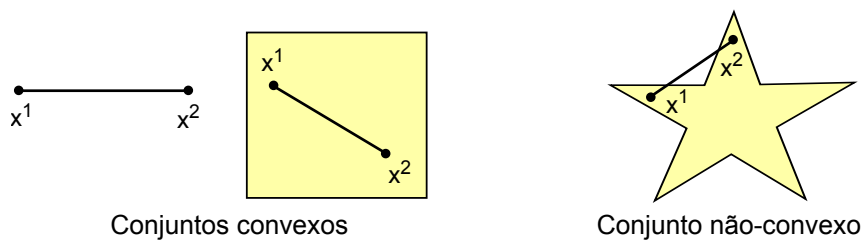


Figura B.4: Exemplos gráficos de conjuntos convexos e não-convexos em espaços Euclidianos.

(Ferreira e Wakabayashi, 1996). Em espaços Euclidianos, como consequência desta definição, tem-se que, para qualquer par de pontos (x^1, x^2) no conjunto convexo, quaisquer outros pontos no segmento de reta que liga x^1 a x^2 também farão parte do conjunto, como pode ser visto na Figura B.4.

Seja novamente $X \subseteq \mathbb{R}^n$ um conjunto de pontos. O **fecho convexo** (também chamado de casco convexo) de X , denotado por $\text{conv}(X)$, consiste no conjunto de todas as combinações possíveis dos pontos em X , ou seja, é o menor conjunto convexo que contém X . Desse modo, qualquer ponto de X pode ser reescrito como uma combinação convexa dos pontos extremos do fecho convexo (Boyd e Vandenberghe, 2004). Um exemplo gráfico deste conceito é dado na Figura B.5.

O conceito fundamental da combinatória poliédrica é o de **poliedro**, denotado por P e que consiste em um subconjunto de \mathbb{R}^n , descrito por um conjunto finito de restrições lineares, ou seja, $P = \{x \in \mathbb{R}^n \mid Ax \leq b\}$. A **dimensão** de um poliedro P , denotada por $\text{dim}(P)$, equivale ao número máximo de pontos afim independentes em P menos 1. Um caso particular de poliedro é o **politopo**, que também é um subconjunto de \mathbb{R}^n , de modo que exista um conjunto finito $X \subseteq \mathbb{R}^n$ cujo fecho convexo seja P (Schrifer, 1986). Como consequência, tem-se que P é um politopo se, e somente se, P for um poliedro limitado,

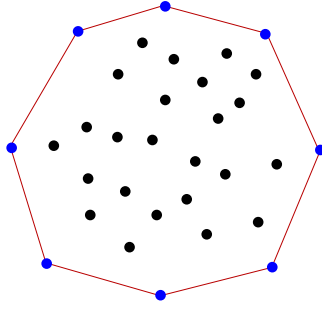


Figura B.5: Exemplo gráfico de fecho convexo de um conjunto de pontos. Os pontos azuis são os extremos (também pertencentes ao conjunto de pontos), que servem de vértices para o polígono definido por tal fecho.

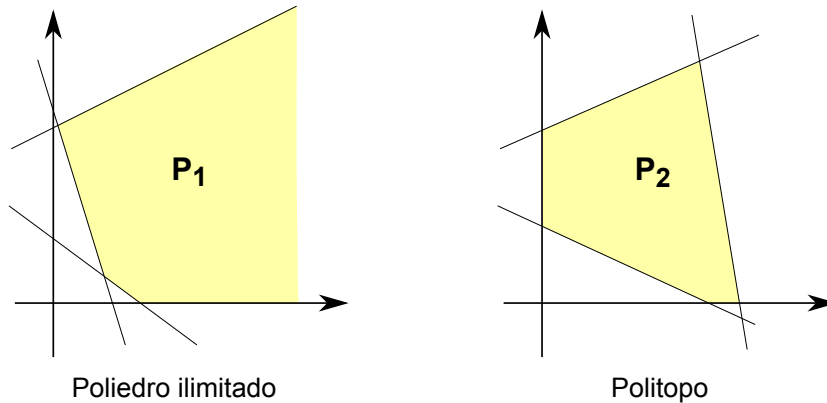


Figura B.6: Exemplos de poliedro ilimitado e politopo.

como exemplificado na Figura B.6.

Pelos conceitos apresentados anteriormente, é possível observar que modelos de programação linear definem poliedros em \mathbb{R}^n , sendo n o número de variáveis do modelo. Para problemas de programação inteira mista, nos quais algumas variáveis assumem apenas valores inteiros, o conjunto de pontos que definem soluções viáveis passa a ser $X \subseteq \mathbb{Z}^{n_i} \times \mathbb{R}^{n_c}$, onde n_i é o número de variáveis inteiras e n_c o de contínuas (de modo que $n = n_i + n_c$). Diz-se então que um poliedro P é uma **formulação** para X se, e somente se, $X = P \cap (\mathbb{Z}^{n_i} \times \mathbb{R}^{n_c})$.

Para problemas de programação linear, a solução ótima é sempre um dos vértices do politopo definido pelo modelo correspondente. Entretanto, quando o problema é de programação inteira mista, tais vértices podem não ser solução, já que as variáveis inteiras podem ter valores contínuos nos mesmos. Desse modo, a solução ótima para um problema de programação inteira pode não estar num dos vértices do politopo. Para que isso sempre ocorra, deve-se obter uma descrição exata do fecho convexo dos pontos que são solução para o modelo (ou seja, nos quais as variáveis inteiras não tenham valores contínuos), o que só é possível se $P = NP$, uma vez que programação inteira é NP -completo, mas com

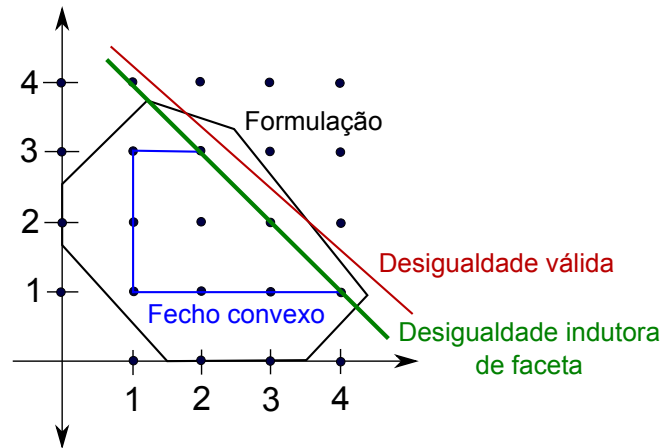


Figura B.7: Exemplos de formulação, desigualdade válida e faceta do fecho convexo de um politopo.

a descrição exata do fecho convexo das soluções, o problema passa a ser de programação linear, que possui algoritmo polinomial (Schrive, 1986).

Os algoritmos de *branch-and-bound*, planos de core e *branch-and-cut* citados na seção anterior são capazes de lidar com esse problema. Para estes dois últimos, são adicionadas novas restrições ao modelo, de modo a remover soluções contínuas, o que pode fazer com que a solução ótima inteira se torne um vértice do politopo. Assim, pode-se definir uma expressão $\alpha^T x \leq \beta$ como uma desigualdade válida para um conjunto de pontos $X \subseteq \mathbb{Z}^{n_i} \times \mathbb{R}^{n_c}$ se $\alpha^T x \leq \beta$ para todo $x \in X$. As melhores desigualdades válidas são capazes de definir **facetas** de um politopo P , o que ocorre se $\dim(\{x \in P \mid \alpha^T x \leq \beta\}) = \dim(P) - 1$, ou seja, se existirem $\dim(P) - 1$ pontos $p_1, p_2, \dots, p_{\dim(P)-1}$ afim independentes tais que $\alpha^T x \leq \beta$ para $i = 1, 2, \dots, \dim(P) - 1$ (Ferreira e Wakabayashi, 1996; Pendavingh, 2015). A dimensão de um politopo corresponde também à diferença entre a dimensão do espaço e o posto das restrições de igualdade do politopo (isto é, a quantidade de igualdades linearmente independentes), de modo que $\dim(P) = n - \text{posto}(P^=)$. A Figura B.7 mostra um exemplo gráfico destes conceitos.

B.3 Teoria dos grafos

Um grafo é um par ordenado $G = (V, E)$, onde V é um conjunto de vértices e E é um conjunto de arestas, onde $n = |V|$ e $m = |E|$. Cada elemento e no conjunto E é um par (i, j) que indica que o vértice i é ligado ao vértice j (ou seja, são adjacentes, e a aresta e incide em i e j). O grafo é dito não-direcionado quando os pares que representam as arestas não são ordenados, isto é, $(i, j) = (j, i)$. Além disso, um grafo é dito ser conexo

se existe pelo menos um caminho entre cada par de vértices (ou fortemente conexo se tal propriedade existir em um grafo direcionado).

A representação gráfica de um grafo consiste em pontos distintos do plano associados a cada vértice e, para cada aresta (i, j) , uma linha conectando os pontos correspondentes aos vértices i e j . Se for possível efetuar uma representação gráfica do um grafo G sem que as arestas se cruzem, diz-se que G é **planar** (Szwarcfiter, 1986). Um exemplo é dado na Figura B.8. Ressalta-se, no entanto, que grafos em geral apresentam propriedades relacionais e topológicas, uma vez que existem diferentes representações gráficas para um mesmo grafo.

O **grau** de um vértice i do grafo equivale à quantidade de arestas que incidem em i . O grau máximo do grafo, denotado por $\Delta(G)$, é o valor do maior grau dentre todos os vértices de G . De maneira similar, o grau mínimo, denotado por $\delta(G)$, é definido como o valor do menor grau de G . Um grafo é dito ser **k -regular** se todos os vértices possuem grau igual a um inteiro positivo k (ou seja, se G é k -regular, então $\Delta(G) = \delta(G) = k$). Um **grafo completo**, denotado por K_n é aquele no qual cada vértice é vizinho de todos os demais, ou seja, o grau de todos os vértices é exatamente igual a $n - 1$ e, por consequência, o grafo é $(n - 1)$ -regular. Já um grafo vazio ou nulo é aquele no qual não há arestas, ou seja, todos os vértices têm grau 0, o que faz o grafo ser 0-regular. O grafo vazio é, então, o complemento de um grafo completo (Bondy e Murty, 1982). Um exemplo de grafo completo e seu complemento é dado na Figura B.9.

Uma **clique** H de um grafo G é um subgrafo completo de G , ou seja, cada vértice de H está ligado a todos os outros do subgrafo. Uma clique é dita maximal se a mesma não puder ser estendida pela inclusão de algum vértice adjacente. A clique máxima de um grafo é a maior dentre todas, sendo necessariamente também maximal (ressalta-se, porém, que nem toda clique maximal é máxima). O tamanho da clique máxima de G é denominado de número clique e denotado por $\omega(G)$ (Chartrand e Zhang, 2009). Um

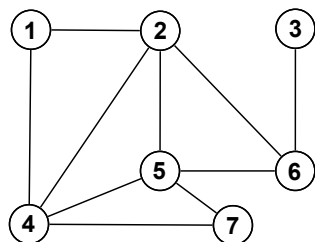


Figura B.8: Representação gráfica de um grafo não-direcionado planar com 7 vértices e 10 arestas.

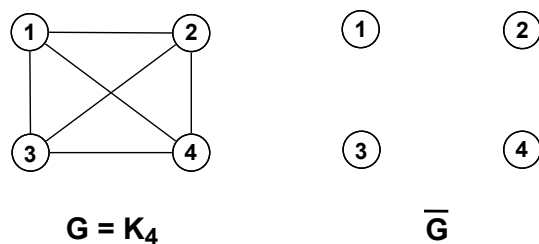


Figura B.9: Exemplo de grafo completo com 4 vértices (K_4) e seu complemento.

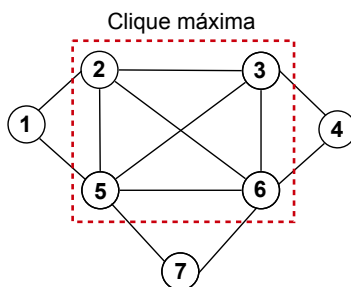


Figura B.10: Exemplo de clique máxima de um grafo, onde tem-se que o número clique do mesmo é $\omega(G) = 4$.

exemplo de clique máxima de um grafo pode ser visto na Figura B.10.

Um **conjunto independente** S de G é um subgrafo vazio de G , ou seja, não há nenhuma aresta entre os vértices de S . Similarmente ao que ocorre com a clique, um conjunto independente é dito maximal se o mesmo não puder ser estendido pela inclusão de algum vértice adicional. O conjunto independente máximo é o maior dentre todos, sendo também maximal, e seu tamanho é denominado de número de independência ou de estabilidade, denotado por $\alpha(G)$. Nota-se que este conceito é complementar ao de clique, de modo que uma clique de um grafo G é um conjunto independente do complemento \bar{G} do grafo e vice-versa (Chartrand e Zhang, 2009). Um exemplo destes conceitos é dado na Figura B.11.

Alguns tipos de grafos são muito comuns e possuem propriedades que os destacam, sendo alguns deles enunciados a seguir. Um **caminho** de n vértices, denotado por P_n , é um grafo no qual dois vértices têm grau 1 (chamados de extremidades) e onde os $n - 2$ vértices restantes têm grau 2. Um **ciclo**, denotado por C_n , é similar a um caminho com a adição de uma aresta ligando as extremidades, ou seja, é um grafo onde todos os vértices têm grau 2 e o número de arestas é o mesmo de vértices. Uma **árvore** é um grafo conexo acíclico no qual existe exatamente um caminho entre cada par de vértices (ou seja, um caminho é um caso particular de árvore). Um **grafo bipartido** é um grafo cujo conjunto de vértices pode ser dividido em dois subconjuntos disjuntos, de modo que não exista aresta entre vértices

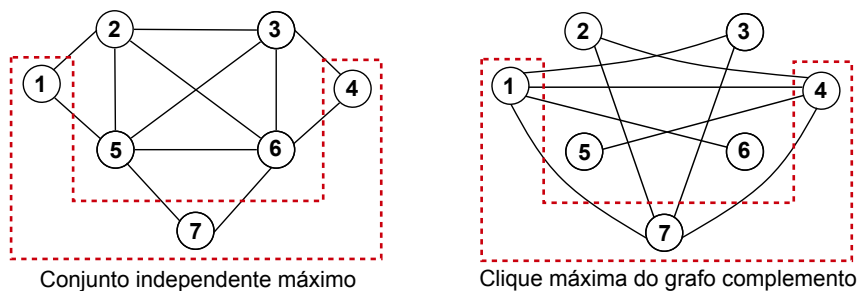


Figura B.11: Exemplo de conjunto independente máximo de um grafo, onde tem-se que o número de independência do mesmo é $\alpha(G) = 3$, e sua equivalência à clique máxima do complemento do grafo.

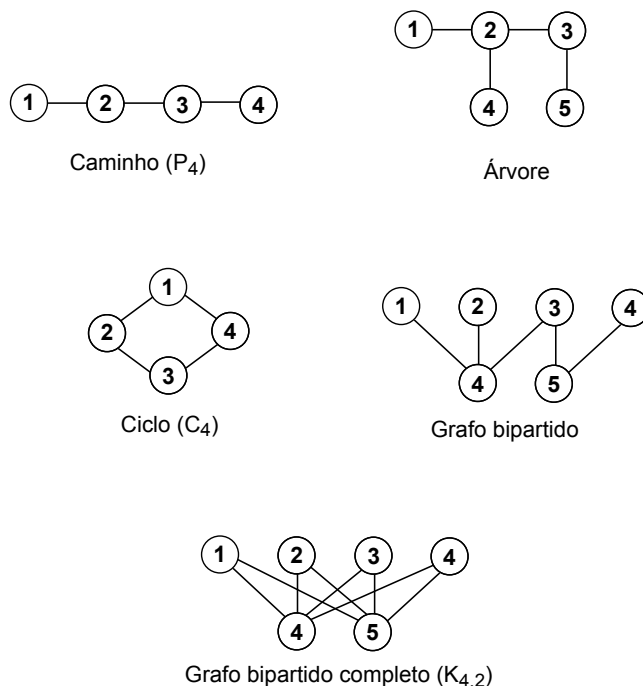


Figura B.12: Exemplos de grafos de algumas das classes mais conhecidas.

de um mesmo subconjunto, mas somente entre vértices de subconjuntos diferentes. Diz-se, então, que um grafo é **bipartido completo** se houver aresta entre cada par de vértices onde cada um dos mesmos esteja em um subconjunto diferente, sendo tal grafo denotado por $K_{n,m}$, onde n é o número de vértices de um subconjunto e m o do outro (Szwarcfiter, 1986). A Figura B.12 fornece exemplos destes grafos.

B.4 Geometria de distâncias

A geometria de distâncias (GD) consiste em determinar localizações de pontos no espaço respeitando distâncias entre pares conhecidas. O problema fundamental de GD pode ser formalizado como se segue (Liberti et al., 2014).

Definição B.4.1. Problema de Geometria de Distâncias (Distance Geometry Problem - DGP): dado um inteiro positivo K e um grafo não-direcionado simples $G = (V, E)$, cujas arestas são ponderadas por uma função $d : E \rightarrow \mathbb{R}^+$, determinar se existe ou não uma função $x : V \rightarrow \mathbb{R}^n$ tal que $\forall (i, j) \in E, \|x(i) - x(j)\| = d(i, j)$ (Saxe, 1979).

Tal problema pode ser visto, então, como a projeção de um grafo no espaço euclidiano n -dimensional. O mesmo é NP-completo para $n = 1$, como provado por Saxe (1979) e fortemente NP-difícil para $n > 1$. Uma tentativa de prova de que o problema é NP para $n = 2$ (o que, por consequência, provaria sua NP-completude para tal caso) foi realizada por Beeker et al. (2013), mas sem sucesso.

Um caso especial do DGP com estruturas discretas no espaço tridimensional (\mathbb{R}^3), aplicado a problemas de obtenção de estruturas de proteínas, é definido a seguir.

Definição B.4.2. Problema de Geometria de Distâncias Moleculares Discretizáveis (Discretizable Molecular Distance Geometry Problem - DMDGP): dado um grafo não direcionado simples $G = (V, E)$, cujas arestas são ponderadas por uma função $d : E \rightarrow \mathbb{R}^+$ e em cujo conjunto V de vértices exista uma ordem $v_1, v_2, \dots, v_{|V|}$ tal que:

1. todas as quádruplas de vértices consecutivos formam cliques ($\forall i \in \{4, \dots, n\} \forall j, k \in \{i-3, \dots, i\} (\{j, k\} \in E)$);

2. a desigualdade triangular estrita a seguir é válida:

$$\forall i \in \{2, \dots, n-1\} \quad d(i-1, i+1) < d(i-1, i) + d(i, i+1)$$

determinar se existe ou não uma função $x : V \rightarrow \mathbb{R}^3$ tal que $\forall (i, j) \in E, \|x(i) - x(j)\| = d(i, j)$ (Lavor et al., 2012).

Tal definição permite que a determinação da projeção do grafo em \mathbb{R}^3 se torne um problema de busca discreta, o que fornece ganhos de tempo de execução e precisão em comparação a métodos contínuos. O DMDGP pode ser generalizado para um problema com definições menos rígidas, definido a seguir para o espaço tridimensional.

Definição B.4.3. Problema de Geometria de Distâncias Discretizáveis (Discretizable Distance Geometry Problem - DDGP): dado um grafo não direcionado simples $G = (V, E)$, cujas arestas são ponderadas por uma função $d : E \rightarrow \mathbb{R}^+$ e em cujo conjunto V de vértices exista uma ordem parcial $v_1, v_2, \dots, v_{|V|}$ tal que:

1. exista um subconjunto V_0 de V no qual:

- $|V_0| = 3$;
- a relação de ordem em V_0 seja total;
- V_0 induz a uma clique de G ;
- para todo $u_0 \in V_0$ e para todo $u \in (V \setminus V_0)$, tem-se que $u_0 < u$.

2. para cada $i \in V \setminus V_0$, exista um subconjunto $\{v_1, v_2, v_3\}$ de V tal que:

- $v_1 < i, v_2 < i, v_3 < i$;
- $\{(v_1, i), (v_2, i), (v_3, i)\} \subseteq E$;
- a desigualdade triangular estrita a seguir é válida:
$$d(v_1, v_3) < d(v_1, v_2) + d(v_2, v_3).$$

determinar se existe ou não uma função $x : V \rightarrow \mathbb{R}^3$ tal que $\forall (i, j) \in E, \|x(i) - x(j)\| = d(i, j)$ (Mucherino et al., 2012).

Os principais métodos para problemas de geometria de distâncias, em especial em sua aplicação na determinação da estrutura de proteínas (Sallaume et al., 2013), incluem um algoritmo de tempo linear, proposto por Dong e Wu (2002), que pode ser usado quando as distâncias entre todos os pares de vértices são conhecidas (ou seja, o grafo de entrada é completo), e o algoritmo *branch-and-prune* de Lavor et al. (2012) para o DMDGP, que foi posteriormente usado também para o DDGP por Mucherino et al. (2012), usado quando nem todas as distâncias são conhecidas. Em tal algoritmo, devido às características geométricas da definição dos problemas, a posição de um vértice $i \geq 4$ pode ser determinada pela posição dos vértices anteriores $i - 1, i - 2$ e $i - 3$, por meio da intersecção de três esferas com raios $d(i - 3, i), d(i - 2, i)$ and $d(i - 1, i)$, de modo que são obtidas duas posições possíveis cujas factibilidades devem ser verificadas, como exemplificado na Figura B.13.

B.5 Informações adicionais

Este capítulo apresentou brevemente alguns conceitos teóricos explorados nos resultados apresentados nesta tese. No entanto, existem muitos outros conceitos, por exemplo, outras classes de problemas de otimização, técnicas para resolução dos mesmos e avaliação

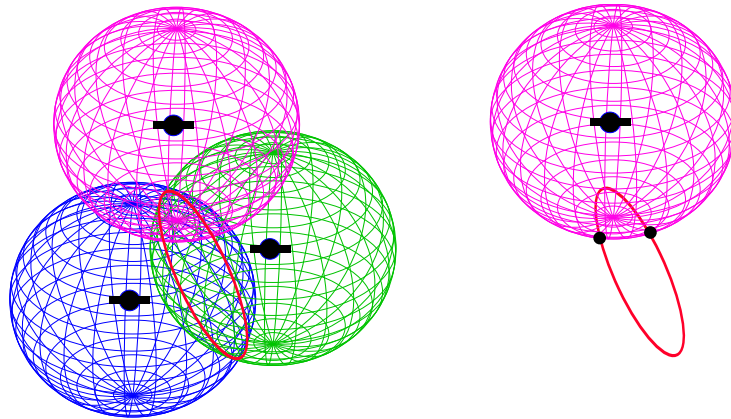


Figura B.13: Exemplos de intersecção de 3 esferas e os pontos correspondentes obtidos.

da eficiência dos algoritmos. Mais sobre este assunto pode ser visto nos livros de Papadimitriou e Steiglitz (1998) e Lawler (1976). Uma obra sobre programação matemática por Bradley et al. (1977) e livros específicos sobre meta-heurísticas por Luke (2009) e Talbi (2009) também estão disponíveis na literatura. Para programação por restrições, uma boa fonte introdutória é o manual das ferramentas *or-tools* disponibilizadas pelo Google (van Omme et al., 2014).

Sobre combinatória poliédrica, devido a sua forte ligação com o estudo de programação inteira e otimização convexa, diversas obras abordam estes assuntos de forma conjunta, como os livros de Schriver (1986) e Boyd e Vandenberghe (2004). A apostila de Ferreira e Wakabayashi (1996) é um bom material introdutório em português. Um outro texto recomendado para saber mais foi desenvolvido por Pendavingh (2015) para um curso de otimização linear.

Em teoria dos grafos, as obras consideradas referências do assunto são os livros de Szwarcfiter (1986) e Bondy e Murty (1982), que contém diversas características e propriedades de grafos. Uma obra mais recente é o livro de Chartrand e Zhang (2009), com ênfase em problemas de coloração em grafos (chamada pelo autor de teoria cromática de grafos).

Por fim, existem muitas outras aplicações de geometria de distâncias. Um conjunto de trabalhos da área pode ser visto no trabalho de Mucherino et al. (2013). Um *survey* da teoria e aplicações de geometria de distâncias foi elaborado por Liberti et al. (2014). Há também uma obra que explora relações entre otimização convexa e geometria de distâncias euclidianas, desenvolvida por Datorro (2013) e disponível livremente.

Apêndice C

Coloração clássica de vértices

Neste apêndice, será apresentado um complemento da revisão apresentada no Capítulo 2. Desta vez, a coloração clássica (VCP) será abordada, sendo que, para a mesma, também será mostrada uma definição formal de tal problema, bem como modelos de programação inteira e algoritmos exatos e aproximados da literatura.

Muitos dos resultados disponíveis para o VCP podem servir como base para novos métodos de resolução para o BCP e colorações com distâncias, e como a coloração clássica é a mais estudada na literatura, torna-se interessante conhecer seus resultados.

C.1 Definições

Para um grafo não direcionado $G = (V, E)$, uma coloração própria de G consiste em uma atribuição de cores (números naturais) para cada elemento de V de forma que vértices adjacentes não compartilhem a mesma cor. Uma k -coloração de G é uma coloração própria que usa no máximo k cores, de forma que para todo $i \in V$, $c(i) \leq k$.

Usando estas definições, pode-se expressar a versão de otimização do problema de coloração clássica de vértices em grafos, como mostrado abaixo.

Definição C.1.1. Problema de Coloração de Vértices em Grafos (Vertex Coloring Problem - VCP): *dado um grafo simples não direcionado $G = (V, E)$, onde V é o conjunto de vértices e E o de arestas, encontrar a k -coloração de G onde k seja o menor valor possível.*

A função objetivo do VCP, ou seja, o menor número de cores necessárias para colorir todos os vértices de G , é conhecida como número cromático de G , denotado por

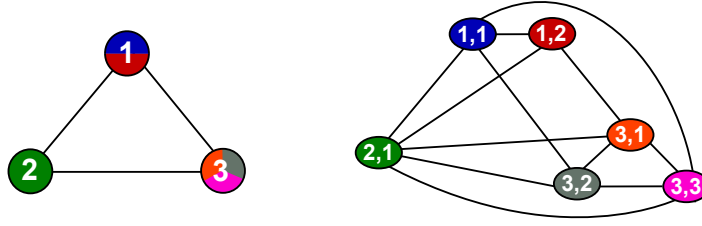


Figura C.1: Exemplo de instância de multicoloração e sua conversão para o VCP.

$\chi(G)$. Toda k -coloração de G onde $k = \chi(G)$ é ótima. Destaca-se que há uma variação do VCP, denominada de multicoloração, onde cada vértice pode ter uma demanda de mais de uma cor (ou seja, o mesmo pode necessitar ser colorido com uma ou mais cores distintas). Neste caso, a definição de k -coloração não se aplica diretamente, sendo a versão de otimização desta variação definida como se segue.

Definição C.1.2. Problema de Multicoloração de Vértices em Grafos: *dado um grafo não direcionado $G = (V, E)$, onde V é o conjunto de vértices e E o de arestas, e, para cada vértice $i \in V$, um peso $w_i \in \mathbb{N}$, determinar, para cada $i \in V$, w_i cores distintas $(c(i, 1), c(i, 2), \dots, c(i, w_i))$ tais que para toda aresta $(i, j) \in E$, tenha-se, para todo $1 \leq p \leq w_i$ e $1 \leq q \leq w_j$, que $c(i, p) \neq c(j, q)$, e a quantidade de valores distintos para cada $c(i, p)$ (ou seja, de cores distintas usadas) seja a menor possível.*

Apesar da definição diferente, o problema é equivalente ao VCP. Uma instância de multicoloração pode ser convertida em uma do VCP transformando-se cada vértice i em uma clique de w_i vértices. Além disso, para cada aresta $(i, j) \in E$, tem-se que cada um dos w_i vértices da clique associada a i será adjacente a cada um dos w_j vértices da clique associada a j . Por meio desta transformação, todo método de resolução do VCP pode ser usado para multicoloração. A Figura C.1 exemplifica esta técnica.

Sendo o primeiro problema de coloração em grafos abordado na literatura, o mesmo tem sido extensivamente estudado de várias formas, incluindo a complexidade computacional do problema para algumas classes específicas de grafos, além de limites superiores e inferiores para o número cromático. A seguir, são mostradas algumas das características mais importantes relativas ao tema.

C.2 Modelos teóricos e de programação matemática

A forma mais comum de representar o VCP é simplesmente seguindo a definição do problema tal como definida na subsecção anterior, isto é, determinando-se diretamente cores para os vértices que respeitem a restrição de que extremos de uma mesma aresta não usem cores iguais. Seguindo tal modelo, uma formulação padrão de programação inteira para o VCP pode ser definida utilizando dois conjuntos de variáveis:

$$\bullet x_{ik} = \begin{cases} 1 & \text{se a cor } k \text{ for atribuída ao vértice } i; \\ 0 & \text{caso contrário.} \end{cases}$$

$$\bullet y_k = \begin{cases} 1 & \text{se a cor } k \text{ for atribuída a algum vértice;} \\ 0 & \text{caso contrário.} \end{cases}$$

O conjunto de cores possíveis deve ser pré-determinado, uma vez que as variáveis são indexadas tanto pelos vértices quanto pelas cores (no caso das variáveis x). Ao invés de considerar o conjunto de cores possíveis como \mathbb{N} , pode-se limitá-lo ao intervalo $[1..LS]$, onde LS é um limite superior válido dentre os mostrados na subsecção anterior. Será assumido $LS = \Delta(G) + 1$ (Welsh e Powell, 1967), por ser o limite mais conhecido, o que torna a função de coloração definida como $c : V \rightarrow [1, \Delta(G) + 1]$.

A formulação de PI é, então:

(PI-Col-Padrão)

$$\text{Minimizar} \quad \sum_{k=1}^{\Delta(G)+1} y_k \quad (\text{C.1})$$

$$\text{Sujeito a} \quad \sum_{k=1}^{\Delta(G)+1} x_{ik} = 1 \quad (\forall i \in V) \quad (\text{C.2})$$

$$x_{ik} + x_{jm} \leq 1 \quad (\forall i, j \in V; k, m = 1, 2, \dots, \Delta(G) + 1 : (i, j) \in E) \quad (\text{C.3})$$

$$x_{ik} \leq y_k \quad (\forall i \in V; k = 1, 2, \dots, \Delta(G) + 1) \quad (\text{C.4})$$

$$x_{ik} \in \{0, 1\} \quad (\forall i \in V; k = 1, 2, \dots, \Delta(G) + 1) \quad (\text{C.5})$$

$$y_k \in \{0, 1\} \quad (\forall k = 1, 2, \dots, \Delta(G) + 1) \quad (\text{C.6})$$

A função objetivo (C.1) é a minimização do número de variáveis do conjunto y que

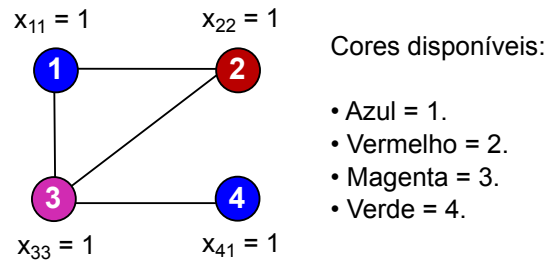


Figura C.2: Exemplo de instância do problema clássico de coloração de vértices em grafos e sua solução ótima com 3 cores codificada no modelo de programação inteira clássico.

recebam o valor 1, o que corresponde à minimização do número de cores usadas. As restrições (C.2) requerem que cada vértice receba exatamente uma cor (sendo que, para multicoloração, pode-se substituir o lado direito por w_i ao invés de expandir o grafo de entrada). O conjunto de restrições (C.3) exigem que vértices adjacentes não utilizem a mesma cor. Restrições (C.4) garantem que se, para uma determinada cor k , houver uma variável x_{ik} com valor 1 (independentemente do vértice i), então a variável y_k também deverá ter valor 1. Por fim, restrições (C.5) e (C.6) são de integralidade. Na Figura C.2, tem-se um exemplo de instância cuja solução é codificada como variáveis desta formulação.

A formulação acima tem dimensão polinomial. Existem $O(|V|^2)$ variáveis no conjunto x e $O(|V|)$ variáveis no conjunto y . Além disso, a formulação possui $O(|V|^2|E| + |V||E| + |V|)$ restrições. Tal modelo pode ser adaptado para outras variações de colorações de vértices, como será visto nas próximas seções. Porém, há problemas de simetria, uma vez que, dada uma solução, outra equivalente pode ser obtida pela mera troca dos vértices que usam uma determinada cor pelos vértices que usam outra e vice-versa. O limite inferior obtido pela sua relaxação linear também é considerado fraco (Malaguti e Toth, 2010). Apesar disso, o modelo tem sido utilizado com sucesso em algoritmos exatos (Méndez-Díaz e Zabala, 2006; Aardal et al., 1996).

Uma segunda forma de representar o VCP é baseada em conjuntos independentes. Como definido na Seção B.3, um conjunto independente de um grafo é um subconjunto de vértices não adjacentes entre si. Sendo assim, é possível colorir todos os membros de um conjunto independente com a mesma cor, sem violar restrições do VCP. Diz-se então que cada um desses conjuntos define uma classe de cor do grafo.

É importante ressaltar, para este modelo teórico, que o número de independência do grafo $\alpha(G)$ não corresponde ao número cromático do mesmo, nem tampouco o conjunto

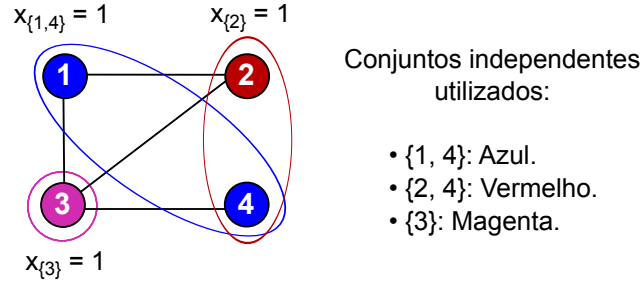


Figura C.3: Exemplo de instância do problema clássico de coloração de vértices em grafos e sua solução ótima com 3 cores codificada como conjuntos independentes.

independente máximo corresponderá a uma classe de cor presente na solução ótima do VCP (já que o número cromático seria equivalente, na verdade, ao número de conjuntos independentes usados). Porém, existe uma relação entre ambos, dada pela expressão $\chi(G) \geq \left\lceil \frac{|V|}{\alpha(G)} \right\rceil$ (Chartrand e Zhang, 2009; Lewis, 2016).

Com base nesta modelagem, uma formulação de programação inteira foi desenvolvida por Mehrotra e Trick (1996). Seja I o conjunto de todos os conjuntos independentes maximais de G . Tem-se o seguinte conjunto de variáveis:

$$\bullet \ x_S = \begin{cases} 1 & \text{se o conjunto independente } S \in I \text{ receberá uma única cor;} \\ 0 & \text{caso contrário.} \end{cases}$$

O modelo é definido como:

(PI-Col-ConjIndep)

$$\text{Minimizar } \sum_{S \in I} x_S \quad (\text{C.7})$$

$$\text{Sujeito a } \sum_{S \in I : i \in S} x_S \geq 1 \quad (\forall i \in V) \quad (\text{C.8})$$

$$x_S \in \{0, 1\} \quad (\forall S \in I) \quad (\text{C.9})$$

A função objetivo (C.7) é a minimização do número de conjuntos independentes maximais que receberão uma única cor, o que equivale à minimização da quantidade de cores usadas. Restrições (C.8) exigem que cada vértice do grafo deve estar presente em pelo menos um dos conjuntos independentes que serão utilizados como classe de cor. Por fim, o conjunto (C.9) consiste de restrições de integralidade. A Figura C.3 mostra um exemplo de instância cuja solução é codificada como variáveis desta formulação.

Apesar de esta formulação ter $O(|V|)$ restrições, a mesma tem um número exponencial de variáveis. Como há uma para cada conjunto independente maximal do grafo, há $O(3^{|V|/3})$ variáveis no modelo completo (seguindo o mesmo limite da quantidade de conjuntos independentes de um grafo (Moon e Moser, 1965)). No entanto, este modelo foi usado com sucesso no desenvolvimento de algoritmos *branch-and-price*, como será mostrado mais adiante. Além disso, a formulação não sofre do mesmo problema de simetria da anterior, pois as cores não são diretamente atribuídas, já que os vértices de cada conjunto independente podem usar qualquer cor, desde que, caso pertençam ao mesmo conjunto, usem as mesmas cores e, em caso contrário, usem cores diferentes (Mehrotra e Trick, 1996; Malaguti e Toth, 2010).

Outra forma de modelar o VCP envolve a definição de representantes assimétricos, proposta por Campêlo et al. (2008) e que também é baseada baseado no conceito de classes de cores (ou seja, conjuntos independentes).

Seja W_k a classe de cor contendo os vértices que usam a cor k . Para cada classe W_k , um vértice $i \in W_k$ é escolhido para representar a mesma. Para evitar simetria entre vértices na mesma classe de cor, uma ordem \prec é definida tal que, se $i \prec j$, então j não pode representar a classe da cor de i , e a variável x_{ij} é fixada com valor 0. Considerando o complemento $\bar{G} = (\bar{V}, \bar{E})$ do grafo $G = (V, E)$ (onde $\bar{V} = V$ e $\bar{E} = \{(i, j) : i, j \in V \text{ and } (i, j) \notin E\}$), verifica-se que \prec induz a uma orientação de \bar{G} , uma vez que vértices adjacentes no complemento podem utilizar a mesma cor.

Seja $N(i)$ o conjunto de vértices adjacentes a i e $\bar{N}(i)$ seu complemento (ou seja, $\bar{N}(i) = V \setminus (N(i) \cup \{i\})$). Além disso, define-se $\bar{N}^+(i) = \{j \in \bar{N}(i) : i \prec j\}$, $\bar{N}^-(i) = \{j \in N(i) : j \prec i\}$, $G^+(v)$ o subgrafo induzido contendo apenas os vértices de $\bar{N}^+(i)$ e $G^-(v)$ o subgrafo induzido contendo apenas os vértices de $\bar{N}^-(i)$. A orientação induzida por \prec em \bar{G} é acíclica, logo, há dois conjuntos especiais de vértices: $S = \{s : \bar{N}^-(s) = \emptyset\}$ e $T = \{t : \bar{N}^+(t) = \emptyset\}$, cujos subgrafos induzidos são cliques.

Para utilizar o modelo teórico com uma formulação de programação inteira, considere-se variáveis:

$$\bullet x_{ij} = \begin{cases} 1 & \text{se o vértice } i \in V \text{ representa a classe da cor de } j \in \bar{N}(i); \\ 0 & \text{caso contrário.} \end{cases}$$

$$\bullet y_i = \begin{cases} 1 & \text{se o vértice } i \in V \text{ também está em } S; \\ x_{ii} & \text{caso contrário.} \end{cases}$$

A formulação é definida como:

(PI-Col-ReprAssim)

$$\text{Minimizar } \sum_{i \in V} x_{ii} \quad (\text{C.10})$$

$$\text{Sujeito a } \sum_{j \in \bar{N}^-(i)} x_{ji} \geq 1 \quad (\forall i \in V \setminus S) \quad (\text{C.11})$$

$$\sum_{j \in L} x_{ij} \leq y_i \quad (\forall i \in V \setminus T; L \subseteq \bar{N}^+(i) : \text{clique induzida tem tamanho 1 ou 2}) \quad (\text{C.12})$$

$$x_{ij} \in \{0, 1\} \quad (\forall i \in V; j \in \bar{N}(i)) \quad (\text{C.13})$$

$$y_i \in \{0, 1\} \quad (\forall i \in V) \quad (\text{C.14})$$

A função objetivo (C.10) consiste na minimização do número de vértices cujo representante de sua cor na coloração é ele próprio, o que equivale a minimizar a quantidade de cores usadas, já que vértices representados por outros compartilharão as mesmas cores. Tal função também pode ser reescrita como $\sum_{i \in V \setminus S} x_{ii} + |S|$, pois vértices no conjunto S (chamados de origens) não podem ser representados por outros. Restrições (C.11) garantem que cada vértice deve ser representado por si mesmo ou por um outro vértice não adjacente. O conjunto (C.12) exige que vértices adjacentes entre si, mas que não são a um determinado vértice adicional, tenham representantes diferentes. Por fim, as restrições (C.13) e (C.14) são de integralidade. A Figura C.4 mostra um exemplo de solução codificada por este modelo.

Esta formulação possui $O(|V|^2 - |E|)$ variáveis, já que há uma para cada aresta do complemento do grafo de entrada. O maior conjunto de restrições é (C.12), onde há $O(|V|(|V|^2 - |E|)) = O(|V|^3 - |V||E|)$ elementos. Assim, o modelo tem tamanho polinomial, além de não ter problemas de simetria pela definição da ordenação \prec . Campêlo et al. (2008) também apresentaram um estudo poliédrico da formulação e restrições adicionais que definem facetas, de forma a utilizá-la em algoritmos *branch-and-cut*, como feito para o problema de coloração fracionária (Campêlo et al., 2009).

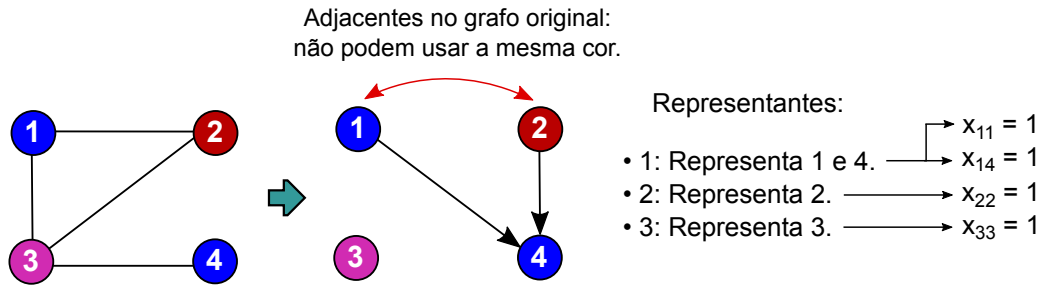


Figura C.4: Exemplo de instância do problema clássico de coloração de vértices em grafos e sua solução ótima com 3 cores codificada utilizando representantes assimétricos e grafo complementar.

O último modelo teórico para o VCP foi proposto por Burke et al. (2010) e é derivada de um particionamento do grafo em cliques, baseando-se também em conjuntos independentes. Dessa maneira, dado um grafo $G = (V, E)$, tem-se que cada clique do mesmo corresponde a um conjunto independente do complemento \bar{G} do grafo, e cada vértice da clique deverá usar uma cor diferente dos demais (enquanto que, em uma clique de \bar{G} , todos os vértices da mesma usarão a mesma cor). Particionando-se os vértices do grafo complementar \bar{G} em k subconjuntos (H_1, H_2, \dots, H_k) tais que os subgrafos induzidos pelos mesmos formam cliques, tem-se que o menor k para o qual existe tal particionamento é igual ao número cromático do grafo original G .

Seja $G' = (V', E')$ um grafo induzido por uma partição $H = \{H_1, H_2, \dots, H_k\}$ em cliques de G , onde $V' = H$ e $E' = \{(D, F) : (i, j) \in E; D, F \in H; D \neq F; i \in D; j \in F\}$. Tal particionamento é dito reversível se, para cada $D \in H$, todos $i \in D$ são indistinguíveis, ou seja, são adjacentes uns aos outros e têm a mesma vizinhança. Cada $D \in H$ é um supernó, onde o mesmo representa mais de um vértice do grafo original. Considerando G' como entrada de um problema de multicoloração, onde cada vértice recebe mais de uma cor, a solução desta multicoloração equivale a da coloração clássica no grafo G original.

Para este modelo teórico, uma formulação de programação inteira do mesmo usa variáveis:

$$x_{Dk} = \begin{cases} 1 & \text{se a cor } k \text{ for atribuída ao supernó } D \in H; \\ 0 & \text{caso contrário.} \end{cases}$$

$$y_k = \begin{cases} 1 & \text{se a cor } k \text{ for atribuída a algum supernó;} \\ 0 & \text{caso contrário.} \end{cases}$$

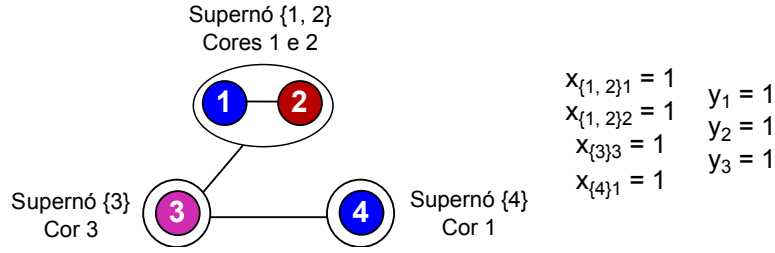


Figura C.5: Exemplo de instância do problema clássico de coloração de vértices em grafos e sua solução ótima com 3 cores codificada utilizando particionamento reversível em cliques.

A formulação é definida então como:

(PI-Col-PartClique)

$$\text{Minimizar } \sum_{k=1}^{\Delta(G)+1} y_k \quad (\text{C.15})$$

$$\text{Sujeito a } \sum_{k=1}^{\Delta(G)+1} x_{Dk} = |D| \quad (\forall D \in H) \quad (\text{C.16})$$

$$x_{Dk} + x_{Fm} \leq 1 \quad (\forall D, F \in H; k, m = 1, 2, \dots, \Delta(G) + 1 : (D, F) \in E') \quad (\text{C.17})$$

$$x_{Dk} \leq y_k \quad (\forall D \in H; k = 1, 2, \dots, \Delta(G) + 1) \quad (\text{C.18})$$

$$x_{Dk} \in \{0, 1\} \quad (\forall D \in H; k = 1, 2, \dots, \Delta(G) + 1) \quad (\text{C.19})$$

$$y_k \in \{0, 1\} \quad (\forall k = 1, 2, \dots, \Delta(G) + 1) \quad (\text{C.20})$$

Este modelo é praticamente igual ao clássico aplicado no grafo G' , mas considerando, como conjunto de cores, o intervalo $[1.. \Delta(G) + 1]$ ao invés de $[1.. \Delta(G') + 1]$ (que equivale a $[1.. |H|]$). Porém, como discutido anteriormente, o particionamento reversível em cliques deve ser multicolorido ao invés de receber apenas uma coloração clássica, logo, o lado direito do conjunto de restrições (C.16) é modificado de forma que cada supernó D receba $|D|$ cores, o que assegura que cada vértice do grafo original receba uma cor. A Figura C.5 mostra um exemplo de solução codificada por este modelo.

Existem $O(|V(G)||H|)$ variáveis no conjunto x e $O(|H|)$ variáveis no conjunto y , de forma similar à formulação clássica. Há também $O(|H| + |V(G)||E'|)$ restrições. Este modelo evita problemas de simetria, uma vez que as cores atribuídas a cada supernó podem ser distribuídas de qualquer modo aos vértices internos. A formulação foi utilizada com sucesso em problemas de agendamento de horários (*timetabling*), no entanto, foi

apenas implementada diretamente com um resolvidor geral de programação inteira e não em um algoritmo específico.

A Tabela C.1 fornece um sumário das formulações de programação inteira descritas para a coloração clássica.

Tabela C.1: Formulações de programação inteira para a coloração clássica de vértices.

| Formulação | Variáveis | Restrições | Referências |
|--|------------------|------------------------------|----------------------------------|
| PI-Col-Padrão - Padrão | $O(V ^2)$ | $O(V ^2 E + V E + V)$ | - |
| PI-Col-ConjIndep - Conjuntos independentes | $O(3^{ V /3})$ | $O(V)$ | Mehrotra e Trick (1996, 2007) |
| PI-Col-ReprAssim - Representantes assimétricos | $O(V ^2 - E)$ | $O(V ^3 - V E)$ | Campêlo et al. (2008, 2009) |
| PI-Col-PartClique - Particionamento em cliques | $O(V H)$ | $O(H + V E')$ | Burke et al. (2010) |

C.3 Algoritmos exatos e aproximados

A seguir, serão brevemente apresentados alguns dos principais algoritmos propostos na literatura para a coloração clássica de vértices, com o objetivo de encontrar o número cromático do grafo.

Os primeiros algoritmos apresentados serão exatos. Um dos primeiros da literatura foi proposto por Brown (1972), baseado na técnica de *backtracking*, onde cada vértice tem uma lista de possíveis cores e a coloração é construída vértice a vértice até atingir uma solução completa. Tal algoritmo foi posteriormente melhorado por Brélaç (1979), que introduziu o conceito de grau de saturação de um vértice, equivalente à quantidade de vértices vizinhos que já estão coloridos, sendo usado em um algoritmo *branch-and-bound*, denominado de $DSATUR_{B\&B}$ que colore o grafo de acordo com uma ordem de vértices seguindo os graus de saturação. Esse, por sua vez, também foi posteriormente melhorado com regras alternativas de desempate de vértices com mesmo grau de saturação por Sewell (1996) e Segundo (2012) e com técnicas de atualização de limite inferior por Furini et al. (2016) para que o *gap* de otimalidade seja reduzido a zero mais rapidamente.

Outras abordagens exatas para o VCP foram desenvolvidas com base em programação inteira. Um algoritmo *branch-and-price* foi desenvolvido por Mehrotra e Trick (1996) a

Tabela C.2: Algoritmos exatos para a coloração clássica de vértices.

| Referência | Estratégia algorítmica |
|-----------------------------|--|
| Brown (1972) | <i>Backtracking</i> |
| Brélaz (1979) | DSATUR _{B&B} - <i>Branch-and-bound</i> |
| Sewell (1996) | Regra de desempate para DSATUR _{B&B} |
| Mehrotra e Trick (1996) | <i>Branch-and-price</i> (formulação por conjuntos independentes) |
| Méndez-Díaz e Zabala (2006) | <i>Branch-and-cut</i> (formulação clássica) |
| Lucet et al. (2006) | Decomposição linear |
| Segundo (2012) | Regra de desempate para DSATUR _{B&B} |
| Furini et al. (2016) | Limites inferiores para DSATUR _{B&B} |

partir da formulação por conjuntos independentes (PI-Col-FormIndep), tomando proveito de seu número exponencial de variáveis, as quais são selecionadas por meio de geração de colunas cujo subproblema envolve a determinação de um conjunto independente máximo ponderado. Tal algoritmo também foi posteriormente explorado em multicoloração (Mehrotra e Trick, 2007).

Um método exato seguindo a técnica de *branch-and-cut* foi proposto por Méndez-Díaz e Zabala (2006), usando a formulação padrão (PI-Col-Padrão), onde são usadas desigualdades válidas adicionais baseadas em conjuntos independentes, cliques, buracos, caminhos e bloqueios no grafo de entrada.

Uma última abordagem exata distinta das anteriores foi proposta por Lucet et al. (2006), baseada em decomposição linear, onde o grafo de entrada é decomposto em subgrafos menores de acordo com um conjunto fronteira, que contém vértices comuns a ambos os subgrafos, os quais sempre usarão as mesmas cores em ambos os subgrafos. Uma vez que o número de configurações possíveis é exponencial, Lucet et al. propõem aplicar a decomposição linear apenas com k ou menos blocos.

A Tabela C.2 fornece um resumo das referências citadas de algoritmos exatos para o VCP.

Em contraste com a quantidade de algoritmos exatos presentes na literatura, muitas heurísticas e meta-heurísticas foram propostas ao longo dos anos para a coloração clássica, com variados graus de sucesso. Devido a similaridades entre algumas delas, o foco será em mostrar, para diferentes tipos conhecidos de heurísticas e meta-heurísticas, os principais trabalhos da literatura.

Um algoritmo heurístico construtivo muito conhecido na literatura é o DSATUR_H,

proposto por Brélaz (1979) (citado na subseção anterior como base para um método exato), que segue o paradigma guloso e onde o potencial de um vértice a ser selecionado para ser colorido segue os graus de saturação da solução parcial. Outra heurística construtiva bastante usada é o método RLF (*Recursive Largest First*), proposto por Leighton (1979), onde uma cor é selecionada por vez e o algoritmo identifica conjuntos independentes no grafo cujos membros receberão tal cor, repetindo o processo ao incrementar a cor.

A primeira meta-heurística aplicada à coloração de vértices foi proposta por Chams et al. (1987), sendo um *simulated annealing* (SA) aplicado ao espaço de soluções conflitantes (ou seja, onde há soluções infactíveis). A cada iteração em uma dada temperatura, novas soluções são geradas aleatoriamente da vizinhança básica (onde um vértice tem sua cor alterada).

Outros algoritmos usando *simulated annealing* foram propostos por Johnson et al. (1991), que forneceram três implementações do método, variando o espaço de soluções (válidas ou conflitantes) e vizinhanças, todas com resfriamento exponencial e com a adição de dois parâmetros: porcentagem mínima de movimentos aceitos para cada temperatura e quantidade de vezes que tal porcentagem mínima deve ser atingida para que o processo chegue ao congelamento.

Uma variação interessante do *simulated annealing* é o *quantum annealing* (QA) que insere flutuações quânticas artificiais (conceitos vindos da mecânica quântica) ao SA, sendo que um algoritmo desse tipo para a coloração de grafos foi proposto por Titiloye e Crispin (2011), onde são usadas soluções conflitantes inicialmente aleatórias.

Hertz e Werra (1987) propuseram o algoritmo TABUCOL, que é uma busca tabu para a coloração de vértices. O método também usa soluções conflitantes e procura minimizar a quantidade de conflitos até atingir uma coloração válida. Apesar da aparente simplicidade, muitos outros algoritmos usam o TABUCOL como busca local em suas fases de melhoria de solução.

Outro método que usa busca tabu foi proposto por Lim et al. (2005), baseado também na meta-heurística *Squeaky Wheel Optimization* (SWO), onde sequências de vértices são usadas para definir prioridades e as soluções são melhoradas por meio de busca tabu em uma vizinhança de troca entre pares nas sequências de vértices.

Blöchliger e Zufferey (2008) desenvolveram o algoritmo PARTIALCOL, que é uma

busca tabu que trabalha no espaço de busca de soluções parciais, ou seja, que contém vértices não coloridos, e usa vizinhanças que tentam atribuir cor a vértices não coloridos, removendo violações. O método usa dois esquemas para a lista tabu, de acordo com a solução atual e movimento na vizinhança.

Uma busca tabu pseudo-reativa foi proposta por Chalupa (2011), que usa um esquema tabu dinâmico similar ao de Blöchliger e Zufferey (2008), porém, altera os parâmetros utilizados para o cálculo do período tabu ao invés do mesmo diretamente. Assim, se a busca estiver presa em uma região do espaço de soluções, os parâmetros são alterados para aumento do período tabu.

Métodos híbridos combinando *simulated annealing* e busca tabu foram propostos mais recentemente. Yesil et al. (2011) propuseram um algoritmo SA com *backtracking* que também usa uma lista tabu. O procedimento utiliza soluções parciais, as quais são codificadas como sequências de vértices e separadores. Vértices delimitados entre dois separadores usam a mesma cor, e o objetivo é aumentar o tamanho das soluções parciais, de forma que todos os vértices estejam na sequência. A construção de novas soluções é feito por *backtracking* de acordo com os vértices não coloridos, e as soluções parciais geradas são colocadas na lista tabu.

Outro algoritmo combinando SA e busca tabu foi desenvolvido por Pahlavani e Eshghi (2011), onde são usadas soluções conflitantes e a solução inicial é obtida por uma estratégia gulosa. O SA usado é clássico, usando a vizinhança básica e o critério de aceitação de Metropolis. A cada iteração, é usada a busca tabu com vizinhança básica de troca de cores, com período tabu dinâmico, proporcional ao número de conflitos da solução atual.

Diversas meta-heurísticas baseadas em busca local sem busca tabu como procedimento principal também foram propostas na literatura. Caramia e Dell’Olmo (1999) propuseram o algoritmo HCD, que também procura evitar movimentos repetidos durante a exploração da vizinhança, mas usa prioridades de vértices ao invés de lista tabu para isso. O método explora o espaço de k -colorações válidas, mas aceita soluções piores que a melhor encontrada de forma a visitar mais porções do espaço de busca. O método HCD foi posteriormente melhorado, dando origem ao algoritmo CHECKCOL, proposto por Caramia et al. (2006). Nele, é introduzido um esquema de *checkpointing*, onde, depois de algumas iterações, o algoritmo é reiniciado (como um método *multistart*).

Laguna e Martí (2001) propuseram um GRASP (*Greedy Randomized Adaptive Search*

Procedure, ou Procedimento de Busca Gulosa Aleatória Adaptativa) para colorir grafos esparsos, utilizando soluções conflitantes. A fase construtiva trabalha construindo uma classe de cor por vez e usa uma lista restrita de candidatos baseada no grau dos vértices. A fase de melhoria tenta fundir classes pequenas de cores e, posteriormente, aplica busca local na solução gerada.

Uma busca local iterada (em inglês, *iterated local search* - ILS) foi desenvolvida por Paquete e Stutzle (2002), a qual explora soluções conflitantes, sendo a inicial definida aleatoriamente. O método utiliza três vizinhanças que reduzem conflitos e alteram cores dos vértices, além de quatro operadores de perturbação para escapar de ótimos locais, incluindo um baseado em busca tabu (diversificação direcionada).

Avanthay et al. (2003) propuseram um algoritmo de busca em vizinhanças variadas (em inglês, *variable neighborhood search* - VNS), onde seis tipos de movimentos são usados de forma a escapar de ótimos locais. As soluções usadas são do espaço das conflitantes, onde a inicial é definida aleatoriamente. Cada iteração do VNS usa uma das vizinhanças. Três são baseadas em vértices, onde um vértice conflitante recebe a melhor cor possível, e as outras três são baseadas em classes de cores. Como busca local, o método aplica execuções do TABUCOL (Hertz e Werra, 1987) em cima da solução encontrada após explorar a vizinhança. Para fugir dos ótimos locais, o algoritmo efetua uma perturbação que consiste em procurar uma solução aleatória na vizinhança atualmente considerada.

Trick e Yildiz (2007) propuseram um algoritmo de busca em vizinhança grande (em inglês, *large neighborhood search* - LNS), que também utiliza soluções conflitantes. A solução inicial é aleatória e as vizinhanças são derivadas de trabalhos em visão computacional de tamanho exponencial. Para determinar o melhor movimento da vizinhança, o algoritmo determina cortes máximos em subgrafos definidos de acordo com a coloração atual e a vizinhança.

Uma busca em espaço variável foi proposta por Hertz et al. (2008), além das vizinhanças, a função objetivo também é alterada. Três espaços de busca são usados, baseados nos algoritmos TABUCOL, PARTIALCOL e em orientações acíclicas do grafo. Destaca-se que esse método não utiliza critério de perturbação, uma vez que o uso de espaços de busca distintos ajuda na exploração de regiões distintas de soluções.

Um algoritmo genético com busca local foi proposto por Fleurent e Ferland (1996),

onde o espaço de busca do algoritmo é o de soluções conflitantes com conjunto fixo de cores) A população é ordenada de acordo com a função de *fitness* (número de conflitos) e a seleção de um indivíduo é aleatória. No método, são usados dois tipos de codificações de solução, cada uma com operadores genéticos próprios. Um operador adicional de cruzamento, utilizável em ambas as codificações, faz com que um filho use a mesma coloração do pai 1, onde vértices conflitantes no mesmo passarão a usar a cor do pai 2 caso a mesma remova o conflito. O algoritmo de melhoria (busca local) é o TABUCOL.

Outro método hibridizando algoritmo genético e busca local foi proposto Dorne e Hao (1998b), onde também são usadas soluções conflitantes com conjunto fixo de cores. Os indivíduos seguem a codificação por *string* de Fleurent e Ferland (1996) e a população inicial é obtida por uma variante aleatorizada do algoritmo RLF. A seleção de indivíduos para o cruzamento é feita aleatoriamente, com uma probabilidade dada como parâmetro, e o cruzamento em si usa o operador UIS (*Unified Independent Sets*, ou Conjuntos Independentes Unificados), o qual une classes de cores com mais vértices em cada pai. O processo de mutação envolve um processo de busca tabu com caminho aleatório.

Galinier e Hao (1999) propuseram um algoritmo evolucionário híbrido, utilizando soluções conflitantes. A população inicial é obtida por uma adaptação do DSATUR_H, com conjunto de cores é fixo, levando alguns vértices de cada solução a não terem cor factível, recebendo então uma cor aleatória que será conflitante e, ao final, é aplicada uma busca local. A seleção de pais na população é feita de forma aleatória e o cruzamento é realizado pelo operador GPX (*Greedy Partition Crossover*, ou Cruzamento de Particionamento Guloso), que consiste em selecionar, a cada passo, um dos pais (pai 1 se o passo for ímpar e pai 2 se for par) e encontrar a maior classe de cores no mesmo. Tal classe vai para o filho e os vértices da mesma são removidos de ambos os pais. Ao final, vértices não coloridos no filho recebem cores aleatórias. A busca local utilizada para melhoria de soluções é o algoritmo TABUCOL adaptado para esse método híbrido, que também substitui o operador de mutação.

Um método de duas fases, chamado de MMT, que envolve conceitos evolutivos e programação inteira, foi proposto por Malaguti et al. (2008), onde são usadas soluções parciais. A primeira fase é a evolutiva, na qual são gerados os limites iniciais. A população inicial é determinada por uma adaptação do DSATUR_H e um algoritmo guloso clássico com ordens aleatórias de vértices. Uma busca local é aplicada em cada solução

inicial gerada, consistindo em uma busca tabu com vizinhança que muda a cor de um vértice e remove as cores de vértices vizinhos que forem iguais à atribuída. O operador de cruzamento é uma modificação do GPX de Galinier e Hao (1999) A segunda fase envolve otimização por colunas, com base no modelo de programação inteira por conjuntos independentes (PI-Col-ConjIndep) de Mehrotra e Trick (1996), onde as colunas usadas são determinadas pelas soluções da fase evolutiva.

Mabrouk et al. (2009) propuseram um algoritmo genético com busca tabu e processamento paralelo, onde o conjunto inicial de cores e a população são determinados por uma aplicação do algoritmo (Leighton, 1979). A seleção de indivíduos é baseada em torneio e o cruzamento é feito pelo operador PMX (*Partially Mapped Crossover*, ou Cruzamento Parcialmente Mapeado) onde duas colorações, representadas como permutações, são cortadas em dois pontos e os filhos são gerados com base na mistura de partes de cada coloração, nos quais é aplicado procedimento de conserto para remover inconsistências. A mutação baseia-se em busca tabu O paralelismo do algoritmo é implementado com o modelo de mestre e escravos, no qual um processador é denotado como mestre e distribui as tarefas aos outros. A população é dividida entre os escravos, que farão cruzamentos e mutações, e repassarão os resultados ao mestre para avaliação e reorganização.

Outro método que combina algoritmo genético com busca tabu é a heurística MACOL, proposta por Lü e Hao (2010), que usa colorações com conflitos. A população inicial é gerada por uma heurística baseada em chances de cada vértice não poder ser colorido no futuro se não receber uma cor na iteração atual. O cruzamento é feito pelo operador AM-PaX (*Adaptive Multi-Parent Crossover*, ou Cruzamento Adaptativo com Múltiplos Pais), que é baseado no GPX, porém usando mais de dois pais para determinar um filho. Uma busca tabu é aplicada em seguida, baseada na desenvolvida por Galinier e Hao (1999) e no TABUCOL.

Fister et al. (2011) propuseram um algoritmo de evolução diferencial específico para determinar se um grafo possui ou não uma 3-coloração, chamado de HSA-DE (*Hybrid Self-Adaptive Differential Evolution*, ou Evolução Diferencial Híbrida Auto-Adaptativa). Cada solução consiste em um vetor de $|V|$ números reais, onde o i -ésimo valor do vetor indica a dificuldade para colorir o vértice i (ou seja, define a ordem dos vértices). A decodificação das soluções é baseada no DSATUR_H com base nos vetores gerados. A mutação envolve três soluções aleatórias, onde uma nova é gerada com a soma do vetor

de uma solução à diferença ponderada dos outros dois vetores selecionados. Para o cruzamento, um vetor solução é gerado baseado em dois pais (um da população e outro gerado da mutação), onde, para cada posição do mesmo, com uma dada probabilidade, o valor da mutação é copiado (caso contrário, o valor da solução da população é copiado). Para melhorar as soluções, é utilizada uma busca local em uma vizinhança de troca de posições de vértices nas permutações geradas.

Um algoritmo evolutivo multiagente foi proposto por Chalupa (2011), que se destaca por usar apenas mutação e não cruzamento. Neste método, cada agente é uma solução com tempo de vida limitado, e a população inicial consiste em soluções aleatórias. Cada agente passa por uma busca local, que consiste no TABUCOL e também determina o tempo de vida da solução de acordo com a melhoria. Uma lista elite é usada para armazenar as melhores soluções, para a qual cada agente só pode passar uma solução.

Um método baseado na extração de conjuntos independentes do grafo por meio de um algoritmo genético com busca tabu foi proposto por Wu e Hao (2012), sendo chamado de EXTRACOL. O método consiste em duas fases, pré-processamento e coloração, o que torna necessário o uso de colorações parciais na primeira fase, que serão estendidas para soluções completas na segunda. O pré-processamento consiste na aplicação de uma busca tabu adaptativa para identificar o melhor conjunto independente maximal possível. A função objetivo desta busca tabu é a quantidade de arestas entre os vértices selecionados como conjunto independente (caso seja 0, então os vértices formam um conjunto independente válido). A vizinhança usada envolve trocas entre pares de vértices dentro e fora do conjunto independente.

Abbasian e Mouhoub (2013) desenvolveram um algoritmo paralelo genético hierárquico, onde a busca é realizada no espaço de soluções conflitantes e são usados vários processos mestre (denotando ilhas), cada um com seus escravos. Os mestres se reportam a um processo coordenador, que recebe soluções válidas dos mesmos. Os indivíduos consistem em um vetor de $|V|$ inteiros, onde o i -ésimo elemento é a cor de i . O cruzamento utilizado é o PSC (*Parental Success Crossover*, ou Cruzamento de Sucesso Parental), onde, para cada um dos dois pais, determina-se, para cada vértice, o número de conflitos do mesmo e, então, cada vértice do filho receberá a cor usada no pai que tenha menos conflitos para o vértice. São usados dois tipos de mutação: o primeiro seleciona um vértice i aleatório e troca as cores de seus vizinhos que estejam usando a mesma cor, enquanto o

segundo apenas troca a cor de um vértice por outra aleatória.

Costa e Hertz (1997) propuseram um dos primeiros algoritmos de colônia de formigas para a coloração clássica, denominado de ANTCOL. As soluções usadas correspondem a k -colorações válidas, de tal modo que cada formiga gera uma solução por meio de adaptações dos algoritmos construtivos DSATUR_H e RLF bem como por outros procedimentos gulosos e aleatórios. Os métodos construtivos baseiam-se em uma tabela que corresponde à experiência adquirida pela colônia a cada construção (trilha de feromônios), Quanto melhor a solução, mais as próximas soluções tenderão a usar essa característica memorizada.

Uma melhoria do ANTCOL foi proposta por Salari e Eshghi (2005), cujo algoritmo resultante é chamado de MMGC. Nele, é utilizada uma outra função objetivo, a maximização da soma dos quadrados da quantidade de vértices em cada classe de cor, o que leva o algoritmo a encontrar soluções que usam menos cores. O método também usa heurística na seleção do primeiro vértice a ser colorido no métodos construtivos. Por fim, o MMGC adiciona uma busca local ao algoritmo utilizando uma vizinhança definida por cadeias de Kempe. Tanto a função objetivo quanto a vizinhança são baseadas no *simulated annealing* de Johnson et al. (1991).

Outra melhoria do ANTCOL foi desenvolvida por Dowsland e Thompson (2008), onde são adicionados diversificação, melhorias no algoritmo construtivo e busca local. A diversificação envolve a utilização de duas funções de avaliação de solução e multiplicadores de trilhas de feromônios que criam uma tendência de vértices não coloridos a serem selecionados. A construção de soluções é baseada no GRASP de Laguna e Martí (2001), de modo a usar construção gulosa aleatória para obter conjuntos independentes maximais que minimizem o número de arestas induzidas para os vértices não coloridos. A busca local é baseada em embaralhamentos de vértices, árvores de decisão e no algoritmo TABUCOL.

Um outro algoritmo de colônia de formigas foi desenvolvido por Plumettaz et al. (2009) com base na busca tabu PARTIALCOL de Blöchliger e Zufferey (2008). O algoritmo também usa colorações parciais e, nele, cada formiga efetua uma busca local além da construção, que consiste na aplicação do PARTIALCOL à solução obtida. Após esse procedimento, é repassada, para iterações futuras, a informação de vértices que usam a mesma cor (o que define a trilha de feromônios).

Outra meta-heurística populacional é a busca dispersa (*scatter search*), que difere dos

algoritmos genéticos por selecionar um subconjunto da população, chamado de conjunto referência, que é dividido em conjunto de melhores e de diversificadas para aplicar operadores de combinação entre soluções e também por substituir indivíduos da população pelo *fitness* e pela diversidade. Para o VCP, Hamiez e Hao (2002) propôs um método desse tipo, que trabalha no espaço de soluções conflitantes. A população inicial é obtida gerando-se colorações com k cores com modificações aleatórias. selecionando, para cada cor, um vértice aleatório e impedindo que seus vizinhos possam usar a mesma cor. Cada solução é melhorada aplicando-se iterações do algoritmo TABUCOL. Para atualização do conjunto referência, se uma nova solução for melhor que a pior do conjunto de melhores, então a nova entra no lugar da pior. Caso contrário, se a sua diversidade for maior que a da menos diversa conjunto de diversificadas, esta última é removida e a nova solução entra em seu lugar. A combinação de soluções é realizada por uma generalização do GPX a um número arbitrário de pais.

Um método que também usa população de soluções é a otimização por nuvem de partículas (*particle swarm optimization* - PSO). Hsu et al. (2011) aplicaram tal meta-heurística à coloração de grafos, onde há várias partículas movendo-se em um espaço $|V|$ -dimensional. Cada partícula tem um vetor de $|V|$ velocidades e de $|V|$ posições e a sua posição é usada para determinar a cor do vértice. As velocidades são atualizadas de acordo com as melhores soluções que cada partícula encontrou. Como a PSO é um método tradicionalmente contínuo, uma tradução quaternária é usada para mapeamento ao espaço discreto de cores, na qual a cor é determinada pela relação de um valor aleatório com uma constante real entre 0 e 1. O algoritmo aplica a estratégia chamada de *walking one*, que estende a tradução quaternária de modo que vértices com muitos conflitos criem tendência a mudar de cor. Para evitar convergência prematura, é aplicada uma turbulência que aumenta a velocidade de vértices caso que estejam com a mesma baixa em uma partícula.

A Tabela C.3 fornece um sumário dos trabalhos citados nesta subseção em ordem cronológica de publicação.

Tabela C.3: Algoritmos aproximados para a coloração clássica de vértices.

| Referência | Estratégia algorítmica |
|------------------------------|---|
| Brélaz (1979) | DSATUR _H : Algoritmo guloso de graus de saturação |
| Leighton (1979) | RLF: Algoritmo guloso recursivo |
| Chams et al. (1987) | <i>Simulated annealing</i> clássico |
| Hertz e Werra (1987) | TABUCOL: Busca tabu |
| Johnson et al. (1991) | <i>Simulated annealing</i> em três espaços de busca |
| Fleurent e Ferland (1996) | Algoritmo genético + busca tabu |
| Costa e Hertz (1997) | ANTCOL: Colônia de formigas |
| Dorne e Hao (1998a) | Algoritmo genético + busca local |
| Caramia e Dell’Olmo (1999) | HCD - Busca local com prioridades de vértices |
| Galinier e Hao (1999) | Algoritmo genético + busca tabu |
| Laguna e Martí (2001) | Procedimento de busca gulosa aleatória adaptativa (GRASP) |
| Hamiez e Hao (2002) | Busca dispersa (<i>scatter search</i>) |
| Paquete e Stutzle (2002) | Busca local iterada (ILS) |
| Avanthay et al. (2003) | Busca em vizinhanças variadas (VNS) |
| Lim et al. (2005) | <i>Squeaky Wheel Optimization</i> (SWO) |
| Salari e Eshghi (2005) | MMGC: Colônia de formigas + busca local |
| Caramia et al. (2006) | CHECKCOL: HCD com <i>checkpointing</i> |
| Trick e Yildiz (2007) | Busca em vizinhança grande (LNS) |
| Blöchliger e Zufferey (2008) | PARTIALCOL: Busca tabu |
| Dowsland e Thompson (2008) | Colônia de formigas + diversificação + busca tabu |
| Hertz et al. (2008) | Busca em espaços variados (VSS) |
| Malaguti et al. (2008) | MMT: Algoritmo genético + programação inteira |
| Mabrouk et al. (2009) | Algoritmo genético paralelo + busca tabu |
| Plumettaz et al. (2009) | Colônia de formigas + busca tabu |
| Lü e Hao (2010) | MACOL: Algoritmo genético + busca tabu |
| Chalupa (2011) | Algoritmo evolutivo multiagente / busca tabu pseudo-reativa |
| Fister et al. (2011) | HSA-DE: Algoritmo genético + busca local para 3-coloração |
| Hsu et al. (2011) | Otimização por nuvem de partículas (PSO) |
| Pahlavani e Eshghi (2011) | <i>Simulated annealing</i> + busca tabu |
| Titiloye e Crispin (2011) | <i>Quantum annealing</i> |
| Yesil et al. (2011) | <i>Simulated annealing</i> + <i>backtracking</i> + busca tabu |
| Abbasian e Mouhoub (2013) | Algoritmo genético paralelo hierárquico |